

Гальванические ПОКРЫТИЯ в машиностроении

СПРАВОЧНИК

1

« МАШИНОСТРОЕНИЕ »

Гальванические ПОКРЫТИЯ в машиностроении

Справочник в двух томах
Том 1

Под редакцией д-ра техн. наук
проф. М. А. ШЛУГЕРА



МОСКВА
«МАШИНОСТРОЕНИЕ»
1985

канд. техн. наук *В. И. Игнатьев*,
канд. техн. наук *Н. С. Ионичева*, канд. техн. наук *А. В. Мареичев*,
инж. *Н. Ф. Мелашенко*, канд. техн. наук *С. С. Плетенев*,
канд. техн. наук *А. Я. Рябой*, д-р техн. наук проф. *М. А. Шлугер*

Р е ц е н з е н т д-р хим. наук проф. *С. С. Кругликов*

Гальванические покрытия в машиностроении. Справочник. В 2-х томах/Под ред. *М. А. Шлугера*. — М.: Машиностроение, 1985 — Т. 1. 1985 240 с., ил.

В пер.: 1 р. 60 к.

Приведены сведения по коррозии и защите металлов, свойствах и особенностях применения гальванических покрытий, подготовке поверхностей перед нанесением покрытий, технологии, а также режимы нанесения гальванических покрытий. Даны классификация покрытий.

Для инженерно-технических работников машиностроительных заводов, научно-исследовательских и проектно-конструкторских организаций, занимающихся разработкой технологии и оборудования для гальванических цехов.

Г 270407000-130
038 (01)-85 130-85

ББК 34.663
6П4.52

Владимир Иванович Игнатьев,
Наталья Семеновна Ионичева,
Анатолий Васильевич Мареичев и др.

**Гальванические покрытия
в машиностроении**

Т о м I

Редактор *Т. Д. Олегина*

Художественный редактор *С. С. Ворчиц*

Технический редактор *А. Н. Захарова*

Корректоры: *А. П. Сизова*,

Л. Е. Сонюшкина

ИБ № 3723

Сдано в набор 04.04.84. Подписано в печать 11.11.84. Т-15857. Формат 60×90^{1/16}. Бумага типографская № 2. Гарнитура литературная. Печать в сокая. Усл. лист 15,0. Усл. кр.-отт. 15,0. Уч.-изд. л. 23,12. Тираж 31 000 экз. Знак 157. Цена 1 р. 60 к.

Орден Трудового Красного Знамени
издательство «Машиностроение», 107076,
Москва, Строгинский пер., 4

Ленинградская типография № 6 ордена
Трудового Красного Знамени Ленинградского
объединения «Техническая книга»
им. Евгения Соколовой Союзполиграф-
прома при Государственном комитете СССР
по делам издательства, полиграфии и
книжной торговли.
193144, г. Ленинград, ул. Монсейко, 10.

© Издательство «Машиностроение», 1985 г.

ОГЛАВЛЕНИЕ

Основные обозначения	5	Комплексные электролиты	93
Глава 1. Общие сведения о коррозии и защите металлов (М. А. Шлугер)	6	Химическое меднение	101
Термодинамика и кинетика коррозии	6	Электролитическими осаждение сплавов на основе меди	102
Основные виды коррозионных процессов		Удаление недоброкачественных медных покрытий	104
Коррозионная стойкость металлов			
Глава 2. Общетехнические сведения (А. Я. Рябой)	12	Глава 6. Никелирование (С. С. Плетенев)	105
Химия	18	Общие сведения	105
Физика	22	Применимые электролиты	106
Математика	31	Блестящее никелирование	109
Глава 3. Применение и свойства гальванических покрытий	33	Многослойное никелирование	111
Общие сведения (А. Я. Рябой)	34	Черное никелирование	113
Свойства гальванических покрытий	42	Химическое никелирование	114
Влияние гальванических покрытий на свойства основного металла	45	Осаждение сплавов на основе никеля	115
Глава 4. Подготовка поверхности перед нанесением гальванических покрытий (А. В. Мареичев)	54	Неполадки и способы их устранения	117
Механическая обработка	54	Глава 7. Хромирование (М. А. Шлугер)	119
Химическая обработка	65	Общие сведения	119
Электрохимическая обработка	79	Стандартный электролит хромирования	125
Электрохимическое полирование	82	Структура и свойства электросаженного хрома	128
Промывка деталей	86	Электролиты хромирования	133
Изоляция участков поверхности, не подлежащих покрытию	89	Хромирование при нестационарных режимах электролиза	143
Глава 5. Меднение (А. В. Мареичев)	91	Технологические особенности процесса	150
Общие сведения	91	Основные неполадки при хромировании	158
Простые электролиты	91	Глава 8. Цинкование (А. Я. Рябой)	161
		Общие сведения	161
		Электролиты для нанесения цинковых покрытий и сплавов на основе Zn	162
		Неполадки при цинковании	175
		Приготовление электролитов	179

Глава 9. Кадмирование (<i>А. Я. Рябод</i>)	181	Глава 12. Покрытия благородными металлами (<i>Н. Ф. Мелашенко</i>)	213
Общие сведения	181	Общие сведения о процессе серебрения	213
Электролиты для нанесения кадмиевых покрытий и сплавов на основе Cd	182	Электролиты серебрения	213
Неполадки при кадмировании	189	Серебрение без внешнего тока	215
Приготовление электролитов	189	Покрытия сплавами на основе серебра	216
Глава 10. Железнение (<i>А. Я. Рябод</i>)	191	Технологические особенности процесса серебрения	218
Общие сведения	191	Общие сведения о процессе золочения	220
Электролиты для нанесения железных покрытий и сплавов	192	Электролиты золочения	221
Неполадки при железнении	197	Золочение без внешнего тока	223
Приготовление хлористых электролитов	197	Покрытия сплавами из основе золота	224
Глава 11. Оловяннрование и свинцовование (<i>В. И. Игнатьев</i>)	199	Технологические особенности процесса золочения	226
Общие сведения о процессе оловяннрования	199	Общие сведения о процессе родиривания	227
Электролиты оловяннрования	199	Электролиты родиривания	227
Оловяннрование без внешнего тока	200	Технологические особенности процесса родиривания	229
Оплавление, пассивировка, декоративная отделка оловянных покрытий	205	Общие сведения о процессе палладирования	230
Удаление оловянных покрытий	206	Электролиты палладирования	230
Общие сведения о процессе свинцовования	207	Технологические особенности процесса палладирования	233
Электролиты свинцовования	207	Глава 13. Покрытия In, Bi, Sb, As, Mn, Re, Se и сплавами W и Mo (<i>Н. С. Ионичева</i>)	234
Удаление свинцовых покрытий	211	Осаждение In и сплавов на его основе	234
Электросаждение сплавов Sn—Pb	211	Осаждение Bi, Sb, As, Mn, Re, Se	236
		Осаждение сплавов W и Mo	238
		Список литературы	239

ОСНОВНЫЕ ОБОЗНАЧЕНИЯ

<i>i</i> — плотность тока (<i>i_к</i> — катодная, <i>i_а</i> — анодная, <i>i_в</i> — объемная)	ω — окружная скорость
<i>t</i> — температура	<i>f</i> — частота импульсов
<i>τ</i> — время (<i>τ_к</i> — катодного периода, <i>τ_а</i> — анодного периода, <i>τ_п</i> — паузы, <i>τ_и</i> — импульса, <i>τ_э</i> — электролиза)	ρ — плотность, удельное электрическое сопротивление
<i>S</i> — площадь поверхности (<i>S_к</i> — катода, <i>S_а</i> — анода)	<i>η</i> — удельная электропроводимость
<i>E</i> — электродный потенциал (<i>E_к</i> — катодный, <i>E_а</i> — анодный, <i>E₀</i> — стандартный)	<i>c</i> — теплосемкость
ΔE — поляризация	$\sigma_{\text{в}}$ — предел прочности при растяжении
η — перенапряжение	$\sigma_{\text{т}}$ — предел текучести
<i>K_в</i> — электрохимический эквивалент	σ_{-1} — предел выносивости
<i>K_н</i> — константа нестойкости	$\sigma_{\text{вн}}$ — внутренние напряжения
ВТ — выход по току	РС — рассеивающая способность
δ — толщина покрытия	<i>И</i> — износ
<i>C</i> — концентрация	<i>К</i> — скорость коррозии, коррозионные потери
<i>p</i> — давление	СП — скорость осаждения покрытия
<i>V</i> — объем	СР — скорость растворения покрытия
<i>v</i> — скорость	ПЗ — плотность загрузки деталей
<i>n</i> — частота вращения	ХСТ — химическая стойкость
	Р — растворимость
	и. в. э. — нормальный водородный электрод

ОБЩИЕ СВЕДЕНИЯ О КОРРОЗИИ И ЗАЩИТЕ МЕТАЛЛОВ

ТЕРМОДИНАМИКА И КИНЕТИКА КОРРОЗИИ

Классификация коррозии. Коррозия — разрушение (окисление) металлов в результате химического или электрохимического воздействия внешней среды.

По характеру коррозионных поражений (рис. 1) различают общую, или сплошную, и местную коррозию. В свою очередь, общая коррозия может быть равномерной и неравномерной.

Местная коррозия бывает в виде пятен, язв, точек (пинтинговая); она может быть избирательной (например, обесцвечивание латуни), межкристаллитной (интеркристаллитной), транскристаллитной; к местной коррозии относится также и коррозионное растрескивание.

В конкретных условиях эксплуатации опасны определенные виды коррозионных поражений: для силовых элементов конструкции наиболее опасны межкристаллитная коррозия или коррозионное растрескивание, для резервуара, трубопровода или реактора — точечная или язвенная коррозия, так как нарушается герметичность при появлении хотя бы одного сквозного отверстия, для поверхностей трения —

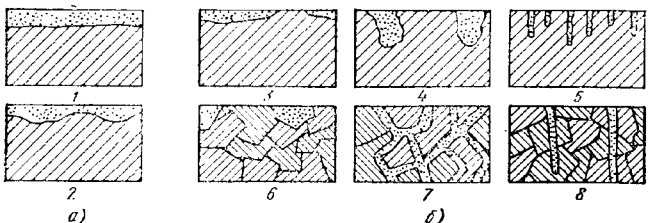


Рис. 1. Виды коррозионных поражений:

- 6 — общая коррозия; 1 — равномерная; 2 — пятнами; 3 — язвами; 4 — точками; 5 — избирательная; 7 — межкристаллитная; 8 — транскристаллитная (наждачная)

величине стандартного электродного потенциала.

Так как процесс электрохимической коррозии складывается из двух сопряженных протекающих реакций — анодной (окисление) и катодной (восстановление), то потенциал анодной реакции (ионизация металла) сравнивают с потенциалом возможной катодной реакции. Коррозия возможна, если $E_A > E_B$.

Основными катодными реакциями являются:

- восстановление ионов водорода (водородная деполяризация);

$$E_{H^+/H_2} = -0,059 \text{ pH};$$

- восстановление молекул кислорода (кислородная деполяризация)

$$E_{O_2/OH^-} = 1,23 - 0,059 \text{ pH}.$$

На диаграмме, приведенной на рис. 2, отмечены значения стандартных потенциалов некоторых металлов. Те металлы, потенциалы которых расположаются выше линий равновесия водородного или кислородного электродов, могут корродировать соответственно с водородной или кислородной деполяризацией. Металлы, потенциалы которых находятся ниже линии равновесия кислородного электрода, корродировать не должны. Эти металлы будут корродировать в том случае, если в растворе будет иметься какой-либо другой деполяризатор (помимо H^+ и O_2).

Диаграммы Пурбе. На рис. 3 приведены диаграммы Пурбе для Zn и Fe, в которых обозначены области термо-

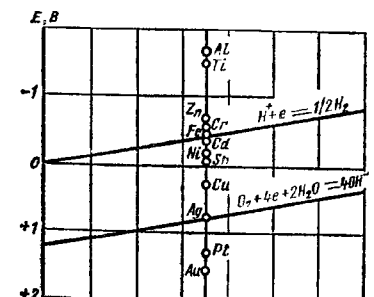


Рис. 2. Стандартные потенциалы металлов

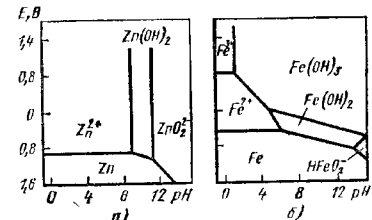


Рис. 3. Диаграммы Пурбе для цинка (а) и для железа (б)

динамической устойчивости этих металлов и различных продуктов их окисления. На рис. 4 даны диаграммы Пурбе для некоторых металлов.

Необратимые потенциалы. В коррозионных средах устанавливаются потенциалы металлов, значения которых отличны от стандартных. Установившийся при этом неизменяющийся во времени потенциал называют необратимым, или стационарным. Это потенциал, при котором протекает процесс коррозии. Этот потенциал имеет и другие названия: потенциал коррозии, саморастворения и компромиссный.

В табл. 1 приведены значения необратимых потенциалов некоторых металлов в 3 %-ном растворе NaCl.

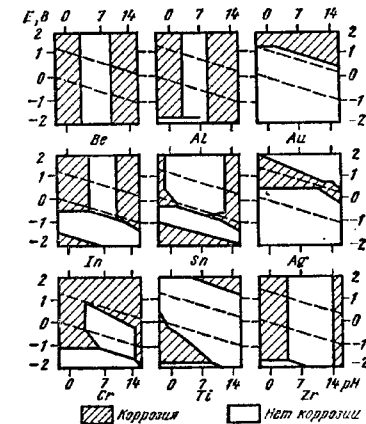


Рис. 4. Диаграммы Пурбе для различных металлов

1. Электродные потенциалы в 3%-ном растворе NaCl

Металл	E, В	
	начальный	конечный
Zn	-0,83	-0,83
Al	-0,63	-0,63
Cd	-0,58	-0,52
Fe	-0,34	-0,50
Pb	-0,39	-0,26
Ni	+0,13	+0,02
Cu	+0,02	+0,05
Ag	+0,24	+0,20

Коррозионные диаграммы. Скорости анодного и катодного процессов находятся в экспоненциальной зависимости от сдвига потенциала ΔE от равновесного (стационарного) потенциала:

$$i_a = K_a \exp \left[\frac{\beta z F \Delta E}{RT} \right];$$

$$i_k = K_k C \exp \left[- \frac{\alpha z F \Delta E}{RT} \right],$$

где i_a и i_k — плотности соответствующих анодных и катодных токов; K_a и K_k — константы скорости реакций; C — концентрация восстановливающихся частиц; α и β — коэффициенты переноса; F — число Фарadays; R — универсальная газовая постоянная; T — абсолютная температура.

В соответствии с приведенными уравнениями, при сдвиге потенциала в сторону положительных значений ($+\Delta E$) скорость анодного процесса (ионизация металла) возрастает, а скорость катодного процесса снижается. При сдвиге потенциала в сторону отрицательных значений ($-\Delta E$) ускоряется катодный процесс и замедляется анодный.

Факторы, влияющие на скорость коррозии. Состав и структура металла. Как правило, гетерогенная структура сплава является более опасной в коррозионном отношении, нежели гомогенная. При этом существенно ускоряют коррозию катодные (более положительные) включения. При гомогенной структуре присутствие в твердом растворе компонента, имеющего более положительный потенциал, вызывает повышение коррозионной стойкости. Термообработка,

повышающая степень гомогенизации сплава, увеличивает его коррозионную стойкость. Грубо обработанная шероховатая поверхность металла более коррозионно уязвима, нежели верхкально-блестящая.

Состав и концентрация коррозионной среды. Присутствующие в коррозионной среде ионы могут ускорять (активаторы) или замедлять (ингибиторы) процесс коррозии (табл. 2).

Увеличение концентрации коррозионной среды ускоряет коррозию до определенного предела, что обусловлено повышением ее электропроводимости. В ряде случаев наступает резкое торможение коррозии с ростом концентрации кислоты, обладающей способностью пассивировать металл. Железо пассивируется при концентрации HNO_3 35% и H_2SO_4 55%.

В табл. 3 приведены сведения о коррозионной стойкости металлов в некоторых средах.

Кислотность (pH) по-разному влияет на металлы. Все металлы принято делить на пять групп по характеру влияния pH на скорость коррозии (рис. 5).

2. Причины влияния на процесс коррозии ингибиторов и активаторов

Ионы	Анионы	Катионы
Ингибиторы	1. Облегчение наступления пассивного состояния, пассивация (CrO_4^{2-} , NO_3^- , MoO_4^{2-})	Образование гидроксидов
	2. Образование труднорасторвимых продуктов коррозии (гидроксиды, соли)	
Активаторы	1. Нарушение пассивного состояния или препятствие его возникновению (хлорид)	Облегчение катодного процесса в результате участия в нем катионов высшей степени валентности
	2. Облегчение ионизации металла путем образования комплексных ионов ($Fe^{3+} + e^- \rightarrow Fe^{2+}$)	

3. Коррозионная стойкость металлов в кислотах и щелочах

Металл	H_2SO_4	HCl	HNO_3	H_3PO_4	$NaOH$, KOH
Fe	Kр	K	Kр	K	у
Cu	у	у	у	у	у
Ni	К	К	у	у	у
Cr	у	К	у	у	у
Zn	К	К	К	К	К
Cd	К	К	К	К	у
Pb	у	у	К	у	К

Приложение. Принятые обозначения: У — устойчив; К — корродирует; Кр — корродирует в разбавленном растворе.

Первая группа — это металлы, устойчивые в кислой и щелочной средах; их скорость коррозии практически не зависит от pH. К этой группе относят Au, Pt, Ag.

Вторая группа — это металлы, недостаточно стойкие в нейтральной среде. В сильно щелочной среде (близки pH 14) эти металлы являются стойкими. К числу таких металлов относят Mg, Mn, Fe. Стойкость металлов в этой области объясняется тем, что образующиеся на их поверхности гидроксиды, формирующие покровную пленку, не растворяются в щелочной среде. Железо, однако, является некоторым исключением из этого правила, ибо при $pH > 14$ гидроксид железа растворяется с образованием $Fe(OH)_3$.

Третья группа — это металлы, неустойчивые в кислой среде и устойчивые в нейтральной и щелочной средах. К этим металлам относят Cd, Co, Ni.

Четвертая группа — это металлы, коррозионно-стойкие в кислой среде и неустойчивые в щелочной. Металлы, относящиеся к этой группе (Ta, Mo, W), имеют кислый характер гидроксидной пленки, которая легко растворяется при взаимодействии с щелочным раствором.

Пятая группа — это металлы, стойкие только в нейтральной среде. Особенностью этих металлов (Al, Zn, Sn, Pb) является образование амфотерных гидроксидов, одинаково хорошо растворяющихся в кислой и щелочной средах.

При 25°C минимальная величина pH, при которой коррозия не протекает, имеет следующие значения: Al — 6,5; Pb — 8,0; Sn — 11,5; Fe — 14.

Температура, давление, перемешивание. При повышении температуры скорость коррозии, как правило, возрастает. Это вызвано следующими основными причинами:

увеличением скорости диффузии деполяризатора к поверхности металла и продуктов коррозии от поверхности металла;

снижением перенапряжения и увеличением скорости электрохимических реакций;

увеличением скорости промежуточных химических реакций;

ростом растворимости продуктов коррозии.

Повышение температуры может обусловить и снижение скорости коррозионного процесса. Это, в частности, наблюдается при коррозии металлов в нейтральных средах, когда деполяризатором катодного процесса является O_2 , так как его растворимость, как и любого газа, снижается с повышением температуры.

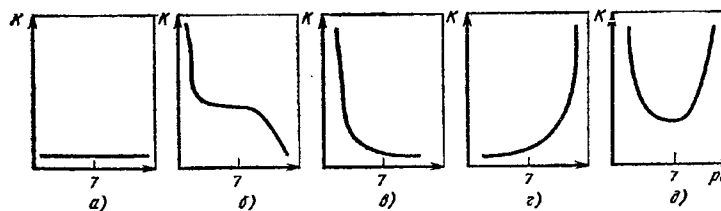


Рис. 5. Влияние pH на скорость коррозии:
а — платина, золото; б — железо, магний; в — никель, кадмий; г — молибден, вольфрам; д — алюминий, цинк

ицем температуры. Так, при повышении температуры от 20 до 50 °C растворимость O_2 снижается примерно в 2 раза, а при повышении до 80 °C — более чем в 3 раза. При температуре, близкой к 100 °C, кислород практически растворим в воде. Таким образом, уменьшающееся количество O_2 приводит к снижению скорости коррозии в нейтральной среде с ростом температуры. Это явление обычно наблюдается при температуре выше 70—80 °C.

Температура оказывает влияние на состав и строение пассивирующих пленок, состоящих из продуктов коррозии. Например, на Zn в температурном интервале 50—90 °C в воде образуется зернистая, слабо связанныя с металлом пленка. В этом температурном интервале скорость коррозии Zn резко возрастает.

В ряде случаев на скорость коррозии оказывает влияние давление. Обычно с ростом давления скорость коррозии увеличивается. Это характерно для процессов коррозии с кислородной деполяризацией, так как повышение давления приводит к увеличению растворимости O_2 . Ускорение коррозии происходит и в результате роста механических напряжений в металле. В случае коррозии с водородной деполяризацией возможно облегчение наводороживания металла.

Как правило, с увеличением скорости перемешивания (протока) скорость коррозии возрастает (Cu, Fe

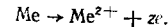
в воде, насыщенной O_2). Это происходит потому, что в условиях перемешивания практически отсутствуют диффузионные ограничения, и O_2 беспрепятственно поступает к корродирующему поверхности металла. Беспредпятственно также осуществляется и отвод продуктов коррозии.

Пассивность. Состояние повышенной коррозионной стойкости, вызванное торможением анодного процесса, называют пассивностью. Металл, находящийся в пассивном состоянии, практически не корродирует, несмотря на то, что его потенциал значительно (на сотни милливольт) смещен в сторону положительных значений (от стационарного). Например, для Cr в результате пассивирования скорость растворения снижается на пять-шесть порядков (почти в миллион раз).

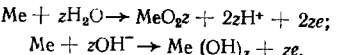
Пассивное состояние, как правило, наступает при контакте металлов с сильными окислителями. Такими окислителями могут быть O_2 , H_2O_2 , CrO_4^{2-} , $Cr_2O_7^{2-}$, MnO_4^- и т. д. Однако для некоторых металлов достаточно сильным окислителем может быть и H_2O (например, для Ti).

На рис. 6 приведена типичная кривая анодной пассивности. Эта кривая имеет четыре характеристических участка.

Участок 1 — область активного растворения, где металл переходит в ионное состояние:



Участок 2 — область формирования пассивного состояния, которая наступает после достижения потенциала пассивации (E_p) и соответственно плотности тока пассивации (i_p). В этой области скорость растворения снижается при сдвиге потенциала в положительную сторону. Это может быть вызвано образованием оксида или гидроксида:



Во многих случаях пассивность наступает в результате того, что на поверхности адсорбируется O_2 .

Участок 3 — область пассивности, наступающая при достижении потенциала полной пассивации ($E_{p.p.}$). Область пассивации характерна тем, что изменение потенциала не оказы-

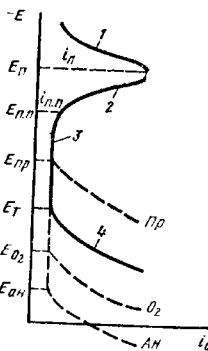


Рис. 6. Кривая анодной пассивности

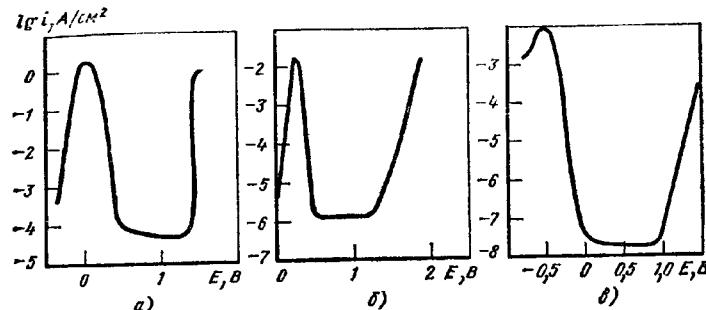
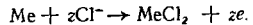


Рис. 7. Характеристики пассивного состояния железа (а), никеля (б) и хрома (в) в 0,5 M H_2SO_4

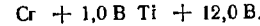
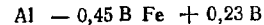
вает влияния на скорость растворения, которая постоянна и соответствует величине плотности тока полной пассивации ($i_{p.p.}$). Когда металл находится в пассивном состоянии, смещение потенциала в сторону отрицательных значений вызывает увеличение тока коррозии после того, как потенциал достигнет величины E_p . Этот потенциал, при котором наступает активирование (репассификация) металла, часто называют фладе-потенциалом.

Если в коррозионной среде присутствуют ионы-активаторы, например, Cl^- , то наступает преждевременное нарушение пассивного состояния:



Это происходит при потенциале «принятия» (E_{pr}), т. е. когда происходит как бы прорыв пассивной пленки в наиболее слабых местах. В этом случае в области потенциалов, характеризуемых кривой Pr (см. рис. 6), металл корродирует с образованием точечной (питтинговой) коррозии. Потенциал E_{pr} часто называют потенциалом питтингообразования. В 0,1 %-

ном растворе $NaCl$ при 25 °C потенциалы питтингообразования составляют:



Участок 4 — область транспассивации или перепассивации, которая начинается по достижении потенциала транспассивности (E_T). В этой области скорость растворения вновь растет с увеличением положительного значения потенциала. При этом отличие от области активного растворения (участок 1) состоит в том, что металл, находящийся в пассивном состоянии, растворяется с образованием ионов высшей валентности. Так, Fe в активной области переходит в раствор в виде Fe^{2+} , а в транспассивной — в виде Fe^{3+} .

Для хрома, находящегося в пассивном состоянии, в области транспассивности протекает реакция

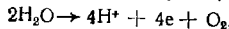


В тех случаях, когда для металла не характерно явление перепассивации,

4. Характеристика пассивного состояния металлов в 1 н. H_2SO_4 при 25 °C

Металл	i_p А/см ²	E_p В	Область пассивности, В	$i_{p.p.}$ А/см ²
Cr	$3,2 \cdot 10^{-2}$	—0,35	—0,05—1,10	$5 \cdot 10^{-6}$
Fe	17,0	0,46	0,50—1,90	$7 \cdot 10^{-6}$
Аустенитная хромоникелевая сталь (18% Cr, 12% Ni)	$1,0 \cdot 10^{-4}$	0,15	0,15—0,65	$3 \cdot 10^{-6}$

смещение потенциала в сторону положительных значений может вызвать либо выделение кислорода (кривая O_2)



либо протекание процесса анодирования (кривая A_n), как, например, при анодной обработке алюминиевых сплавов. Первый из этих процессов начинается при достижении потенциала начала выделения кислорода (E_{O_2}), второй — потенциала анодирования (E_{an}).

Характеристики пассивного состояния некоторых металлов приведены на рис. 7 и в табл. 4.

ОСНОВНЫЕ ВИДЫ КОРРОЗИОННЫХ ПРОЦЕССОВ

Атмосферная коррозия. Более 80 % всех металлоконструкций, машин, приборов и другого изготовленного из металлов оборудования эксплуатируется в атмосфере. Поэтому атмосферная коррозия — наиболее распространенный вид коррозионного разрушения металлов.

Атмосферная коррозия — это коррозия, протекающая на поверхности металла, покрытого тонкой пленкой влаги. Поэтому для оценки опасности атмосферной коррозии важнейшее значение имеет учет степени и длительности увлажнения поверхности металла.

Продолжительность увлажнения складывается из следующих показателей (4):

$$\tau_{общ} = \tau_1 + \tau_2 + \tau_3 + \tau_4 + \tau_5,$$

где τ_1 — продолжительность выпадения дождя; τ_2 — продолжительность высыхания поверхности после выпадения дождя или тумана; τ_4 — продолжительность выпадения росы; τ_5 — продолжительность оттепели.

Увлажнение поверхности металла приводит к образованию либо фазовых пленок влаги, либо адсорбционных. Образование фазовых пленок происходит при попадании на поверхность металла капельно-жидкой влаги (при дожде, обливании и т. д.) или относительной влажности, близкой к 100 %. Адсорбционная пленка возникает в результате конденсации влаги при относительной влажности порядка 60—70 %. Относительная влажность, при-

которой начинается адсорбционная конденсация влаги на поверхности металла, называется критической влажностью. Она зависит от состояния металла и степени загрязнения воздуха. В чистом воздухе на чистой поверхности железа конденсация влаги происходит при влажности 100 %, а если в воздухе 0,01 % SO_2 , то при 70 %. На предварительно корродированной поверхности железа конденсация идет при влажности 55—65 %. Критическая влажность зависит также от природы металла; так, например, при одинаковых условиях критическая влажность для Cu выше, чем для Fe.

Наиболее длительное увлажнение металла на территории СССР наблюдается в Прибалтике (3250 ч/год), наименее длительное — в Средней Азии (750 ч/год).

Железо и сталь в обычных условиях подвергаются общей равномерной коррозии. Только в исключительных случаях, например, со значительным содержанием морских брызг, на стали могут образовываться отдельные коррозионные язвы. У легких металлов часто возникает межкристаллитная. Как правило, образующиеся на поверхности металла продукты коррозии со временем тормозят протекание коррозионного процесса. На рис. 8 приведена карта, показывающая зависимость скорости коррозии железа от климатических условий различных районов.

Близость моря (до 2—2,5 км) усиливает коррозию металлов. Оценка влияния атмосферных условий на скорость коррозии (K) дана ниже.

Атмосферные условия
Продолжительность увлажнения (от 750 до 3500 ч/год)
Увеличение толщины пленки влаги (от 50 мкм до 1 мм)
Изменение в реессивности атмосферы:

от сельской до городской в 5 раз
от сельской до морской в 2 раза
в 2 раза
в 1,3—8 раз

Загрязненность воздуха SO_2 , а также другими газами, такими, как NH_3 , H_2S , C_2 , HCl , зависит от типа промышленных предприятий. Содержание в атмосфере SO_2 резко снижается при удалении от центра крупных городов.

Стойкость металлов к атмосферной коррозии зависит от их физико-ма-

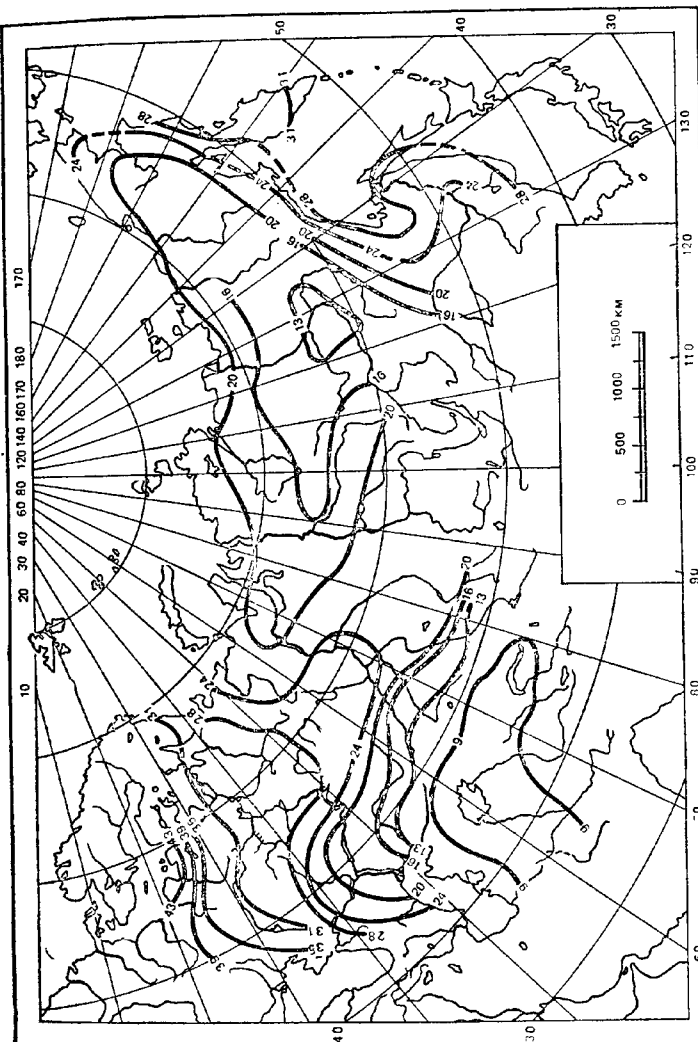


Рис. 8. Карта коррозии железа по различным климатическим районам. Изолиниями показана глубина коррозии железа в год

нической природы и состояния поверхности. Ниже дана приближенная характеристика атмосферной коррозии некоторых металлов в городской атмосфере.

Металл	Pb	Al	Sn
Скорость коррозии, мкм/год	4	8	12
Металл	Cu	Ni	Fe
Скорость коррозии, мкм/год	12	32	200

Увеличение шероховатости поверхности и наличие на ней частиц пыли или других инородных, загрязняющих атмосферу частиц облегчают конденсацию влаги и тем самым способствуют ускорению коррозии.

Характеристика агрессивных атмосфер и условия эксплуатации деталей дана в табл. 5.

Коррозия в почве и морской воде. К характеристикам почвы как коррозионной среды следует отнести влажность, воздухопроницаемость, пористость, солевой состав, кислотность (щелочность), электропроводимость, наличие микроорганизмов.

Почвы представляют собой неперемешиваемый электролит, отличающийся высоким электрическим сопротивлением. Оценка агрессивности почвы может быть осуществлена по величине электроразрываания, которая обусловлена влажностью, солевым составом и пористостью. Ниже приведены данные, характеризующие взаимосвязь между электроразрываанием и агрессивностью почвы.

Удельное сопротивление,

Ом. м. Агрессивность грунта : До 5 Особо высокая 5— Высокая

Увеличение содержания влаги в почве повышает ее агрессивность. Однако чрезмерное увлажнение (более 15–18 %) приводит к снижению агрессивности почвы в связи с возникающими затруднениями доставки кислорода к поверхности металла. Песчаные, более пористые почвы, агрессивнее глинистых, pH большинства почв близок к нейтральному (5–8); однако встречаются кислые (pH 3–4) и щелочные (pH 10–12) почвы, которые отличаются повышенной агрессивностью.

Как правило, скорость коррозии возрастает с увеличением глубины заглекания.

Для почвенной коррозии характерно местное разрушение металла в виде точек (питтинга), язв и раковин, которые образуются преимущественно в нижней части изоделий.

Морская вода содержит в среднем 3—3,5 % растворенных солей. Их содержание С (%) значительно колебляется в различных водных бассейнах, что видно из данных, приведенных ниже.

Красное море	4,1
Средиземное море	3,9
Атлантический океан	3,5
Черное море	1,7
Финский залив	0,4
Речная вода	0,03

Наличие в морской воде значительного количества Cl^- , т. е. ионов-активаторов, способствует более интенсивному процессу коррозии. Морская вода имеет нейтральную или слабошелочную реакцию (pH 7,2—8,6), ее удельная электропроводимость достаточно высока ($2,5 \cdot 10^{-2}$ — $3,0 \cdot 10^{-2}$ См), содержание кислорода может достигать 8 мг/л. В морской воде содержится большое количество микроорганизмов, способствующих ускорению коррозии в обраствании соприкасающихся с водой металлоконструкций.

Присутствие ионов-активаторов (Cl^-) препятствует образованию пассивных слоев на поверхности металлов. Высокая электропроводимость морской воды исключает проявление омического ограничения. В морской воде весьма высока опасность контактной коррозии.

ии. Опасные проявления коррозии наблюдаются вблизи ватерлиний. При этом наиболее интенсивно коррозия развивается в зоне, располагающейся несколько выше ватерлинии, где происходит периодическое смачивание поверхности металла.

На глубине 1000 м наблюдается минимум скорости коррозии для всех металлов. Этот минимум соответствует минимальному содержанию кислорода морской воде.

Контактная и щелевая коррозия.

6. Распределение металлов по группам в пределах которых концентрация может считаться допустимым

Группы металлов				
1	2	3	4	5
Mg	Al	Fe	Ni	Cu-Ni сплавы
Zn		Углеродистые стали	Cr	Cu-Zn сплавы
	Сс	Pb		
		Sn	Коррозионно- стойкие стали	Cu
			Хроми- стые стали	
			Хromo- никеле- вые стали	Ag Au

5. Характеристика агрессивных атмосфер по отношению к металлическим покрытиям

Атмосфера, характеризуемая содержанием вредных примесей	Условия размещения изделий	Условия эксплуатации и хранения для климатического района			
		Умеренного	Холодного	тропического	
				сухого	влажного
Сернистый газ не более 0,02 мг/м ³ ; хлористые соли не более 0,05 мг/(м ³ ·сут.); атмосфера вдали от промышленных объектов	Открытый воздух Под навесом Закрытое помещение Помещение с регулируемым климатом	С С С Л	С С С Л	С С С Л	Ж Ж Ж Л
Сернистый газ 0,02—2 мг/м ³ ; хлористые соли 0,3—2 мг/(м ³ ·сут.); промышленная атмосфера	Открытый воздух Под навесом Закрытое помещение Помещение с регулируемым климатом	Ж Ж С Л	Ж Ж С Л	С С С Л	ОЖ ОЖ Ж С
Сернистый газ 0,02—0,2 мг/м ³ ; хлористые соли 2—200 мг/(м ³ ·сут.); морская атмосфера	Открытый воздух Под навесом Закрытое помещение Помещение с регулируемым климатом	ОЖ ОЖ Ж С	Ж Ж Ж С	— — — —	ОЖ ОЖ Ж С

Приложение. По приведенной классификации условия эксплуатации и хранения деталей в изделий делятся на четыре группы: Л — легкие, С — средние, Ж — жесткие, ОЖ — очень жесткие.

Умеренный климат — средняя максимальная температура ниже $+40^{\circ}\text{C}$, средняя минимальная выше -40°C ; холодный климат — средняя минимальная температура ниже -40°C ; иной, обледенение, ветры с мелкой снежной пылью; влажный тропический климат — температура равна или выше $+20^{\circ}\text{C}$ при относительной влажности более 80 %, что наблюдается более 12 ч в сутки в течение 2—12 месяцев в году; ливневые дожди, воздействие биологического фактора, интенсивная солнечная радиация; сухой тропический климат — средняя максимальная температура выше $+40^{\circ}\text{C}$; значительная солнечная радиация, высокое содержание песка и пыли в воздухе.

ОБЩИЕ СВЕДЕНИЯ О КОРРОЗИИ

7. Допустимые и недопустимые контакты в средних (С) и жестких (Ж) атмосферных условиях

нр п. п.	М т л., покрытие	№ 1 С/Ж	№ 2 Ж	№ 3 С/Ж	№ 4 С/Ж	№ 5 С/Ж
1	Медь—никель—хром по сталь	+/-	+/-	+	-/-	-/-
2	Хром по стали, меди и ее сплавам	+/-	+/-	+	-/-	-/-
3	Никель по стали, меди и ее сплавам	/	+/-	+/	-/-	-/-
4	Серебро по стали, меди и ее сплавам	-/-	-/-	-/-	++	++
5	Золото по меди и ее сплавам	-/-	-/-	-/-	++	++
6	Медь и ее сплавы	O/O	O/O	O/O	++	++
7	Олово по стали с подслоем меди и по меди и ее сплавам	+/-	+/-	+/-	-/-	-/-
8	Кадмий, хроматированный по стали, меди и ее сплавам	+/O	+/O	+/O	-/-	-/-
9	Цинк, хроматированный по стали	+/O	+/O	+ O	-/-	-/-
10	Сталь фосфатированная+ пропитка	+/O	+/O	+/O	-/-	-/-
11	Алюминий и его сплавы, анодированные и хроматированные	П П	П П	П П	-/-	-/-

нр п. п.	Металл, покр	№ 6 С/Ж	№ 7 С/Ж	№ 8 С/Ж	№ 9 С/Ж	№ 10 С/Ж	№ 11 С/Ж
1	Медь—никель—хром по стали	O/O	+/-	+ O	+/O	O	П/П
2	Хром по стали, меди и ее сплавам	O/O	+/-	+/O	+/O	+/O	П/П
3	Никель по стали, меди и ее сплавам	O/O	+/-	+/O	+/O	+/O	П/П
4	Серебро по стали, меди и ее сплавам	+/-	-/-	--	-/-	-/-	-/-
5	Золото по меди и ее сплавам	+/-	-/-	--	-/-	-/-	-/-
6	Медь и ее сплавы	+/-	+/-	- -	-/-	-/-	-/-
7	Олово по стали с подслоем меди и по меди и ее сплавам	+/-	+/-	+ O	+/O	O/-	П/-
8	Кадмий, хроматированный по стали, меди и ее сплавам	-/-	+/O	+ /	+/-	++	++
9	Цинк, хроматированный по стали	-/-	+/O	+ +	+/-	+/-	+/-
10	Сталь фосфатированная+ пропитка	O/-	+/O	+/-	+/-	+/-	+/-
11	Алюминий и его сплавы, анодированные и хроматированные	-/-	П/-	+/-	+/-	+/-	+/-

Примечание: 1. Принятые обозначения. «+» — допустимый контакт; «-» — недопустимый контакт; О — контакт, допустимый лишь при наличии смазки; П — контакт, допустимый лишь при наличии изоляционных прокладок.

2. № 1—11 — соответствующие типы металлов или покрытий.

Виды коррозионных процессов

пустимости контактов в средних (С) и жестких (Ж) атмосферных условиях.

Щелевая коррозия — это усиление коррозионного процесса в щелях и зазорах между металлами, а также в местах неплотного контакта с неметаллическим коррозионно-инертным материалом. Наибольшую склонность к щелевой коррозии обнаруживают пассивирующиеся металлы и сплавы.

Коррозионно-механическое разрушение металлов. Механические напряжения приводят к усилению коррозии металлов и к появлению локальных разрушений, в частности, к коррозионному растрескиванию.

Коррозионное растрескивание протекает, когда напряжение в металле превышает некоторую величину, называемую критическим значением напряжений. Процесс описывается следующим основным уравнением: $(\sigma - \sigma_{kp}) t = K$, где σ — величина

8. Среды, вызывающие коррозионное растрескивание различных металлов и сплавов

Материал	Среда
Алюминиевые сплавы	Вода и пар, содержащие $NaCl$, морская атмосфера и морская вода, F^-
Медные сплавы	Тропическая атмосфера; Hg , соли Hg , Br^- , NH_4 , органические аминосоставления
Алюминиевая бронза	Вода, пар, H_2SO_4 , $NaOH$, KOH , Cl^- , морская вода и атмосфера; H_2SO_4 , F^- , H_2S
Листенитные коррозионно-стойкие стали	Cl^- , F^- , Br^- , $NaOH$, KOH , NO_3^-
Ферритные коррозионно-стойкие стали	Cl^- , F^- , Br^- , $NaOH$, KOH , NO_3^-
Углеродистые и никелегированые стали	HCl , HNO_3 , H_2SO_4 , $NaOH$, KOH , морская вода
Высоко прочные легированые стали	Морская вода и атмосфера, загрязненная отходами промышленности
Магний	Морская вода, Cl^- , $NaOH$, KOH , вода, пар, атмосфер морского побережья
Свинец Никель Титан	Растворы $(CH_3COO)_2Pb$, H_2SO_4 , Br^- , $NaOH$, KOH . Морская вода и атмосфера, содержащие $NaCl$ и высокой температурой, концентрированные H_2SO_4 , Na

известного и ожидаемого растягивающего напряжения, σ_{kp} — критическое значение напряжений, ниже которого в данной коррозионной среде растрескивание не происходит; t — время до растрескивания (появления визуально наблюдаемой трещины), K — константа.

Повышение сопротивления растрескиванию сталей возрастает в ряду кислот $HCl-H_2SO_4-HNO_3$.

Алюминиевые сплавы подвергаются растрескиванию в растворах щелочей и фторидов, медные сплавы — в аммиачных растворах творов (табл. 8).

Цинковые и кадмийевые покрытия повышают сопротивление с атмосферному растрескиванию.

Понижение предела выносливости металла, возникающее при одновременном воздействии циклических закономерных напряжений и коррозионной среды, называется коррозионной усталостью. Напряжение, которое вызывает усталостное разрушение металла в коррозионной среде через заданное число циклов, называется условным пределом коррозионной усталостной прочности.

При колебательном перемещении поверхности сопрягающихся деталей потенциально друг друга в зоне контакта фреттинг-коррозия, сущность которой заключается в циклическом возникновении продуктов коррозии и их механическом разрушении. Этот вид коррозии протекает по химическому механизму и состоит в окислении кислородом свежеобнаженной поверхности с последующим (при взаимном перемещении деталей) сдвиганием образовавшейся пленки оксида. Установлено, выполняющее роль смазки, ниже стартинг-коррозии.

С целью борьбы с фреттинг-коррозией применяют износостойкие и антифрикционные металлические и неметаллические покрытия, а также различные пигментные смеси.

В тех случаях, когда кационная среда оказывает механическое воздействие на поверхности металла, наблюдалась кавитационная коррозия, сущность которой состоит в озданнии вакуума в поверхности смеси металла, так и в механическом отрыве продуктов коррозии и концентрирования H_2SO_4 , Na .

с кавитационной коррозией состоит в рациональном подборе коррозионностойких материалов и защитных покрытий.

Газовая коррозия. Пропесс, протекающий при взаимодействии металла с газами при высокой температуре, называют газовой коррозией. Этот вид коррозии протекает по химическому механизму. Наиболее часто встречающийся процесс — окисление металлов в результате воздействия O_2 , содержащегося в воздухе.

Для большинства практически важных металлов оксидная пленка, являющаяся продуктом газовой коррозии, образуется сплошной, и с ростом ее толщины наблюдается торможение окисления. Зависимость толщины оксидной пленки x от времени окисления t :

$$x^n = Kt,$$

где K — константа; n — показатель, отражающий степень торможения процесса растущих слоев оксида.

Медь (в температурном интервале 300—1000 °C) и железо (500—1000 °C) окисляются по параболическому закону ($n = 2$).

Меркурий с газовой коррозией сводится к подбору соответствующего металла, применению термодиффузионного насыщения алюминием, кремнием, хромом или нанесению жаростойкого металлического (например, хромового) или неметаллического (например, жаростойкой эмали) покрытия.

Радиационная коррозия. Радиактивное излучение (нейтроны, протоны, дейтероны, α - и β -частицы, γ -излучение) оказывает существенное влияние на протекание коррозионных процессов.

Радиактивное излучение, не изменяя принципиально механизм коррозии, оказывает влияние на кинетику коррозионных процессов. Изменение скорости коррозионного процесса (ΔK) под действием излучения является функцией трех эффектов:

$$\Delta K = f(\vartheta_p, \vartheta_d, \vartheta_\gamma).$$

Радиолизный эффект ϑ_p обусловлен воздействием облучения на коррозионную среду, прежде всего на воду. Образующиеся при радиолизе воды H_2O_2 , O_3 и радикалы OH^- и HO_2^- являются энергичными катодными деполяризаторами. Поэтому радиолиз-

ный эффект ускоряет катодный процесс. Это в основном характерно для металлов, не имеющих на своей поверхности толстых оксидных пленок.

Деструктирующий эффект ϑ_d обусловлен упругим и тепловым взаимодействием поверхности металла с получающими частицами, что приводит к появлению дефектов в поверхностном слое металла и оксидной пленки. Деструктирующий эффект особенно опасен для металлов, коррозионная стойкость которых обусловлена возникновением фазовых защитных слоев (оксидных пленок). Эффект ϑ_d способствует облегчению протекания анодного процесса.

Фоторадиационный эффект ϑ_γ включается в изменения полупроводниковых свойств оксидных и других поверхностных пленок. По сравнению с ϑ_p и ϑ_d фоторадиационный эффект мало влияет на скорость коррозии.

КОРРОЗИОННАЯ СТОЙКОСТЬ МЕТАЛЛОВ

Коррозионная стойкость металлов оценивается с помощью специальных шкал стойкости, в том числе — десятибалльной (табл. 9). В табл. 10 приведены сведения, показывающие коррозионные потери различных металлов при коррозионном токе 1 мА/см², а в табл. 11 сведения о коррозии в различных районах СССР.

9. Десятибалльная шкала коррозионной стойкости

Группа коррозионной стойкости	Скорость коррозии, мм/год	Балл
Совершенно стойкие	0,001	1
Весьма стойкие	0,001—0,005 0,005—0,01	2 3
Стойкие	0,01—0,05 0,05—0,1	4 5
Пониженное стойкое	0,1—0,5 0,5—1,0	6 7
Малостойкое	1,0—5,0 5,0—10,0	8 9
Нестойкое	10,0	10

Коррозионная стойкость металлов

Данные о коррозионной стойкости металлов в различных средах приведены в табл. 12 и 13.

Продолжение табл. 10

Металл	валентность катиона	Скорости коррозии	
		г/(м ² ·сут)	мм/год
Cr	6	0,08	0,004
Fe	2	0,25	0,012
Cd	2	0,50	0,021
Cu	1	0,57	0,023
Cu	2	0,29	0,012
Mg	2	0,11	0,023
Ni	2	0,26	0,011
Ag	1	0,97	0,034
Zn	2	0,29	0,015
Sn	2	0,53	0,027
Sn	4	0,27	0,013

11. Величина коррозии в различных районах за период продолжительностью 100 ч

Металлы	Москва, ромышленная атмосфера		Север, морская атмосфера		Энгельс, сельская атмосфера		Батуми, малозагрязненная атмосфера	
	м ²	мм	м ²	мм	м ²	мм	м ²	мм
Fe	15,5	1,97	12,5	1,59	7	0,89	9	1,14
Cd	1,55	0,18	0,7	0,08	0,65	0,07	0,85	0,10
Zn	0,8	0,11	1,0	0,13	0,4	0,06	0,55	0,08
Cu	0,4	0,04	1,2	0,14	0,15	0,02	0,20	0,02
Al	0,1	0,04	0,3	0,11	0,05	0,02	0,05	0,02
Количество ионов Cl^- , мг/(м ² ·сут)	1,8		14		0,18		1,0	
Количество SO_4^{2-} , мг/м ³	0,214		0,0133		0,0107		0,0053	

12. Коррозионная стойкость металлов в кислотах и щелочах

Металл	Массовая доля, %	Т	ХСТ, мм/год	Металл	Массовая доля, %	Т, °C	ХСТ, мм/год
Al	20—25 40 75 95	20—25 25 25 —	3,36 2,05 1,14 0,001	Ni	Насыщенный раствор	20	0,1
Rb	Сталь 1X13	Любая	Любая	Pb	Любая	20	Стойк.
Cu, латунь	Любая	Любая	Стойки	Сталь 1X13	Насыщенный раствор	Кипение	0,004
Ni	3—10	20	3	Al	10	0	10
Sn	3	20	3,21	Армко-железо	10	70	2,8
Сталь 1X13	7	20	0,001	Cu	10	70	2,2
Сталь X18H10T	30	2	0,007 0,11	Ni	10	70	3,7
	30	Кипение		Sn	10	70	3
				Pb	10	70	10
				Ti	10	70	10
				Zn	10	70	10

Продолжение табл. 12							
Металл	Массо-важа-доля, %	$t, ^\circ\text{C}$	ХСТ, мм/год	Металл	Массо-важа-доля, %	$t, ^\circ\text{C}$	ХСТ, мм/год
H_2SO_4							
Al	1 50	20 20	0,14 2,4	Сталь Х1Х13	10 50	20	0,1—1 3
Бронзы Армко-железо	30—50 40 75	20—80 20 20	0,05—1,0 16 0,86	Сталь Х18Н10Т Ti	5—99,5	70	0,001
Латунь	10 25	40 40—60	3 3,5	Al	20	20	0,9 0,01
Cu	10—40 40	20 40—60	0,01 1,3	Бронзм	От 40 до концен-триро-ванного раствора	20	
Ni	От 60 до концен-триро-ванного раствора	20	1	Латунь	40	20	0,04
Свинец	10 60	90	0,07 0,08	Cu	25 40	95 20	0,42 3,2
Сталь Ст3	5 60	20 20	4,4 1,5	Ni	20	20	1
Сталь Х18Н9Т	5 20	20 20	0,005 4,8	Sn Pb Pb Ag Сталь Х18Н9Т	5 40 20 23,6	20 20 80	0,08 0,08 0,01
HCl							
Al	3,5—35	От 20 до кипения	10	HF			
Бронзы	10—35	20—40	2,5—15	Al	40	20	15,40
Cu	20—30	2	10	Бронзы Армко-железо	20—40	20—100	0,05—1,5
Ni	10 20	80 80	3 2,88	Cu	40—60	20	0,08
Pb	10 1,6 0,5	20—100 70 20	0,1—0,3 17,8 2,3	Ni	48	20	
Сталь Ст3 Х13	1,6	70	11,5	Pb	40—60	20	0,08
Сталь Х81Н10Т	3	20	1,63	Сталь Х18Н9Т	48 70	20	13 5,8
Ti	10 20	100 100	62,6 257	Сталь Х18Н9Т	40	20	10
Cr (по-крытие) Zn	Любая	20	3	H_2CrO_4			
Al	Любая	20	3	Al	10	20	0,28
Бронзы Латунь	1—30 Любая 100 Любая	20—100 80 От 20 до кипения	0,11 2,49 0,5—7	Концен-триро-ванный раствор	20	20	0,94
Cu				Pb	Любая	Любая	Стоек
Sn	5 20—60	20 25	0,45 0,16	Сталь Х1Х13	10 30—60	20 100	0,1 10
Pb	20 90	20 Кипение	0,72 6	Ti	10	Кипение	0,1
Ag Сталь углеро-дистая	Любая 33	20—40 20	0,007 1,34	Al Ni	10 Насы-щенный раствор 0,75	70—80 20	1,49 0,1
Sn				Sn	20		0,001

Коррозионная стойкость металлов

Продолжение табл. 12							
Металл	Массо-важа-доля, %	$t, ^\circ\text{C}$	ХСТ, мм/год	Металл	Массо-важа-доля, %	$t, ^\circ\text{C}$	ХСТ, мм/год
$\text{H}_2\text{C}_2\text{O}_4$				NaOH			
Pb	Любая	Любая	Нестоек	Sn	0,8	20	0,2
Сталь Ст3	6,3	20	0,41	Pb	Концен-триро-ванный раствор	100 г/л	3
Сталь Х1Х13	10—50	Кипение	10	Сталь Ст3	20	60	0,07
Ti	0,5—10	35	0,13	Сталь Х1Х13	20	20	0,1
NaOH				Al	Любая	Любая	10
Бронзы	0,5—35	20—100	0,05—1,0	Сталь Х18Н10Т	200 г/л	100	0,09
в латуни	50	20—80	0,001—0,05	Сталь Х18Н10Т	620 г/л	100—140	0,18—0,65
Cu	50	80	0,001	Ti	40	Кипение	0,25

13. Коррозионная стойкость металлов в морской воде

Металл	Тип морской воды	$t, ^\circ\text{C}$	ХСТ, мм/год	Металл	Тип морской воды	Тем-пература, $^{\circ}\text{C}$	ХСТ, мм/год
Al	Любая Синтетич-ская	20	Нестоек 0,003—0,06	Sn	Синтетич-ская	20	0,001
Алюминиевые сплавы типа АМг и АМц	То же	20—60	0,001—0,01	Pb	То же	20	0,01
Бронзы, латуни, Армко-железо	*	20	0,07	Сталь угле-родистая	Финского залива	20	0,06
Cu	Любая Синтетич-ская	20	Стоек 0,1	Сталь Х1Х13	Черного моря	20	0,05—0,11
Ni		20		Сталь 2Х13	Тихо-океанская	20	0,1
				Сталь Х18Н9Т	Североморская	20	0,1
				Ti	Любая	20	Применим

Глава 2.

ОБЩЕТЕХНИЧЕСКИЕ СВЕДЕНИЯ

ХИМИЯ

В табл. 1 приведены атомные номера, валентность и атомная масса элементов.

Концентрация растворенных в воде веществ выражается: числом грамм-эквивалентов вещества N , растворенного в 1 л раствора (нормальность); числом граммов вещества C , растворенного в 1 л раствора, г/л; числом граммов вещества P , растворенного в 100 г раствора, %.

Пересчет концентрации P , выраженной в %, на концентрацию C в г/л производится по формуле

$$C = P \cdot 10,$$

где ρ — плотность, г/см³.

Пересчет концентрации N , выраженной в нормальности, на концентрацию C в г/л производится по формуле

$$C = \frac{NM}{z},$$

где M — молекулярная масса; z — валентность.

В табл. 2—5 представлены зависимости между концентрацией и плотностью растворов некоторых химикатов.

В табл. 6 приведены данные о процентном содержании металлов в их солях и окислах для наиболее часто применяемых в гальванотехнике веществ.

Электрохимия. В табл. 7 приведены стандартные электродные потенциалы металлов в водных растворах при температуре 25 °C.

Значения электрохимических эквивалентов некоторых элементов приведены в табл. 8.

В табл. 9 приведены значения постоянных a и b в уравнении Тафеля.

Электрокристаллизация. Процесс электрокристаллизации состоит из следующих стадий: 1) переноса разряжен-

ющихся ионов из объема электролита к поверхности электрода; ионы проходят через диффузионный слой к наружной границе диффузной части двойного электрического слоя; 2) перехода ионов на границе фаз со стороны электролита к металлу; происходит частичная десорбция металлических ионов, прохождение их через двойной электрический слой и превращение (разряд) ионов в адсорбированные ионы (ад-ионы)* и атомы (ад-атомы); на этой стадии происходит собственно электрохимическая реакция, при которой ионы, частично теряя сольватную или гидратную оболочку, адсорбируются поверхностью электрода и нейтрализуются электронами; 3) диффузии ад-атомов (ад-ионов) по поверхности электрода к местам роста и построения кристаллической решетки (образование двух- и трехмерных зародышей, внедрение атомов в кристаллическую решетку).

Последнюю стадию, происходящую на поверхности металла, можно представить как суммарный процесс распределения адсорбированных атомов в решетке металлических кристаллов. При этом рассматриваются два предельных случая. В первом случае металлические ионы проходят двойной электрический слой в любом месте поверхности, разряжаются и в виде адсорбированных атомов диффундируют к местам роста и распределяются там в решетке. Во втором случае металлические ионы поступают непосредственно к местам роста на катоде, одновременно восстанавливаются и распределяются в решетке.

Предполагается, что во втором случае подход металлических ионов непосредственно к местам роста с одновременным внедрением нейтральных атомов в кристаллическую решетку

Химия

23

1. Атомные номера, валентность и атомная масса элементов

Элемент	Символ	Атомный номер	Валентность	Атомная масса	Элемент	Символ	Атомный номер	Валентность	Атомная масса
Азот	N	7	3; 5	14,00	Натрий	Na	11	1	22,98
Алюминий	Al	13	3	26,98	Никель	Ni	28	2; 3	58,71
Барий	Ba	56	2	137,34	Олово	Sn	50	2; 4	118,69
Бериллий	Be	4	2	9,01	Палладий	Pd	46	2; 4	106,40
Бор	B	5	3	10,81	Платина	Pt	78	2; 4	195,09
Бром	Br	35	1; 5; 7	79,90	Рений	Re	75	4; 6; 7	186,21
Бакиний	V	23	3; 5; 4	50,94	Родий	Rh	45	3; 2	102,91
Бисмут	Bi	83	3; 5	208,98	Ртуть	Hg	80	2	200,59
Бородод	H	1	1	1,00797	Рутений	Ru	44	3; 4;	101,07
Больфрам	W	74	6	183,85					
Железо	Fe	26	2; 3	56,85					
Золото	Au	79	1; 3	196,97					
Индий	In	49	3	114,82					
Йод	I	53	1; 5; 7	126,90					
Иридий	Ir	77	1; 3; 4	192,22					
Кадмий	Cd	48	2	112,40					
Калий	K	19	1	39,10					
Кальций	Ca	20	2	40,08					
Кислород	O	8	2	15,9994					
Кобальт	Co	27	2; 3	58,93					
Кремний	Si	14	4	28,08					
Магний	Mg	12	2	24,31					
Марганец	Mn	25	2; 4;	54,93					
Медь	Cu	29	1; 2	63,54					
Молибден	Mo	42	6; 3; 4	95,94					
Мышьяк	As	33	3; 5	74,92					

2. Соотношение плотности и концентрации водных растворов кислот при 20 °C

Плотность, г/см ³	Концентрация, мас. доля, %						
	HCl	HNO ₃	H ₂ SO ₄	H ₃ PO ₄	HF	CH ₃ COOH	H ₂ CrO ₄
1,00	0,36	1,33	0,26	0,30	0,33	1,20	0,45
1,01	2,36	2,16	1,73	2,15	3,0	8,14	1,9
1,02	4,39	3,98	3,24	4,00	5,2	15,40	2,3
1,03	6,43	5,78	4,73	5,84	8,0	23,10	4,0
1,04	8,49	7,53	6,24	7,64	10,1	31,06	6,5
1,05	10,52	9,26	7,70	9,43	14,8	40,20	7,1
1,06	12,51	10,97	9,13	11,19	17,6	53,40	8,0
1,07	14,50	12,65	10,56	12,92	20,0	80,00	9,5
1,08	16,47	14,31	12,00	14,60	22,9	—	11,2
1,09	18,43	15,95	13,36	16,26	25,0	—	12,0
1,10	20,40	17,60	14,70	17,87	30,0	—	12,6
1,12	24,25	20,80	17,43	21,03	36,0	—	15,8
1,14	28,18	23,94	20,13	24,07	43,0	—	18,4
1,16	32,14	27,00	22,60	27,05	—	—	19,6
1,18	36,23	30,00	25,20	30,00	—	—	23,1
1,19	38,32	31,47	26,50	31,35	—	—	23,8
1,20	—	32,94	27,70	32,75	—	—	24,9
1,25	—	40,58	33,82	39,49	—	—	30,0
1,30	—	48,42	39,70	45,88	—	—	34,5
1,40	—	67,00	50,50	57,54	—	—	44,0
1,45	—	78,43	55,45	62,98	—	—	46,2
1,50	—	96,73	60,17	68,10	—	—	50,0
1,60	—	—	69,09	77,60	—	—	64,5
1,70	—	—	77,63	86,38	—	—	65,2
1,80	—	—	87,70	94,57	—	—	—

* Ад-ионы — не полностью нейтрализованные, частично дегидратированные ионы.

8. Соотношение плотности и концентрации водных щелочных растворов при 20°С

Плотность, г/см ³	Концентрация, мас. доля, %		
	NaOH	KOH	Na ₂ CO ₃
1,00	0,16	0,20	
1,01	1,04	1,29	1,14
1,03	2,84	8,48	3,05
1,05	4,65	5,66	4,98
1,07	6,47	7,82	6,30
1,09	8,28	9,96	8,55
1,11	10,10	12,08	10,74
1,13	11,92	14,19	12,52
1,15	13,73	16,26	14,35
1,20	18,25	21,38	17,90
1,25	22,82	26,34	—
1,30	27,41	31,15	—
1,35	32,10	35,82	—
1,40	36,99	40,37	—
1,45	42,07	44,79	—
1,50	47,33	49,10	—

4. Соотношение плотности и концентрации растворов аммиака при 20°С

Плотность, г/см ³	Концентрация, мас. доля, %	Плотность, г/см ³	Концентрация, мас. доля, %	1	2	4	6
				8	12	16	20
0,998	0,046	0,942	14,29				
0,996	0,51	0,940	14,88				
0,994	0,98	0,936	16,06				
0,992	1,43	0,934	16,65				
0,990	1,88	0,930	17,85				
0,988	2,35	0,928	18,45				
0,984	3,30	0,926	19,06				
0,982	3,78	0,924	19,67				
0,980	4,27	0,920	20,88				
0,978	4,76	0,918	21,50				
0,974	5,75	0,916	22,12				
0,972	6,25	0,914	22,75				
0,970	6,75	0,910	24,03				
0,968	7,26	0,908	24,68				
0,964	8,29	0,904	26,00				
0,962	8,82	0,900	27,33				
0,958	9,87	0,894	29,33				
0,956	10,40	0,890	30,68				
0,954	10,95	0,886	32,09				
0,950	12,03	0,882	33,59				
0,946	13,14	0,880	34,35				

5. Концентрация растворов некоторых солей в зависимости от плотности при 20°С

Плотность, г/см ³	Концентрация, мас. доля, %	Плотность, г/см ³	Концентрация, мас. доля, %
1,009	1	1,109	10
1,019	2	1,133	12
1,040	4	1,183	14
1,062	6	1,209	16
1,084	8		
1,107	10		
1,131	12		
1,154	14		
1,180	16		
1,206	18		
		1,084	8
		1,107	10
		1,131	12
		1,155	14
		1,180	16
		1,232	20
		1,378	30

6. Металлы в пересчете на его соль или окисел

Металл	Химическая формула соли или окиси	Количество металла, %
Cu	CuSO ₄ ·5H ₂ O CuCN	25 71
Ni	NiSO ₄ ·7H ₂ O	21
Zn	ZnSO ₄ ·7H ₂ O ZnO Zn(CN) ₂	23 81 56
Cr	Cr ₂ O ₃	52
Cd	CdO	43
Sn	SnSO ₄ SrCl ₂ ·2H ₂ O	55 53
Pb	2PbCO ₃ ·Pb(OH) ₂ PbO	81 93
Ag	AgNO ₃	63
Au	KAu(CN) ₃	68

7. Стандартные электродные потенциалы металлов в водных растворах относительно и. в. а. (ряд напряжений)

Электро-	E ₀ , В	Электро-	E ₀ , В
Li/Li+	-3,045	Co/Co ²⁺	-0,277
Rb/Rb ⁺	-2,925	Ni/Ni ²⁺	-0,250
K/K ⁺	-2,90	Mo/Mo ⁴⁺	-0,20
Ba/Ba ²⁺	-2,89	Sn/Sn ²⁺	-0,136
Sr/Sr ²⁺	-2,87	Pb/Pb ²⁺	-0,126
Ca/Ca ²⁺	-2,714	Fe/Fe ²⁺	-0,036
Na/Na ⁺	-2,714	D ₂ /2D	-0,0034
Mg/Mg ²⁺	-2,37	H ₂ /2H ⁺	0,000
Be/Be ²⁺	-1,847	Sb/Sb ³⁺	+0,24
Al/Al ³⁺	-1,662	As/As ³⁺	+0,247
Tl/Tl ⁺	-1,628	Bi/Bi ³⁺	+0,32
Zr/Zr ⁴⁺	-1,529	Cu/Cu ²⁺	+0,337
Tl/Tl ⁺	-1,21	Co/Co ⁴⁺	+0,4
V/V ²⁺	-1,186	Ru/Ru ²⁺	+0,45
Nb/Nb ³⁺	-1	Cu/Cu ⁺	+0,521
Cr/Cr ³⁺	-0,913	2Hg/Hg ₂ ²⁺	+0,789
Zn/Zn ²⁺	-0,763	Ag/Ag ²⁺	+0,799
Cr/Cr ³⁺	-0,744	Hg/Hg ₂ ²⁺	+0,854
Fe/Fe ²⁺	-0,440	Pd/Pd ²⁺	+0,987
Cd/Cd ²⁺	-0,403	Pt/Pt ⁴⁺	+1,2
In/In ³⁺	-0,342	Au/Au ²⁺	+1,50
Tl/Tl ⁺	-0,336	Au/Au ⁺	+1,691

Продолжение табл. 8

Хими- ческий элемент	Балент- ность	Электрохимич- еский эквивалент	
		мг/Кл	г/(А·ч)
Pd	2	0,553	1,990
Pt	4	1,011	3,640
Rh	3	0,356	1,280
Pb	2	1,074	3,865
	4	0,537	1,933
Ag	1	1,118	4,026
Sb	3	0,421	1,514
Ti	3	0,165	0,596
Cl	1	0,367	1,323
Cr	6	0,090	0,323
	3	0,180	0,648
Zn	2	0,339	1,220

9. Значения постоянных *a* и *b* для реакции катодного выделения водорода на разных металлах при 20°С

Материал электрода	Раствор	<i>a</i> , В	<i>b</i> , В
		мг/Кл	г/(А·ч)
Pb	1,0 н. H ₂ SO ₄	1,56	0,110
Tl	1,7 н. H ₂ SO ₄	1,55	0,140
	1,0 н. H ₂ SO ₄	1,415	0,113
Hg	1,0 н. HCl	1,406	0,116
	1,0 н. KOH	1,51	0,105
Cd	1,3 н. H ₂ SO ₄	1,40	0,120
Zn	1,0 н. H ₂ SO ₄	1,24	0,118
Sn	1,0 н. HCl	1,24	0,116
Cu	1,0 н. H ₂ SO ₄	0,80	0,115
	1,0 н. HCl	0,95	0,116
Ag	5,0 н. H ₂ SO ₄	0,95	0,13
	1,0 н. HCl	0,70	0,125
Fe	2,0 н. NaOH	0,76	0,112
Ni	0,11 н. NaOH	0,64	0,100
Co	1,0 н. HCl	0,62	0,140
	1,1 н. KOH	0,53	0,130
Pd	1,0 н. HCl	0,23	0,040
	5,0 н. HCl	0,55	0,11
W	1,0 н. HCl	0,23	0,040
	5,0 н. HCl	0,55	0,11
Pt	1,0 н. NaOH + + 1,5 н. Na ₂ SO ₄	0,10	0,13

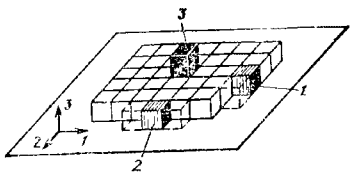


Рис. 1. Схема роста двухмерного зародыша

реализуется, когда поверхность катода почти полностью блокирована поверхностно-активным веществом.

Скорость протекания всего процесса в целом определяется стадией, сопровождающейся наибольшим торможением, причинами которого могут быть замедленный перенос разряжющихся ионов с катода, т. е. концентрационное перенапряжение (1-я стадия); замедленный разряд ионов, который обусловлен трудностью переноса заряда через двойной электрический слой и изменением физико-химического и энергетического состояния ионов (дегидратация, десорбция, распад комплексных ионов и др.), т. е. электрохимическое перенапряжение (2-я стадия); трудности, связанные с построением кристаллической решетки (замедленная диффузия ад-атомов или ад-ионов по поверхности катода к местам роста кристаллов, затруднения при вледении атомов в кристаллическую решетку или при образовании двух- или трехмерных кристаллических зародышей), т. е. кристаллизационное перенапряжение (3-я стадия). Значения кристаллизационного перенапряжения сравнительно невелики и зависят от природы металла и состояния поверхности катода, которое во время электролиза меняется в результате адсорбции посторонних ионов и молекул органических веществ. Для многих металлов (Sn, Pb, Ag, Hg, Cd и др.), имеющих сравнительно большие токи обмена, кристаллизационное перенапряжение составляет всего лишь несколько милливольт и возникает, когда электрохимическое перенапряжение при выделении этих металлов очень мало, например, при электролизе растворов простых солей этих металлов в отсутствие поверхностно-активных добавок.

Большое значение при электролизе имеет так называемое пассивационное перенапряжение, или перенапряжение ингибирования, обусловленное прочной адсорбцией посторонних частиц на поверхности электрода.

Кроме перечисленных причин торможения электродного процесса, существуют факторы, затрудняющие процесс вследствие медленного протекания одной из химических реакций, составляющих суммарную электродную реакцию. Это явление носит название химического (реакционного) перенапряжения.

Таким образом, процесс выделения металла на катоде протекает при сдвиге, иногда весьма значительном, потенциала (по сравнению с равновесным) в сторону отрицательных значений для преодоления указанных торможений.

После смещения потенциала катода в сторону отрицательных значений (по сравнению с равновесным потенциалом выделяемого металла) в растворе начинается образование кристаллических зародышей выделяемого металла на электроде. Первоначально образуемые зародыши металла имеют толщину нескольких атомных слоев, и слой этих зародышей может рассматриваться как двухмерный. Дальнейший рост двухмерного зародыша может происходить как в плоскости самого зародыша, так и в направлениях, перпендикулярном плоскости двухмерного зародыша.

На рис. 1 схематично показан двухмерный зародыш и направления его роста. Рост первоначального двухмерного зародыша может принципиально ити по трем направлениям, указанным на рис. 1 стрелками 1, 2 и 3. Энергетически наиболее вероятным направлением роста является направление 1, так как работа образования зародыша в положении 1 минимальна и минимально число свободных граней вновь образуемого зародыша. В положении 2 число свободных граней нового зародыша будет на одну больше, и поэтому большая работа его образования, и, следовательно, рост двухмерного кристалла в направлении 2 будет менее вероятен, чем в направлении 1. Наконец, наименее вероятным направлением роста является направление 3.

Обычно рост объемного кристалла выделяемого металла идет по всем направлениям, хотя скорость роста в отдельных направлениях более высокая. Наряду с образованием зародышей металла иногда возможен процесс из окисления, т. е. растворения, и наблюдалась скорость роста металлического осадка является разницей скоростей образования и растворения выделяемого металла.

Скорость роста металлического катодного осадка в различных направлениях зависит от режима электролиза. При низких значениях поляризующего катодного тока и незначительном смещении катодного потенциала от равновесного значения может произойти замедление роста кристалла в отдельных направлениях, и кристалл начнет расти только в одном направлении, приобретая вигевидную форму. Такая форма наблюдается при кристаллизации Ag из раствора AgNO_3 в присутствии некоторых добавок, например однократной кислоты. Это связано с тем, что при малых плотностях тока происходит пассивация всех, кроме одной, граней кристалла вследствие адсорбции на них поверхностно-активных веществ, которые всегда содержатся в растворе. Адсорбция позволяет на одной из граней поддерживать даже при малой силе тока такую плотность тока, которая превышает скорость поступления к этой грани поверхностно-активных веществ и обеспечивает рост этой грани.

С ростом силы поляризующего тока скорость роста осадка на катоде возрастает. При этом увеличивается число возникающих в различных точках растущего осадка новых кристаллических зародышей. Расстояние между новыми возникающими зародышами и их число зависят от концентрации раствора, с уменьшением которой расстояния и число зародышей возрастают.

Большое влияние на структуру осадков при катодном выделении металлов оказывают поверхностно-активные вещества, содержащиеся в растворе, которые, адсорбируясь на растущих гранях кристалла, генерируют их и приводят к возникновению новых многочисленных кристаллических зародышей, благодаря чему в этих условиях образуются плотные мелкокристаллические осадки. Часто орга-

нические добавки входят в состав катодных осадков. Получению мелкокристаллических пластинчатых катодных покрытий способствуют и другие факторы, приводящие при данной силе тока к увеличению катодной поляризации: например, использование электролитов, содержащих комплексные ионы выделяемого металла.

По степени трудности восстановления ионов на катоде металлы условно можно разделить на три группы. К 1-й группе относятся металлы, восстанавливавшиеся с низким перенапряжением (Sn, Cd, Zn, Cu, Ag и др.). Выделение этих металлов происходит в основном из активных участков катодов без замены химической поляризации.

Металлы 2-й группы, восстанавливавшиеся с высоким перенапряжением (Fe, Co, Ni, Cr, Mn и др.), склонны к пассивированию. Существование на катоде такой пленки вследствие адсорбции чужеродных частиц повышает перенапряжение и позволяет осаждать такие металлы из некоторых их солей. При этом покрытия не отличаются высокой чистотой и содержат примеси в виде окиси, гидроокиси, водорода и др. К 3-й группе относят металлы, которые пока не удается получить из водных электролитов (Mo, W, Nb, Ta, Mg, Ti и др.). Для этих металлов характерна повышенная реакционная способность по отношению к среде и образование поверхностных соединений. Они выделяются на катоде в виде тонкого слоя окиси или гидроокиси.

Рассеивающая и кроющая способность электролитов. Распределение гальванического покрытия по поверхности деталей практически никогда не бывает равномерным: на юбках и выступах толщина покрытия значительно больше, чем во впадинах детали. В глубоких пазах и отверстиях покрытия часто отсутствуют. Неравномерность покрытия зависит от распределения силовых линий электрического тока по профилю катода.

Распределение тока по поверхности катода зависит: от геометрических факторов — размера и формы электродов и ванны, расположения электродов относительно друг друга и относительно степеней электролитической ячейки; от электрохимических факторов — электропроводимости

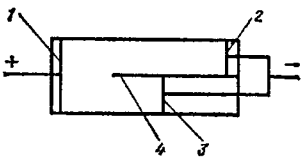


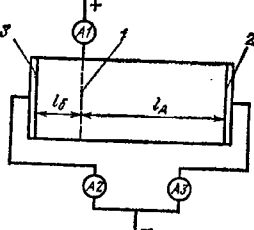
Рис. 2. Ячейка Филда:

1 — анод; 2 — дальний катод; 3 — ближний катод; 4 — изолирующая перегородка

электролита и характера изменения катодной поляризации с изменением плотности тока. Распределение металла, в свою очередь, зависит от распределения тока и от характера изменения выхода металла по току с изменением плотности тока.

Различают первичное и вторичное распределение тока. Первичное зависит от геометрических параметров; оно наименее равномерно и наблюдается при отсутствии электродной поляризации; характерная особенность первичного распределения тока — его независимость от абсолютных геометрических размеров ванны; оно одинаково для геометрически подобных систем любого масштаба. Вторичное, действительное, распределение тока отличается от первичного большей равномерностью; оно зависит от поляризуемости катода dE/di , удельной электропроводности раствора κ и геометрических размеров системы.

Способность электролита изменять первичное распределение тока, обусловленное только соотношением геометрических параметров, называют рассеивающей способностью электролита. Обычно этот термин употребляют и

Рис. 8. Ячейка Херринга и Блюма:
1 — перфорированный анод; 2 — дальний катод; A1, A2, A3 — амперметры

для оценки способности электролита давать равномерные по толщине покрытия. Поэтому принято различать рассеивающую способность электролитов по току (РС_т) и рассеивающую способность электролитов по металлу (РС_м), хотя второе понятие нельзя считать вполне строгим.

Для экспериментального определения рассеивающей способности используют электролизовую ячейку Филда (рис. 2) или ячейку Херринга и Блюма (рис. 3). В первом случае рассеивающую способность РС, %, определяют по формуле

$$PC = \frac{K - M}{K + M - 2} 100,$$

где K — первичное распределение, выраженное отношением расстояний от анода до дальнего и ближнего катодов, т. е. $K = l_d/l_b$; M — вторичное, фактическое, распределение металла, выраженное отношением масс металлов, выделившихся на ближнем и дальнем катодах, т. е. $M = M_b/M_d$.

Во втором случае для определения рассеивающей способности, %, пользуются формулой

$$PC = \frac{K - M}{K} 100.$$

Отношение K принимают равным пяти. Максимальная рассеивающая способность достигается тогда, когда привес металла на ближнем и дальнем катодах одинаков, т. е. $M = 1$, и, следовательно, $PC = 80\%$.

Значения рассеивающей способности для некоторых типовых электролитов приведены в табл. 10.

Для экспериментального определения РС_т электролитов применяют также

10. Рассеивающая способность электролитов (по Херрингу и Блюму)

Электролит	РС, %
Хромированием	-50 ± -10
Цинкования: кислый цианистый	2 ± -10 55-65
Медвания: кислый цианистый	0-15 55-68
Никелирования	0-20
Оловянирования: кислый щелочечный	0-30 60-74
Серебрения	10-60

ячейки с угловыми катодами и щелевые ячейки.

Под микрорассеивающей способностью понимают способность электролита образовывать равномерные осадки на микрорельефе поверхности катода. Микрорассеивающую способность выражают отношением толщин покрытий на различных участках микроуглублений δ_3/δ_2 и δ_2/δ_1 . δ_2 и δ_3 — толщина слоя покрытия на вершине углов и на средней части одной из сторон выемки соответственно (рис. 4). По мере увеличения отношения δ_3/δ_2 и δ_2/δ_1 возрастает выравнивающая способность электролита, на которую влияют значение катодной поляризации и введение в электролит специальных выравнивающих добавок.

Кроющая способность зависит от условий электролиза, природы покрываемого металла, состояния его поверхности (пассивное или активное), неоднородности поверхности металла по составу и структуре, характера предварительной обработки электролов перед покрытием и др. Она характеризует полноту покрытия, так как толщина слоя не принимается во внимание. На рис. 5 схематично показана разница между кроющей и рассеивающей способностями электролита на электроде в ячейке Хулла. Рассеивающая способность представлена как отношение δ_2/δ_1 , где δ_2 — толщина покрытия в середине катода, а δ_1 — на краю катода. Кроющая способность t определяется как величина покрытой поверхности катода в ячейке Хулла.

В качестве меры кроющей способности иногда принимают ту минимальную плотность тока, при которой только начинается осаждение покрытия. Для изучения кроющей способности используют угловые катоды с различными углами и длинами углов, щелевые катоды, шлифовальные ячейки, ячейки Хулла или перфорированную шкалу Пизи.

Кроющая способность увеличивается с повышением плотности тока. Это используют при хромировании. Первоначально производят кратковременное хромирование с повышенной плотностью тока (толчок); рабочую плотность тока устанавливают после того, как все изделие покроется тонким слоем хрома. Кроющая способность хромовой ванны на никеле, алюминии

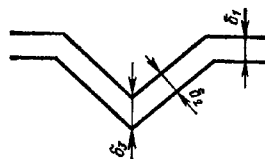


Рис. 4. Угловая риска для определения микрорассеивающей способности

и его сплавах хуже, чем на меди и железе. Она может быть улучшена путем осаждения соответствующего промежуточного слоя.

Если рассеивающая способность важна для всех гальванических ванн, то кроющая способность имеет существенное значение только для хромового электролита.

Выход по току. На катоде кроме осаждения металла происходят и другие процессы: выделение водорода, восстановление металлов до более низкой валентности (Fe^{3+} до Fe^{2+}), а также восстановление органических веществ, попавших в электролит. В результате этого суммарное количество электричества, затрачиваемое на выделение вещества, превышает количество электричества, рассчитанное по закону Фарadays.

Это явление характеризуется коэффициентом полезного использования тока, или выходом по току (%), который определяется следующим отношением:

$$BT = \frac{Q_t}{Q_{th}} 100 = \frac{\Delta m_f}{\Delta m_r} 100,$$

где Q_t , Q_{th} — количества электричества, соответственно теоретически (по закону Фарadays) и практически рас-

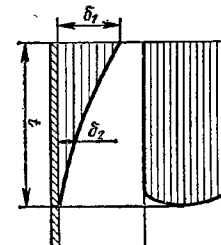


Рис. 5. Рассеивающая и кроющая способности покрытия на электроде ячейки Хулла

ходуемые на единицу продукта; Δm_t — количества вещества, соответствующие фактически и теоретически выделившимся на электроде.

В гальваниотехнике значение выхода по току определяется отношением количества металла, осажденного на катоде (катодный выход по току) или растворившегося на аноде (анодный выход по току), к количеству металла, рассчитанному по закону Фарадея.

В соответствии с законом Фарадея расчет толщины δ (мкм) осаждаемого металлического покрытия проводят по формуле

$$\delta = \frac{3,6i_K K_s B T t_3}{\rho},$$

где ρ — плотность металла.

Для расчета времени, необходимого для осаждения покрытия заданной толщины δ , используют соотношение

$$t_3 = \frac{\delta \rho}{3,6i_K K_s B T}.$$

Напряжение на ванне, необходимое для правильного выбора источника тока, определяют по формуле

$$U = (1 + \beta) [E_a - E_n + (1 + \alpha) \times \\ \times IR],$$

11. Основные параметры гальванических ванн

Электролит	Плотность тока, А/дм ²		Потенциал, В		$10^4 \gamma, \text{См}/\text{м}$	α	β
	i_K	i_a	E_K	E_a			
Хромированный	27,7	10,0	-0,80	+1,80	0,60	0,20	0,10
Никелированный	1,0	0,5	-0,68	+0,30	0,40	0,01	0,05
Цинкования:							
цинканистый	1,0	1,0	-1,70	-1,20	0,20	0,10	0,04
аммиакатный	1,0	1,0	-1,40	-0,90	0,11	0,02	0,04
кислый	1,0	1,0	-0,78	-0,60	0,10	0,01	0,04
Кадмирования:							
цинканистый	1,0	1,0	-1,60	-1,20	0,15	0,10	0,04
кислый	1,0	1,0	-0,48	-0,30	0,08	0,02	0,04
Меднения:							
кислый	1,0	1,0	+0,25	+0,35	0,50	0,00	0,02
цинканистый	1,0	0,5	-1,50	-0,30	0,15	0,10	0,04
Серебрения:							
цинканистый	0,5	0,5	-0,70	+0,10	0,05	0,01	0,02
роданисто-серебристый	0,5	0,5	-0,60	+0,80	0,17	0,01	0,02
Золочения:							
цинканистый	0,3	0,3	-1,40	+0,08	0,06	0,10	0,05
лимоннокислый	0,2	0,3	-0,90	+1,00	—	—	—
Лужения:							
кислый	1,0	1,0	-0,50	+0,15	0,20	0,01	0,03
щелочной	1,0	2,0	-1,50	-0,80	0,18	0,15	0,05

где β — коэффициент, учитывающий потери напряжения на контактах покрываемых деталей с подвесочным приспособлением; E_a , E_K — потенциалы анода и катода соответственно, В; α — коэффициент, учитывающий потери напряжения в электролите за счет газонаполнения; I — сила тока на ванне, А; R — сопротивление электролита, Ом.

Расчет напряжения на ванне проводят применительно к столбу электролита сечением l дм² и длиной l , равной расстоянию между анодом и катодом.

В этом случае вместо силы тока I принимается средняя плотность тока i_{cp} , которая вычисляется как среднеквадратичная из значений анодной и катодной плотностей тока, т. е.

$$i_{cp} = \sqrt{i_K i_a}.$$

Сопротивление электролита (Ом)

$$R = \frac{l}{s\kappa} = \frac{l}{\kappa},$$

где l — расстояние катод-анод, см; s — площадь сечения в 1 дм²; κ — удельная электропроводимость, См/м.

В табл. 11 представлены все необходимые для расчета сведения и зна-

чения для наиболее распространенных электролитов.

Минимальное напряжение источника тока определяется как сумма напряжений на клеммах ванны и потеря напряжения в токопроводных шинах, составляющих до 10 %.

12. Физические константы металлов

Символ	Плотность, г/см ³	Температура плавления, °C	Температура кипения, °C	Удельное электрическое сопротивление, $10^{-6} \Omega \cdot \text{м}^2/\text{м}$	Удельная электропроводность, $10^4 \text{ См}/\text{м}$	Удельная теплопроводность при 0—100 °C, $\text{Дж}/(\text{кг} \cdot \text{К})$	Теплопроводность при 20 °C, $\text{Вт}/(\text{м} \cdot \text{К})$	Микротвердость	Температурный коэффициент линейного расширения, 10^{-6} К^{-1}
As	5,73	814	610	0,350	2,8	343,2	—	—	5,0
Sb	6,67	630	1440	0,386	2,6	209,3	18,84	35—40	10,8
Al	2,70	658	2080	0,028	36,0	900,1	221,90	15—25	23,1
Pb	11,34	327	1750	0,207	4,8	129,8	35,59	4—7	28,0
Be	1,82	1285	2770	0,059	16,9	2177,0	159,10	60—140	12,0
Cr	7,19	1890	2500	0,039	6,7	460,5	272,10	До 70 *	6,6
Fe	7,86	1530	2740	0,097	10,3	482,1	72,85	До 60	12,5
Ga	5,90	30	2064	0,395	—	335,1	—	—	18,0
Ge	5,35	958	—	0,890	1,1	305,8	—	—	6,0
Au	19,30	1063	2960	0,023	45,7	129,8	314,01	18,5	14,2
In	7,31	156	1450	0,084	12,0	234,4	23,87	—	41,7
Ir	22,65	2454	5300	0,05	18,9	129,8	58,62	—	6,8
Co	8,83	1492	2900	0,062	16,1	389,3	71,18	125	12,3
Cd	8,64	321	767	0,076	14,6	230,3	92,95	16	31,0
Cu	8,93	1083	2600	0,017	60,0	385,2	319,50	35	16,5
Mo	10,2	2622	4800	0,052	19,2	247,0	146,50	~ 16	5,3
Mn	7,30	1247	2150	1,850	0,54	505,6	50,24	—	22,0
Mg	1,74	650	1102	0,045	22,2	1017,0	171,66	35	26,0
Ni	8,90	1452	2730	0,068	14,7	448,0	90,00	80—120	12,5
Pd	12,0	1555	4000	0,109	9,26	286,1	67,00	—	10,6
Pt	21,45	1774	4400	0,098	10,2	134,0	71,18	—	8,9
Re	20,9	3170	—	0,198	5,0	138,1	—	—	4,0
Rh	12,44	1966	4500	0,043	23,2	247,0	87,92	146	9,0
Ru	12,30	2500	4900	0,076	13,2	230,3	—	—	10,0
Ag	10,50	960	2210	0,016	62,5	234,4	418,70	25	19,2
Se	4,81	220	680	0,114	8,8	3220,0	—	—	37,0
Te	6,24	452	1300	0,000	—	205,3	4,19	—	17,2
Th	11,83	303	1457	0,150	5,5	133,8	50,30	—	29,0
Ti	4,50	1820	3300	0,800	1,2	473,1	37,68	160—260	8,5
Ta	16,6	3000	4100	0,144	8,1	159,1	54,43	—	6,5
V	5,9	1720	3150	0,190	3,8	502,4	—	260	7,8
W	19,3	3380	6000	0,050	20,0	134,0	159,10	~ 350	4,5
Bi	9,87	271	1560	1,010	0,99	125,6	8,37	9	12,0
Sn	7,28	232	2270	0,115	8,7	226,1	67,00	40	23,0
Zn	7,13	419	906	0,055	16,9	385,2	125,60	35	36,0
Zr	6,53	1860	3200	0,410	—	284,4	—	—	14,3

* Электролитический хром 600—1100.

ОБЩЕТЕХНИЧЕСКИЕ СВЕДЕНИЯ

13. Перевод чисел твердости на прочность для сталей

<i>HV</i>	<i>PL</i>	<i>HRC</i>	σ_B , МПа*	<i>HV</i>	<i>HB</i>	<i>HRC</i>	σ_B , МПа*
100	100	—	360	300	29,7	—	1080
110	110	—	396	310	31,1	—	1116
120	120	—	432	320	32,4	—	1152
130	130	—	468	600	54,5	—	1966
140	140	—	504	620	55,5	—	2027
150	150	—	540	640	56,5	—	2084
160	160	1,0	576	660	57,5	—	2146
170	170	5,0	612	680	58,5	—	—
180	180	8,0	648	720	60,5	—	—
190	190	11,0	684	740	61,4	—	—
200	200	12,6	720	760	62,2	—	—
210	210	14,2	756	780	63,0	—	—
220	220	16,0	792	800	63,8	—	—
230	230	18,0	828	820	64,8	—	—
240	240	20,0	864	840	65,4	—	—
250	250	22,0	900	860	66,0	—	—
260	260	23,6	936	880	66,7	—	—
270	270	25,2	972	900	67,3	—	—
280	280	26,8	1008	—	—	—	—
290	290	28,3	1044	—	—	—	—

* $\sigma_B = 0,46 \cdot HB$.14. Полная площадь поверхности цилиндрических тел (дм²)

Высота (длина), мм	Диаметр цилиндра, мм						
	3	5	8	1	12	1	20
0	0,0014	0,004	0,01	0,015	0,0225	0,035	0,063
3	0,0042	0,0087	0,017	0,024	0,034	0,049	0,081
5	0,0061	0,012	0,023	0,03	0,041	0,058	0,091
10	0,0089	0,0166	0,03	0,04	0,0525	0,073	0,11
12	0,011	0,019	0,035	0,047	0,06	0,082	0,125
15	0,013	0,023	0,04	0,053	0,068	0,091	0,138
18	0,016	0,0275	0,0476	0,062	0,08	0,10	0,157
20	0,018	0,032	0,056	0,072	0,09	0,12	0,19
25	0,02	0,035	0,06	0,078	0,0975	0,13	0,22
30	0,025	0,043	0,073	0,093	0,116	0,15	0,25
35	0,03	0,056	0,085	0,11	0,135	0,18	0,283
40	0,034	0,066	0,098	0,125	0,154	0,2	0,32
45	0,039	0,067	0,11	0,14	0,173	0,22	0,345
50	0,044	0,0745	0,12	0,156	0,192	0,248	0,38
55	0,048	0,08	0,136	0,17	0,21	0,27	0,43
60	0,053	0,09	0,15	0,187	0,23	0,295	0,44
65	0,058	0,098	0,16	0,200	0,26	0,317	0,47
70	0,0625	0,103	0,17	0,22	0,27	0,345	0,5
75	0,067	0,114	0,186	0,23	0,286	0,365	0,55
80	0,072	0,121	0,2	0,25	0,30	0,39	0,59
85	0,076	0,13	0,21	0,265	0,32	0,41	0,62
90	0,0814	0,138	0,22	0,28	0,346	0,435	0,66
95	0,086	0,145	0,235	0,30	0,36	0,46	0,69
100	0,096	0,16	0,26	0,33	0,40	0,50	0,69

МАТЕМАТИКА

Определение площади поверхности деталей. Площадь поверхности деталей вычисляют, используя размеры деталей, указанные в чертеже, или измеряя детали штангенциркулем, линейкой или другим измерительным инструментом.

Площади поверхности деталей, имеющих форму прямых геометрических тел (призмы, конуса, цилиндра), определяются по формулам расчета поверхности. Площади поверхности деталей, имеющих сложную конфигурацию, условно разделяют на более простые элементы, площади которых можно легко вычислить. При этом участки площади поверхности, имеющие неправильную форму, приближенно приравнивают к более простым фигурам (треугольнику, прямоугольнику, кругу), пренебрегая такими участками деталей, как фаски, радиусы, закругления, шлицы. Площади поверхности

цилиндрических тел, к которым относятся многие детали, полученные точением, можно определить по табл. 14, где представлена полная площадь поверхности цилиндра различных диаметров и длины. Если деталь типа втулки имеет два диаметра — наружный и внутренний, то при определении ее площади поверхности по табл. 14 допускается ошибка, но она незначительной и сю можно пренебречь, так как торцевые поверхности цилиндра компенсируют поверхность внутренней полости при длине цилиндра больше его диаметра.

В первой строке табл. 14 (высота нуль) даны значения удвоенной площади поверхности круга; эти значения можно использовать при определении площади поверхности дисков, шайб.

В табл. 15 приведены площади поверхностей винтов с цилиндрической головкой в зависимости от длины винта и диаметра резьбы.

Длина винта, мм	Диаметр резьбы								
	M3	M4	M	M6	M8	M10	M12	M16	M20
8	0,0195	0,0250	0,030	—	—	—	—	—	—
10	0,0220	0,0310	0,035	0,0590	0,0935	—	—	—	—
12	0,0235	0,0345	0,0480	0,0615	0,1050	—	—	—	—
15	0,0265	0,0385	0,0530	0,0700	0,1050	—	—	—	—
18	0,0290	0,0420	0,0575	0,0775	0,1160	0,160	0,210	—	—
22	0,0330	0,0475	0,0640	0,0830	0,1350	0,180	0,230	—	—
25	0,0360	0,0510	0,0685	0,0890	0,1450	0,195	0,250	0,380	—
30	0,0405	0,0575	0,0765	0,0980	0,1500	0,210	0,280	0,420	—
35	—	0,0635	0,0840	0,1100	0,1600	0,225	0,300	0,465	0,629
40	—	—	0,0920	0,1200	0,1750	0,240	0,310	0,490	0,680
45	—	—	0,1000	0,1300	0,1900	0,260	0,330	0,515	0,731
50	—	—	—	0,1400	0,2000	0,270	0,350	0,540	0,762
60	—	—	—	—	—	—	0,390	0,590	0,825

Глава 3.

ПРИМЕНЕНИЕ И СВОЙСТВА ГАЛЬВАНИЧЕСКИХ ПОКРЫТИЙ

ОБЩИЕ СВЕДЕНИЯ

Классификация покрытий. В зависимости от требований, предъявляемых к эксплуатационным характеристикам деталей, различают три типа покрытий: защитные, применяемые для защиты от коррозии деталей в различных агрессивных средах;

защитно-декоративные, применяемые для декоративной отделки деталей с одновременной защитой их от коррозии;

специальные, применяемые для придания поверхности деталей специальных свойств (износостойкости, паяемости, твердости, электроизоляционных, магнитных свойств и др.), восстановление изношенных деталей или обеспечивающие защиту основного металла от особых сред (местная защита от цементации, азотирования и пр.).

По способу защитного действия гальванические покрытия делятся на катодные и анодные. Катодные покрытия имеют более положительный, а анодные более электроотрицательный электродные потенциалы по сравнению с потенциалом металла, на который они наанесены. Так, например, Cu, Ni, Ag, Au, осажденные на сталь, являются катодными покрытиями, а Zn и Cd по отношению к стали — анодными.

Защитные действия покрытий зависят не только от природы металла, но и от состава коррозионной среды. Олово по отношению к Fe в растворах неорганических кислот и солях является катодным покрытием, а в ряде органических кислот (пищевых консервах) — анодным. Катодные покрытия защищают металл детали механически, изолируя его от окружающей среды. Основное требование к катодным покрытиям — беспористость. Анодные покрытия защищают металл детали главным образом электрохимически. Поэтому степень пористости анодных покрытий в отличие от катодных не играет существенной роли.

Обозначение покрытий. Для краткого наименования различных видов покрытий в конструкторской и нормативно-технологической документации приняты специальные условные обозначения (шифры) покрытий.

Шифр покрытий включает сведения о способе нанесения (за исключением гальванических покрытий) (табл. 1), материале покрытия (на начальные буквы металла покрытия) (табл. 2), знаке, характеризующем физико-механические свойства покрытия (табл. 3), толщине покрытия (табл. 4), декоративные свойства покрытий — по ГОСТ 21484-76 и о виде дополнительной обработки (табл. 5).

Примеры условных обозначений покрытий приведены в табл. 6.

Выбор покрытий. При выборе покрытий в соответствии со стандартом ГОСТ 14623-69 следует учитывать назначение и материал детали, условия эксплуатации деталей, назначение и свойства покрытия, способ нанесения покрытия, допустимость контактов со связанными металлами и экономическую целесообразность применения этого покрытия.

Условия эксплуатации. Коррозионное воздействие среды, определяемое условиями эксплуатации изделий, является одним из важнейших факторов, обуславливающих выбор покрытий.

Условия эксплуатации в соответствии с ГОСТ 14007-68 в зависимости от коррозионной агрессивности среды (степени загрязнения воздуха коррозионно-активными агентами, температуры окружающей среды и других климатических факторов) классифицируют по группам: легкая — L, средняя — C, жесткая — Ж, очень жесткая — ОЖ.

Характеристики условий различных групп эксплуатации приведены в табл. 5 гл. 1.

Требования к поверхности основного металла. Качество поверхности основного металла, на которые наносятся гальванические покрытия, должно со-

Общие сведения

35

1. Способ нанесения покрытий

Способ нанесения покрытия	Условное обозначение способа
Катодное восстановление	—
Химический	Хи
Анодное окисление	Ан

2. Наименование материала покрытий и их обозначение

Наименование	Обозначение покрытия
Алюминий	А
Алюминий-цинк	А-Ц
Бисмут	Би
Вольфрам	В
Железо	Ж
Золото	Зл
Золото-серебро	Зл-Ср
Золото-серебро-медь	Зл-Ср-М
Золото-сурьма	Зл-Су
Золото-никель	Зл-Н
Золото-цинк-никель	Зл-Ц-Н
Золото-медь	Зл-М
Золото-медь-кадмий	Зл-М-Кд
Золото-коバルт	Зл-Ко
Золото-никель-коバルт	Зл-Н-Ко
Золото-платина	Зл-Пл
Золото-янтарь	Зл-Ин
Иридий	Ир
Иридий	Ирд
Кадмий	Кд
Кадмий-титан	Кд-Ти
Кобальт	Ко
Марганец	Мц
Медь	М
Медь — олово (бронза)	М-О
Медь — олово-цинк	М-О-Ц
Медь — цинк (латунь)	М-Ц
Молибден	Мо
Молибден — марганец — кремний	Мо-Мц-Кр
Никель	Н
Никель — бор	Н-Б
Никель — вольфрам	Н-В
Никель — кадмий	Н-Кд
Никель — коバルт	Н-Ко
Никель — фосфор	Н-Ф
Никель — коバルт — вольфрам	Н-Ко-В
Никель — коバルт — фосфор	Н-Ко-Ф
Олово	О
Олово — висмут	О-Ви
Олово — кадмий	О-Кд
Олово — коバルт	О-Ко
Олово — никель	О-Н
Олово — свинец	О-С
Олово — цинк	О-Ц
Палладий	Пд
Палладий — никель	Пд-Н
Платина	Пл
Рений	Ре
Родий	Рд
Рутений	Ру
Свинец	С
Серебро	Ср
Серебро — медь	Ср-М

Продолжение табл. 2

Наименование	Обозначение покрытия
Серебро — сурьма	Ср-Су
Серебро — палладий	Ср-Пд
Сурьма	Су
Титан	Ти
Хром	Х
Цинк	Ц
Цинк — никель	Ц-Н
Оксидное	Окс
Фосфатное	Фос

3. Принципы покрытий, характеризующие их физико-механические свойства

Принцип покрытия по физико-механическим свойствам	Условное обозначение
Микропористое	пор
«Молочное»	мол
Твердое	тв
Электропроводное	э
Электропротивоизоляционное	из

4. Ряды толщин покрытий

Материал покрытий	Ряды толщин покрытий, мкм
1. Драгоценные и редкие металлы и их сплавы: Au, Pd, Rh и др.	0,1; 0,25; 0,5; 1; 2; 3; 4; 6
2. Ag	0,5; 1; 2; 3; 4; 6; 7; 8; 9; 10
3. Zn, Cu, Ni, Cr и др. металлы и их сплавы	0,25; 0,5; 1; 2; 3; 4; 6; 9; 12; 15; 18; 21; 24; 30; 35; 40; 45; 50; 60

5. Дополнительная обработка покрытий

Вид дополнительной обработки покрытия	Условное обозначение
Фосфатирование	фос
Хроматирование	хр
Оксидирование	око
Гидрофобизирование	гж
Пронитка маслом	пм
Наполнение в воде	на
Онравливание, в том числе наполнение в растворе красителя	он
нанесение лакокрасочного покрытия	по ГОСТ 21484-76

6. Условные обозначения покрытий

Покрытие	Условное обозначение
Цинковое, толщиной 15 мкм, хроматированное	Ц15. хр
Цинковое, толщиной 9 мкм, полученное из неизвестного электролита, хроматированное	Ц9. неизвестный. хр
Хромовое двухслойное: «молочное», толщиной 24 мкм, твердое, толщиной 12 мкм	Х24. мол. Х12тв
Цинковое, толщиной 6 мкм с последующей окраской	Ц. б/лкп
Никелевое, полученное химическим способом, толщиной 9 мкм, гидрофобизированное	Хим. Н9. гфж
Оксисное электронзолационное, полученное анондным окислением, пропитанное бесцветным лаком	Ан. Окс. из. прп/лкп

ответствовать ГОСТ 9.301—78. Параметры шероховатости поверхности основного металла должны быть не более: $Rz = 40$ мкм под защитные покрытия; $Ra = 2,5$ мкм под защитно-декоративные; $Rz < 40$ мкм под специальные покрытия в зависимости от функционального назначения; $Ra = 1,25$ мкм под твердые и электронзолационные одно- и окисные покрытия.

Указанные требования в шероховатости поверхности не распространяются на нерабочие труднодоступные для обработки и нерабочие внутренние поверхности деталей, резьбовые поверхности, поверхности среза штампованных деталей толщиной до 4 мм, а также на детали, шероховатость поверхности основного металла которых установлена соответствующими стандартами.

Необходимость доведения шероховатости указанных поверхностей до установленных значений и необходимость дополнительной защиты этих участков после нанесения покрытий для обеспечения заданной коррозионной стойкости должны быть оговорены в технической документации. На поверхности деталей не допускаются: не-

однородность проката, закатанная окалина, заусенцы, расслоения и трещины, выявившиеся после травления, полирования и шлифования, поры и раковины, приводящие к тому, что размеры детали после контрольной взвешивания выходят за предельные отклонения.

Поверхность деталей, изготовленных из горячекатаного металла, должна быть очищена от травильного шлама, продуктов коррозии основного металла и других загрязнений.

На поверхности литьих и кованых деталей не должно быть пор, газовых и усадочных раковин, шлаковых включений, спаев, недоливов, трещин. Детали после гальваники, гидро- и металлоглобеструйной обработки не должны иметь на поверхности травильного шлама, шлака, продуктов коррозии и заусенцев. На шлифование и полирование детали должны поступать без забоин, вмятин, прижогов, рисок, заусенцев и дефектов от рихтовочного инструмента.

Острые углы и кромки деталей должны быть скруглены радиусом не менее 0,3 мм или иметь фаски (за исключением технически обоснованных случаев).

Швы на сварных и паяемых деталях должны быть зачищены, непрерывны по всему периметру и исключать затекание электролита в зазор. Прерывистые швы должны быть предварительно загерметизированы.

Требования к покрытиям. Качество покрытий должно соответствовать ГОСТ 9.301—78.

Для всех видов покрытий установлены требования к внешнему виду и, при необходимости, к специальным свойствам. Кроме того, для металлических покрытий устанавливают требования к толщине, пористости и прочности спечения и, в случае покрытий сплавами — к химическому составу; а для неметаллических неорганических покрытий — требования к защитным свойствам и, при необходимости, к толщине.

Специальные свойства покрытий должны соответствовать требованиям конструкторской документации.

По толщине, химическому составу, защитным свойствам и пористости покрытия должны соответствовать требованиям, указанным в ГОСТ 9.301—78.

Общие сведения

7. Минимальная толщина (мкм) подслоя и основного покрытия в зависимости от условий эксплуатации деталей

Условное обозначение покрытия	Назначение покрытия	Условия эксплуатации			
		легкие	средние	жесткие	особо жесткие
Детали из стали углеродистой, низко- и среднелегированной					
Ц.кр. или Ц.фос	Защитное	15 — 15 15 —	15 — 24 24 —	15 — 30 30 —	15 *1 — — — —
Ц Кд.хр Кд.фос Кд.					
Н	Защитно-декоративное, защитное	24	—	—	—
Хим.Н	Защитное, защитно-декоративное для работы на трение	15	24	24	24
М.Н.	Защитное, защитно-декоративное	9; 6 15; 1	24; 9 24; 1	30; 12 —	35; 15 —
Н.Х					
Хтв **, ** Хмол.Хтв	Для работы на трение Для работы на трение, защитное	18 12; 6	35 24; 12	45 24; 12	60 30; 30
Хмол.Хч М.Н.Х **, ** М.Н.Хч	Защитно-декоративное	12 9; 6 9; 6	35 24; 9 24; 9	45 30; 12 30; 12	60 35; 15 35; 15
Н.О.Би М.О.Би Н.О	Под пайку, защитное	9; 6 9; 6 9; 6	18; 9 24; 9 18; 9	30; 12 —	— —
Н.О.опл	Под пайку, защитное, для устранения иглообразования	9; 3	18; 3	—	—
М.Н.О.опл		6; 3; 3	24; 3; 9	30; 3; 9	35; 3; 9
Н.О.С	Под пайку, защитное, для устранения иглообразования	9; 6	18; 6	—	—
М.О.С М.О.Н	Под пайку, защитное Под пайку, защитно-декоративное	9; 6 9; 6	24; 9 24; 9	30; 9 30; 12	35; 9 *1 35; 15
М.О.Ц ** М.Ср	Под пайку Для снижения переходного сопротивления	9; 6 9; 3	24; 9 24; 9	30; 12 30; 9	35; 15 —
Детали из коррозионно-стойкой стали					
Хтв **	Для работы на трение	—	—	24	35
Хмол Хим.Н	Защитное Для работы на трение	9	18	8	24
Н	Для снижения переходного сопротивления	6	—	1	15

Предолжение табл. 7

Условное обозначение покрытия	Назначение покрытия	Условия эксплуатации			
		легкие	средние	жесткие	особо жесткие
Детали из меди и ее сплавов					
H.O	Под пайку, защитное, для устранения иглообразования	3; 6	3; 9	3; 9	3; 12
H.O.опл		3; 3	3; 3	3; 3	3; 3
O-C.огл H.O-C.огл	Под пайку, защитное То же, для устранения иглообразования	3; 3	3; 3	3; 3	3; 3
O-Bи O-H	Под пайку, защитное Под пайку, защитно-декоративное	6	9	12	15
Cр	Для повышения электропроводности, снижения переходного сопротивления, защитное To же, защитное при $t < 400^{\circ}\text{C}$	3	6	9	12
Cр-Cу	Для снижения переходного сопротивления, повышения износостойкости To же, защитное при $t < 400^{\circ}\text{C}$	9; 3	9; 6	9; 9	9; 12
ПД	Для сохранения постоянства электрических параметров, повышения износостойкости To же, защитное To же, защитное при $t < 200^{\circ}\text{C}$	3	3	3	6
Cр-ПД H.ПД	Для повышения износостойкости, сохранения постоянства электрических параметров To же, защитное To же, защитное при $t < 200^{\circ}\text{C}$	3; 2	6; 2	6; 2	12; 3
Cр-ПД	Для повышения износостойкости, сохранения постоянства электрических параметров	3	6	9	—
Cр-Ср-ПД		3; 2	6; 2	6; 3	12; 3
H.ПД или Ср-РД	Для снижения переходного сопротивления, повышения износостойкости, стражательной способности, сохранения постоянства электрических параметров	6; 1	9; 1	12; 1	15; 1
Зл		3	3	6	6
Ср.Зл	Для снижения переходного сопротивления, сохранения постоянства электрических параметров, повышения коррозионной стойкости и отражательной способности	6; 3	9; 3	12; 3	15; 3
H.Зл		9; 3	—	—	—

Общие сведения

39

Продолжение табл. 7

Условное обозначение покрытия	Назначение покрытия	Условия эксплуатации			
		легкие	средние	жесткие	особо жесткие
Xтв * ² , ** ³ Хмл * ² , ** ³	Для работы на трение Для работы на трение при малых нагрузках, защитное	9	18	24	35
H.X; H.Xч	Защитно-декоративное	6; 1	9; 1	12; 1	15; 1
Детали из алюминия в его сплавов					
Xтв *4	Для работы на трение при малых нагрузках	18	35	—	—
Хим.Н	To же, под пайку	—	—	—	—
M.H.X H.M.H.X	Защитно-декоративное	6; 18; 1 9; 6; 9; 1	—	—	—
H.Кд.Кр	Защитное	12; 6	18; 18	—	—
H.M.Кд Хим.Н.М.Кд	Под пайку	9; 3; 6	9; 6; 15	—	—
M. Н. О *4	Под пайку, для снижения переходного сопротивления	6; 9; 9	—	—	—
H.O-Ви M.H-Ви H.O-С	Под пайку	12; 6 6; 6 12; 6	18; 8 — 18; 8	—	—
M.Н.Ср	Для повышения электропроводности, под пайку	6; 9; 6	—	—	—
Хим.Н.М.Ср		9; 6; 6	—	—	—
Детали из цинковых сплавов					
Xтв *5	Защитно-декоративное	9; 6; 1	12; 1	35; 15; 1	—
Детали из титана и его сплавов					
Xтв *5	Для работы на трение To же, при малых нагрузках	9	9	9	9
Ср Хим.Н.М.Ср	Для повышения электропроводности, под пайку	3; 3; 6	3; 3; 6	3; 3; 6	3; 3; 6
M.Ср		3; 6	3; 6	3; 6	3; 6

ПРИМЕНЕНИЕ И СВОЙСТВА ГАЛЬВАНИЧЕСКИХ ПОКРЫТИЙ

Продолжение табл. 7

Условное обозначение покрытия	Назначение покрытия	Условия эксплуатации			
		легкие	средние	жесткие	особо жесткие
Детали из серебра					
Рд	Защитное Для сохранения по- стинства электриче- ских параметров, по- вышения износостой- кости и отражатель- ной способности	2 0,5	2 0,5	2 0,5	3 0,5

* Допускается при дополнительной защите покрытия.

** При непосредственном воздействии морской воды необходимо периодически смазы-
вать.

*** Толщина хромового покрытия для работы на трение может быть изменена в соот-
ветствии с техническими условиями на изделие.

**** Вместо подслоев М и М. Н допускается покрытие Н. М или Н. М. Н при сохра-
нении суммарной толщины.

***** При нанесении защитно-декоративных покрытий никелевое покрытие может быть
замещено комбинированным никелевым покрытием (биметалл, никель-сила).

**** Допускается частичная замена медного подслоя никелевым при сохранении суммар-
ной толщины покрытия.

***** Толщина покрытия зависит от характера деталей, технологии нанесения покрытия
и определяется конструкторской документацией.

П р и м е ч а н и е. Для многослойных покрытий толщина каждого слоя указана в по-
рядке их нанесения.

8. Вид и толщина покрытия для резьбовых деталей

Шаг резьбы, мм	Назначение покрытия	Покрытие и его толщина, мкм
Детали из стали углеродистой, низко- и среднелегированной		
До 0,45	Защитное	Ц3-6.хр или Ц3-6.фос; Кд3-6.хр или Кд3-6. фос
0,5—0,75	Защитно-декоративное Защитное	Н3.Х
0,8 и более	Защитное Защитно-декоративное	Ц6. хр или Ц6. фос; Кд6. хр или Кд6. фос Н6. Х
0,5 и более	Детали из коррозионно-стойкой стали Для улучшения свинчиваемости Для улучшения свинчиваемости	М3; Ср3 М3; Ср3
Детали из меди и ее сплавов		
До 0,45	Защитное Защитно-декоративное Защитное, под пайку	Н3 Н3. Х О3; Н. О-С3; О-С3; Н.О3;

Общие сведения

41

Продолжение табл. 8

Шаг резьбы, мм	Назначение покрытия	Покрытие и его толщина, мкм
До 0,45	Защитно-декоративное, под пайку Под пайку Для повышения электропроводи- мости, снижения переходного со- противления Защитное	Н.О-Вн3; О-Вн3 О-Н3 О-Ц3 Ср3; Ср-Су3; Зл3 Н6
0,5—0,75	Защитно-декоративное Защитно-декоративное, под пайку Защитное, под пайку Под пайку Для повышения электропроводи- мости, снижения переходного со- противления	Н6.Х О-Н6 О6; Н1.О3; О-С6; О-Вн6; Н1.О-Вн3 О-Ц6 Ср6; Ср-Су6; Зл3
0,8 и более	Защитное Защитно-декоративное Защитно-декоративное, под пайку Защитное, под пайку Под пайку Для повышения электропроводи- мости, снижения переходного со- противления	Н9 Н9.Х О-Н9 О9; Н3; О-С9; Н3. О-С6; О-Вн9 Н3. О-Вн9 О-Ц9 Ср9; Ср-Су9 Зл3

Детали из титана и его сплавов

0,45 и более | Для улучшения свинчиваемости | М3; Ср3

9. Вид и толщина покрытий для деталей, выполненных по 8 и 9-му квалитетам

Диаметр или толщина детали, мм	Назначение покрытия	Покрытие и его толщина, мкм
Детали из углеродистой, низко- и среднелегированной стали		
До 5,0	Защитное	Ц6. хр или Ц6. фос
5 и более	Защитное	Кд6. хр или Кд6. фос
От 5,0 и более	Защитно-декоративное	Ц9. хр или Ц9. фос Кд9. хр или Кд9. фос Н9. Х
Детали из меди и ее сплавов		
От 5,0 и более	Защитное Защитно-декоративное	Н9 Н9. Х
До 5,0		
5,0 и более	Защитное, под пайку	
От 5,0 и более	Защитно-декоративное, под пайку	
До 5,0		
5,0 и более		
Для повышения электропроводи- мости, снижения переходного со- противления		

Н1.О3, опл; О6; Н1. О3.опл;
Н1.О-Вн3; О-Вн6; Н3. О3. опл; О9
Н3.О-Сзопл; О-С9; Н3.О-Вн6;
О-Вн9

О-Н9; О-Ц9
Ср6; Ср-Су6; Зл3
Ср9; Ср-Су9; Зл3

10. Вид и толщина покрытия для пружин

Толщина металла или диаметр проволоки, мм	Назначение покрытия	Покрытие и его толщина
Детали из стали углеродистой, инзекционной и среднелегированной		
0,3—0,5 0,5—1,0 >1,0	Защитное Для повышения электропроводности, снижения переходного сопротивления, под пайку	Хим. фос; Кд3.хр; Кд3.4.фос Кд6.хр; Кд6.фос Кд9.хр; К9.фос
Детали из меди и ее сплавов		
До 0,5 0,5—1,0 >1,0	Защитное, под пайку Для повышения электропроводности, снижения переходного сопротивления, под пайку Защитное, под пайку Для повышения электропроводности, снижения переходного сопротивления, под пайку Защитное, под пайку Для повышения электропроводности, снижения переходного сопротивления, под пайку	H3; Хим. H3; Ср3; Ср3. Пд2; Ср3. Рд0,5; О3; Ср-Су3 H6; О6; Хим. Н6 Ср6; Ср6. Пд2; Ср6. Рд0,5; Зл3; Ср-Суб H9; Хим. Н9; О9 Ср9; Ср9. Пд2; Ср. 9. Рд0,5; Ср-Су9; Зл3

Приложение. Химическое фосфатирование допускается применять для дополнительной защиты

Выбор вида и толщины покрытия. Вид и толщину покрытия деталей (согласно ГОСТ 9.301—78, ГОСТ 9.073—77, ГОСТ 21 484—76) выбирают в соответствии с требованиями, приведенными в нормативно-технической документации. Примеры выбора вида и толщины покрытия приведены в табл. 7—10.

Исключение составляют детали, для которых толщину покрытия устанавливают независимо от условий эксплуатации: детали, выполненные по 7, 8 и 9-му квалитетам или имеющие посадки с натягом; резьбовые детали; пружины.

Покрытия (см. табл. 7), предназначенные для эксплуатации в более жестких условиях, можно применять при более легких условиях. Для деталей, на которые по их форме и виду сопряжения невозможно настичь покрытие толщиной, указанной в табл. 7, допускается уменьшенная толщина покрытия при условии дополнительной защиты. Для резьбовых крепежных деталей покрытие и толщину его выбирают по табл. 8, а для деталей с тугой резьбой толщина покрытия должна быть 3—6 мкм независимо от шага и диаметра резьбы. Калибровка резьбы

после нанесения покрытий не допускается.

Для деталей, выполненных по 8 и 9-му квалитетам, толщина покрытий соответствует требованиям табл. 9. При нанесении покрытий на детали, имеющие резьбовые элементы, не защищаемые металлическими покрытиями, резьбу фосфатируют и при сборке детали устанавливают с использованием грунта или смазки. Для пружин покрытие и его толщину выбирают по табл. 10. При диаметре или толщине материала <0,3 мм такие детали следует изготавливать из коррозионно-стойких сталей и сплавов. Вид дополнительной защиты деталей всегда оговаривается в конструкторской документации.

СВОЙСТВА ГАЛЬВАНИЧЕСКИХ ПОКРЫТИЙ

Кристаллическая структура металлов приведена в табл. 11.

Микротвердость гальванических покрытий приведена в табл. 12.

Электрические свойства покрытий характеризуются электропроводностью и переходным (контактным)

11. Кристаллическая структура металлов

Металл	Модификация	Тип структуры	Первичные структуры, Å		Температура, °C
			Гексагональная плотная	Гексагональная кубическая	
Be	α	Гексагональная плотная	2,286	3,554	20
	β	Гексагональная плотная	3,203	5,200	25
	γ	Гранецентрированная кубическая	4,041	—	20
	δ	Гексагональная плотная	2,950	4,683	25
Mg	β	Гексагональная плотная	3,306	—	900
	γ	Гексагональная плотная	3,024	—	25
	δ	Гексагональная плотная	2,885	—	—
Al	α	Объемно-центрированная кубическая	—	—	—
	β	Гексагональная плотная	2,717	4,418	—
Ti	α	Кубическая объемно-центрированная сложная	8,910	—	22
	β	Кубическая сложная	6,313	—	20
V	β	Гранецентрированная кубическая	3,862	—	1100
	γ	Объемно-центрированная кубическая	5,0750	—	1143
	δ	Объемно-центрированная кубическая	2,866	—	20
Cr	γ	Гранецентрированная кубическая	3,637	—	910
	δ	Объемно-центрированная кубическая	2,925	—	1400
	ε	Гексагональная плотная	2,507	4,086	20
Mn	β	Гранецентрированная кубическая	3,548	—	20
	γ	Гексагональная плотная	2,65	4,32	170
Fe	α	Гексагональная плотная	3,523	—	20
	γ	Гранецентрированная кубическая	3,614	—	20
Co	α	Гексагональная плотная	2,661	4,946	25
	β	Гранецентрированная кубическая	5,657	—	17
Ni	α	Гексагональная плотная	3,146	—	—
	β	Гексагональная плотная	2,705	4,282	11
Cu	—	Гранецентрированная кубическая	3,803	—	26
	—	Гексагональная плотная	3,890	—	23
Zn	—	Гексагональная плотная	4,086	—	25
	—	Алмазная кубическая	—	—	—
Ge	—	Гранецентрированная кубическая	2,757	4,456	20
	—	Гексагональная плотная	—	—	—
Mo	—	Гексагональная плотная	3,890	—	23
	—	Гексагональная плотная	4,049	—	—
Ru	—	Гранецентрированная кубическая	—	—	—
	—	Гексагональная плотная	—	—	—
Rh	—	Гранецентрированная кубическая	—	—	—
	—	Гексагональная плотная	—	—	—
Pd	—	Гранецентрированная кубическая	—	—	—
	—	Гексагональная плотная	—	—	—
Ag	—	Гранецентрированная кубическая	—	—	—
	—	Гексагональная плотная	—	—	—
Cd	—	Гексагональная плотная	2,965	5,664	22
	—	Гранецентрированная тетрагональная	4,583	4,936	—
In	—	Гексагональная плотная	6,489	—	25
	—	Алмазная кубическая	5,831	3,181	26
Sn	α	Гранецентрированная тетрагональная	5,040	—	25
	β	Гексагональная плотная	3,165	—	—
W	α	Гексагональная плотная	2,757	4,456	20
	β	Гранецентрированная кубическая	3,538	—	18
Re	—	Гексагональная плотная	3,923	—	24
	—	Гранецентрированная кубическая	4,070	—	20
Ir	—	Гексагональная плотная	4,049	—	—
	—	Гранецентрированная кубическая	—	—	—
Pt	—	Гексагональная плотная	—	—	—
	—	Гранецентрированная кубическая	—	—	—
Au	—	Гексагональная плотная	—	—	—
	—	Гранецентрированная кубическая	—	—	—
Pb	—	Гексагональная плотная	—	—	—
	—	Гранецентрированная кубическая	—	—	—

в залегающем состоянии

12. Гвердость гальванических покрытий

Покрытие	Микротвердость
Цинковое	40—60
Кадмневое	35—50
Медное из электролитов:	
кислых	60—80
цианистых	60—120
Оловянное	12—30
Свинцовое	8—12
Никелевое из электролитов:	
горячих	140—160
холодных	300—500
Ницелевое химическое	650—900
Хромовое:	
режим молочного хрома	450—600
режим твердого хрома	750—1100
из тетрахроматного эл-ктролита	350—400
Серебряное	60—140
Серебряное твердое (сплав Ag—Sb)	180—220
Золотое	40—60
Платиновое	250—400
Родиевое	500—800
Рутенийное	800—900
Железное	450—700

14. Механические свойства гальванических покрытий

Покрытие	Электролит и условия осаждения	σ_y , МПа	σ_t , МПа	δ_{50} , %	σ_{bh} , МПа
Cu	Сернокислый	232—478 430—810 ~600 600—1000 500—600	50—250 — 20—40 — —	15—40 22—39 — — —	— — — — —
	Сернокислый с добавкой	485—633 232—633	50—400	1—20 3—21 2—3	— — —
	Борфтористоводородный	120—281 120—260 —	— — —	6—20 7—18 11—18	— — —
	Цифрофосфатный	420—550	—	10	—70
	Цианистый	300—460	—	1—50	—28—+ 110
Ag	Цианистый с реверсированием	703—773	—	—9	—
	—	700	—	9	7—80
	Цианистый концентрированный	240—340	—	12—19	—
	Стандартный, $t = 0^\circ\text{C}$, $I_K = 20 \text{ А/дм}^2$	100	—	0	560
	Стандартный, $t = 85^\circ\text{C}$, $I_K = 80 \text{ А/дм}^2$	490	—	0	120
Cr	1) $(\text{NH}_4)_2\text{Fe}(\text{SO}_4)_2$, 2) FeCl_3 ; $t = 95^\circ\text{C}$	810	—	0—3	—
	Сернокислый, после интенсивной обработки	390—560 250—330 530—560	— — —	15—25 25—40	56—560
Co	Сернокислый, после термообработки	840	—	0—3	—
	После нанесения покрытия термообработка	820	520	Пластичный при нагреве $> 900^\circ\text{C}$	—
Co—W сплав					

13. Контактное сопротивление (Ом) при нагрузке

Покрытие	Нагрузка, Н			
	0,01	0,0	0,25	0,
Серебряное	0,08	0,009	0,008	0,006
Золотое	0,1	0,01	0,009	0,008
Палладиевое	0,17	0,015	0,015	0,011
Родиевое	0,17	0,012	0,01	0,008
Ницелевое (химическое)	—	4—11	4	2,1
Ницелевое	—	0,25	0,05	0,018

Влияние гальванических покрытий на свойства металла

сопротивлением. Эти величины необходимо учитывать при выборе покрытий для контактов и других деталей приборов. В табл. 13 представлены значения контактных сопротивлений.

Механические свойства некоторых гальванических покрытий приведены в табл. 14.

ВЛИЯНИЕ ГАЛЬВАНИЧЕСКИХ ПОКРЫТИЙ НА СВОЙСТВА ОСНОВНОГО МЕТАЛЛА

Гальванические покрытия оказывают влияние на физико-механические свойства основного металла, что вызвано наводороживанием основного металла и физико-механическими свойствами самого покрытия.

Наводороживание стали. Наводороживание стали способствует уменьшению ее пластичности, ухудшению характеристики технологических проб на перегиб и скручивание, снижению длительной прочности (т. е. сопротивления замедленному разрушению). С увеличением содержания водорода уменьшается поперечное сужение и удлинение стали, причем поперечное сужение ψ уменьшается в гораздо большей степени, чем удлинение δ . При увеличении содержания водорода от 2 до 10,3 см³/100 г поперечное сужение стали 25ХНМА уменьшается в 10 раз, а удлинение — на 71 %.

В результате интенсивного наводороживания в ряде случаев изменяется характер разрушения стали (происходит переход от вязкого к крепкому). Растворимость водорода и его влияние на механические свойства стали вильной степени зависят от структуры последней. Так, при электролитическом наводороживании сталей с различной структурой поглощает неодинаковое количество водорода (см³/100 г): мартенсит — 6,9; троостит — 15,9 и сорбит — 46,5. В то же время охрупчивание стали с трооститной структурой при наводороживании происходит более сильно, чем с сорбитной структурой.

Влияние водорода на свойства сталей в сильной степени зависит от прочности и их структуры: с увеличением прочности отрицательное влияние водорода на механические свойства сталей увеличи-

вается. Наибольшее влияние наводороживания на механические свойства проявляется в случае сталей с мартенситной структурой.

Влияние водорода на механические свойства сталей зависит от условий испытаний. Большое влияние оказывают скорость нагружения и температура испытания. С увеличением скорости нагружения влияние водорода на работу разрушения стальных образцов уменьшается. С понижением температуры испытаний влияние водорода на механические свойства малоуглеродистой стали существенно уменьшается, и при -160°C водородная хрупкость не проявляется. Работы разрушения наводороженных образцов сталей У10, Х4В3М3Ф2, 30ХГСА и Х12М при температуре -196°C и наводороженных образцов близки по значению.

Очень сильно влияет наводороживание на замедленное разрушение высокопрочных сталей, что особенно проявляется при наличии концентраторов напряжений. При этом время до разрушения заневоленных образцов с надрезом при уменьшении растягивающих напряжений увеличивается. Ход кривой напряжение — время показывает, что существует некоторое пороговое напряжение — длительная прочность (σ_{dh}), ниже которого не происходит замедленного разрушения стали. На длительную прочность большое влияние оказывает радиус концентратора напряжений: с уменьшением радиуса надреза (от 6,25 до 0,025 мм) σ_{dh} наводороженной стали уменьшается почти в 3 раза.

При увеличении прочности углеродистых и низколегированных сталей σ_{dh} также уменьшается. Особенно низкая длительная прочность стали с мартенситной структурой.

Уменьшение наводороживания приводит к увеличению порогового напряжения и времени до разрушения при данном растягивающем напряжении.

Наибольшее влияние наводороживания на замедленное разрушение сталей наблюдается при одновременном воздействии растягивающих напряжений и атомарного водорода. В этом случае замедленное разрушение может происходить при напряжениях во много раз меньших предела текучести. Так, например, образцы стали 30ХГСН2А

с прочностью 1700 МПа могут разрушаться при катодной поляризации в 20 %-ном растворе H_2SO_4 с добавкой 30 г/л $NaCl$ при напряжении всего лишь 50 МПа.

В процессе нанесения гальванических покрытий на детали из высокопрочных сталей, имеющих большие внутренние напряжения, также могут возникнуть трещины. В этом случае никакое последующее обезводороживание не может привести к восстановлению механических свойств стали.

Наводороживание при травлении. Степень наводороживания обычно оценивают по изменению пластичности стали при растяжении, характеристике технологических проб на перегиб и скручивание, прочности стали и т. д. При травлении стали 40ХНМА ($\sigma_B \approx 2000$ МПа) в 20 %-ном растворе H_2SO_4 с добавкой 30 г/л $NaCl$ в течение 120 мин поперечное сужение и удлинение уменьшаются соответственно от $\psi = 47\%$ и $\delta = 10.4\%$ до $\psi = 0.33\%$ и $\delta = 1.6\%$.

С увеличением времени травления пластичность сталей уменьшается, что свидетельствует об увеличении степени наводороживания. Зависимость пластичности стали — время травления имеет параболический характер: в первые моменты травления скорость наводороживания максимальна, а со временем она уменьшается. Исследование влияния времени травления в 20 %-ном растворе H_2SO_4 с добавкой 30 г/л $NaCl$ на поперечное сужение ψ и удлинение δ стали 30ХГСН2А дали следующие результаты:

время травления, мин	0	15	30	45	60
$\psi, \%$	50,6	30,6	17	15	8,5
$\delta, \%$	11,6	7,9	5,6	—	3,5

Наблюдаемое изменение пластичности стали при травлении в кислоте в течение 60 мин связано не с молекулярным водородом в коллекторах, а с растворенным в кристаллической решетке атомарным водородом (или протонами). Об этом свидетельствует тот факт, что при выдержке травленых образцов в кипящей воде в течение 15–20 мин или на воздухе в течение нескольких суток пластичность стали при нормальной температуре восстанавливается.

На наводороживание стали при травлении оказывают большое влияние концентрация и природа кислоты.

Наводороживание стали в растворе H_2SO_4 больше, чем в HCl . С увеличением концентрации H_2SO_4 до определенного значения наводороживание стали увеличивается, а в растворе HCl с повышением концентрации оно уменьшается.

Пластичность высокопрочной стали 30ХГСН2А после травления в H_2SO_4 меньше, чем в HCl , что видно по изменению пластичности стали, т. е. по изменению ψ , после травления в течение 30 мин.

Травление	Без	В 20 %-	В 20 %-
ний об разцов	травле-	ной	ной
разв. вия	ния	H_2SO_4	HCl
$\psi, \%$	49	14,8	33

При катодном травлении в H_2SO_4 и HCl введение стимуляторов наводороживания (As_2O_3 , соединений SeO_3^{2-} , TeO_3^{2-} , H_2S , тиомочевина и др.) вызывает увеличение наводороживания стали.

Ингибиторы уменьшают наводороживание при травлении стали в кислотах (табл. 15).

Следует отметить, что ингибиторы, сильно тормозящие процесс растворения стали в кислотах, не всегда вызывают уменьшение наводороживания. Динтиланилин является слабым ингибитором коррозии, но он в то же время тормозит наводороживание стали при травлении в H_2SO_4 . Тиомочевина в растворе H_2SO_4 , наоборот, сравнительно эффективный ингибитор коррозии, однако усиливающий наводороживание стали.

Наводороживание при нанесении гальванических покрытий. В процессе

15. Влияние упротропина на наводороживание стали 40ХГСН2А при травлении в течение 2 ч

Обработка образцов и состав травильного раствора	σ_{B0} , МПа	ψ	δ
		%	
Без травления	1960	47	10,4
15 %-ная HCl	1684	0,63	0,52
+ $NaCl$ (30 г/л)	1115	0,33	1,6
10 %-ная HCl + упротропин (50 г/л) в предварительной выдержкой в течение суток	1980	46,6	10,0

нанесения гальванических покрытий особенно сильное наводороживание стали происходит в цинкодержащих электролитах. Гораздо меньше наводороживание наблюдается в кислых электролитах, однако достаточно для ухудшения механических свойств высокопрочных сталей.

На наводороживание сталей при нанесении гальванических покрытий определяющее влияние оказывают состав электролита, плотность тока, природа и структура покрытий.

При оценке изменения механических свойств стали необходимо учитывать возможность влияния самого покрытия. В ряде случаев влияние покрытия может оказаться более сильным, чем водорода, пронифильтровавшего в сталь. Известно, например, что с увеличением времени хромирования наводороживание стали увеличивается, и пластичность стали при осевом растяжении уменьшается. Однако, если оценку изменения пластичности стали вследствие наводороживания при хромировании проводить испытанием хромированных образцов на изгиб, то окажется, что с увеличением толщины хромового покрытия и, следовательно, времени хромирования относительная хрупкость не увеличивается, а уменьшается. Поэтому метод определения охрупчивания стали испытанием обработанных образцов на изгиб может быть использован только в случае мягких эластичных покрытий. В случае твердых покрытий, как, например, хромовых, этот метод может дать ошибочное представление о степени наводороживания основного металла — стали.

Поскольку на наводороживание стали основное влияние оказывает концентрация адсорбированных атомов Н, то время до растрескивания напряженной высокопрочной стали в процессе нанесения гальванических покрытий является важным параметром при определении степени наводороживания стали в процессе электролиза.

Для определения этим методом степени наводороживания используют плоские образцы высокопрочных сталей (например, 30ХГСН2А), которые после термической обработки (закалка в масле с низким отпуском)шлифуют до размера $100 \times 8 \times 2$ мм. Растигивающие напряжения, не превышающие предела текучести, создают

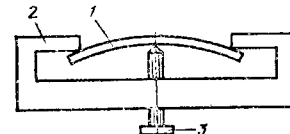


Рис. 1. Приспособление для создания растягивающих напряжений:
1 — образец; 2 — скоба; 3 — винт

изгибом образцов в специальном приспособлении (рис. 1) с помощью винта. Данная методика нагружения дает возможность создавать растягивающие напряжения с точностью $\sim 3\%$.

$$\sigma = \frac{6Ehf}{l^2},$$

где E — модуль упругости; h — толщина образца; f — стрела прогиба; l — расстояние между опорами в приспособлении (90 мм).

После подготовки образцов на них наносят гальваническое покрытие и определяют время до растрескивания при данном растягивающем напряжении в процессе электролиза.

Определение пластичности сталей маргантситной структуры проводится методом изгиба плоских образцов (рис. 2). Плоский образец, установленный между двумя параллельными губками, изгибаются. По расстоянию между губками h , при котором разрушается образец, определяют пластичность при изгибе. С уменьшением пластичности стали величина h при изгибе образцов увеличивается.

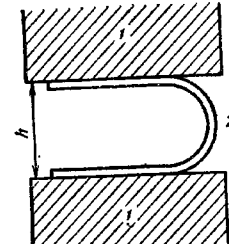


Рис. 2. Приспособление для испытания образцов на изгиб:
1 — винты; 2 — образец

Таким образом, для установления степени наводороживания стали в процессе нанесения гальванических покрытий целесообразно определять: 1) пластичность (относительное первичное сужение φ и удлинение δ) стали после нанесения гальванических покрытий; в качестве образцов могут использоваться стандартные образцы (тагаринские); 2) время до разрушения напряженных плоских образцов из высокопрочных сталей в процессе нанесения гальванических покрытий; 3) пластичность при изгибе (h) плоских образцов из стали с мартенситной структурой (например, стали У8) после нанесения гальванических покрытий. Последний метод рекомендуется только для мягких покрытий, например, цинковых и кадмийевых.

Наводороживание при цинковании стальных деталей широкое применение находят кисельные, цианистые и другие электролиты.

При цинковании в сернокислом электролите ($ZnSO_4 \cdot 7H_2O$, H_2BO_3 , $Na_2SO_4 \cdot 10H_2O$) при $pH 4$, не содержащем поверхностно-активных веществ, и $i_k = 1 A/dm^2$ происходит лишь на большое наводороживание стали.

Введение в кислый цинковый электролит поверхностно-активных добавок (например, декстрина, сернокислого алюминия) увеличивает наводороживание стали, причем добавка декстрина вызывает большее наводороживание стали, чем сернокислый алюминий.

Повышение плотности тока при цинковании в кислом электролите также увеличивает степень наводороживания стали. Повышение температуры электролита с добавкой декстрина ($10 g/l$) уменьшает наводороживание стали У8A.

При цинковании в цианистом электролите происходит сильное наводороживание и связанное с этим уменьшение пластичности стали.

С увеличением времени цинкования до 20 мин наводороживание и связанное с этим снижение пластичности стали происходят в первые моменты цинкования.

При цинковании в указанном электролите высокопрочные стали обнаруживают высокую склонность к водородному растрескиванию (табл. 16).

С увеличением плотности тока и

16. Влияние плотности тока на время до появления трещин при цинковании напряженных образцов стали 40ХГСН2А

растягивающее напряжение, МПа	время до появления трещин, мин, при $i_k A/dm^2$				
	0,5	1	2	5	10
1450	2	2	2	1	0,5
1200	7	4	3	2	1,5
1000	120 *	10	5	3	2,5
800	120 *	120 *	10	5	3
600	120 *	120 *	120 *	10	4

* Трещины не обнаружены.

растягивающих напряжений время до появления трещин уменьшается. Если при плотности тока $0,5 A/dm^2$ образцы растрескиваются при напряжении 1200 МПа, то при плотности тока $1 A/dm^2$ — при напряжении 1000 МПа, а при $10 A/dm^2$ трещины образуются при 600 МПа.

Цинкование в хлористоаммонийном электролите при различных плотностях тока $0,5$; $0,7$; 1 ; $1,5 A/dm^2$ не вызывает водородного растрескивания образцов напряженной стали 40ХГСН2А [$\sigma = 1450$ МПа] в течение 120 мин. Однако цинкование в хлористоаммонийном электролите с добавкой радиоактивного аммония при $pH 7$ и $i_k = 1 A/dm^2$ и в борфтористоводородном электролите при $pH 4$ — 5 и $i_k = 2 A/dm^2$ вызывает значительное наводороживание стали 40ХГСН2А.

Наводороживание при кадмировании в цианистых электролитах происходит значительное наводороживание и связанное с этим уменьшение пластичности, например, стали У8А при $i_k = 2 A/dm^2$. Наиболее сильное наводороживание происходит в начале кадмирования, что отчетливо проявляется при кадмировании напряженных образцов стали 40ХГСН2А. С увеличением плотности тока время до появления трещин и напряжение, при котором происходит водородное растрескивание, уменьшаются.

Кадмирование в цианистом электролите приводит к виачительному уменьшению пластичности высокопрочных сталей. Пластичность стали 40ХГСН2А после кадмирования уменьшается: по-

Влияние гальванических покрытий на свойства металла

перечное сужение от 38 до $7,8\%$ и удлинение от 12,4 до $4,2\%$, а стали 40ХНМА — соответственно от 43,4 до $22,4\%$ и от 11 до $7,6\%$. Кадмирование в хлористоаммонийном электролите на толщину 9—12 мкм с предварительной активацией в 10^{-6} о-ном растворе HCl с утротроном (40 — 50 г/л) не вызывает изменения механических свойств (σ , φ и δ) высокопрочных сталей 40ХГСН2А и 40ХНМА.

Наводороживание при хромировании. В процессе электроосаждения хрома происходит наводороживание покрытия и основного металла. Поэтому важно оценить влияние режимов хромирования на содержание водорода в стали и хроме.

Методика, основанная на электрохимическом окислении водорода, диффундирующего через тонкую металлическую мембрану, позволяет непосредственно изучить влияние режима хромирования, состава электролита, состояния поверхности стали и других факторов на водородопроницаемость стали, а следовательно, на ее наводороживание.

Установлено (рис. 3 и 4), что изменение i_k от 30 до $90 A/dm^2$ при одинаковом времени хромирования мало влияет на количество проникающего в сталь водорода. Близиение i_k производится в изменении продолжительности хромирования t : чем меньше i_k , тем больше время для получения хромовых покрытий одинаковой толщины и больше водорода проникает в сталь. Для наводороживания стали опасны низкие i_k , при которых хром не осаждается и выделяется лишь водород. В этих условиях в сталь проникает в 6—7 раз больше водорода (например, при $i_k = 5 A/dm^2$ и $t = 65^\circ C$), чем при более высокой плотности тока i_k , когда осаждается хром. Такие плотности могут реализоваться на участках детали, плохо изолированных или труднодоступных для электрических соединений (в случае сложнопрофилированных поверхностей).

Наиболее влияет на проникновение водорода в сталь температура электролита. При увеличении температуры (55 до $75^\circ C$) диффузия водорода в сталь усиливается в 6—10 раз в зависимости от природы стали. Увеличение проникновения водорода в сталь с повышением температуры обусловлено

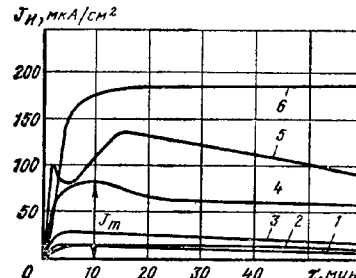


Рис. 3. Изменение количества водорода, проникающего в сталь 30ХГСН2А при осаждении хрома и катодной поляризации в стандартном электролите:

1 — $90 A/dm^2$ ($t = 55^\circ C$); 2 — $30 A/dm^2$ ($t = 55^\circ C$); 3 — $60 A/dm^2$ ($t = 65^\circ C$); 4 — $90 A/dm^2$ ($t = 75^\circ C$); 5 — $30 A/dm^2$ ($t = 75^\circ C$); 6 — $5 A/dm^2$ ($t = 55^\circ C$); J_H — ток определения, пропорциональный количеству водорода, проникающего в сталь; J_m — максимальный ток определения

лено возрастанием коэффициента диффузии водорода и особенно с изменением структуры хрома и его способности удерживать водород.

При нанесении блестящего хрома, в котором содержание водорода составляет около $5,5$ — $6,5$ cm^3 на 1 г хрома, в сталь проникает почти в 10 раз меньше водорода, чем при и и сении молочного хрома, с держащего около $1,7$ — $2,5$ cm^3 в 1 г рода на 1 г хрома.

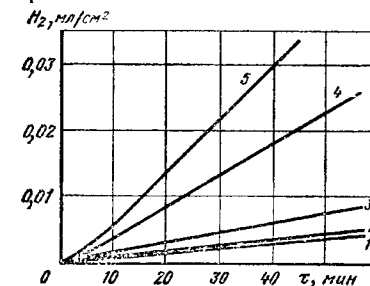


Рис. 4. Влияние продолжительности осаждения хрома в стандартном электролите на количество диффундирующего водорода в сталь 20ХГСН2А:

1 — $90 A/dm^2$ ($t = 55^\circ C$); 2 — $30 A/dm^2$ ($t = 55^\circ C$); 3 — $60 A/dm^2$ ($t = 65^\circ C$); 4 — $90 A/dm^2$ ($t = 75^\circ C$); 5 — $30 A/dm^2$ ($t = 75^\circ C$)

Изменение состава электролита отражается на проникновении водорода в сталь вследствие изменения скорости осаждения и структуры хрома: снижение скорости осаждения увеличивает наводороживание, а увеличение дефектности структуры, сопровождающее образование более блестящих ссадков, наоборот, снижает. Влияние изменения состава электролита зависит от режима электролиза. Например, увеличение содержания H_2SO_4 от 2,5 до 7,5 г/л при $i_k = 90 \text{ A/dm}^2$ существенно снижает проникновение водорода в сталь при 75 °C и незначительно влияет при 55 °C.

Определенную роль в проникновении водорода в сталь играет вид обработки поверхности перед хромированием. Влияние упрочняющей обработки поверхности связано в основном с изменением микрорельефа поверхности: при вибрупрочнении поверхности стальными шариками и шлифовании поверхности проникновение водорода в сталь одинаково, а при пескоструйной обработке оно снижается. Степень этого снижения зависит от режима электролиза: при $t = 75 \text{ }^{\circ}\text{C}$ и $i_k = 90 \text{ A/dm}^2$ оно значительно, а при $t = 65 \text{ }^{\circ}\text{C}$ и $i_k = 60 \text{ A/dm}^2$ мало.

Количество диффундирующего в сталь водорода при хромировании существенно зависит от природы стали вследствие изменения коэффициента диффузии водорода и степени заполнения поверхности адсорбированным водородом.

Наводороживание основного металла в процессе хромирования изменяет характеристики пластичности стали (табл. 17).

17. Влияние продолжительности хромирования на пластичность стали 30ХГСН2А

Продолжительность хромирования, мин	$\Phi, \%$	Уменьшение сужения $\Delta\Phi, \%$
0	51,0	0
1	39,5	22,6
10	26,2	48,6
30	23,1	54,7
90	14,5	71,6
240	11,5	77,4

Особенно сильное наводороживание и уменьшение пластичности стали наблюдается при хромировании в течение первых 10 мин. С увеличением времени хромирования пластичность стали уменьшается менее интенсивно.

Следует отметить, что если при цинковании и кадмировании в цинкостом электролите наводороживание стали происходит только в течение первых 20–30 мин, то при хромировании заметное наводороживание наблюдается даже через 240 мин.

С повышением температуры электролита увеличивается наводороживание основного металла и уменьшается его пластичность. Наводороживание, происходящее при нанесении гальванических покрытий, приводит к резкому уменьшению длительной прочности высокопрочных сталей. Это особенно опасно, так как разрушение может начаться без заметной пластической деформации при напряжениях, намного меньших предела прочности.

При заневоливании наводороженная сталь обнаруживает понижение длительной прочности. Так, наводороженная сталь с пределом прочности $\sigma_b = 2000 \text{ MPa}$ может подвергаться замедленному хрупкому разрушению при напряжении всего лишь 300 MPa.

Существующие в настоящее время гипотезы связывают замедленное разрушение наводороженной стали с диффузией водорода (атомов или протонов), растворенного в кристаллической решетке, к вершине трещины или местам с максимальным трехосным растяжением.

Термическая обработка. После нанесения гальванических покрытий термическая обработка деталей проводится для удаления водорода из покрытия и основного металла с целью восстановления исходных физико-механических свойств основного металла и улучшения физико-механических свойств покрытия.

Основные параметры, определяющие эффективность термической обработки, — температура и продолжительность процесса.

В табл. 18 приведены режимы термообработки после нанесения гальванических покрытий.

Термическую обработку для удаления водорода из основного металла и покрытия после нанесения цинковых и

Влияние гальванических покрытий на свойства металла

18. Режимы термообработки после нанесения гальванических покрытий

Металл покрытия	Температура обработки, °C	Продолжительность обработки, ч	Примечание
Zn	180–200	2–3	Детали с пределом прочности 900–1400 MPa
	180–200	2–3	
Cd	140–160	2–3	Детали с цементованными поверхностями Детали из высокопрочных сталей ($\sigma_b \geq 1400 \text{ MPa}$)
	180–200	12	
Cr	200–230	3	Детали с цементованными поверхностями
	140–160	3	

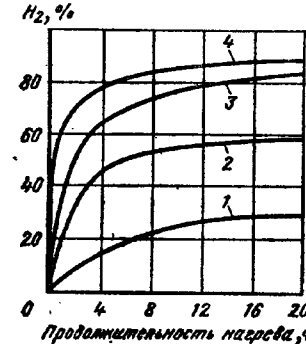


Рис. 5. Выделение водорода твердым кромом в зависимости от времени термообработки и температуры нагрева:
1 – 120 °C; 2 – 150 °C; 3 – 180 °C; 4 – 200 °C

Сопротивление усталости. Гальванические покрытия снижают сопротивление усталости основного металла. Наибольшее влияние на снижение сопротивления усталости сталей (особенно высокопрочных) оказывают хромовые покрытия, что обусловлено в основном низкой прочностью и пластичностью хрома и наводороживания стали.

В процессе нагружения при напряжениях, превышающих предел прочности покрытия, в хроме возникают трещины, ориентированные перпендикулярно действию силового потока, и долговечность деталей определяется временем, которое требуется для их развития. Следует в связи с этим отличать влияние микроскопических трещин в покрытии, образующихся в процессе осаждения хрома, от влияния трещин, которые образуются в покрытии при циклических нагрузках вследствие низкой прочности и пластичности хрома. Микроскопическая сеть трещин, имеющаяся в хромовом покрытии как в исходном состоянии, так и после термической обработки, не может служить причиной снижения сопротивления усталости основного металла, так как наличие очень большого их количества примерно одинаковых размеров и расположенных с большой частотой по поверхности покрытия приводит к значительному

19. Влияние упрочнения ППД на долговечность стали 80ХГСН2А при отнулевом цикле напряжений при растяжении

Обработка поверхности	Число циклов до разрушения при $\sigma_{max} = 1000 \text{ МПа}$
Шлифование	50 000
Шлифование и хромирование	7 000
Шлифование, пескоструйная обработка и хромирование	50 000
Шлифование, алмазное выглаживание и хромирование	55 000

разгружающему действию этих трещин и реакому уменьшению отрицательного влияния их как концентраторов напряжения. Трещины же в хромовом покрытии, возникающие в результате приложения циклических нагрузок, действуют как концентраторы напряжения и определяют снижение сопротивления усталости хромированной стали. Поэтому все факторы, влияющие на механическую прочность и пластичность хрома, при прочих равных условиях будут влиять на образование трещин в хроме. К этим фактам следует отнести структуру хромового покрытия и наводороживание, которые, в свою очередь, зависят от состава электролита и режима электролиза.

20. Влияние однократного и многократного хромирования на долговечность образцов из сталей 80ХГСН2А и 40ХГСН3ВА при отнулевом цикле напряжений

№ по таб.	Кратность хромирования	Среднее число циклов до разрушения при $\sigma_{max} = 1000 \text{ МПа}$	
		30ХГСН2А	40ХГСН3ВА
1	Однократное (пескоструйны 1 раз)	54 000	59 700
2	Шестикратное без промежуточного нагружения (образцы пескоструйны 6 раз)	48 800	—
3	Шестикратное без промежуточного нагружения (образцы пескоструйны 4 раза)	45 300	—
4	Шестикратное с промежуточным нагружением при $\sigma_{max} = 1000 \text{ МПа}$ через 8000 циклов нагрузкения после каждого хромирования (пескоструйны 6 раз)	52 900	60 200

ности стали 30ХГСН2А. С целью определения влияния на малоцикловую усталость сталей типа 30ХГСН2А многократного хромирования и эксплуатационных нагрузок была испытана серия хромированных образцов, которые нагружались после каждого нанесения покрытия (см. табл. 20, п. 4).

Приведенные в табл. 20 и 21 данные показывают, что шестикратное хромирование при условии проведения гравийного отпуска и упрочняющей обработки ППД перед каждым хромированием оказывает такое же влияние на циклическую долговечность и предел выносливости высокопрочных сталей типа 30ХГСН2А, как и однократное хромирование. Это обусловлено тем, что применение упрочняющей обработки ППД перед каждым хромированием восстанавливает сжимающие напряжения в поверхностном слое стали, что тормозит распространение трещины, образовавшейся в хроме в результате воздействия циклических нагрузок, в основной металл. Это благоприятно сказывается на повышении сопротивления усталости хромированной стали (табл. 19).

Применение термической обработки (отпуска), обезводороживания и упрочнения ППД перед хромированием позволяет практически устранить влияние хромирования на сопротивление усталости высокопрочных сталей, т. е. решить вопрос о возможности многократного ремонта деталей из этих сталей с восстановлением хромового покрытия при каждом ремонте.

В табл. 20 показано влияние многократного хромирования на циклическую долговечность образцов из сталей 30ХГСН2А и 40ХГСН3ВА при отнулевом цикле напряжений при растяжении, а в табл. 21 — на предел выносливости

21. Влияние многократного хромирования на предел выносливости стали 30ХГСН2А

Обработка образца	Предел выносливости при отнулевом цикле напряжений при растяжении σ_{max} , МПа	Предел выносливости при симметричном цикле напряжений при изгибе σ_{max} , МПа
Шлифование	1100	600
Шлифование и пескоструйная обработка	1200	660
Однократное хромирование	1160	640
Шестикратное хромирование	1150	720

Примечание. Предел выносливости при отнулевом цикле напряжений — на базе $2 \cdot 10^4$ циклов; предел выносливости при симметричном цикле напряжений при изгибе — на базе 10^7 циклов.

Примечание. В разделе использованы сведения из книг: 1. Ажогин Ф. Ф. Коррозионное растрескивание и защита высокопрочных сталей. М.: Металлургия, 1974, 256 с.
2. Мельников П. С. Справочник по гальваниопокрытиям в машиностроении. М.: Машиностроение, 1079, 296 с.

Глава 4.

ПОДГОТОВКА ПОВЕРХНОСТИ ПЕРЕД НАНЕСЕНИЕМ ГАЛЬВАНИЧЕСКИХ ПОКРЫТИЙ

МЕХАНИЧЕСКАЯ ОБРАБОТКА

Шлифование и полирование. Шлифование применяют для устранения нарывов, забоин, рисок и других дефектов на поверхности деталей, а также для получения гладкой и ровной поверхности перед нанесением на нее антигидро-декоративных покрытий.

Шлифование — механический процесс снятия тонкой стружки металла острыми режущими гранями мелких зерен абразивных материалов.

Полирование — механический процесс получения блестящей (зеркальной) поверхности стяживанием мельчайших неровностей предварительно шлифованной поверхности.

Шлифование и полирование крупных и средних деталей производят абразивными кругами и лентами; можно использовать и вибрационно-абразивное шлифование и полирование. Для мелких деталей эффективнее применять методы вибрационно-абразивной обработки и галтовки в барабанах с абразивными материалами. Шлифование и полирование кругами ведут на однодишпиндельных или двухшпиндельных станках. Шлифовальные и полировальные круги изготавливают из войлока, сизала, бязи, брезента, сукна, байки и других материалов, на рабочую поверхность которых наносят абразив, удерживаемый специальной связкой. При шлифовании деталей накатными войлочными или матерчатыми кругами, а также при полировании необходимо для более мягких металлов подбирать и более мягкие, т. е. эластичные, круги.

Для получения чисто отшлифованной поверхности рекомендуется при каждом последующем переходе применять круг более твердый, чем при предыдущем переходе.

В зависимости от назначения круги различаются видом и сортом абразивного материала, твердостью, связкой.

При выборе абразивного круга необходимо учитывать твердость обрабатываемого материала, площадь соприкосновения круга с деталью. Чем тверже обрабатываемый материал и больше площадь соприкосновения круга с деталью, тем мягче должен быть круг. Из-за высокой плотности войлочных кругов их целесообразно применять для шлифования деталей с острыми и прямыми углами, оверстиями, вырезами — там, где нужно сохранить поверхность ровной и не «сваливать» края детали.

Для шлифования деталей под зацепно-декоративные покрытия наряду с войлочными широко применяют матерчатые круги. Они отличаются упругостью и эластичностью. Их используют при шлифовании как черных, так и цветных металлов. Благодаря эластичности они удобны для шлифования деталей сложного профиля.

Применяемые на ряде заводов самоокладывающиеся вентилируемые круги имеют стойкость значительно большую, чем обычные полировальные круги.

При полировании используют полировальные пасты. В их состав входят абразив и связующее вещество. В качестве абразива применяют окись железа, окись хрома, окись алюминия, венскую известь, а в качестве связующего вещества — стеарин, парафин, смолевую кислоту, говяжье сало и др. Пасты могут быть твердыми и жидкими. Применение автоматической подачи пасты увеличивает производительность процесса, создает удобство в работе и задира при тонком шлифовании поверхности.

Последовательность переходов при шлифовании и полировании и режимы шлифования и полирования для различных материалов приведены соответственно в табл. 1 и 2.

На ряде заводов в связи с внедрением высокопроизводительного полировального оборудования применяют

Механическая обработка

непрерывные гибкие абразивные ленты и лепестковые круги, собранные из шлифовальных шкурок с различным зерном абразива.

Технологические параметры шлифования и полирования абразивными лентами приведены в табл. 3.

Обработка абразивными лентами в сравнении со шлифованием войлочными кругами имеет следующие преимущества:

поверхность соприкосновения ленты с деталью значительно больше, что способствует лучшему рассеянию теплоты; скорость движения ленты остается постоянной во все время шлифования; отпадает необходимость в балансировке рабочего инструмента; более оперативна переналадка станка; более безопасны условия труда.

В зависимости от состояния поверхности детали шлифование ведут в несколько переходов с постепенным уменьшением величины зерна абразива от первой операции к последней (табл. 4).

После того как шлифованием сглажены основные микроровности поверхности, иногда перед декоративным полированием круг с мелким абразивом, который применяется на предыдущем переходе шлифования, слегка смазывают парафином, техническим салом или специальными засалочными пастами. Эта операция желательна в тех случаях, когда необходимо предохранить деталь от выкрашивания и задира при тонком шлифовании поверхности.

Режим шлифования определяется материалом обрабатываемых деталей, частотой вращения круга и его давлением на поверхность металла. При шлифовании твердых материалов простой формы частота вращения круга больше, чем при обработке более мягких материалов и деталей сложной формы. При предварительном шлифовании, в отличие от тонкого, для снятия большего слоя металла увеличивают силу прижима деталей к врачающемуся кругу. В табл. 5 приведены значения частоты вращения различных по размеру кругов при шлифовании деталей из различных материалов.

Галтовка (абразивная обработка в барабанах по ГОСТ 23505—79). Этот процесс есть разновидность шлифования и полирования, заключающейся

1. Последовательность переходов при шлифовании и полировании

Нанесение перехода	Зернистость абразивного материала	Параметр шероховатости поверхности Rz , мкм
Шлифование предварительное чистовое	35-16 12-8 6-M20	5,0-2,5 2,5-1,25 1,25-0,32
Полирование	M10-M5	0,32-0,16
Зеркальное полирование	и тонкая паста ГОИ	

в очистке и отделке поверхности мелких деталей насыпью для снятия заусенцев, окалины, иеровиной и уменьшения шероховатости поверхности.

Галтовку осуществляют в аппаратах барабанного и колокольного типа, в которые загружают абразивные материалы и детали. При вращении барабана или колокола с выступающими частями поверхности деталей снимается тонкий слой металла в результате трения их между собой, а также с абразивными и полирующими материалами. Различают сухую (абразивную) галтовку и мокрую (жидкостно-абразивную) галтовку, которую в зависимости от применяемого размера абразива делают на подводное шлифование и подводное полирование.

2. Режимы механического шлифования и полирования эластичным кругом, покрытым пастами и абразивным зерном

Обрабатываемый материал	Окружная скорость круга, м/с, при обработке		Давление на обрабатываемую поверхность, МПа
	абразивным зерном	пастами	
Сталь, никель, кром	20-35	30-35	0,1-0,2
Медь и ее сплавы	16-25	25-30	0,08-0,03
Алюминий, цинк, олово	12-20	20-30	0,04-0,01 0,02-0,01

3. Режимы шлифования и полирования абразивными лентами

56

ПОДГОТОВКА ПОВЕРХНОСТИ ПЕРЕД НАНЕСЕНИЕМ ПОКРЫТИЙ

Материал детали	Форма обрабатываемой поверхности	Основа ленты	Материал обрезинки	Зернистость, браунинга				Средство охлаждения	Давление на ленту, кН/м
				Шлифование превышающее	Шлифование точнее	Полирование	Скорость ленты, м/с		
Сталь: следне- углеродистая	Плоская или слабо- профильтрованная (полосовая сталь)	Ткань Бумага	Электро- крутил- то же	32—20 25—12	20—10 12—10	6—5 8—6	10—20 15—20	Масляные эмульсионные, силиконовые, жирные, трансформаторные масла, патрия	0,05—0,1 (при небольшом ленте, при створе до 2)
	Цилиндрическая или фасонная (плоская)	Ткань *	Бумага *	80—25 50—20	20—16 12—3	6—4 12—3	35—40 25—30	Масляные эмульсионные, жирные силиконовые, сульфофториды, силикон, жировая смесь, сульфофториды, силикон, жировые смеси	0,05—0,1
Чисто-углеродистая	Плоская или слабо- профильтрованная (плоская)	Ткань *	Бумага *	50—25	25—10	6—5	15—20 30—35	Минеральное масло, сульфофториды, силикон, жировые смеси	0,05—0,2
	Цилиндрическая или фасонная (плоская)	Ткань *	Бумага *	80—25	20—10	6—5	25—30 25—30	Минеральное масло, сульфофториды, силикон, жировые смеси	0,05—0,2
коррозионно-стойкая	Плоская или листовая (плоская)	Карбонд кремния	25—12 25—16	12—10 10—8	8—5 5—4	5—4	10—15 35—40	Масляная эмульсионная, минеральное масло	0,05—0,2
	Плоская или слабо- профильтрованная (плоская)	Ткань то же	80—25	25—20	10—5	10—5	10—15 35—40	Масляная эмульсионная, минеральное масло	до 0,03
Медь	Цилиндрическая или фасонная (плоская)	*	*	40—25	25—12	8—3	25—30	Масляная эмульсионная, минеральное масло	до 0,04
	Плоская или слабо- профильтрованная (плоская)	то же	*	50—20 40—20	20—10 20—10	10—6 8—3	20—25 25—30	Масляная эмульсионная, минеральное масло	
Латунь	Цилиндрическая или фасонная (плоская)	*	*	80—10	50—10	10—5	35—40	Масляная эмульсионная, минеральное масло	

Механическая обработка

57

4. Последовательность переходов при шлифовальной обработке деталей

Материал, покрытие детали	Параметры шероховатости поверхности, мкм				Номер перехода	Номер шлиф-порошка	Паста			
	исходные		требуемые							
	R _a	R _z	R _a	R _z						
Сталь углеродистая	10	40	2,0	8,0	1	12 8	—			
	5	20	0,5	2,5	2	8 3	Шлифовальная			
	5	20	0,25	1,25	3	5 4	Шлифовальная Полированная			
	2,0	8,0	0,25	1,25	4	—	Шлифовальная Полированная			
Алюминий и его сплавы	5	20	0,125	0,63	5	—	Шлифовальная Полированная			
	80	320	0,125	0,63	6	4	Шлифовальная Полированная			
Медь и ее сплавы, сплавы цинка	2,0	8,0	0,125	0,63	7	—	Шлифовальная Полированная			
Медные покрытия никелевые, хромовые покрытия	0,5 0,125	2,5 0,63	0,125 0,063	0,63 0,32	8	—	Полированная			

Чаще всего для окончательной отделки винтов и болтов небольших размеров, поверхность которых должна быть блестящей, без заусенцев, применяют сухую галтовку. Ее осуществляют либо без абразива, либо с использованием тонкого абразива типа крошки. Обработку изделий из мягких металлов и резьбовых изделий рекомендуется проводить в аппаратах колоцального типа, где они не испытывают сильных ударов.

При жидкостно-абразивной обработке детали обрабатываются абразивом и полирующими материалами в жидкой среде. В качестве абразива используются бой паждака, керамики, фарфора, корунда, кварцевый песок, стальную сенку, а для полирования — стальные шарники, деревесные опилки, обрезки кожи, фетра и другие мягкие

материалы. В качестве жидкости используют 2—3 %-ный раствор щелочи, мыльный, кислотный и другие растворы. Жидкостно-абразивную обработку обычно применяют перед наложением покрытий, чтобы очистить детали от травильного шлама, а также с целью сглаживания поверхности.

Общий объем абразива барабана должен в 3—8 раз превышать общий объем деталей. Объем, занятый в барабане деталями и абразивом, не должен превышать 60 % объема барабана. Уровень раствора должен быть на 30—50 мм выше уровня деталей в барабане.

Параметр шероховатости поверхности R_a при жидкостно-абразивном шлифовании уменьшается от 10—2 до 1—0,5 мкм, а при жидкостно-абразив-

5. Зависимость частоты вращения шлифовальных кругов (об/мин) от диаметра и материала обрабатываемых деталей

Обрабатываемый материал	Диаметр круга, мм				
	200	250	300	350	400
Чугун, сталь, никель, хром	2800	2300	1900	1600	1400
Медь и ее сплавы	2400	1900	1500	1300	1200
Алюминий и его сплавы, олово, ник	1900	1500	1300	1100	1000

ном полирования от 1—0,5 до 0,25—0,125 мкм.

Используемый в качестве абразива с южнадачных или электрокорундовых кругов, мрамора, гранита или фарфора предварительно галтуют для снятия острых граней и углов, а затем сортируют на ситах. Крупный абразив (размером 18—20 мм) применяют для быстрого удаления заусенцев и больших неровностей, мелкий (размером 5—10 мм) — для тонкого шлифования и полирования деталей. При обработке деталей сложной конфигурации применяют смеси из абразивного материала различных размеров.

Количество снимаемого металла зависит от частоты вращения барабана. С увеличением частоты вращения величина снимаемого слоя повышается. В зависимости от размеров и массы обрабатываемых деталей частота вращения барабанов должна выбираться по табл. 6.

6. Частота вращения барабанов в зависимости от размеров деталей

Обрабатываемые детали	Размер детали, мм	Частота вращения барабана, об/мин
Мелкие (легкие)	До 30	28,1/√d
Средние	30—150	21,2/√d
Крупные (тяжелые)	Св. 150	15,9/√d

Примечание. d — диаметр барабана, м

Эффективность жидкостно-абразивного шлифования и полирования в значительной степени зависит от применяемых абразивных материалов и состава жидкой среды. Так, для шлифования черных металлов рекомендуется применять бой электрокорундовых кругов, крупный кварцевый песок, шлифовальные порошки. Детали из цинкового сплава, латуни и других мягких металлов лучше обрабатывать обкатанным гранитом, фарфором, мрамором. В качестве жидкой среды при жидкостно-абразивном шлифовании используют растворы следующих составов (мас. доля, %):

- 1. Na_3PO_4 0,8
- 2. Na_2CO_3 0,2
- 3. канифоль 1,0
- 4. мыло хозяйственное 0,5
- 5. NaOH 0,1—0,2
- 6. для меди и ее сплавов
- 1. Na_2CO_3 0,5—1,0
- 2. Na_3PO_4 0,5—1,0
- 3. для алюминия и его сплавов
- Na_3PO_4 0,6—0,8

При жидкостно-абразивном полировании лучше использовать 0,2—0,5 %-ный водный раствор хозяйственного мыла (72 %-ного).

Галтovка в барабанах и колоколах является длительным процессом и при оптимально выбранных режимах обработки зависит от исходного и требуемого размера микронеровностей (табл. 7). Так, для изменения параметра Rz стальных деталей от 8 до 0,63 мкм следует затратить около 50 ч.

Более прогрессивные виды галтovки — вибробарабаинная обработка поверхности деталей, галтovка деталей в барабанах с планетарным вращением и магнитно-жидкостно-абразивная обработка.

В качестве жидкой абразивной среды для деталей из углеродистых сталей применяют бой шлифовальных электрокорундовых кругов марки ЭК45, ЧТК размером 10—16 мм и 2—3 %-ный раствор Na_2CO_3 .

Для сталей твердостью HB 130 оптимальная частота вращения барабана не превышает 160 об/мин. Продолжительность обработки деталей твердостью HB 130 при исходном размере микронеровностей $Rz = 2,5$ мкм составляет 15—20 мии, а деталей большей твердости — 25—30 мии (нижний

Механическая обработка

7. Режимы обработки деталей различными способами галтovки

Галтovка	Металл, подвергнутый обработке	Шероховатость поверхности Rz , мкм	Абразивный материал	Раствор	Режим галтovки					
					до обработки	после обработки	Компонент	Концентрация, г/л	частота вращения барабана, об/мин	Глубина жесткости, ч
Сухая	Сталь	40—20	8—5	Шлифорешотка № 3 или 4	—	—	—	—	20—60	10—24
Сухая (полирование)	Гальванический осклаженный никель	0,63	0,32	Микропорошок окиси хрома М14	—	—	—	—	30	2—12
Мокрая (шлифование)	Сталь	40—5	5—2,5	Бой электрокорундовых кругов ЧТК размером 5—30 мм	Мыло хозяйственное 72 %-ное	2—5	3,0	2—12	30	2—12
Мокрая (полирование)	Сталь	5—2,5	1,25—0,63	Бой фарфоров размером 5—20 мм Стальные парники Ø 4—10 мм	To же	2—5	3,0	2—12	30	2—12
Мокрая (шлифование)	Алюминий и его сплавы	5	1,25	To же	Na_3PO_4	20—30	30	2—12	30	2—12
Мокрая (шлифование с одновременным обезжириванием)	Алюминий и его сплавы	40—5	5—2,5	Шлифорешотка электрокорундовая	Известь гашеная	500—600	30	2—12	30	2—12

предел для обработки тонкостенных деталей и деталей сложного профиля). Для выполнения грубых очисточных операций и снятия заусенцев рекомендуется частота вращения барабана больше 250 об/мин.

Магнитно-жидкостно-абразивная обработка состоит в том, что детали под действием врачающегося электромагнитного поля движутся навстречу жидкостно-абразивной среде, которая непрерывно перемещивается многолопастной мешалкой. В результате происходит активное воздействие жидкостно-абразивной среды на обрабатываемую поверхность. Этим методом обрабатывают ролики игольчатых подшипников, детали радиоэлектронной аппаратуры, приборов, часовых механизмов, а также снимают окалину с инструмента.

Для шлифования используют гидроабразивную среду, содержащую 25—500 г/л кору или карбонат зернистостью № 40 и 15—25 г/л щавелевой кислоты. Продолжительность обработки 2—3,5 ч. Размер микронеровностей Rz в результате обработки уменьшается с 40—20 до 2,5—1,25 мкм.

Вибрационная обработка. Сущность такой обработки состоит в том, что деталям в абразивной среде, загруженным в контейнер вибрационной установки, сообщаются колебательные движения различной частоты (25—33 Гц) и амплитуды (1,5—4 мм). В зависимости от состава применяемой рабочей среды вибрационная обработка представляет собой механический или химико-механический процесс съема мельчайших частиц металла и его окислов с обрабатываемой поверхности, а также гладкание микронеровностей путем их пластического деформирования частицами рабочей среды вследствие нанесения ими по поверхности деталей большого числа микроударов.

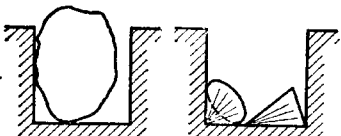


Рис. 1. Влияние форм гранул на работу труднодоступных поверхностей

В зависимости от состава среды может происходить процесс виброрабразивного шлифования или виброрабразивного полирования.

По сравнению с галтовкой вибрационная обработка имеет следующие преимущества:

более рационально загружаются вибрационные контейнеры (до 85% объема);

выше производительность (более чем в 10 раз);

одновременно можно обрабатывать наружные и внутренние поверхности деталей;

можно контролировать и регулировать процесс обработки;

вибрационные установки можно встраивать в механизированные и автоматизированные линии;

можно без повреждений обрабатывать тонкостенные и хрупкие детали;

можно обрабатывать не только мелкие детали, но и крупные;

вибрационно-химический метод обеспечивает стабильность обработки и высокую точность съема металла (до 1 мкм).

Для проведения грубых очисточных операций рекомендуется использовать абразивные частицы с предельно большой массой, для отдельных операций — с относительно малой. Нередко размеры гранул абразива выбирают так, чтобы обеспечить их доступ к закрытым или полузакрытым обрабатываемым поверхностям. Кроме того, когда обработка отдельных поверхностей деталей нежелательна, размеры гранул выбирают так, чтобы они не соударялись с такими поверхностями. При затрудненном доступе к обрабатываемым поверхностям подбирают рациональную форму гранул абразивных частиц (рис. 1).

Химические активаторы процесса виброобработки выполняют следующие функции:

интенсифицируют обработку путем непосредственного физического и химического воздействия на поверхность деталей;

охлаждают зоны резания и пластического деформирования в процессе обработки;

обеспечивают стабильность режущих и выглаживающих свойств наполнителей, предотвращая их от загрязнения и засаливания;

удаляют из рабочей камеры (контейнера) виброустановки продукты износа наполнителей и микрочастиц материала обрабатываемых деталей; обеспечивают пассивирующую и ингибитирующую воздействие на поверхности обрабатываемых деталей.

Основными составляющими химических активаторов являются кислоты в щелочи. К ним добавляются моющие и очищающие компоненты (Na_2CO_3 , мыло, моющие синтетические средства), осветляющие ($NaCl$, CrO_3), ингибитирующие и пассивирующие ($NaNO_2$, триэтанамин и др.), суспензирующие (мыло, натриевая соль карбоксиметилцеллюлозы — КМЦ).

Для предохранения деталей от слипания в процессе виброобработки в качестве добавок используют нерастворимые компоненты (шлифзерно, шлифпропол, полистироловую крупу).

Существует два способа использования химических активаторов при виброобработке.

Первый способ — однооперационное использование активатора: порцию химического активатора после окончания операции сливают в промышленные стоки, и рабочую камеру (контейнер) виброустановки промывают для следующей операции. При этом объем химического активатора, заливаемого перед началом операции, равен примерно 3—5% объема контейнера (при заполнении контейнера на 0,8 его объема смесью наполнителя и обрабатываемых деталей). Процесс происходит при закрытом сливном отверстии — без рециркуляции.

Второй способ — непрерывная рециркуляция активатора через контейнер, заполненный смесью наполнителя и обрабатываемых деталей. Химический активатор принудительно поступает по трубопроводу из бака-отстойника в контейнер виброустановки и через сливное отверстие и трубопровод возвращается в бак-отстойник. При этом необходимо, чтобы количество химического активатора, поступающего в единицу времени в контейнер виброустановки, было постоянным, иначе может произойти снижение эффективности обработки деталей из-за «засаливания» наполнителя (при малом количестве химического активатора) или гашения колебательных движений (при избытке химиче-

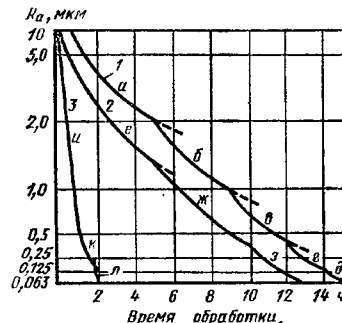


Рис. 2. Сравнительная эффективность трех наиболее распространенных технологических процессов (1—3), вибрационной отделки деталей из углеродистых сталей при различных режимах:

а — 25КЧ45ВТ1,5А3; б — 25КЧ16ВТ1,5А3; в — 25КЧ6ВТ2,0А2; г — 30ЭБ5ВТ2,0А1; д — паста ГОИ; е — 30ЭБ5ВТ1,5А3; ж — 30ЭБ8ВТ2,0А2; з — специальный формованный наполнитель; и — 25КЧ6ВТ2,0А3; к — 25КЧ6ВТ2,5А1,2; л — СП.Ø 5 ДШ.2,5А1,2

ского активатора). Дозировка химического активатора составляет в среднем 2—5 л/мин. Второй способ более выгоден, так как замена активатора в баке-отстойнике, зависящая от ряда факторов (количества химического активатора в баке-отстойнике, его химической активности, степени естественной убыли от пенообразования, испарения, разбрызгивания и т. д.), производится только после выполнения нескольких операций (даже смен).

В настоящее время имеется много рекомендаций по применению составов растворов, типов абразивных материалов и других параметров для достижения эффективной обработки поверхности. В основном процесс виброобработки поверхности сводится к уменьшению параметра шероховатости Rz от 40 до 0,63 мкм за 3—5 перекодов в течение 10 ч и более.

Процесс вибрационной обработки, разработанный в Ворошиловоградском машиностроительном институте (рис. 2), основан на использовании более активного раствора, содержащего (г/л):

$H_2C_2O_4$	30
H_2O_2	25
CrO_3	2
H_2SO_4	2
сульфонол	0,1—0,3

8. Результаты вибробразивной обработки некоторых деталей

Наименование детали	Метод подготовки	Материал	Число деталей (парты), штук	Параметр шероховатости Rz , мкм		Продолжительность виброборьбы, мин	Повышение производительности, раз	Экономический эффект, руб./руб.
				до обработки	после обработки			
Шатуны велосипедных дисков	Горячая штамповка	Сталь 45	200	160—80	1,25	100	0,5	6
Сектор седельный	То же	2Х13	200	320—160	1,25	150	0,75	6
Корпус замков дверных	Холодная штамповка	Низкоуглеродистая сталь	400	80—40	1,25—0,63	120	0,3	12,0
Кольца для фигурирования катания	Горячая штамповка	Сталь 40	60	80—40	1,25—0,63	90	1,5	10
Диски электромуфта	Холодная штамповка	У10А	200	8,0	1,25	45	0,22	10
Тарелки	То же	12Х18Н9Т	150	5,0	0,63	120	0,8	8,0
Ложки: столовые, десертные	»	12Х18Н9Т Нейзильбер	250 150	20—8,0 8,0	0,63 1,25	180 90	0,72 0,6	5 8
Пинетки технический	Горячая штамповка	Сталь У7А	250	40	1,25	80	0,32	12
								12,0

9. Составы химических активаторов при вибробразивном полирезании цинка и его сплавов

Компоненты раствора	C , г/л
KOH	40—50
Глицерин	8—90
$K_2Cr_2O_7$	7—8
$SnCl_4$	10—15
Натрий КМЦ	9—12
Питробензол	0,1—0,3
Желатина	2,0
NaCl	0,4—0,6
Парминогенциальная кислота	0,08—0,12
Сульфат аммония	0,1—0,3

Он позволяет добиться уменьшения параметра шероховатости Rz от 40 до 0,63 мкм в течение 2 ч.

В технологии 1 (см. рис. 2) операции выполняются с применением мыльно-содового раствора. В технологии 2 использованы последовательно несколько различных растворов, содержащих (г/л):

при 1-м переходе
тристаноламин 5
 $NaNO_2$ 3
при 2-м переходе
тристаноламин 3
при 3-м переходе
препаратор ОП 7
тристаноламин 7
 $NaNO_2$ 2,5

Режимы виброгалтовки следует расшифровывать следующим образом (см. рис. 3): 25КЧ25ВТ11,5А3, где 25 — грануляция шлифовальных тел; КЧ — корунд черный (бой шлифовальных кругов); 25 — зернистость; ВТ1 — твердость связки (высшая твердость); 1,5 — частота колебаний, тыс. кол./мин; А3 — амплитуда колебаний, мм.

Высокие показатели эффективности рекомендованной технологии получены на виброустановке модели ВМИ-1004А.

По указанной технологии получены высокие показатели обработки для различных материалов и деталей (табл. 8).

Для деталей из цинка и его сплавов рекомендуют применять при вибромолировании составы химических активаторов, приведенные в табл. 9.

Одна из важных особенностей вибробразивной обработки состоит в том, что поверхности деталей, находящиеся в рабочей среде, очищаются от различных загрязнений, окислов и приобретают повышенную активность. Это свойство используют для нанесения на поверхность изделий тонких пленок металлов и других материалов, обладающих специальными свойствами (актикоррозионными, антифрикционными и др.).

Обработка щетками — процесс, при котором в результате воздействия концов проволок поверхность металла очищается от ржавчины, окалины, краски, образовавшегося шлама и других загрязнений. Его производят не только с целью очистки поверхности, но и для нанесения на детали штрихового декоративного рисунка. С этой

целью операцию производят либо до нанесения покрытия, либо после.

Обработку щетками осуществляют обычно на шлифовально-полировальных станках. Для изготовления щеток применяют стальную, латунную, медную, нейзильберную проволоку. При обработке мягких гальванических покрытий используют также волосяные, капроновые либо травянные щетки. При подборе проволоки для изготовления крацевальных щеток можно воспользоваться данными табл. 10.

При декоративной обработке щетки обычно смачивают в содовом или мыльном растворе.

Скорость вращения щеточных кругов может изменяться от 450 до 1800 об/мин.

Струйно-абразивная обработка. Этот вид подготовки поверхности перед нанесением металлических покрытий

10. Характеристики применяемых щеток

Обрабатываемый материал	Материал проволоки	Диаметр проволоки, мм
Сталь, чугун, бронза	Сталь	0,03—0,3
Никель, медь, латунь	Сталь, нейзильбер	0,15—0,25
Цинковый сплав, алюминий и его сплавы	Латунь, медь	0,15—0,25
Серебряные, оловянные покрытия	Латунь, нейзильбер, капрон, щетина	0,1—0,15

имеет разновидности: пескоструйная, дробеструйная и жидкостно-абразивная обработка. Он имеет весьма широкое применение, так как является одним из наиболее эффективных способов подготовки поверхности для всех видов покрытий, не требующих полировки непосредственно.

Наряду с высокой скоростью и качеством очистки деталей от окислины и ржавчины струйная обработка создает поверхностный упрочняющий наклеп, который положительно оказывается на механических свойствах детали. В результате такой обработки с поверхности исчезают заусенцы, забоины, риски, т. е. те дефекты, которые отрицательно оказывают на коррозионной стойкости деталей с покрытиями, на качестве осаждаемых покрытий и на их декоративном виде. Этот процесс широко применяют для создания равномерной матовой поверхности детали и повышения светоглочающих характеристик деталей оптической аппаратуры.

Подача твердых частиц на деталь осуществляется с помощью кинетической энергии скатого воздуха либо центробежной силы лопаток турбины. При этом воздух должен быть очищен от воды и масла в маслодоходителях. Обработка производится в специальных пескоструйных или дробеструйных агрегатах.

Вместе сухой пескоструйной обработки применяют гидропескоструйную обработку, обработку абразивными порошками, металлическими, стеклян-

11. Параметры струйно-абразивной обработки

Толщина стружки деталей, мм	Вид обработки	Размер зерен, мм, и номер шлифпорошка	Давление воздуха, МПа
До 1 » 3 Св. 3	Абразивным порошком	14 и 16	0,05—0,15 0,15—0,25 0,3—0,4
До 1 » 2,5 » 5 Св. 5	Металлическим песком или дробью	0,15—0,3 0,3—0,5 0,8—1,0 0,8—1,5	До 0,5 » 0,5 » 0,6 » 0,6

ными, искусственными абразивными и другими материалами.

Широкое применение получили металлические и искусственные абразивные материалы.

Металлическая дробь или песок, которые используются для очистки и подготовки поверхности, выпускаются серийно. Размеры и свойства этих материалов регламентированы ГОСТ 11964—81 Е.

Обработка сухим абразивным порошком — весьма производительный способ, заменяющий сухую пескоструйную очистку с использованием существующих пескоструйных аппаратов без их переделки.

Параметры обработки абразивными порошками, металлическим песком и дробью приведены в табл. 11.

Одним из основных требований, предъявляемых к абразивным материалам, является их технологическое соответствие очищаемым деталям.

Детали из чугуна, никкоуглеродистой стали (сталь 10), легированной стали (сталь 30ХГСА) после обработки чугунным или стальным песком имеют ту же коррозионную стойкость, что и при обработке кварцевым песком; стойкость лакокрасочных покрытий и эмалей не изменяется. Очистку деталей из коррозионно-стойких сталей типа 12Х18Н9Т и 20Х23Н18, жаростойких сплавов ХН75МБТЮ, ХН38ВТ чугунным песком производить нельзя, так как частицы абразива внедряют и в обрабатываемую поверхность, создавая условия для коррозии. Хорошие результаты получены при очистке деталей из коррозионно-стойких и жаропрочных сталей высококремнистыми стальными песком с содержанием 20 кремния. Для обработки деталей из алюминиевых и магниевых сплавов чугунная и чугунная дробь непригодны.

Следует применять песок из сплава АЛ10, который можно изготовить стружки, полученной при механической обработке, либо из расплава. Большое распространение за рубежом получили в качестве абразивного материала стеклянные шарики (бисер). Этот материал применяется для очистки поверхности от окисных пленок, и гара и ржавчины, он не загрязняет обрабатываемую поверхность, не имеет большого количества металла. Рекомендуемые углы атаки струи при

обработке плоских поверхностей $\alpha = 45^\circ - 60^\circ$. Чем меньше диаметр шариков, тем интенсивнее обработка — больше ударов на единицу поверхности.

Абразивные материалы, твердость которых меньше, чем твердость обрабатываемого материала, можно применять только для обработки, при которой размеры деталей не изменяются (полирование, снятие масляных загрязнений).

При гидропескоструйной обработке используется смесь песка с водой в отношении от 1 : 2 до 1 : 6 (по объему). Требуемый напор осуществляется сжатым воздухом. При обработке поверхности песком или стеклянными шариками совместно с водой получается сравнительно меньшая шероховатость, чем без нее.

Для предотвращения коррозии деталей из черных металлов в водопесчаную пульпу рекомендуется вводить 4—6 г/л Na_2CO_3 и 18—22 г/л NaNO_2 . В качестве абразива широко применяют кварцевый песок размером 0,15—0,5 мм или шлифпорошок электрокорунда с размером зерен 0,08—0,12 мм.

На деталях, поступающих на гидропескоструйную обработку, не должно быть жировых загрязнений.

Смену абразивной суспензии производят 1—2 раза в неделю в зависимости от интенсивности работы пескоструйной камеры.

Давление воздуха для очистки должно составлять в зависимости от толщины стенок деталей от 0,15 до 0,6 МПа.

Широкое распространение на отечественных заводах получила суспензия следующего состава (%):

H_2O	60
абразив	30
NaNO_2	8
Na_2CO_3	2

С целью повышения производительности увеличивают содержание абразива и вводят поверхности-активные вещества; при этом состав суспензии (%) будет такой:

H_2O	64
абразив	33
NaNO_2	2
Na_2CO_3	2
ПАВ	0,5

3 П/р Шлугера

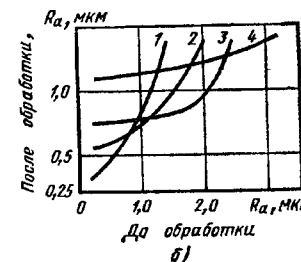
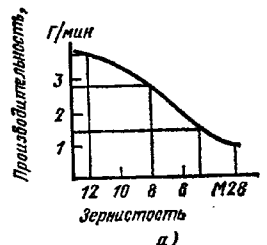


Рис. 3. Зависимость производительности (удельного съема) полирования (а) и шероховатости поверхности (б) от зернистости абразивного материала:

1 — микропорошок M20; 2 — шлифпорошок 3; 3 — шлифпорошок 8; 4 — шлифпорошок 12

Для повышения качества обработки рекомендуется более простой состав (%):

H_2O	77
абразив	20
Na_2CO_3	3

Зернистость абразивных порошков для суспензии выбирают в зависимости от требований к шероховатости обработанной поверхности деталей (рис. 3).

Наибольший съем металла получается при угле атаки струи суспензии $\alpha = 35^\circ - 45^\circ$. При $\alpha = 30^\circ - 35^\circ$ происходит полирование поверхности. Сила удара зависит от длины струи. Для давлений 0,5—0,6 МПа при диаметре сопла 5—7 мм рекомендуемая длина струи 70—110 мм.

ХИМИЧЕСКАЯ ОБРАБОТКА

Обезжиривание. Химическое обезжиривание поверхности деталей перед нанесением гальванопокрытий, как правило, предшествует электрохимическому обезжириванию; в основном

его применяют при наличии на деталях толстой жировой пленки.

Химический способ удаления жиров основывается на взаимодействии с ними органических растворителей или растворов щелочей, приводящих к их растворению, омылению или образованию эмульсий.

Органические растворители делят на горючие и негорючие. К горючим растворителям относятся бензин, керосин, бензол, толуол, ксиол, уайт-спирит и др. Из в гальванотехнике не применяют. Более эффективными растворителями являются негорючие и хлорированные углеводороды: трихлорэтилен, тетрахлорэтилен, перхлорэтилен, четыреххлористый углерод, хладон-113 (старое название фреон-113).

Растворяющая способность различных растворителей по отношению к маслам понижается в такой последовательности [кг/(м²·ч)]: хладон-113 — 4,45; трихлорэтилен — 3,10; ксиол — 2,20; тетрахлорэтилен — 1,70; бензин — 1,30; уайт-спирит — 0,90; керосин — 0,65.

Обезжиривание трихлорэтиленом можно подвергать большинство металлов (сталь, медь, никель, сплавы этих металлов и др.). Следует избегать обработки трихлорэтиленом алюминия, магния и их сплавов, так как при этом происходят нежелательные реакции, сопровождающиеся выделением большого количества теплоты, что приводит к разложению реактива с образованием ядовитых соединений. Обработку трихлорэтиленом ведут в жидкой или паровой фазе. Если обезжиривание проводят в жидкой фазе, то детали следует обрабатывать последовательно в двух-трех ваннах с растворителем, нагретым до 60—70 °C. Может быть применено струйное обезжиривание. Продолжительность очистки деталей составляет 3—10 мин.

Хлорированные углеводороды весьма реакционноспособны. В особенности это относится к трихлорэтилену, который в присутствии влаги гидролизуется, отщепляя хлор, в результате чего образуется небольшое количество HCl. Это может привести к коррозии аппаратуры и деталей. Для повышения стабильности трихлорэтилена следует вводить в него 0,01 г/л уротропина или триэтаполамина.

Тетрахлорэтилен, по сравнению с трихлорэтиленом, более устойчив к воздействию влаги, повышенной температуре и контакту с металлами, поэтому его можно использовать для обезжиривания всех металлов, включая алюминий и магний. Хорошими обезжиривающими свойствами и универсальностью действия на различные металлы обладает хладон-113. Он хорошо смешивается с минеральными маслами, смазками, большинством кремне- и фторогорганических соединений, допускает нагрев до 20—50 °C, может использоваться как в жидкости, так и в паровом состоянии.

В состав щелочного обезжиривающего водного раствора должны входить вещества, способные нейтрализовать жирные кислоты и омылять растительные и животные жиры и масла, а также эмульсии, способные уменьшать величину свободной межфазной энергии на границе масла с обезжиривающим раствором и масла с поверхностью детали. Вещества, входящие в обезжиривающий раствор, не должны вызывать коррозию металла и должны легко удаляться при промывке водой. В большей степени этим требованиям соответствуют силикаты и фосфаты щелочных металлов, в меньшей — щелочная сода и щелочная земля (калий). Раствор Na₃PO₄ способствует уменьшению жесткости воды и легче удаляется водой с поверхности изделий при их промывке, растворы силикатов — труднее. Хуже всего смываются растворы Na₂CO₃ и NaOH.

Концентрация компонентов этих растворов должна обеспечивать оптимальную эффективность их эмульгирующего действия. Почти во всех растворах обезжиривания в качестве эмульгатора рекомендуется использовать силикаты щелочных металлов, которые при гидролизе образуют H₂SiO₃ в коллоидном состоянии, которая нерастворима. Ее способность диспергировать твердые вещества улучшает качество очистки поверхности и предотвращает повторное осаждение загрязнений на поверхность деталей. Присутствие силиката в растворе препятствует разведению щелочами алюминия, цинка, стали и меди, а также потускнению и коррозии этих металлов между процессами обезжиривания и последующими операциями.

. Повышение концентрации щелочи в растворе до определенного предела приводит к понижению межфазной энергии на границе двух взаимно нерастворимых жидкостей.

Оптимальную концентрацию щелочи в обезжиривающем растворе выбирают в зависимости от того, какие поверхностно-активные вещества применяют. Обычно концентрация щелочи составляет 15 до 100 г/л.

В настоящее время используются анионоактивные ПАВ: алкилсульфонат, сульфонат НП-1, НП-3, ДС-РАС, ионогенные ПАВ: синтапол ДС-10, ДТ-7, ДТ-10, синтапид-5, препараты ОП-7, ОП-10, ОП-20, ОП-30 (выпускаются на основе полиэтиленгликолового эфира). Они устойчивы в щелочной, кислой и нейтральной средах.

При подборе ПАВ необходимо учитывать возможность нейтрализации сточных вод после обезжиривания. В этом отношении препараты ОП-7, ОП-10, сульфонат НП-1, алкилсульфонат малонпримелемы, так как они являются биологически жесткими ПАВ. Биологически мягкие ПАВ — синтапол ДС-10 и синтапид-5 успешно применяют в качестве заменителя ОП.

Сравнение эффективности действия ряда ПАВ при концентрации 1 г/л и температуре 60 °C показало, что их моющая способность возрастает в такой последовательности: вторичные алкилсульфаты, сульфонат, синтапол ДС-10, синтапид-5, синтапол ДТ-7. Хорошей моющей способностью характеризуется синтапол ДТ-10.

12. Составы растворов (г/л) для химического обезжиривания

Компоненты раствора	№ раствора									
	1	2	3	4	5	6	7	8	9	10
NaOH (KOH)	—	—	10—15	—	—	—	—	—	5—8	—
Na ₂ CO ₃	—	10—20	30—40	20—30	—	—	80—100	40—50	—	15—20
Na ₃ PO ₄ × 12H ₂ O	10—20	5—10	50—70	30—50	30—60	10—15	10—15	40—50	40—50	25—30
Na ₃ PO ₄ × 12H ₂ O	5—8	3—5	—	—	5—10	20—30	—	—	—	—
Na ₂ O · SiO ₂	—	—	2—3	3—5	10—12	2—4	—	—	3—5	—
Препарат ОП-7	—	—	3—5	—	—	—	—	—	—	—
или ОП-10	8—10	5—10	—	—	8—10	—	—	2—4	—	3—4
Синтапол DC-10	—	1—2	—	—	—	4—6	—	—	—	—
Сульфонат НП-3	—	—	—	—	—	—	—	—	—	—

Оптимальная концентрация добавок ПАВ в обезжиривающих растворах составляет 2—8 г/л. Температурный режим обезжиривания связи с типом примененных ПАВ.

В табл. 12 приведены составы растворов для химического обезжиривания различных металлов и сплавов.

Растворы № 1, 3, 6 используются для обезжиривания черных металлов; № 2, 4, 5, 7, 8 — для меди и ее сплавов; № 2, 9, 10 — для алюминия и его сплавов. Раствор № 5 сравнительно более универсален, в нем обезжириваются детали из черных и цветных металлов. Для очистки полированных деталей рекомендуется использовать растворы № 6, 8, 10; остатки полировальных паст на стальных деталях лучше отмываются в растворе № 6. Растворы № 3, 4, 5 применяют для обработки сильно загрязненных деталей; раствор № 4 — для обезжиривания деталей из меди, ее сплавов, а также деталей с серебряными покрытиями, изготовленными с применением пайки припоями типа ПОС.

Для обезжиривания цинка, магния, сплавов ковара и инвара применяют растворы следующих составов (г/л):

цинк и его сплавы

1. Na ₂ CO ₃	30—40
Na ₂ O · SiO ₂	30—50
препарат ОП-7	2—3
керосин	30—40
2. Na ₃ PO ₄ · 12H ₂ O	50—60
Na ₂ O · SiO ₂	25—30
жидкое мыло	2—3
магниевые сплавы	
Na ₂ CO ₃	50—60
Na ₃ PO ₄ · 12H ₂ O	40—50

$\text{Na}_2\text{O} \cdot \text{SiO}_2$	20—30
сплавы ковар, инвар	
NaOH	10—20
Na_2CO_3	50—60
$\text{Na}_2\text{PO}_4 \cdot 12\text{H}_2\text{O}$	50—60
$\text{Na}_2\text{O} \cdot \text{SiO}_2$	3—5

Обезжиривание в растворах, содержащих ОП, синтапол, сульфонол, ведут при 65—70 °C; при отсутствии этих компонентов — при 80—90 °C.

Высокие моющие и эмульгирующие качества показал следующий состав химического обезжиривания (г/л):

фосфаты натрия	10—20
синтапид-5	2

Увеличение или уменьшение содержания фосфатов натрия снижает эффективность очистки поверхности. Этот состав можно рекомендовать для всех металлов. С повышением температуры от 70 до 90 °C эффективность очистки значительно улучшается. Данные о времени очистки приведены в табл. 13.

Высокая эффективность химического и электрохимического обезжиривания достигается применением составов ДХТИ-301, ДХТИ-302, ДХТИ-303 в количестве 1—5 г/л. После полирования с применением полировальных паст детали обезжиривают струйным методом.

Последовательность обработки следующая: 1) обезжиривание струй в растворе следующего состава (г/л):

Na_2CO_3	40—30
NaOH	40—30
Режим обезжиривания: $t =$	$60+70^\circ\text{C}$; $t = 2,5$ мин;

2) промывка в горячей воде (окунанием); $t = 60+80^\circ\text{C}$; $t = 1$ мин;

3) промывка в холодной воде (струйная); $t = 1$ мин;

13. Продолжительность удаления жировых загрязнений при оптимальной концентрации фосфатов (15 г/л)

Фосфат	Продолжительность удаления смазок, с				
	Параллельное мыло	ПЛАС	СЛП	Кориандровое масло	Эмульсия Э2Б
Na_2HPO_4	20	35	20	80	25
Na_2PO_4	25	30	15	60	20
$\text{Na}_2\text{P}_2\text{O}_7$	10	20	10	35	5
$\text{Na}_2\text{P}_2\text{O}_{10}$	15	25	10	45	5

4) пассивирование в растворе состава (г/л):

NaNO_3	4—5
Na_2CO_3	4—5
Режим пассивирования: $t =$	$60+70^\circ\text{C}$; $t = 1$ мин.

Для обезжиривания стальных деталей струйным методом в автомобилестроении применяют раствор следующего состава (г/л):

NaOH	5—7
$\text{Na}_2\text{P}_2\text{O}_{10} \cdot 10\text{H}_2\text{O}$	3—7
глюконат натрия (нейтрализованный) трилон Б	0,5—1,5
NaOH	1—3
авироль ОГ	0,1—0,2
Режим обезжиривания: $t =$	$60+65^\circ\text{C}$; $t = 6$ мин.

Для омываний полированием деталей применяют раствор следующего состава (г/л):

Na_2CO_3	3—5
$\text{Na}_2\text{P}_2\text{O}_{10} \cdot 12\text{H}_2\text{O}$	3—5
Режим обезжиривания: $t =$	$50+60^\circ\text{C}$; $t = 4$ мин.

После струйной очистки для химического обезжиривания наряду с известными растворами применяются также следующие составы (г/л):

по стали	
NaOH	
$\text{Na}_2\text{P}_2\text{O}_{10} \cdot 10\text{H}_2\text{O}$	20—25
трилон Б	20—25
Режим обезжиривания: $t =$	3—4
$= 80+90^\circ\text{C}$; $t = 4+5$ мин; по меди,	
Na_2PO_4	25—30
Режим обезжиривания: $t =$	$70+75^\circ\text{C}$, $t = 4+5$ мин.

Интенсивное перемешивание растворов сжатым воздухом, предварительно очищенным от примеси масла, интенсифицирует процесс и улучшает качество очистки поверхности деталей.

Лучшим пеногасителем при обезжиривании в условиях перемешивания, циркуляции и барботажа является силикансовая жидкость А-154 в количестве 0,05—0,5 г/л. Кроме А-154, в качестве пеногасителя можно рекомендовать ЭАП-40. Пеногасящая способность силиканов, выпускаемых промышленностью, увеличивается в такой последовательности: ПМС-1000А, ПМС-200А, КАВ-1, ЭАП-40, А-154.

В качестве заменителей органических растворителей при обезжиривании все чаще применяют моющие препараты: щелочные пасты МЛ-51, МЛ-52, МС-5, МС-6, МС-8, лабомид-101.

лабомид-203, деталин, триалон и синтетические — ТМС-31, ТМС-70, вертолин-74, аполир-К, импульс-К.

Для удаления полировальных паст с деталей из различных металлов, кроме алюминия, рекомендуется использовать раствор, содержащий 60—80 г/л ТМС-31 или ТМС-70. Режим обезжиривания: $t = 60+80^\circ\text{C}$; $t = 1—2$ мин.

Смазочно-охлаждающие жидкости хорошо удаляются с поверхности деталей из различных металлов в растворе, содержащем 15—35 г/л МЛ-51 или МЛ-52. Режим обезжиривания: $t = 60+80^\circ\text{C}$; $t = 5—20$ мин.

Иногда при обработке стальных деталей, поверхность которых неизначально загрязнена, перед нанесением защитных покрытий экономически целесообразно применять растворы, предназначенные для одновременного обезжиривания и травления.

Составы растворов для одновременного обезжиривания и травления стали приведены в табл. 14.

Минеральные масла и смазки плохо удаляются при нормальной температуре. Повышение температуры интенсифицирует процесс удаления жиров, но одновременно ускоряет процесс травления. При наличии на металле жировой пленки и окалины травление может происходить неравномерно, что скажется на внешнем виде поверхности металла. Повышение температуры интенсифицирует этот процесс. В растворе детали промывают горячей водой.

14. Составы растворов (г/л) для одновременного обезжиривания и травления

Компоненты раствора	№ раствора				
	1	2	3	4	5
H_3PO_4	—	200—220	200—220	—	150—200
H_2SO_4	180—200	100—120	—	200—220	150—180
HCl	—	—	—	—	—
NaOH	—	—	—	—	—
Na_2PO_4	—	—	—	—	—
NaF	100—120	—	—	—	—
NaCl	—	—	—	—	—
Na_2SiO_3	—	—	—	—	—
Уротропин	4—5	10—12	10—12	4—6	30—40
Синтапол ДС-10	—	—	—	—	—
Препарат ОП-7	16—18	—	—	—	—
KJ	0,3—0,5	—	—	—	—
Тиомочевина	—	—	—	—	—
Уант-спирит	—	—	—	—	—
Сульфонол НП-3	—	—	—	—	—
	10—15	—	—	—	—

16. Составы растворов (вес. доля, %) для эмульсионного обезжиривания

Компоненты раствора	№ 1, частота			
	1	2	4	
ДС-РАС натриевый Препарат ОП-10	1,5—2,0 0,75— 1,0	— — —	— 17 46	— 30
Трихлорэтилен $\text{Na}_2\text{P}_2\text{O}_7$	2—3 0,5	— —	— —	— —
Тринитамин масло	0,2—0,3 —	4 —	— 19	— 54
Карболовое масло	—	—	—	—
Керосин	—	85 7	— —	0,6 0,6
Кислота елецкая	—	—	—	—
Сульфоантан	—	—	5	6
$\text{Na}_2\text{P}_2\text{O}_7 \cdot 10\text{H}_2\text{O}$	—	—	—	0,5
Вода	—	—	4	8

При струйном эмульсионном обезжиривании продолжительность обработки составляет 0,5—5 мин; температура раствора 60—65 °C, давление струи 0,15 МПа.

Состав раствора № 4 разбавляют водой в соотношении 1 : 1—1 : 2, температура раствора 80—90 °C. После эмульсионной обработки детали промывают горячей водой.

Обезжиривание мелких деталей осуществляют в химических моющих средствах с применением виброконтейнеров, барабанных или шнековых устройств или с использованием ультразвуковых колебаний.

Применение ультразвуковой очистки ускоряет процесс обезжиривания в несколько раз, причем концентрация компонентов растворов химического обезжиривания может быть снижена в 3—5 раз. Некоторые составы растворов приведены в табл. 16.

16. Составы растворов (г/л) для химического обезжиривания в ультразвуковом поле

Компоненты раствора	№ раствора				
	1	2	3	4	5
NaOH	5—10	—	25—30	—	—
Na_2CO_3	15—25	4—6	—	—	—
$\text{Na}_3\text{PO}_4 \cdot 12\text{H}_2\text{O}$	40—60	6—8	—	—	—
$\text{Na}_2\text{O}_5\text{SiO}_2$	—	10—12	20—25	30—40	3—5
Синтапол ДС-10	—	—	—	1—3	1—3
NaNO_2	—	—	10—12	—	—
$\text{K}_2\text{Cr}_2\text{O}_7$	—	—	—	0,5—0,8	—

Наиболее часто применяют следующий режим ультразвуковой очистки: частота 20—40 кГц, удельная мощность 1—3 Вт/см². Для обработки сложных мелких деталей, имеющих небольшие узкие зазоры, щели, отверстия, частоту повышают до 200—500 кГц.

В растворе № 1 можно обрабатывать детали из черных и цветных металлов; в растворе № 2 обрабатывают медь, цинк, алюминий и некоторые сплавы этих металлов; раствор № 3 рекомендуется для обезжиривания стальных деталей; растворы № 4 и 5 — для деталей из меди и ее сплавов.

Травление. Его проводят с целью удаления с поверхности деталей окисли, ржавчины или окисных пленок, образовавшихся под влиянием окружающей среды, механической, термической, химической обработки. Травление подвергают детали, прошедшие процесс обезжиривания.

Процесс травления черных металлов проводят в основном в растворах минеральных кислот HCl , H_2SO_4 или их смесей. Установлено, что HCl снимает окислы с поверхности преимущественно за счет их растворения, в то время как H_2SO_4 за счет подправливания металла и механического удаления разрыхленного слоя окислов выделяющимся водородом. В 10 %-ной H_2SO_4 железо растворяется в 70 раз быстрее окислов, тогда как в 10 %-ной HCl только в 10 раз. Скорость растворения в HCl преимущественно возрастает с увеличением ее концентрации (табл. 17).

Скорость травления в H_2SO_4 в основном зависит от температуры. Так, например, скорость травления стали

Химическая обработка

в 3 %-ном растворе при 80 °C в 10 раз больше, чем в 8 %-ном растворе при 20 °C. Повышение концентрации H_2SO_4 в растворе до 25 % приводит к увеличению скорости растворения.

При одинаковой температуре травления в HCl происходит меньшее наводороживание стали, чем в H_2SO_4 .

С целью уменьшения травления чистого металла и пренебрежимо удаления окисного слоя, а также уменьшения вплоть до исключения наводороживания в растворы травителей вводят ингибиторы. Для HCl — ингибиторы ПБ-5, БА-6, ПКУ, КПИ, И-1-А, И-1-В, И-1-Г, катапин и др., для H_2SO_4 — БА-6, уротропин, катапин ЧМ и др. Ингибиторы могут служить также NaCl , KJ , FeSO_4 . Наибольшей степенью защиты от перетравления обладают ингибиторы ПКУ-М и катапины: 98—99,1 % в растворах H_2SO_4 и HCl при 80—120 °C, БА-6 — 98 % в HCl ; И-1-А и И-1-В — 94—96 % в растворах H_2SO_4 и HCl при 80—100 °C.

Максимальная степень защиты поверхности стали при применении ингибитора ЧМ в H_2SO_4 составляет 48 %, а максимальную допустимую температуру 60 °C.

Степень защиты значительно определяет и степень наводороживания стали, так как водород выделяется лишь в случае травления самого металла, что резко подавляется действием ингибиторов.

Составы травильных растворов, рекомендованных ГОСТ 9.047—75 для травления углеродистой стали и чугуна, приведены в табл. 18.

В растворах № 1 рекомендуется травить детали как из стали, так и из чугуна. В растворе № 2 можно заменять HCl на эквивалентное количество NaCl , что уменьшает наводороживание стали вследствие уменьшения травления чистого металла. Бесщелчное травление стали и ковара, обусловленное химическим растворением окислов в HCl , производят в растворе № 3.

В случае травления ответственных стальных деталей рекомендуются растворы № 4, 5, а для аналогичных деталей, имеющих одновременно поверхности с окалиной и без нее, лучше использовать раствор № 6. Для углеродистых термообработанных сталей предназначены растворы № 7. Чугунные от-

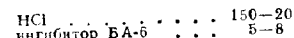
17. Растворимость Fe , FeO и Fe_2O_3 в HCl

Концентрация HCl , %	Растворимость, г/ч, на 100 г вещества		
	1 с	Fe_2O_3	FeO
1	20,8	0,112	0,48
2	22,7	0,17	0,63
3	31,6	0,31	0,76
5	40,7	0,71	0,88
7	50,1	1,6	1,8
10	72	—	—
12	109,6	—	—
18	191,0	38,6	79,7
21	356,0	43,8	49,0

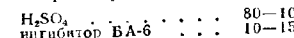
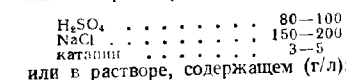
линики рекомендуют травить в ортофосфорной кислоте (раствор № 8).

Полученную в результате термообработки пружинящих деталей плотную окалину рекомендуют вначале разрыхлить в растворе № 9, а затем травить в растворах № 1 и 2.

Наряду с перечисленными составами растворов для удаления толстой окалины со стали используют раствор, содержащий (г/л):

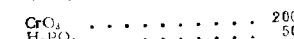


Если детали имеют незначительный слой окалины, можно проводить травление в растворе, содержащем (г/л):



По сравнению с сернокислыми и солянокислыми растворами менее агрессивными являются растворы H_3PO_4 . Образуя на чистом металле фосфаты железа, они не требуют ингибиторов коррозии, так как перетравление металла почти не наблюдается.

Удаление окисных пленок с поверхности деталей рекомендуют проводить при $t = 80—90$ °C в растворе, содержащем (г/л):



Необходимо иметь в виду, что после травления в растворах, содержащих

18. Составы растворов (г/л) и режимы травления углеродистых сталей и чугуна

Компоненты раствора и режим	# раствора							
	1	2	3	4	5	6	7	8
H ₂ SO ₄	150—250	175—200	150—350	—	200—220	100—200	15—20	—
HCl	—	80—100	50—60	—	—	35—40	—	—
H ₃ PO ₄	—	—	40—50	—	—	0,8—1,0	120—160	—
KJ	—	—	40—50	—	5—7	—	—	—
Угнетоптин	3—5	—	—	—	—	8—10	—	—
Каталин	—	—	—	—	—	—	—	—
CrO ₃	—	—	—	—	—	—	—	—
NaOH	—	—	—	—	—	—	400—600	—
Nano ₃	—	—	—	—	—	—	100—280	—
t, °C	40—80	40—50	15—45	80—90	15—30	60—80	60—70	135—145
t ₁ , мин	—	—	—	—	—	—	—	—

Приимечание. Продолжительность обработки устанавливается в зависимости от характера и толщины слоя окислов.

19. Составы растворов (г/л) и режимы травления коррозионно-стойких сталей

Компоненты раствора и режим	# раствора							
	1	2	3	4	5	6	7	8
H ₂ SO ₄	400—450	—	—	—	80—110	180—200	—	—
HCl	250—300	50—150	220—240	350—400	70—200	90—110	350—450	—
HNO ₃	—	15—50	20—25	15—25	15—50	70—90	70—90	220—250
HF	—	—	20—25	—	—	20—25	—	—
NaF	—	—	—	—	—	25—30	—	—
Nano ₃	—	—	—	—	—	—	—	—
Угнетоптин	—	—	—	—	—	—	15—20	—
Каталин	3—5	—	—	—	—	—	—	—
Сульфофотом	—	—	—	—	1,0—1,6	—	—	—
t, °C	15—30	15—30	15—30	15—30	10—60	10—60	10—45	40—45
t ₁ , мин	До 60	До 60	До 60	До 60	—	—	—	До 15

Химическая обработка

H₃PO₄, перед насыщением гальваническим покрытием следует проводить активирование поверхности деталей с целью удаления фосфатного слоя.

Для удаления остатков песка и шлаков с чугунных и стальных отливок, а также для травления кремнистых сталей и чугунов применяют растворы HF или ее смеси с другими кислотами. Травление в HF отличается малой растворимостью Fe и легким растворением SiO₂ с образованием H₂SiF₆. Его проводят в 3—4 %-ном растворе HF при 15—25 °C. При наличии большого количества окалины целесообразно добавить к указанному раствору 10—15 % H₂SO₄.

Химическое травление легированых сталей вследствие их высокой химической стойкости требует применения смесей кислот, характеризующихся большой активностью. Характерно, что почти во все растворы для травления кромоникелевой стали входят HNO₃ и NaNO₃. В табл. 19 приведены наиболее часто применяемые составы растворов для травления коррозионно-стойких сталей.

Для травления окалины с поверхности хромоникелевых и хромоникелево-молибденовых марок стали рекомендуются составы растворов № 1—6. Детали, изготовленные из хромистых сталей, травят в растворах № 7—9, причем обработку в растворах № 7 и 8 проводят последовательно без промежуточной промывки.

При травлении меди и ее сплавов с поверхности удаляются Cu₂O и CuO — составляющие слоя окалины.

Наиболее широко применяемые составы для травления меди и ее сплавов приведены в табл. 20.

Раствор № 1 широко применяется для удаления окалины с меди и ее сплавов после термообработки или длительного хранения. Сплавы никель-берилий и монель-металл травят при 80 °C в течение 10—12 ч, а при наличии плотной окалины добавляют к раствору 70—85 г/л HNO₃.

Для матового травления неответственных деталей применяют последовательно без промежуточной промывки растворы № 2, 3, а для ответственных деталей — также последовательно

20. Составы растворов и режимы травления меди и ее сплавов

Компоненты раствора и режим	# раствора				
	1	2	3	4	5
H ₂ SO ₄	150—250	—	—	—	—
HNO ₃	—	—	—	—	—
HCl	—	—	—	—	—
H ₃ PO ₄	—	—	—	—	—
CrO ₃	—	—	—	—	—
NaOH	—	—	—	—	—
NaNO ₃ (NH ₄ NO ₃)	—	—	—	—	—
NaCl	—	—	—	—	—
t, °C	50—60	15—30	15—30	15—30	15—30
t, с	До удаления окислов	10—30	10—30	10—30	5—10

Компоненты раствора и режим	# раствора				
	6	7	8	9	10
H ₂ SO ₄	—	—	30—40	900	1100
HNO ₃	—	1200	—	700	—
HCl	400—600	—	—	—	—
H ₃ PO ₄	100—200	—	50—100	—	—
CrO ₃	—	—	—	—	—
NaOH	—	—	—	—	—
NaNO ₃ (NH ₄ NO ₃)	—	—	—	—	—
NaCl	—	—	—	—	—
t, °C	135—145	15—30	15—30	15—30	15—30
t, с	20—40 мин	30—60	5—10	До 10	до 10

растворы № 2, 4; для пружин, тонкостенных и резьбовых деталей — раствор № 5.

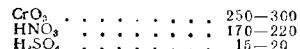
Блестящее травление термообработанных бронз, кроме марки БрОЦС или БрКМЦ, осуществляют последовательно с промежуточной промывкой в растворах № 6, 7 и 8.

Растворы № 9 и 10 рекомендуются для блестящего травления меди и ее сплавов, причем в растворе № 9 следует обрабатывать дважды с промежуточной промывкой.

Детали из бериллиевой бронзы лучше травить при $t = 95-98^{\circ}\text{C}$ в растворе, содержащем 5 г/д.



с последующим осветлением в растворе, содержащем (г/д).



Алюминий и его сплавы из-за химической активности всегда покрыты пленкой $\text{Al}(\text{OH})_3$. Алюминий легко растворяется как в минеральных кислотах (за исключением HNO_3), так и в щелочах, особенно при нагревании.

Травление алюминия осуществляют с целью придания поверхности деталей матовости или блеска, а также для удаления толстой окисной пленки перед гальванопокрытиями в составах, приведенных в табл. 21. Наиболее широко применяется для травления алюминия и его сплавов раствор № 1. После травления детали подвергают процессу нейтрализации и осветления в 15—20 %-ном растворе HNO_3 при 15—25 °C.

Силуминны травят в растворе № 2. Состав раствора № 3 применяют для травления сварных деталей с негерметичным швом.

Матированием деталей из алюминиевых сплавов АД1, АМц, АМг2 перед эмальированием или анодированием в H_2SO_4 осуществляют в растворах № 4, 5.

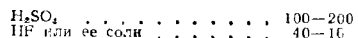
Травление деталей, имеющих точные размеры, рекомендуется вести в растворах № 6-7.

Хорошо зарекомендовал себя способ
травления в растворе № 8 перед хими-
ческим никелированием.

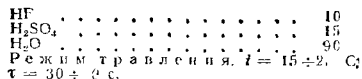
При необходимости получения блестящей травленой поверхности процесс

ведут в смеси кислот (раствор № 9) с добавлением указанных в таблице соединений в нужном количестве.

Для глубокого травления титана и его сплавов используют обычно состав (г/л):



Перед пирофосфатным меднением детали проваряют в растворе, содержащем (мл):



Перед никелированием детали травят в крепкой HCl в течение 1 ч при нормальной температуре или в растворе, содержащем (г/л):



Активация. Эта обязательная операция предназначена для удаления гончайших окисных пленок с поверхности деталей. Ее проводят между процессами обезжиривания и нанесения металлокопретий. Лучше, когда в процессе активации исключается промежуточная промывка. В этом случае необходимо, чтобы в состав ванны активации входили компоненты, сереное кото-рых в ванну для осаждения металлического покрытия не приводят к ухудшению процесса нанесения металлов, например, хромовая промывка (активация) перед хромированием.

Для активации различных металлов предложено много возможных вариантов составов растворов и режимов (табл. 92).

Детали из углеродистой и хромоникелевой стали рекомендуется активировать в растворах № 1—3. Для деталей, прошедших цементацию и изготовленных из рессорно-пружинной стали, рекомендуется активация в растворе № 4, причем через сутки после добавления уротропина.

Детали из цинкового сплава активируют в составе № 5. Медь, медные сплавы и медные покрытия перед серебрением и золочением в цинистых электролитах активируют в растворе № 7, а перед другими процессами нахо-

Составы растворов (г/л) и режимы травления алюминия и его сплавов

Компоненты растворов и режимы травления алюминия и его сплавов	№ растворов							
	1	2	3	4	5	6	7	8
NaOH	50—150	—	—	125—150	125—150	60	—	—
HF	—	120—140	—	—	—	—	—	—
NaCl	—	—	—	25—35	До изве-щения	—	—	—
K ₂ Cr ₂ O ₇	—	—	—	—	20—25	—	—	—
H ₃ PO ₄	—	—	80—100	—	—	30—35	1400—1550	60 %
K ₂ SiF ₆	—	—	4—6	—	—	—	—	—
HNO ₃	—	—	660—680	—	—	—	—	—
H ₂ SO ₄	—	—	—	—	—	—	—	20 %
NaCl, 5H ₂ O	—	—	—	—	—	—	—	—
CrO ₃	—	—	—	—	—	—	—	—
Агр.-агр	—	—	—	—	—	—	—	—
NiSO ₄ ·7H ₂ O	—	—	—	—	—	—	—	—
CuSO ₄ ·5H ₂ O	—	—	—	—	—	—	—	—
t, °C	45—80	15—30	50—60	70—75	60—70	80—100	50—70	15—30
До 1,5	До 3,0	До 10	0,5—1,0	1—2	До 2	10	0,5—2	До 3,0

22. Составы растворов (г/л) и режимы для химической активации

Компоненты раствора и режим	№ раствор					
	1	2	3	4	5	6
H ₂ SO ₄	50—100	50—100	25—50	50—100	30—80	30—80
HCl			25—50			
KCN			50—100			
Уротропин			50—100			
CrO ₃						
NaOH						
Na ₂ PO ₄ ·12H ₂ O						
Na ₂ SiO ₃						
t, °C	15—30	15—30	15—30	15—30	15—30	15—30
t, с	15—60	15—45	5—10	15—60	10—15	

Компоненты раствора и режим	№ раствора					Медь в ее сплавах	Никель
	6	7	8	9	10		
H ₂ SO ₄	5—15	30—50	50—100	240—260			
HCl							
KCN							
Уротропин							
CrO ₃							
NaOH							
Na ₂ PO ₄ ·12H ₂ O							
Na ₂ SiO ₃							
t, °C	15—30	15—30	15—30	60—80	50—60		
t, с	5—15	5—15	15—50	2—3 мин	10—30		

сения — в растворах № 1—3, причем время можно увеличить.

Никель, его сплавы и никелевые покрытия следует активировать в растворе № 1. При нанесении многослойных покрытий никелевые покрытия перед хромированием активируют в растворе № 8.

После обезводороживания цинковых и кадмийевых покрытий перед хроматированием их рекомендуется активировать в растворе № 6.

Ответственные детали из алюминия и его сплавов перед анодным оксидированием и химическим оксидированием активируют в растворах № 9, 10.

Химическое полирование. Составы растворов и режимы химического полирования различных металлов приведены в табл. 23 и 24. Указанные в табли-

цах растворы оказывают сглаживающее действие, в особенности для меди и ее сплавов и алюминия.

Раствор № 7 лучше применять для меди и латуни, раствор № 8 хорошо полирует никельсодержащие медные сплавы, раствор № 9 используют для полирования как меди, так сплавов, в том числе бериллиевой бронзы.

Из растворов, рекомендуемых в табл. 23, растворы № 1, 2 лучше применять для высокочистого алюминия и сплавов марок до АМ0.5; раствор № 3 — для сплавов марок АМг; растворы № 4, 5 — для алюминия и деформируемых сплавов марок АД1, АМг, АМц.

Состав раствора № 10 пригоден для химического полирования как циркония, так и титана.

23. Составы растворов (г/л) и режимы химического полирования стали, меди и ее сплавов, никеля

Компоненты раствора и режим	№ раствор						Медь в ее сплавах	Никель
	1*	2	3	4	5	6		
Углеродистая сталь								
Коррозионно-стойкая сталь								
H ₃ PO ₄	—	1 л	—	—	180—500	935—950	55	1300—1400
H ₂ SO ₄	0,015 %	—	34	350—430	52	—	—	170
HNO ₃	—	—	4,5	35—50	0,5	40—150	—	180
HCl	—	—	6,5	20—40	24,3	280—290	20	420
H ₃ BO ₃	—	—	0,2	—	—	—	0,5	—
H ₂ C ₂ O ₄	± 5 %	—	—	—	—	—	—	—
CH ₃ COOH (спирт)	—	—	—	—	—	280—260	25	460—500
KNO ₃	—	—	—	—	—	—	—	—
H ₂ O ₂ (30 %-ный раствор)	1,3 %	10	2	2	—	—	—	—
CrO ₃	—	—	—	—	—	—	—	—
Na ₂ O·SiO ₂	—	—	2	—	—	—	—	—
KMnO ₄	—	—	2	—	—	—	—	—
NaCl	—	—	—	—	—	—	—	—
K ₄ [Fe(CN) ₆]	—	—	—	—	—	—	—	—
ОП-7	—	—	—	—	—	—	—	—
Краситель кислотный оранжевый	—	—	—	—	—	—	—	—
TiCl ₄	—	—	—	—	—	—	—	—
Вода	—	—	54	—	—	—	—	—
t, °C	18	100—105	70—75	75	70—75	15—30	90—100	80—90
t, мин	30—90	2—5	5—20	2—5	5—10	1—6	0,5—2	до 2

* Состав дан в массовых долях, %.

24. Составы растворов (г/л) и режимы химического полирования алюминия, цинка, кадмия, титана, никеля

Компоненты раствора и режим	№ раствора:						Цинк, кадмий	Титан	Никель
	1	2	3	4	5*	6			
Алюминий и его сплавы									
H ₃ PO ₄	1300—1400	1300	1500—1600	540—560	87,5	—	—	280	—
HNO ₃	110—150	85	60—80	—	—	—	9	360	400
H ₂ SO ₄	200—250	290	—	—	9	—	—	—	370
CH ₃ COOH	—	—	—	—	—	—	—	—	—
H ₂ SiF ₆	—	—	—	—	—	—	—	—	—
HF	—	—	—	—	—	—	—	—	240
H ₂ C ₂ O ₄	—	—	—	45—55	—	—	—	115	70
H ₃ BO ₃	—	—	—	—	—	—	—	—	—
NH ₄ F·HF	—	—	—	—	—	—	—	—	—
Cu(NO ₃) ₂	—	—	—	—	—	—	—	—	100
Мочевина	—	—	—	—	—	—	—	—	—
Карбоксилистиленоло-	0,8	—	—	—	—	—	—	—	—
за	—	—	—	—	—	—	—	—	—
CrO ₃	—	—	—	—	—	—	—	—	—
Вода	—	—	—	—	—	—	—	—	—
<i>t, °C</i>	100—110	65—75	50—80	100—110	10—30	15—30	60—70	45—50	20—35
<i>t, мин</i>	2—4	40	до 1,0	1—5	2—10	до 2	до 2	до 2	до 2

* Состав дан в массовых долях, %.

Электрохимическая обработка

ЭЛЕКТРОХИМИЧЕСКАЯ
ОБРАБОТКА

Электрохимическое обезжиривание. При электрохимическом обезжиривании, так же как и при химическом, используются водные растворы, содержащие едкие щелочи, соду, фосфаты, силикат натрия и другие компоненты, но в меньшем количестве. При выборе состава электролита следует учитывать его электропроводимость, эмульгирующую и смачивающую способность, а также воздействие на материал катода. Чем выше электропроводимость электролита, тем большее количество электрического тока можно пропустить через него в единицу времени и, следовательно, применять большую плотность тока при том же направлении. Электропроводимость растворов солей уменьшается в ряду: едкий натр, силикат натрия, сода, фосфаты. Эмульгирующая и смачивающая способность возрастает в ряду: едкий натр, сода, фосфаты, силикаты.

При электрохимическом обезжиривании либо применяют в малом количестве ПАВ с малой склонностью к пенообразованию, либо их не применяют совсем. Образование большого количества пены может привести к взрыву при возникновении искры в случае накопления в пене гремучего газа. Во избежание этого применяют пеноотгасители: А-154, ПМС-200А и др.

Электрохимическое обезжиривание, несмотря на высокую эффективность, применяют, в основном для очистки поверхности металла от небольшого слоя жира. Если поверхность деталей имеет значительные живорые загрязнения, ее предварительно обезжиривают химическим методом.

Процесс электрохимического обезжиривания можно вести и на катоде, и на аноде. При одинаковом количестве тока, проходящем через электролит, на катоде выделяется в 2 раза больше газа, чем на аноде. Следовательно, катодное обезжиривание более эффективно.

Вследствие паводороживания деталей при катодном обезжиривании часто обезжиривание проводят сначала на катоде, а затем на аноде, либо только на аноде.

При реверсивном способе ведения процесса очистки время анодной обра-

ботки составляет обычно 1/5—1/15 времени катодной обработки.

Рабочее напряжение на ванне должно быть более 2,5—3 В (напряжение разложения воды в ваннах обезжиривания); обычно применяют выпрямители с напряжением 6—12 В. Расстояние между электродами в целях экономии электроэнергии делают минимальным, и обычно оно составляет 0,05—0,15 м. В качестве второго электрода можно применять: при анодном обезжиривании — сталь (катод), при катодном и реверсивном обезжиривании — коррозионно-стойкую сталь, никелированную углеродистую сталь или предпочтительнее никелевые пластины.

Имеются также рекомендации по применению переменного тока для обезжиривания, что исключает паводороживание.

Рекомендуемые составы электролитов и режимы обезжиривания приведены в табл. 25.

Электролиты № 1, 2 и 5 рекомендуется применять для обезжиривания стальных деталей на подвесках, а электролит № 6 — в барабанах. Обезжиривание при переменном токе проводится в составе № 4.

При обезжиривании деталей из медных и цинковых сплавов используют электролит № 2, причем для медных сплавов обычно добавляют в состав NaCN, который не только улучшает обезжиривающее свойство электролита, но и активирует поверхность меди.

Обезжиривание стальных оцинкованных деталей проводят сначала на катоде в растворе № 7, а затем на аноде в электролите № 8.

Электрохимическое травление. Электрохимический способ травления металлов значительно ускоряет процесс очистки как за счет обильного выделяющегося на деталях газа, так и в результате химического и электрохимического растворения окислов и металла.

При подготовке поверхности перед нанесением гальванических покрытий наиболее широко применяют способы анодного травления (табл. 26).

Для удаления окалины и окислов с поверхности углеродистой стали применяют составы электролитов № 1—6: времена травления и температуру увеличивают при удалении толстого слоя окалины. Электролиты № 7, 8 применяют для травления легированных

25. Составы электролитов (г/л) для минерализации

Компоненты электролита и режим	# электролита						
	1	2	3	4	5	6	7
NaOH	20-40	5-10	8-12	25-30	45-55	60-70	10-15
Na ₂ CO ₃	20-40	20-40	8-12	25-30	10-20	10-20	25-30
Na ₂ SiO ₃	—	3-5	4-6	25-30	15-25	5-10	25-30
Na ₃ N	5-15	—	—	—	—	—	10-15
Ca(OH) ₂ •10H ₂ O	—	—	—	—	10-20	—	—
Силикатный раствор	—	—	—	1-2	—	—	—
Азотная кислота НП-3	—	—	0,1-0,3	—	0,1-0,2	—	—
Аммиак	—	—	—	—	—	—	—
Гидроксид Б	—	—	—	—	—	0,1-1 мкг/л	—
					—	0,1-4-6	—
							—
С	60-80	60-80	60-70	60-70	60-70	35-40	65-70
A/A ₀ m ²	2-10	2-10	1-2	1-2	10	1-1,5	2-5
K'							
I ₁ , K'	3-10	3-10	0,5	10	i ₁ ₁ =4-8;	3,5	4
МНН	1-3	1-3	—	—	i ₁ ₂ =3-5	—	—
I ₂ , K'					4		
МНН					1-2		

86. Составы электропечей (т/ч) "Северсталь" -

27. Составы электролитов (г/л) и режимы катодного травления стали

Компо-нентыэлектро-литави рохум	На электролите			
	1	2	3	4
H ₂ SO ₄	55—75	50—70	50—60	100—200
HCl	35—40	30—40	25—30	—
NaCl	5—10	25—35	—	—
Темпера-тура, °С	60—70	15—25	60—80	30—40
Плот-но-стъ тока, А/дм ²	7—10	5—10	9—10	10—15
Продол-житель-ность, мин	10—25	20—30	5—10	1—6

сталей. Электролит № 9 используют для травления как кремнистых, так и легированных сталей. Очистку поверхности деталей сложной конфигурации из сталей 20Х, ШХ15 и из углеродистых сталей после травления в HCl осуществляют в электролите № 10.

Аиодиное травление желательно вести при высоких плотностях тока, так как при низких происходит неравномерное травление и на поверхности остается травильный шлам.

Катодное травление вследствие изводороживания применяют реже. Его используют в том случае, когда необходимо значительно сократить непро-

Электрохимическая обработка

изводительные потери металла и расход кислоты.

Выделяющийся атомарный водород частично восстанавливает окислы металла, а газообразный разрыхляет и отрывает пленку окислов. При катодном травлении не происходит недотравливания поверхности.

Для устранения неравномерности травления окислов и уменьшения наvodороживания в травильный раствор вводят небольшое количество солей олова или свинца, а в качестве анодов используют пластины из кремнистого чугуна и пластины из олова или свинца. Олово или свинец осаждаются на участках поверхности, очищенных от окалины, и вследствие высокого перенапряжения на них выделяется значительно меньшее количество водорода. Для катодного травления известно несколько составов (табл. 27). После травления в растворе № 4 для полного удаления окалины поверхность обрабатывают на аноде в 40—50 %-ной H_2SO_4 при той же температуре.

Детали сложной формы рекомендую также травить для удаления ржавчины в щелочно-цианистом электролите следующего состава (г/л):

NaOH 30-100
NaCN 20-50
NaCl 10
Режим травления: $t = 5+10$ А/дм 2 ; $t = 40+45$ °С; $\tau_R = 45+50$ с, $\tau_a = 10+15$ с.

28. Составы электролитов (г/л) и режимы активации металла

Компоненты электролита и режим	# электролита					
	1	2	3	4	5	6
H_2SO_4	100—120	700—800	—	50	—	—
HCl	—	—	150—200	—	40	—
$\text{K}_2\text{Cr}_2\text{O}_7$	—	20—30	—	—	—	—
$\text{MgCl}_2 \cdot 6\text{H}_2\text{O}$	—	—	—	—	80	—
$\text{NiSO}_4 \cdot 7\text{H}_2\text{O}$	—	—	—	250	—	—
KCN	—	—	—	—	—	30—40
K_2CO_3	—	—	—	—	—	20—30
$i_a, \text{ А/дм}^2$	10—15	10—15	—	—	—	3—5
$i_{\text{н}}^*, \text{ А/дм}^2$	—	—	1—2	8—10	5—10	—
$t, ^\circ\text{C}$	15—30	15—30	15—30	15—30	15—30	15—25
$t_c, \text{ мин}$	1—2	До бурного выделения водорода	1—2	0,3—0,5	0,3—0,5	0,5—1,

кого распространения из-за малой эффективности процесса. Переменный ток от источника с номинальным напряжением 36 В используют для декоративного матирования алюминия марок АД1, АД, АД0, АЛ00 (снежное травление) в 1—2 %-ном растворе HCl при температуре 13—18 °C в течение 2—60 мин.

Электрохимическая активация. Активацию поверхности деталей перед осаждением проводят как на аноде, так и на катоде в различных составах электролитов (табл. 28).

Для активации деталей из углеродистой стали можно использовать растворы № 1, 2. Перед лирофосфатным меднением детали из углеродистой стали активируют в растворе № 4 с одновременным осаждением на поверхности тонкого слоя никеля. Детали из хромоникелевых сталей типа 1X18H9T перед серебрением из роданистожелезистостриодистого электролита вначале химически активируют в течение 20—30 мин в растворе, содержащем (г/л):



с последующей катодной активацией в составе № 5.

Состав электролита № 6 используют для деталей из меди и ее сплавов.

ЭЛЕКТРОХИМИЧЕСКОЕ ПОЛИРОВАНИЕ

Электрохимическое полирование черных металлов. Для электрохимического полирования сталей в основном

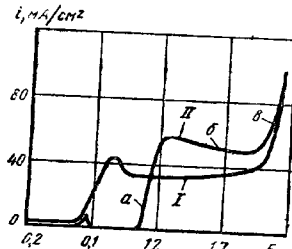


Рис. 4. Кривые анодной поляризации стали в фосфорносернохромовом кислоте (II) и в электролите № 4

используют электролиты, представляющие смесь H_3PO_4 и H_2SO_4 с добавками CrO_3 ангидрида или некоторых органических соединений.

При анодной обработке стали в смесях H_2SO_4 и H_3PO_4 кислот происходит осветление и стяживание поверхности. Добавление CrO_3 или некоторых органических соединений приводит к повышению полирующего эффекта. На рис. 4 представлены кривые анодной поляризации стали в фосфорносернохромовом кислоте и фосфорносернохромовом кислоте с электролитом № 4. На участке *a* кривой происходит травление металла. Полирование металлов соответствует участку *b* кривой, когда на поверхности анода возможно образование пассивных участков. На участке *c* в полировании сопровождается выделением газообразного кислорода, и на поверхности образуются точечные язвы. Температура оказывает существенное влияние на характер кривой и, следовательно, на процесс полирования.

Известны также и другие электролиты для полирования, в частности, на основе HClO_4 и CH_3COOH , однако вследствие взрывоопасности они не применяются.

Наиболее распространенные составы электролитов приведены в табл. 29. Для полирования углеродистых сталей применяют растворы № 1—4, для высокоуглеродистых и низколегированных сталей — № 1, 3, 5, а растворы № 2, 6—9 — для полирования коррозионностойких сталей.

В качестве катодов для электролитов № 1 и 2 используют свинец или сталь 12Х18Н9Т, для электролита № 3 — алюминий, а для электролитов № 4—9 — сталь 12Х18Н9Т.

Для повышения стойкости к коррозии рекомендуются электрохимически полированные детали выдержать в течение 15—20 мин при 60—70 °C в 10 %-ном растворе NaOH.

Перед нанесением гальванических покрытий для улучшения сцепления его с основой проводят активацию в 3—5 %-ном растворе HCl. Процесс электрохимического полирования характеризуется высокой скоростью стяживания в первые минуты электролиза, затем она резко снижается (рис. 5). Кривая 1 характеризует процесс полирования поверхности с исходным $R_a = 10 \mu\text{m}$, а кривая 2 — 2 μm .

Электрохимическое полирование

Электролиты № 1—3, несмотря на универсальность, имеют низкую работоспособность, а электролиты, содержащие ПАВ, отличаются большой скоростью съема (g/dm^2) металла и работоспособностью и не требуют проработки (рис. 6).

При составлении электролитов № 1—3 вначале тщательно растворяют CrO_3 в небольшом количестве воды, после чего добавляют H_3PO_4 в H_2SO_4 . Затем раствор упаривают при температуре 80—110 °C, доводят до плотности 1,70—1,74 g/cm^3 и прогревают при анодной плотности тока 20—30 A/dm^2 из расчета 5 А/ч/л.

Электрохимическое полирование сталей с применением переменного тока отличается более рациональным выполнением процесса вследствие возможности одновременной обработки деталей из двух (при питании однофазным током) или трех (при питании трехфазным током) штангах. Полирование производят при низком напряжении без применения выпрямителей. Однако качество полирования с применением переменного тока пока уступает качеству поверхности, полученной при анодном полировании.

Электрохимическое полирование цветных металлов. Электрохимическое полирование меди и ее сплавов широко распространено в промышленности. Для их полирования разработано большое количество электролитов, в основном содержащих H_3PO_4 с добавками CrO_3 или некоторых органических соединений. При этом достигается высокий блеск поверхности.

Рекомендуемые для промышленного применения составы электролитов приведены в табл. 30.

Электролиты № 1, 2, 4—6 применяются для полирования меди, а составы № 2—7 — для латуни, № 63, № 69 и бронзы; для кремнемарганцовистой бронзы лучше использовать электролит № 3, а для нейзильбера — № 8.

В процессе электрохимического полирования на поверхности образуется тонкая окисная пленка, недостаточная для предохранения полированной поверхности от коррозии. Поэтому детали после полирования кратковременно алюрируют, в результате чего коэффициент отражения света уменьшается.

Для повышения стойкости к коррозии рекомендуются электрохимически

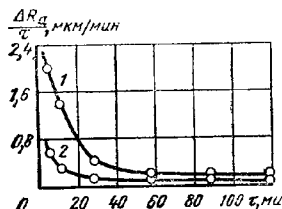
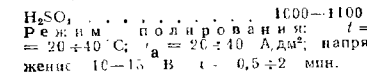


Рис. 5. Влияние продолжительности электролиза и шероховатости поверхности стали на скорость стяживания параметра R_a в фосфорносернохромовом кислоте

полированные медные сплавы обрабатывают в течение 1—2 мин в растворе, содержащем (г/л):



Полирование никелевых сплавов проводят чаще в электролите, содержащем (г/л):



Электрохимическое полирование алюминия. Для электрохимического полирования алюминия и его сплавов используются кислые и щелочные электролиты. Наибольшее применение среди кислых электролитов получили трехкомпонентные фосфорносернохромовокислые электролиты. Электрохимическому полированию в борфторике

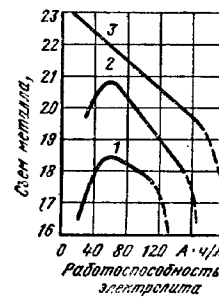


Рис. 6. Работоспособность сернофосфорно-кислых электролитов полирования:

1 — с добавкой 7 % CrO_3 ; 2 — без добавки; 3 — с добавкой 2 % сульфофата Na_2SO_4 и 0,1 г/л пеногасителя ПМС-200А

29. Состав электролитов (мас. доля, %) и режимы работы электролизаторов

№ электролита									
Компоненты электролита и режим	1	2	3	4	5	6	7	8	9
H_2PO_4^-	60—80	40—45	85—90	50	60	55	54	65	55
H_2SO_4	10—20	25—27	10—12	20	16	50	60	20	45
Na_2CO_3	5—6	4—5	—	—	—	—	—	—	—
Вода	—	—	—	—	—	—	—	—	—
НАВ	—	—	—	—	—	—	—	—	—
Остальное	—	—	—	—	—	—	—	—	—
KCl	—	—	—	—	—	—	—	—	—
CaCl_2	—	—	—	—	—	—	—	—	—
MgCl_2	—	—	—	—	—	—	—	—	—
AlCl_3	25—50	35—60	70—90	100—200	1000—300	20—60	10—45	100—300	20—50
FeCl_3	65—80	75—90	60—70	20—30	60—80	50—60	40—60	50—80	60—80
в мин	10—15	10—15	2—10	0,5—3	1—5	3—10	3—10	2—5	2—5

18. Состава электролитов (вес.-%) в поваренной соли

Компоненты и электронные режимы	№ электронного						
	1	2	3	4	5	6	7
1, PO_4^{3-} , SO_4^{2-}	70 — —	88—90 10—12 —	91—93 5—7 —	96—97 — —	50—70 — —	99—99,5 — —	70—90 — —
алюминиевая оболочка ПАВ	30 5—20 г/л ПЭП 40—50 г/л манифита	— — — —	2—3 — — —	2—2,5 0,4—0,6 амилового спирта	30—50 1—2 г/л сульфо- понара	0,5—1,0 мг/л мочевой кислоты	10—30 40—50 мг/л мочевого дланина
глицерин, 8 мол.-% киноты							
*, А/дм ² °С мин	20—80 20—60 2—10	15—60 20—40 5—10	15—50 30—40 2—10	15—50 20—30 2—10	30—50 20—30 1—5	15—50 20—30 2—10	15—50 20—30 2—10

— 16 —

11. Составы электролитов (мас. доля, %) и режимы зонетроннического планирования экономии и его сплавов

Компоненты электролита в режим	№ электролити						
	1	2	3	4	5	6	7
H_3PO_4	40—45	88—90	55	—	—	—	—
H_2SO_4	35—40	—	45	4	1	—	—
HBF_4	—	—	—	—	—	—	—
HF	—	—	—	13	—	—	—
CrO_3	5—6	10—12	—	—	—	—	—
Na_2CO_3	—	—	—	—	13—20	—	20—25
Na_3PO_4	—	—	—	—	—	20—25	10—12
Сорбят	—	—	—	—	—	6—8	—
Триоктаноламин	—	—	—	—	—	—	—
Капалин БПВ	—	—	—	—	—	—	—
NaOH	—	—	—	—	—	—	—
$\text{KAl}(\text{SO}_4)_2 \cdot 12\text{H}_2\text{O}$	—	—	—	—	—	—	—
Глицинерий	—	—	—	52	—	—	—
Вода	Остальное	—	—	Остальное	Остальное	Остальное	Остальное
$i, \text{A/m}^2$	15—30	20—150	20—50	20	1,5—6	4—6	20—40
$t, ^\circ\text{C}$	60—80	60—80	60—80	20—25	30	70—90	70—90
	1—10	0,5—1,5	2—5	10—15	10—15	10—15	10—15

столовородном электролите и щелочном электролите подвергают детали после предварительного механического полирования.

Основные рецептуры электролитов приведены в табл. 31.

Кислые электролиты № 1, 2, 3 и 5 пригодны для полирования большинства марок алюминия. Щелочные электролиты № 6—8 рекомендуется использовать для полирования алюминия марок АД1, АМг0,5, АМц, АД31, АД33. В растворе № 4 рекомендуется полировать алюминиевые сплавы, содержащие до 5 % кремния.

ПРОМЫВКА ДЕТАЛЕЙ

Требование к промывке и применяемой воде. Цель промывки — не только тщательно удалить с поверхности изделий растворы и продукты от предыдущих операций, но и при экономном расходе воды обеспечить их минимальное пошадение в сточные воды.

В табл. 32 приведены значения предельно допустимой концентрации (ПДК) основного компонента в воде конечной промывки, установленные ГОСТ 9.047—75.

Наряду с экономным расходом воды важным показателем эффективности промывки является качество воды. Плохое ее качество и плохая система промывки могут оказывать существенное влияние на качество получаемых покрытий. Повышенное содержание кальция и магния может вызвать образование пятен на поверхности покрытия.

По физико-химическим показателям чистую воду нужно оценивать в зависимости от влияния вредных примесей, содержащихся в ней, на режим электролиза, а также на вид и структуру покрытия.

По физико-химическим показателям чистую воду нужно оценивать в зависимости от влияния вредных примесей, содержащихся в ней, на режим электролиза.

32. ПДК основного компонента в воде после промывки

Наименование компонента или иона электролита (раствора)	Наименование спирации или характеристика электролита (раствора), перед которой производится промывка	Предельно допустимая концентрация $C_{\text{п}}$ основного компонента в воде после промывки, г/л
Общая щелочность в пересчете на едкий ватр	Щелочной Кислый или цианистый, сушка Перед анодным окислением алюминия и его сплавов	0,8 0,1 0,05
Красители (для окрашивания покрытий Аи. Окс)	Межоперационная промывка, сушка	0,005
Кислота в пересчете на серную	Кислый Щелочной Цианистый Наполнение и пропитка покрытий, сушка	0,1 0,05 0,01 0,01
$\text{CN}_{\text{общ}}^-, \text{Sn}^{2+}, \text{Sn}^{4+}, \text{Zn}^{2+}, \text{Cr}^{6+}, \text{Pb}^{2+}, \text{CNS}^-, \text{Cd}^{2+}$	Межоперационная промывка, сушка То же	0,01 0,015
$\text{Cu}^{2+}, \text{Cu}^+$	Никелирование Сушка	0,002 0,01
Ni^{2+}	Меднение Хромирование, сушка	0,02 0,01
Fe^{2+} Соли драгоценных металлов в пересчете на металлы	Сушка	0,15 0,001

Промывка деталей

При промывке деталей ванна должна быть достаточно глубокой, чтобы избежать высыпания из ванны промывки.

Для промывки защитных покрытий, к которым не предъявляются повышенные требования, может применяться техническая вода.

Остальные физико-химические показатели технической воды не должны быть выше ПДК вредных веществ в водоемах санитарно-бытового использования.

Вода из городского водопровода (общая жесткость 6 мг-экв/л) должна применяться для промывки защитных покрытий, к которым предъявляются повышенные требования, а также для большинства защитно-декоративных покрытий.

При нанесении защитно-декоративных покрытий, к которым предъявляются повышенные требования (для точных приборов, медицинского инструмента, ювелирных изделий и пр.), промывку деталей следует проводить в конденсате, дистиллированной или деминерализованной воде с предельной жесткостью 1,5 мг-экв/л и общим содержанием соли до 80 мг/л. Вода того же качества должна использоваться для приготовления растворов электролитов, заполнения ванн улавливания и для промывки деталей перед нанесением и сушкой покрытий.

Способы промывки. Существует две схемы промывки деталей: одноступенчатая — промывка в одной ванне с проточной водой (рис. 7), многоступенчатая — промывка в нескольких последовательно установленных ваннах (ступенях) с проточной водой (рис. 8). Многоступенчатая схема промывки подразделяется на прямоточную и противоточную (каскадную: двух- и трехступенчатую).

Каждая из схем промывки может дополняться ванной улавливания. При конечных промывочных операциях рассматриваемые схемы могут включать струйные промывки.

В гальваническом производстве различают три вида промывки: холодную (температура не нормируется); теплую (при 40—50 °C) и горячую (при 70—90 °C).

Существует несколько методов промывки: погружной — осуществляется в ваннах с непроточной водой (т. е. в ваннах улавливания) в ваннах с проточной водой; струйный — осуществляется

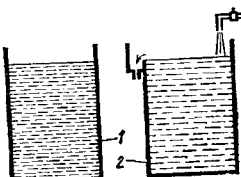


Рис. 7. Одноступенчатая схема промывки:
1 — технологическая ванна; 2 — ванна промывки

ется кратковременная промывка деталей (например, после пассивирования) простой конфигурации (линейки, листовые изделия, плоские детали), а также смыв с деталей вязких растворов; этот метод экономичнее, чем погружением; комбинированный (погружной и струйный) — применяется для промывки деталей сложной конфигурации и смыва с деталей вязких растворов. Сначала детали поступают в ванну, заполненную водой, а затем после извлечения из ванны промываются направленными струями воды из душирующих сеток или из отверстий в горизонтальных трубках, расположенных в верхней части ванны промывки.

Наиболее эффективно процесс промывки происходит при перемешивании воды в промывных ваннах. Перемешивать воду можно вручную; подачей

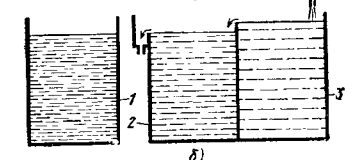
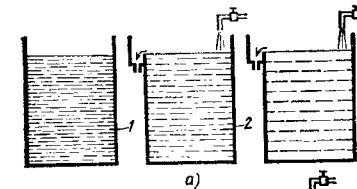


Рис. 8. Многоступенчатая схема промывки:
а — прямоточная; б — противоточная (каскадная); 1 — технологическая ванна; 2 — ванна промывки

33. Ориентировочный удельный вынос электролита

Вид обработки	$t_{ст}, с$, не менее	$q, л/м^2$
На подвесках	6	0,2
Насыпью:		
в колоколах и барабанах	15	0,4
в корзинах и сетках	15	0,5
На подвесках и насыпью в агрессивных растворах	Не регламентируется	0,7

большого количества воды; механизмами и насосами, перемешивающими воду; механическим движением подвески с деталями в ванне промывки; ультразвуковой вибрацией; сжатым воздухом.

Наиболее экономичным и простым способом является перемешивание воды сжатым воздухом, очищенным от масла. Воздух подается в нижнюю часть ванны по трубчатой распределительной системе. Расход воздуха принимается равным 0,2 л/мин на 1 л объема воды в ванне промывки.

Расход воды ($л/ч$) для любой схемы промывки

$$Q^p = q F \sqrt{K^o},$$

где q — удельный вынос электролита

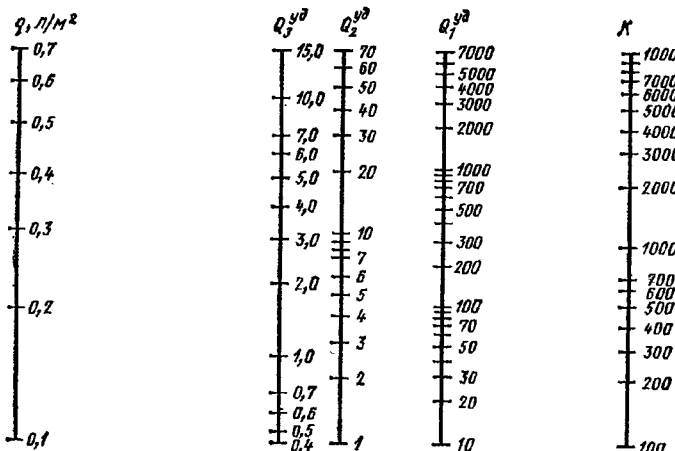


Рис. 9. Номограмма для определения удельного расхода воды на промывку, $л/м^2$; K_0K^o

(раствора) из ванны поверхностью деталей, $л/м^2$; N — число ступеней (ванн) промывки; K^o — критерий окончательной промывки деталей; F — промываемая поверхность деталей, $м^2/ч$.

Ориентировочный удельный вынос электролита (раствора) q ($л/м^2$) в зависимости от метода обработки и принятой продолжительности стекания ($t_{ст}$) раствора с деталями приведен в табл. 33.

В технически обоснованных случаях при наличии экспериментальных данных для конкретных деталей допускается изменять величину выноса электролита (раствора).

Критерий окончательной промывки K^o , который показывает, во сколько раз следует снизить концентрацию основного компонента электролита (раствора), выносимого поверхностью деталей, до предельно допустимых значений в последней ванне данной операции промывки, вычисляют по формуле $K^o = C_0/C_{п}$, где C_0 — концентрация основного компонента в электролите (растворе), применяемом для операции, после которой производится промывка, $г/л$; $C_{п}$ — предельно допустимая концентрация основного компонента в ванне промывки.

Если перед промывкой производят улавливание электролита, то величину

K^o уменьшают введенным следующих коэффициентов: 0,4 — при одной ванне улавливания; 0,15 — при двух ваннах улавливания; 0,06 — при трех ваннах улавливания.

Ванны улавливания устанавливают, если суточное уменьшение объема электролита составляет не менее 20 % от объема ванны улавливания. После хромирования и покрытия драгоценными металлами ванны улавливания устанавливают во всех случаях.

Общий расход воды при прямоточной промывке составляет: $2Q_2^p$ — для двухступенчатой; $3Q_3^p$ — для трехступенчатой.

Для облегчения расчета расхода воды используют номограмму, приведенную на рис. 9, по которой определяется удельный расход воды (в л/ч на метр квадратный обрабатываемой поверхности); Q_1^p — при одноступенчатой промывке; Q_2^p — при двухступенчатой промывке; Q_3^p — при трехступенчатой промывке.

Для расчетных расходов воды вводят следующие коэффициенты: 1,5 — при возможности падения напора в водопроводной сети; 0,7 — при струйном методе промывки; 0,5 — при комбинированном методе промывки.

При расчетном расходе воды менее 50 л/ч и отсутствии средств, обеспечивающих стабильность подачи воды, минимальный расход принимают равным 50 л/ч.

В последнее время появились более рациональные способы промывки. Так, фирма Шеринг АГ предложила метод ВАКУ-ДЖЕТ, заключающийся в отсасывании из барабанов с помощью вакуума до 60 % нерастворенного электролита и возвращении его в рабочую ванну; при этом применяют барабаны и промывные ванны специальной конструкции (рис. 10). Последующая промывка производится сначала струйным методом в этой же ванне, а также при необходимости дополнительно в двухступенчатой каскадной ванне (рис. 11). Метод позволяет значительно сократить потери растворов, промывной воды и расходы на очистку стоков. Фирмой предложен еще метод струйно-периодической промывки, позволяющей также снизить расход промывной воды.

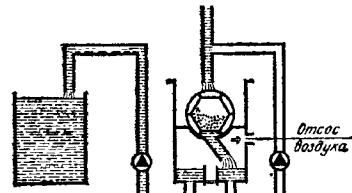


Рис. 10. Схема установки барабанного типа для рекуперации ценных компонентов (способ ВАКУ-ДЖЕТ)

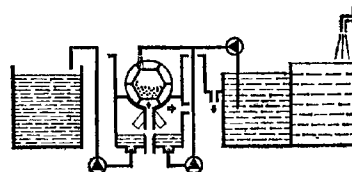


Рис. 11. Схема установки, включающей отсасывание, струйную и погружную промывку (способ ВАКУ-ДИП)

ИЗОЛЯЦИЯ УЧАСТКОВ ПОВЕРХНОСТИ, НЕ ПОДЛЕЖАЩИХ ПОКРЫТИЮ

Основные изоляционные материалы. В гальваническом производстве для снижения непроизводительных затрат, увеличения срока службы приспособлений и улучшения качества ианесения покрытий производят изолирование приспособлений различными полимерными и лакокрасочными материалами. В ряде случаев их носят также на отдельные участки деталей, не подлежащие нанесению металлокомплексов.

На автомобильных и нескольких других заводах для изоляции используется пластизоль марки дипло-золь-2А, срок службы которой более 2 мес. Покрытие отличается пластичностью, обтекаемостью, хорошими изолирующими свойствами и химической стойкостью во всех применяемых в гальванической водных средах.

Другим эффективным и более доступным материалом для практического применения является сухой полимерный порошок высокого давления с индексом расплава 4,5—4,7 г/10 мин; измельченный. Диспер-

ность частиц 0,4—0,6 мм. Полиэтилен также характеризуется высокой химической стойкостью и хорошими изолирующими свойствами.

Нашли широкое применение цапонилаки № 951, 955, 956, 959, кислотостойкий лак БТ-783 и бакелитовый лак марки А, устойчивый в кислых и солевых растворах. Эмали перхлорвиниловые ХСЭ-23, ХСЭ-26 и лаки перхлорвиниловые ХСА, ХВЛ-21 пригодны для изоляции как в кислых, так и в щелочных средах.

В ряде случаев изоляцию участков производят фторопластом, текстолитом, полистиролом в виде втулок, щитков, изготовленных механическими способами.

Пригодны для изоляции листовые, трубчатые и пленочные материалы из фторпласта, поливинилхлорида № 5470, полиэтилена, резины и других материалов.

Нанесение и удаление изоляционных материалов. Перед нанесением изоляционных материалов на участки, не

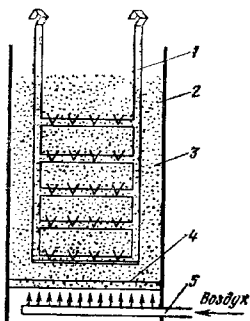


Рис. 12. Схема устройства ванны с псевдо-капилярым слоем:

1 — приспособление; 2 — корпус ванны; 3 — поливиниловый порошок; 4 — слой волока на решетке; 5 — труба для подачи воздуха

подлежащие нанесению покрытия, их необходимо очистить от окалины, шлака и жиров. Для нанесения диплоэзоля-2А приспособление прогревают в термической камере до 180—185 °C, затем погружают в ванну с жидким диплоэзолью на 5—10 мин, периодически его покачивая. Затем приспособление поднимают и выдерживают над ванной 10—40 мин для стекания лишнего изоляционного состава. Далее подсекают стальным пруткомнатеки в виде сосулек и загружают на 1—1,5 ч в печь с температурой 180—185 °C для полимеризации.

Удаляют диплоэзоль-2А с приспособления в горячем состоянии срезанием ножом после прогрева при температуре 180—185 °C.

Перед нанесением полиэтилена приспособление прогревают в термической печи до 300 °C, затем быстро переносят на 5 мин в ванну с псевдокапилярым слоем поливинилового порошка (рис. 12). Далее приспособление снова помещают в термическую камеру и после прогрева погружают в ванну с проточной водой. Быстрое охлаждение необходимо для придания структуре полиэтилена большей аморфности, что повышает эластичность покрытия.

Перед нанесением диплоэзоля-2А и полиэтилена для легкости последующего удаления деталей с контактных крючков их предварительно смазывают кремнистым вазелином типа КВ-3.

Удаление поливиниловой изоляции с приспособления производят механическим способом после прогрева при 300 °C.

Эмали и лаки наносят окунанием приспособления (детали) в ванну, кистью или пульверизатором в несколько слоев с периодической сушкой на воздухе.

Удаляют эмали и лаки либо обжигом, либо в горячей воде.

Пленочный и трубчатый материал наносят и удаляют вручную.

Глава 5.

МЕДНЕНИЕ

ОБЩИЕ СВЕДЕНИЯ

Медь — пластичный, легко полирующийся металл. Плотность меди 8930 кг/м³, температура плавления 1083 °C, атомная масса 63,54, удельное электрическое сопротивление 0,017·10⁻⁸ Ом·м, теплопроводность 319,50 Вт/(м·К). В химических соединениях медь может быть одно- и двухвалентной. Стандартный потенциал Cu/Cu⁺ составляет +0,521 В, а Cu/Cu²⁺ равен +0,337 В. Электрохимический эквивалент соответствием равен 2,372 и 1,186 г/(А·ч).

Электрохимический осаждение Cu имеет зернистый цвет. В атмосферных условиях в присутствии влаги и агрессивных соединений она легко окисляется. При воздействии сернистых соединений Cu покрывается серым или темно-коричневым налетом CuS, а от углекислоты атмосферы постоянно покрывается зеленым налетом основных углекислых солей. Медь интенсивно растворяется в HNO₃, медленнее в растворе CrO₃ с добавками сульфатов SO₄²⁻. Значительно менее интенсивно в H₂SO₄ и почти не растворяется в HCl. Легко происходит растворение Cu в NH₃.

Вследствие более положительного потенциала медь является катодным покрытием по отношению к Fe и может защищать его от коррозии лишь в случае отсутствия пор. Пористые медные покрытия, наоборот, приводят к ускорению коррозии желзса и его сплавов.

Гальваническое осаждение меди было открыто в 1838 г. русским академиком Б. С. Якоби и с тех пор получило широкое распространение. В зависимости от назначения применяются следующие толщины медных покрытий (мкм):

подслой перед никелированием, хромированием	3—30
защита от науглероживания при цементации	48—60

получение медной электролитической фольги для улучшения пайки черных металлов	10—70
восстановление изношенных деталей покрытие валов для глубокой печати	15—21
получение медных деталей сложного профиля	до 3000
получение металлических копий с художественных изделий	до 3600
получение копий при производстве грампластинок и кине	1000 и более
получение медной фольги для улучшения пайки черных металлов	1800 и более
получение копий при производстве грампластинок и кине	1000 и более

Для электролитического осаждения меди разработано большое количество электролитов, которые принято подразделять на две основные группы: простые (кислые) и комплексные (преимущественно щелочные).

ПРОСТЫЕ ЭЛЕКТРОЛЮТИ

К простым электролитам меднения относятся ряд кислых электролитов, в том числе сернокислые, борфористоводородные, кремнефтористоводородные, сульфаминовые, нитратные и хлористые. Они просты по составу и допускают работу при высоких плотностях тока, особенно в условиях перемешивания электролита и при повышенной температуре. Осаджение меди происходит в результате разряда в основном двухвалентных ионов. Простые электролиты отличаются малой катодной поляризацией, не превышающей 50—60 мВ. Осадки меди при этом имеют крупнокристаллическую и вместе с тем плотную структуру. Электролиты отличаются высоким выходом меди по току.

К недостаткам простых электролитов следует отнести их вязкую рассеивающую способность в невозможность непосредственного меднения стали, цинковых сплавов и других более электроотрицательных, чем медь, металлов. При погружении этих металлов в электролит происходит кон-

тактическое вытеснение меди в виде плохо скрепленного (иногда рыхлого) осадка.

Вследствие этого меднение таких металлов в простых электролитах осуществляется после предварительного осаждения медного слоя (3—4 мкм) из цианистого, пирофосфатного или иного комплексного электролита или после осаждения никелевого слоя (3—5 мкм).

Наиболее распространенные на практике и рекомендуемые составы электролитов и режимы осаждения покрытий приведены в табл. 1.

Электролит № 1 разработан Единым центром по химии Болгарской академии наук и широко внедрен на многих заводах нашей страны. Электролит № 2 разработан АН НРБ совместно с Институтом химии и химической технологии АН Литовской ССР. Электролиты № 1 и 2 обладают относительно хорошей рассеивающей способностью и предназначены для осаждения медного покрытия с высоким блеском (до 95 % по серебряному зеркалу), хорошей выравнивающей способностью (до 85 % при толщине слоя 20 мкм) и сравнительно небольшим расходом блескообразователя (~300 и ~200 мл соответственно на 1000 А · X · ч/л). Электролит № 2 отличается более широким интервалом применяемых плотностей тока, меньшим расходом блескообразователя; он позволяет получать осадки с меньшими внутренними напряжениями (до 1100 мПа).

1. Составы простых электролитов меднения (г/л) в режимах осаждения

Компоненты электролита и режим	№ электролита				
	1	2	3	4	5
CuSO ₄ · 5H ₂ O	200—250	180—220	150—250	—	—
H ₂ SO ₄	35—70	40—60	50—70	450	—
Cu(BF ₄) ₂	—	—	—	—	500—600
Cu(NO ₃) ₂ · 3H ₂ O	—	—	—	—	0,4
CuCl ₂ · 2H ₂ O	—	—	—	30	—
HBF ₄	—	—	—	30	—
H ₃ BO ₃	—	—	—	—	—
Декстрина сульфированный	—	—	—	—	—
Сульфирол-8	—	—	0,8—1,0	—	—
Блескообразователь Б-7211	3—5 мл/л	—	0,1—0,2	—	—
Блескообразователь BC-1	—	3—5 мл/л	—	—	—
Ион Cl ⁻	0,030—0,075	0,04—0,06	—	—	—
t, °C	18—30	18—25	23—45	20—40	18—25
I _K , A/дм ²	2—7	0,5—11	До 8	До 40	5—20
I _A , A/дм ²	До 2,5	До 5	—	—	pH 1—2

Важнейшее условие получения хороших результатов при работе с электролитами кислого блестящего меднения — использование специальных, не дающих шлама, медных анодов марки АМФ, содержащих 0,03—0,06 % фосфора. Для более полного устранения вредного влияния шлама рекомендуется использовать анодные чехлы из кислотостойкого материала (например, из полипропиленового волокна) и вести электролиз при непрерывной фильтрации. Качество получаемых покрытий в значительной степени зависит от содержания Cl⁻ в электролите. При концентрации их меньше 0,030 г/л снижается блеск покрытий и образуются призгики на острых углах деталей. Повышенное содержание Cl⁻ приводит к образованию матовых и блестящих полос на покрытии. В связи с этим электролиты следует составлять на дистилированной или дистиллированной воде.

При работе с повышенной плотностью тока обязательно следует перемешивать электролит сжатым воздухом, очищенным от пыли и масла. Это же условие необходимо выполнять и для электролита № 3, предназначенного для нанесения матового медного покрытия. Выход меди по току из сернокислых электролитов 100 %. Скорость осаждения меди при плотности тока 4,5 A/dm² составляет 1 мкм/мин.

Борфтористоводородный электролит № 4, вследствие большой растворимости Cu(BF₄)₂ по сравнению

2. Неполадки и способы их устранения в электролитах меднения

Неполадки	Причина неполадок	Способ устранения
Воздухия и отслаивание медного слоя, особенно при полированнии или термообработке	1. Плохая подготовка поверхности деталей к покрытию 2. Мала толщина подслоя никеля	1. Улучшить очистку поверхности деталей от загрязнений 2. Увеличить толщину подслоя до 2—3 мкм
Грубая шероховатая поверхность слоя медного покрытия. Краснеющие (пригоревые) места дендриты на выступах и кромках деталей	Загрязнение электролита механическими примесями 1. Чрезмерно высокая I _K 2. Мало межэлектродное расстояние	Очистить электролит декантацией или фильтрованием 1. Синтез I _K и ввести перемешивание 2. Правильно расположить детали на подвесках 1. Добавить H ₂ SO ₄ по данным анализа 2. Повысить I _A
В углублениях деталей крупнокристаллический, рыхлый и шероховатый слой меди	Большой избыток H ₂ SO ₄ при низкой концентрации CuSO ₄	Откорректировать состав электролита по результатам анализа
Рыхлый, губчатый слой меди и большое выделение H ₂ на катоде	Загрязнение электролита органическими примесями, полировальной пастой и т. д.	Очистить электролит активированным углем (древесным)
Появление блестящих полос на поверхности медного покрытия	Выпадение контактной меди на поверхности стали вследствие малой толщины подслоя никеля или меди	Увеличить выдержку деталей, доводя толщину подслоя до 2—3 мкм, не менее
Отдельные краснеющие пятна на светлом слое покрытия, хорошо заметные при промывке в воде	Черные и коричневые полосы, иногда с блестящими просветами на слое осажденной меди	Поставить электролит из проработку, а при большом содержании примесей смешать электролит
Черные и коричневые полосы, иногда с блестящими просветами на слое осажденной меди	Крупнокристаллическая структура слоя меди; кристаллизация CuSO ₄ · 5H ₂ O на анодах и на дне ванны, падение силы тока	Снять часть электролита и разбавить оставшийся электролит водой

с CuSO₄ · 5H₂O, допускает применение больших плотностей тока до 40 A/dm², и его рекомендуют применять для нанесения меди на движущуюся проволоку, ленту, а также для восстановления изношенных деталей, где требуется высокая скорость осаждения. Концентрационная поляризация и склонность к шламообразованию в борфтористоводородных электролитах меньше, чем в сернокислых.

Нитратный электролит № 5 Лимеда ГНМ применяется в гальванопластике.

Основные неполадки при меднении в сернокислых электролитах приведены в табл. 2.

КОМПЛЕКСНЫЕ ЭЛЕКТРОЛИТЫ

В комплексных щелочных электролитах меди находится в составе комплексных ионов, степень диссоциации которых мала. У цианистых электролитов активность иона уменьшается настолько, что потенциал становится

электроотрицательнее на 0,9—1,2 В, из-за чего без тока на железе не происходит kontaktного выделения меди и можно вести процесс осаждения.

Разработано большое число комплексных щелочных электролитов — цианистые, пирофосфатные, триполифосфатные, аммиачные, этилендиаминовые, моноэтаноламиновые, триэтаноламиновые, полиэтиленполиаминовые, щавелевокислые, лимоннокислые, виннокислые и др. Для сравнения активности комплексных ионов ниже приведены константы нестойкости K_{sp} некоторых из них.

Комплексный ион	K _{sp}
[Cu(CN) ₃] ²⁻	2,6 · 10 ⁻²⁸
[Cu(NH ₃) ₆] ²⁺	2,14 · 10 ⁻²⁶
[Cu(C ₂ H ₅ OH) ₆] ²⁺	7,3 · 10 ⁻²⁶
[Cu(NH ₃) ₄] ²⁺	2,14 · 10 ⁻¹²
[Cu(P ₂ O ₇) ₂] ⁴⁻	3,0 · 10 ⁻¹³
[Cu(P ₂ O ₇) ₂] ²⁻	2,0 · 10 ⁻¹⁴

Комплексные электролиты отличаются высокой катодной поляризацией. В цианистых электролитах она

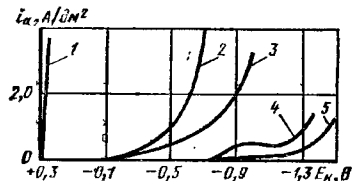


Рис. 1. Поляризационные кривые при электросаждении меди из различных электролитов (по отношению к нормальному анодному электроду):

1 — сернокислый (200 г/л CuSO_4 + 75 г/л H_2SO_4); 2 — пирофосфатный (90 г/л CuSO_4 + 370 г/л $\text{K}_4\text{P}_2\text{O}_7$ + 20—30 г/л NH_4NO_3); 3 — цианистый (90 г/л CuSO_4 + 370 г/л $\text{K}_4\text{P}_2\text{O}_7$); 4 — цианистый (90 г/л CuCN + 9 г/л $\text{NaCN}_{\text{своб}}$); 5 — цианистый (90 г/л CuCN + 22 г/л $\text{NaCN}_{\text{своб}}$)

выше, чем в пирофосфатных, и значительно выше, чем в сернокислых (рис. 1).

Цианистые электролиты наиболее широко используют на практике, так как вследствие высокой катодной поляризации они обладают наивысшей рассеивающей способностью и позволяют получать покрытия с мелкокристаллической структурой, хорошо склеенные со стальной и цинковой основой. Основные их недостатки — высокая токсичность, требующая выполнения строгих мер безопасности, и большие затраты на обезвреживание сточных вод, а также относительно низкая устойчивость состава электролита при эксплуатации.

Увеличение содержания свободного цианида (комплексообразователя) в цианистых электролитах приводит к большему наклону поляризационной кривой (см. рис. 1), из-за чего повышается и без того высокая их рассеивающая способность. Это явление связывают с образованием более простых комплексных ионов по реакциям



и т. д.

Уменьшение концентрации меди также ведет к повышению поляризации.

Концентрация меди и цианида должны находиться в определенном соотношении еще и потому, что наличие сво-

бодного цианида предотвращает контактное выделение меди и обеспечивает активное растворение анода, уменьшая анодную поляризацию. Повышение анодной плотности тока и понижение температуры электролита и концентрации свободного цианида ведут к быстрой и полной пассивации анодов, которые покрываются пленкой CuCN или $\text{Cu}(\text{CN})_2$. При этом происходит смешение анодного потенциала в положительную сторону и снижение выхода меди по току и ее концентрации в электролите. Вместе с тем окисляются выделяющимися кислородом ионы Cu^{2+} в Cu^{2+} и CN^- в CNO^- , что приводит к избыточному расходу NaCN или KCN . Введение в электролит в качестве депассиватора 30—45 г/л $\text{KNaC}_4\text{H}_4\text{O}_6 \cdot 4\text{H}_2\text{O}$ или до 40 г/л KCNS стабилизирует работу анодов и расход цианистой соли. Вместе с NaCN для получения светлых осадков рекомендуется вводить в электролит 10—15 г/л NaOH .

Катодный выход меди по току в комплексных электролитах меньше, чем в простых; в отличие от последних он резко снижается с повышением плотности тока. Повышение температуры, скорости перемешивания и концентрации меди, а также уменьшение концентрации комплексообразователя ведут к росту выхода меди по току. Для цианистых электролитов он колеблется в пределах 10—95 % (рис. 2). В отличие от кислых электролитов

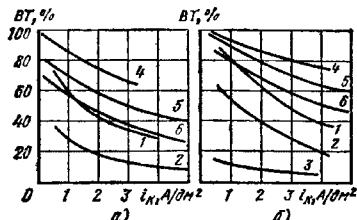


Рис. 2. Зависимость катодного выхода меди по току от плотности тока в цианистых электролитах различного состава при 20°C (а) и 40°C (б):

1—3 — при $C_{\text{Cu}} = 30$ г/л; 4—6 — при $C_{\text{Cu}} = 60$ г/л; 1, 4 — при C_{NaCN} свобод. = 2 г/л; 2, 5 — при C_{NaCN} свобод. = 12 г/л; 3, 6 — при C_{NaCN} свобод. = 25 г/л

в цианистых нельзя увеличивать катодную плотность тока, так как при этом выход по току может быть снижен до очень низких значений.

В цианистых электролитах не рекомендуется интенсифицировать процесс осаждения с помощью перемешивания и значительного повышения температуры из-за ускорения процессов гидролиза и окисления цианистых солей кислородом воздуха до образования карбонатов. Присутствие карбонатов способствует образованию мелкозернистых покрытий и некоторому повышению рассеивающей способности электролита. С увеличением концентрации от 150 г/л $\text{KNaC}_4\text{H}_4\text{O}_6 \cdot 4\text{H}_2\text{O}$ или до 40 г/л KCNS стабилизирует работу анодов и расход цианистой соли. Вместе с NaCN для получения светлых осадков рекомендуется вводить в электролит 10—15 г/л NaOH .

Преимуществом цианистых электролитов является также то, что медь восстанавливается из одновалентных ионов, т. е. теоретически за 1 А·ч выделяется в 2 раза больше меди, чем в простых электролитах, где медь в виде двухвалентна.

Отличительной особенностью технологии нанесения блестящих покрытий из цианистых электролитов меднения является также необходимость реверсирования тока. Оно повышает

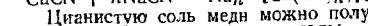
степень блеска покрытий и устраивает пассивацию анодов. Наряду с этим для улучшения степени блеска покрытий предложено вводить в цианистый электролит блескообразующие добавки: фурфуриловый спирт, циклогексановый спирт и др.

Наиболее распространенные составы электролитов меднения и режимы осаждения приведены в табл. 3.

В качестве анодов используют медь марок М0, М1 и М2 при соотношении $S_a : S_K = 2 : 1$.

В зависимости от выхода меди по току и применяемой плотности тока скорость осаждения меди в цианистых электролитах (табл. 4) может колебаться в широких пределах.

Для приготовления цианистого электролита меднения лучше всего использовать CuCN . При взаимодействии ее с NaCN или KCN в растворе образуется соответствующая комплексная соль по уравнению



Цианистую соль меди можно получить действием NaCN или KCN на CuSO_4 , при этом часть цианида не производительно расходуется на предварительное восстановление Cu в Cu^{2+} , причем этот процесс сопрово-

3. Составы цианистых электролитов меднения (г/л) и режимы осаждения

Компоненты электролитов и режим	# электролита						
	1	2	3	4	5	6	7
CuCN	50—70	20—30	87	40—45	90	90	70
NaCN свобод. или KCN свобод.	5—10	5—10	20	12—15	40	5—7	3—6
NaOH	10—15	5—10	15	10—15	—	—	—
Na_2CO_3	—	—	30	—	—	—	—
$\text{KNaC}_4\text{H}_4\text{O}_6 \cdot 4\text{H}_2\text{O}$	30—60	—	—	5—10	—	40	35
KCNS	—	—	4	—	—	—	—
NH_4CNS	—	—	0,05—0,1	10—15	—	—	—
Изопропилнафталин-сульфонат натрия	—	—	—	—	—	0,3—0,6	—
Фурфуриловый спирт	—	—	—	0,03—0,05	—	—	—
Циклогексановый спирт	—	—	—	—	—	—	—
$t, ^\circ\text{C}$	40—50	15—30	72	50—60	60—70	60—70	60—65
$t, \text{A}/\text{дм}^2$	1—3	0,3—0,5	4—9	1,0—3,0	2—4	2—4	2—5
$t_{\text{K}}, ^\circ\text{C}$	10—12	—	15 : 2	25 : 3	15 : 3	13 : 3	15 : 3
Способ перемешивания	—	—	Сжатый воздух	Кача- вие штанг	Кача- вие штанг	Кача- вие штанг	Кача- вие штанг
ВТ, %	70—80	40—60	80	—	90	92	90

* При плотности тока более 2 $\text{A}/\text{дм}^2$.

4. Скорость осаждения меди (мкм/ч) в цианистых электролитах

Плотность тока, А/дм ²	Выход меди по току, %							
	40	0	60	70	80	90	100	
0,5	5,3	6,6	7,9	9,3	10,7	12,0	13,2	
1,0	10,7	13,2	15,9	18,6	21,3	24,0	26,6	
2,0	21,4	26,4	31,9	37,2	42,6	48,0	53,2	
3,0	32,1	39,6	47,9	56,0	63,9	74,0	80,0	
4,0	42,8	52,8	63,8	74,4	85,2	96,0	106,6	
5,0	53,5	66,0	79,0	93,0	107,0	120,0	132,0	

ждается выделением ядовитого газообразного дициана

$$2\text{CuSO}_4 + 4\text{NaCN} = 2\text{CuCN} + (\text{CN})_2 + 2\text{Na}_2\text{SO}_4$$

Для приготовления электролита можно использовать также свежеосажденную углекислую медь $\text{CuCO}_3 \times \text{Cu}(\text{OH})_2$ и NaCN , взаимодействие которых протекает по реакциям

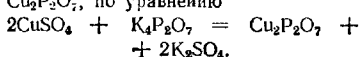
$$2\text{CuCO}_3 + 8\text{NaCN} = 2\text{Na}_2\text{Cu}(\text{CN})_3 + 2\text{Na}_2\text{CO}_3 + (\text{CN})_2;$$

$$2\text{Cu}(\text{OH})_2 + 8\text{NaCN} = 2\text{Na}_2\text{Cu}(\text{CN})_3 + 4\text{NaOH} + (\text{CN})_2.$$

Для предупреждения образования дициана к раствору двухвалентной меди добавляют Na_2SO_4 , который восстанавливает Cu^{2+} до Cu^+ .

Наиболее перспективным из нецианистых комплексных электролитов, способных заменить ядовитые цианистые электролиты, в настоящее время считаются пирофосфатные, полизтиленполаминовые и этилендиаминовые.

Пирофосфатные электролиты содержат в качестве основных компонентов CuSO_4 или $\text{Cu}_2\text{P}_2\text{O}_7$ и $\text{K}_4\text{P}_2\text{O}_7$ или $\text{Na}_4\text{P}_2\text{O}_7$, $\text{K}_4\text{P}_2\text{O}_7$, предпочтительнее применять вследствие его более высокой растворимости. С увеличением концентрации свободных ионов $\text{P}_2\text{O}_7^{4-}$ уменьшается склонность анодов к пассивации и улучшается сцепление медных осадков с основой. Для приготовления электролита спачала к темпулю (30 — 40°C) раствор CuSO_4 добавляют раствор $\text{K}_4\text{P}_2\text{O}_7$ количестве, необходимом для образования $\text{Cu}_2\text{P}_2\text{O}_7$, по уравнению



Полученный осадок фильтруют и промывают до полного удаления ионов SO_4^{2-} , после чего растворяют в избытке $\text{K}_4\text{P}_2\text{O}_7$. Полученные в результате этого комплексные ионы $[\text{Cu}(\text{P}_2\text{O}_7)_3]^{2-}$ и $[\text{Cu}(\text{P}_2\text{O}_7)_4]^{6-}$ существуют при pH электролита 7,5—9,5.

Кроме основных компонентов, в пирофосфатные электролиты вводят около 20 г/л NH_4NO_3 , который способствует повышению допустимой катодной и анодной плотностей тока, что улучшает работу анодов и качество осадков.

В качестве блескообразующих добавок в электролиты пирофосфатного меднения рекомендуют вводить Na_2SeO_3 совместно с лимонной или триоксиглутаровой кислотой, 2-меркаптоизозол, 2-меркаптобензотиазол и др.

Применение повышенных плотностей тока приводит к образованию на поверхности анодов труднорасторвимой окисной или солевой пленки, вызывающей их полное пассивирование. Введение в электролит NH_4OH , $\text{Na}_2\text{HPO}_4 \cdot 12\text{H}_2\text{O}$, NH_4NO_3 , сегнетовой соли, лимонной, щавелевой, триоксиглутаровой кислот и других добавок улучшает работу анодов и способствует повышению допустимой анодной плотности тока при относительно высоком выходе меди по току.

Составы пирофосфатных электролитов меднения приведены в табл. 5 у электролитов, составленных на $\text{K}_4\text{P}_2\text{O}_7$, а не на $\text{Na}_4\text{P}_2\text{O}_7$, интервал допустимых плотностей тока шире. При плотности тока более 2 А/дм² практически для всех электролитов рекомендуется проводить электролиз с перемешиванием.

Пирофосфатные электролиты применяют для наименения медных покрытий на сталь, чугун, цинковые

5. Составы пирофосфатных электролитов меднения (г/л) в режимы осаждения

Компоненты электролитов и режим	# электролитов									
	1	2	3	4	5	6	7	8	9	10
$\text{CuSO}_4 \cdot 5\text{H}_2\text{O}$	75—100	50—80	117—137	90	70—90	90	45—55	1,0—2,5	30—56	39—62
$\text{K}_4\text{P}_2\text{O}_7$	300—375	350—400	470—530	370	330—370	350	—	—	—	—
$\text{Na}_4\text{P}_2\text{O}_7$	—	—	—	—	—	—	200—240	80—100	120—180	210—290
$\text{Na HPO}_4 \cdot 12\text{H}_2\text{O}$	—	—	25—35	—	—	—	—	—	—	—
Натрий сульфосалициловокислый	—	—	—	—	—	—	—	—	—	—
NH_4NO_3	—	—	—	—	—	—	—	—	—	—
NH_4OH (25% н. раствор)	2—15	—	—	—	—	—	—	—	—	—
Аммоний лимонно-кислый	15—25	—	—	—	—	—	—	—	—	—
Кислота лимонная	—	—	—	—	—	—	20	—	—	—
$\text{H}_4\text{P}_2\text{O}_7$	1—10	—	—	8—23	—	—	—	—	—	8—23
Моногидрат аммиака	—	—	—	—	0,002	0,002	—	—	—	—
Na_2SeO_3	—	—	—	—	7	—	—	—	—	—
Кислота триоксиглутаровая	—	—	—	—	—	—	10—20	—	—	—
KNO_3	—	—	—	—	—	—	—	—	—	—
pH	8,3—8,5	8,4—9,0	8—9	8,5	8,3—8,5	8,3—8,5	7,8—8,5	—	7—8	8—9
$t, ^\circ\text{C}$	50—75	18—50	50—60	~50	30—50	35—40	50—60	15—30	45—55	50—60
$i_t, \text{ A/dm}^2$	0,5—5,0	0,5—3,0	До 5,0	До 3,5	0,8—3,5	0,8—1,7	0,5—1,5	1—2	1,0—1,5	0,5—2,0
СТ, мкм/мин	—	—	—	—	—	—	0,1—0,3	0,5—2 мин	0,2—0,3	До 5

сплавы, алюминий и его сплавы. ГОСТ 9.017—75 рекомендует использовать электролит № 7 для нанесения медного покрытия на алюминий и его сплавы, для осаждения покрытий на стали, чугун, цинковые сплавы, титан и его сплавы, а также на алюминиевый, оксидированный и фосфатированный алюминий и его сплавы. Электролит № 8 следует применять для предварительного меднения перед меднением из электролита № 9. Использование предварительного меднения из электролита с малым содержанием меди и повышенной концентрацией свободных ионов $P_2O_7^{2-}$ обеспечивает прочное сцепление покрытия с основой.

Электролиты № 3 и 10 рекомендованы ИХХТ АН Литовской ССР для осаждения полублестящих медных покрытий на цинковые сплавы. Электролиты № 5 и 6, разработанные Институтом неорганической химии АН Латвийской ССР, рекомендуются для получения блестящего слоя меди непосредственно на сталь перед никелированием. Катодный и анодный

выходы по току из этих электролитов близки к 100 %. В указанных электролитах подавление контактного выделения меди происходит вследствие введения в электролит триоксиглутаевой и лимонной кислот.

Триполифосфатные, гексаметаfosfатные, аммиакатные и этилендиаминовые электролиты, приведенные в табл. 6, не получили пока широкого распространения на практике. Их основной недостаток — трудность получения хорошего сцепления осадков со стальной основой. Достоинствами триполифосфатных и гексаметаfosfатных электролитов являются их невысокая стоимость, доступность получения компонентов и устойчивость состава в работе, а также хорошее качество получаемых покрытий. Допускается завешивать стальные детали в ванну при отключенном токе.

Из этилендиаминового электролита осаждаются плотные мелкозернистые и блестящие осадки меди. Для улучшения сцепления осадков со стальной основой рекомендуется проводить осаждение из двух ванн. Первый слой

6. Составы комплексных электролитов (г/д) меднения и режимы осаждения

Компоненты электролита в режиме	Время							
	1	2	3	4	5	6	7	8
$CuSO_4 \cdot 5H_2O$	0,0	60—75	40—50	90—125	50—150	90	1,0—2,5	50—60
Этилен- диамин	—	—	—	45—60	—	—	40—70	—
Na_2SO_4 $(NH_4)_2SO_4$	—	—	—	45—60	100— 200	80	10—20	—
Полизитилен- полиамин	—	—	—	—	60—180	—	—	—
$K_3P_2O_10$	—	300— 325	—	—	—	—	—	—
$Na_3P_2O_10$	220— 250	—	200— 320	—*	—	—	—	—
$(NH_4)_2PO_4$	—	—	50	—	—	—	—	—
NH_4NO_3	—	10—12	—	—	—	—	—	—
NH_4OH (25 %-ный раствор)	—	—	—	—	40	180	—	—
Гексамета- фосфат натрия	—	—	—	—	—	—	350— 450	—
$NaOH$	—	—	—	—	—	—	—	до pH 7,0 1—3
Трилон Б	—	—	—	—	—	—	—	—
$t, ^\circ C$	20—60	20—25	18—25	17—25	17—22	20	17—24	18—60
$I^*, A/dm^2$	0,1—4,0	0,75— 1,5	2,0—2,5	1,0—2,0	0,9—2,2	1,5—8,0	1—3	0,1—3,0
pH	7,0	7,0—8,1	6,0—6,5	6,0—7,8	5,2—9,0	9,0—9,5	10—11	7,0

7. Рассеивающая способность электролитов меднения (%)

№ электролита	№ таблицы, из которой взят электролит	Катодная плотность тока, А дм ²			
		0,5	1,0	1,5	5,0
8	5	81	50	—	—
5	5	77	59	38	—
4	5	70	58	57	—
4	6	—	15—18	15—18	—
5	6	~ 40	~ 40	—	—
6	6	—	—	—	30
1	3	~ 80	—	~ 60	—
2	3	~ 50	—	~ 60	—

8. Скорость осаждения меди (мкм/ч) в кислых и нецианистых электролитах

Плотность тока, А дм ²	Выход меди по току, %					
	95	96	97	98	99	100
1	12,5	12,6	12,7	12,9	13,1	13,2
2	25,0	25,2	25,4	25,8	26,2	26,5
3	37,5	37,8	38,1	38,7	39,3	39,7
4	50,0	50,4	50,8	51,6	52,4	53,0
5	62,5	63,0	63,5	64,5	65,6	66,2
10	125,0	126,0	127	129	131	132
20	250,0	252,0	254	256	262	265

9. Свойства электроосажденной меди

Электролит	σ_{B^*}, MPa	$\delta, \%$	σ_{BH}, MPa^{**}	HV	$\rho, \text{мкОм} \cdot \text{см}$	Характерные особенности меди
Сернистый (тол- щина 0,3—0,4 мм) и цианистый (толщина 0,04—0,05 мм)	450—630	4—16	—12 или +36—55	131—159	1,75—2,02	Высокая прочность
Сернистый и ци- анистый с органиче- скими и неорганиче- скими добавками	350—550	0—10	—42 или +35	193—350	1,96	Высокая твердость
Сернистый и фтор- братитовый без добавочных агентов	180—270	15—41	—5—+160	48—64	1,70—1,73	Низкое элек- трическое со- противление
Сернистый при низкой плотности тока	140—230	8—24	—0,8— +0,6	56—57	1,71—1,72	Низкие вну- тренние на- прижения
Сернистый и ци- анистый с блеско- образователями	360	14—19	+20	128—137	1,82	Хороший блеск
Сернистый фтор- братитовый, пирофос- фатный, цианистый с добавками и без них **	225—300	26—39	—5—+29	55—106	1,73—1,76	Высокая термо- прочность

* Знак минус обозначает напряжение сжатия, плюс — напряжение растяжения.

** Осадки, изменяющиеся по длине 0,02 % после нагрева до 400° С.

МЕДНЕНИЕ

10. Неполадки в электролитах меднения и способы их устранения

Неполадки	Причина неполадки	Способ устранения
Сильное выделение H_2 на деталях и медленное осаждение или отсутствие осаждения меди	Цианистый электролит Большой избыток свободного $NaCN$, малая концентрация солей меди	Определить анализом содержание свободного $NaCN$ и добавить медные соли
На отдельных участках деталей явление пятнисти в форме грушевидных точек и вертикальных блестящих полос	Загрязнение электролита органическими веществами (столярный клей, дистрикс, полирольная паста)	1. Внести в электролит активированый древесный уголь 0,5 г/л 2. Применить реверсирование тока (хотя бы временно) вручную 1. Допустить содержание свободного $NaCN$ до 10–15 г/л 2. Зачистить аноды и добавить новые Зачистить аноды и дополнительную завесить новые 1. Допустить содержание свободного $NaCN$ до 10–15 г/л 2. Добавить аноды или заменить новыми Снизить i_K
На анодах белый налет. Электролит у анодов имеет голубой цвет	1. Недостаток свободного $NaCN$ 2. Недостаточная площадь анодов	1. Допустить содержание свободного $NaCN$ до 10–15 г/л 2. Зачистить аноды и добавить новые Зачистить аноды и дополнительную завесить новые 1. Допустить содержание свободного $NaCN$ до 10–15 г/л 2. Добавить аноды или заменить новыми Снизить i_K
На анодах коричневый или голубой налет	Быстрое снижение содержания солей меди в электролите	Очистить электролит декантацией или фильтрованием
На анодах покрытие медного слоя	1. Отсутствие свободного $NaCN$ 2. Пассивирование анодов	Выпарить электролит до половины объема, охладить до 5–10°C и декавитировать. Осадок соли удалить с добавкой $FeSO_4 \cdot 7H_2O$ Улучшить обезжиривание и активацию Откорректировать pH добавлением 10% KOH
Темно-красный слой медного покрытия	Загрязнение электролита кавернозными примесями или анодным шлаком	Профильтровать раствор с добавлением активированного угля
Высокая пористость медного слоя. Аноды и стеки ванны на уровне электролита покрыты белым налетом	Накопление в электролите карбонатов более 100 г/л вследствие усиленного разложения цианистых солей	Откорректировать плотность тока по отношению к температуре (или наоборот). Добавить в электролит блескообразователь
Покрытие отслаивается	Некачественная подготовка поверхности деталей	Откорректировать pH добавлением 10% KOH
Появление коричневых пятен на деталях, покрытие порошкообразное	Низкий pH электролита (меньше 8)	Механические загрязнения в электролите
Покрытие шероховатое	Несоответствие между плотностью тока и температурой, недостаток блескообразователя в электролите	Профильтровать раствор с добавлением активированного угля
Малая степень блеска	Недостаток в электролите лимонной кислоты или свободного пирофосфата	Откорректировать электролит согласно данным анализов
Аноды становятся коричневого или ярко-красного цвета		

меди осаждаются из электролита № 7 с низкой концентрацией меди, а второй — из электролита № 4.

Для аммиакальных электролитов характерна также низкая устойчивость состава вследствие сильного испарения, а также необходимость в мощной вытяжной вентиляции от ванн меднения.

В отличие от указанных электролитов покрытия, полученные из полигликолеполиаминового электролита, обладают прочным спечением со стальной основой. Но они уступают пирофосфатным электролитам по рассеивающей способности. Данные

о рассеивающей способности некоторых электролитов, измеренные на разборном катоде в щелевой ячейке, приведены в табл. 7.

Для кислых и нецианистых электролитов зависимость скорости осаждения от плотности тока при различном выходе по току приведена в табл. 8.

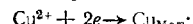
Медные покрытия, осажденные из различных электролитов, отличаются по своим свойствам (табл. 9).

Основные неполадки при меднении в цианистых и пирофосфатных электролитах приведены в табл. 10.

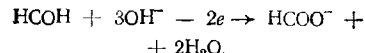
Химическое меднение

ХИМИЧЕСКОЕ МЕДНЕНИЕ

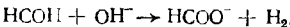
Для получения тонкого токопроводящего слоя меди химическим восстановлением меди из растворов ее солей применяют щелочные растворы меди в виде комплексных соединений, а в качестве восстановителя используют формальдегид, 40%-ный раствор которого называют формалином. Химическое восстановление меди связано с протеканием на катализитических участках поверхности одновременно процессов катодного восстановления меди в анодного окисления формалина по реакциям:



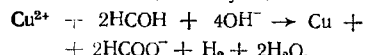
на анодных участках



Частично формалин окисляется в щелочной среде до муравьиной кислоты с выделением водорода



Суммарная реакция процесса восстановления меди следующая:

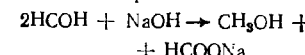


Помимо расхода на восстановление меди, формалин расходуется также

11. Составы растворов химического меднения

Компоненты, г/л, и pH раствора	# раствора				
	1	2	3	4	5
$CuSO_4 \cdot 5H_2O$	10–15	25–35	25–35	10–15	25–35
$KNa_4C_6H_4O_6$	50–60	170–180	—	—	—
Трилон Б	—	—	40–50	—	50–70
Натрий лимонно-кислый трехзамещенный	—	—	—	60–85	—
$NaOH$	10–15	40–50	30–40	6–7	20–25
$Na_2CO_3 \cdot 10H_2O$	2–3	25–35	20–30	2–3	—
$NiCl_2 \cdot 6H_2O$	2–3	4–6	—	2–3	—
Формалин, мл/л	15–20	20–25	20–25	8–10	40
C_2H_5OH	—	10–15	—	—	—
$K_3[Fe(CN)_6]$	—	—	0,04–0,06	—	—
$Na_2S_2O_3$, мг/л	0,5–1,0	1,0–3,0	—	15–20	10–15
Натрия дигидилитиокарбонат	—	—	—	—	0,01
Феррицианин (10%-ный раствор)	—	—	10–25 мл/л	—	0,03
Этилендиамин (10%-ный раствор)	—	—	—	—	0,1
pH	12,5–12,8	12,8–13,0	12,5–12,8	12,2	12,5–12,7

на реакцию Каницарро с образованием метилового спирта и муравьинокислого натрия:



Составы растворов химического меднения представлены в табл. 11.

Раствор № 1 содержит пониженное количество меди; при плотности загрузки деталей 2,5–4 дм²/л скорость осаждения меди 0,5–0,8 мкм/ч; продолжительность меднения 20–30 мин; раствор отличается стабильностью.

Раствор № 2 характеризуется большой скоростью осаждения меди. При плотности загрузки 2–2,5 дм²/л она составляет 2–4 мкм/ч; продолжительность меднения 10–15 мин. Раствор № 3 по сравнению с предыдущими предназначен для осаждения более толстых слоев меди и содержит в качестве комплексообразователя более дешевый продукт — трилон Б; раствор стабилен к работе. Раствор № 4 устойчив при длительной работе, обеспечивает получение мелкокристаллической структуры меди, по условиям работы аналогичен раствору № 1. Раствор № 5 (Лимеда ХМС) отличается высокой скоростью меднения (4–6 мкм/ч) при достаточной стабильности раствора и хорошем качестве покрытия. Плотность загрузки 1 дм²/л. Необходима периодическая или не-

12. Основные неполадки при химическом меднении и способы их устранения

Неполадки	причина неполадок	способ устранения
Наличие непокрытых участков на деталях	1. Образование газовых мешков, неравномерное очищание деталей раствором 2. Плохая смыываемость в растворах сенсибилизации и активирования 3. Неравномерное травление деталей	1. Пропускать встраивание деталей в ванне 2. Улучшить подготовку деталей, откорректировать растворы 3. Улучшить качество травления
Осаждение меди не происходит	1. Низкое значение показателя рН 2. Недостаток формалина в растворах 3. Избыток стабилизатора	1. Подкислить раствор 2. Добавить в раствор формалин 3. Добавить свежий раствор без стабилизатора 1. Уменьшить время травления 2. Добавить H_2SO_4
Слой меди шероховатый и темный	1. Перетравлена поверхность деталей 2. Высокий показатель рН раствора Недостаточная промывка после сенсибилизации Плохая очистка ванн, наличие меди или других остатков восстановления меди	Улучшить качество промывки Отфильтровать раствор, очистить стенки ванны раствором HNO_3
Покрытие пятнистое		
Самопроизвольное осаждение металла на стеклах ванны и в объеме раствора		
Покрытие образуется очень медленно	1. Низкая концентрация металлов в растворах сенсибилизации, активирования и химического меднения 2. Понижение температуры всех растворов	1. Откорректировать растворы 2. Подогреть растворы сенсибилизации, активирования и химического меднения

прерывная фильтрация со скоростью 1 объем электролита в час. Раствор пригоден для длительного использования при корректировке его состава.

Основные неполадки в работе ванн химического меднения и способы их устранения представлены в табл. 12.

ЭЛЕКТРОЛИТИЧЕСКОЕ ОСАЖДЕНИЕ СПЛАВОВ НА ОСНОВЕ МЕДИ

Латунные покрытия (сплав медь — цинк) применяются в основном для декоративных и защитных целей при нанесении их на сталь и улучшении прочности скрепления резины со сталью и другими металлами.

Для осаждения латунных покрытий широко применяют цианистые электролиты. Наряду с высокой расцепляющей способностью в них

полностью исключается возможность контактного выделения металлов при покрытии стальных деталей.

Из цианистых нетоксичных электролитов латунирования получил распространение лишь лирофосфатный электролит. Составы электролитов для осаждения сплавов медь — цинк приведены в табл. 13.

Состав полученных покрытий соответствует марке анодов.

Для всех цианистых электролитов отношение анодной площади к катодной должно быть 2 : 1. Допускается электросаждение с реверсированием тока (с) $t_a : t_b = 10 : 1$.

Электролитически осажденные сплавы медь — олово (бронзовые покрытия) нашли практическое применение в двух составах: с содержанием 10—20 и 40—45 % олова. Покрытия с относительно малым содержанием олова применяются для защиты отдельных участков деталей при азотировании стали. Подобные покрытия более эф-

13. Составы электролитов (г/л) и режимы осаждения сплавов медь — цинк

Компоненты электролита и режим	№ электролита				
	1	2	3	4	5
CuCN	32—45	15—25	35—55	—	50—65
ZnCN	32—45	7—11	9—15	—	5—7
NaCN _{своб}	15—23	8—12	8—12	—	8—12
Na ₂ CO ₃	—	10—30	10—30	—	—
Na ₂ SO ₃	—	5—10	5—10	—	25—35
NaOH	—	—	—	—	0,3—1,0
NH ₄ OH (25 %-ный раствор)	—	—	0,3—1,0	—	40—45
KNaC ₄ H ₄ O ₆	—	—	—	4,8—6,2	—
CuSO ₄ · 5H ₂ O	—	—	—	4,4—6,0	—
ZnSO ₄ · 7H ₂ O	—	—	—	50—60	—
Na ₂ P ₂ O ₇	—	—	—	10—15	—
H ₂ C ₂ O ₄ · 2H ₂ O	—	—	—	4—5	—
H ₃ BO ₃	—	—	—	—	—
<i>t, °C</i>	60—70	15—30	15—30	15—30	50—55
<i>i_K, А/дм²</i>	1,2—1,5	0,2—0,5	0,3—1,0	0,8—1,2	2—3
СН, мкм/мин	0,25—0,30	0,04—0,07	0,05—0,10	0,15—0,20	0,4—0,6
Аноды из сплавов	Л62	Л62	Л70	Л70	Ломпак

ективно предотвращают диффузию азота в сталь, чем медные или оловянные покрытия. Как самостоятельное покрытие бронза напосится на подшипники в качестве антифрикционного материала. Бронзовые покрытия рекомендуются также для замены подслоя меди и в особенности никеля при защитно-декоративном покрытии.

Белая бронза (40—45 % олова) благодаря своему приятному серебристо-белому цвету, твердости и сопротивлению потускнению применяется для покрытия столовых приборов. Белая бронза тускнеет намного медленнее серебра и значительно более износостойка.

14. Составы электролитов (г/л) и режимы осаждения сплавов медь — олово

Компоненты электролитов и режим	№ электролита						
	1	2	3	4	5	6	7
CuCN	43	35	27—37	40	11	15—22	17
Na ₂ SnO ₃ · 3H ₂ O	11	38	30—55	20	90	100—125	112
NaCN _{общ}	41	54	—	65	27	—	34
NaCN _{своб}	15	15	—	20	16	—	15
NaOH	7,5	7,5	8—10	7,5	16	14—16	—
KNaC ₄ H ₄ O ₆	—	—	20—25	—	—	15—25	37
KCN _{своб}	—	—	—	—	—	—	—
<i>t, °C</i>	65	65	60—70	60	65	60—70	65
<i>i_K, А/дм²</i>	2—3	3	1—3	0,1—8	3	1,5—30	3
pH	—	12,6	—	13	—	—	13,5
Содержание олова в сплаве, %	6	10	12	15	40	40	84

Наиболее применение для осаждения сплавов медь — олово нашли цианисто-циннатные электролиты (табл. 14).

В качестве анодов применяется бронза того же состава, что и катодный осадок. Для электролита № 6 рекомендуется также коррозионно-стойкая сталь 12Х18Н9Т или никель.

Из других покрытий сплавами меди известны составы электролитов для осаждения покрытий медь — свинец, медь — кадмий, медь — никель, медь — никель — цинк, медь — олово — цинк, применяемые как для защитно-декоративной отделки, так и для специальных целей.

УДАЛЕНИЕ НЕДОБРОКАЧЕСТВЕННЫХ МЕДНЫХ ПОКРЫТИЙ

Для снятия медно о слоя с поверхности деталей рекомендуется погружать их в растворы, содержащие органические (нитроароматические соединения и неорганические окислители, составы которых приведены в табл. 15).

В качестве нитроароматических соединений в растворах № 1 и 2 можно

15. Состав растворов и электролитов (г/л) для удаления медных покрытий и режимы работы

Компоненты электролитов и режимы	№ раствора (электролита)					
	1	2	3	4	5	6 *
Нитроароматическое соединение NaCN	60	90	—	—	—	—
NaOH	120—160 0—25	—	—	—	90—95 15	—
Дистиллерный амин NH ₂ Cl	—	150	—	—	—	—
CrO ₃	—	50	—	—	—	—
H ₂ SO ₄	—	—	480	200—300	—	60—50
(NH ₄) ₂ SO ₄	—	—	64	—	—	2—0,5
<i>t</i> , °C <i>i</i> , A/dm ²	60—65 —	80 —	20—70 —	15—30 8—10	20—25 Напряжение	20—25 7—14
СР, мкм/ч	70—80	40	50 (20° C) 300 (70° C)	240 35 (без тока)	6 В 50	—

* Отношение $C_{CrO_3} : C_{SO_4^{2-}} = 100 : 1$

использовать нитробензойную и нитробензолсульфоновую кислоты, нитрохлорбензол, нитроанилин и т. п.

При удалении медных покрытий следует учитывать, что по мере выработки составов растворов скорость растворения уменьшается.

Все указанные растворы пригодны для удаления медных покрытий со стали, а растворы № 3, 4 и 6, кроме того, и с поверхности цинковых сплавов.

Глава 6.

НИКЕЛИРОВАНИЕ

ОБЩИЕ СВЕДЕНИЯ

Никелевые покрытия применяют в различных отраслях промышленности. Широкое использование никеля в гальванической обработке объясняется его физико-механическими и химическими свойствами. Никель — серебристо-белый металл с сильным блеском, имеет атомную массу 58,71; его отражательная способность в видимой части спектра 58—62 %, плотность 8900 кг/м³, температура плавления 1452 °C, удельная теплопроводность 0,48 × 10³ Дж/(кг·К), температурный коэффициент линейного расширения 12,5 · 10⁻⁶ K⁻¹, удельное электросопротивление 9,068 · 10⁻⁸ Ом·м. Никель ферромагнетик, обладает переменной валентностью (двух- и трехвалентный); его электрохимический эквивалент 1,095 г/(A·ч), стандартный потенциал равен —0,25 В. По отношению к воде и воздуху при обычной температуре очень устойчив. На никелевой жести при нагревании на воздухе появляются цвета побежалости вследствие образования тонкой твердой и эластичной пленки NiO.

Разбавленные кислоты действуют на Ni менее энергично, чем на Fe, однако он легко растворим в разбавленной HNO₃. Концентрированная HNO₃ пассивирует его. В растворах щелочей он устойчив при всех концентрациях и температурах. Обладает коррозионной устойчивостью в растворах некоторых органических кислот и минеральных солей.

Цели никелирования следующие: защита основного металла от коррозии, его декоративная отделка, повышение поверхностной твердости.

При толщине никелевого покрытия 0,125 мм основной металл детали уже предохраняется от воздействия промышленных газов и растворов; при менее сильной агрессивной среде достаточно слой толщиной 0,05—0,1 мм.

Толщина никелевых покрытий на различных металлах предусмотрена ГОСТ 9.073—77*.

Никелевые покрытия наносят на Fe, Cu, Ti, Al, Be, W и другие металлы и их сплавы.

Никель, являясь защитно-декоративным покрытием, в паре Ni—Fe может защищать Fe от коррозии только при условии полной бесспористости покрытия, так как у него более положительный потенциал. Для получения бесспористых покрытий применяют последовательное осаждение нескольких слоев одного и того же металла или другого металла из различных по составу электролитов. У многослойных покрытий поры каждого слоя обычно не совпадают с порами соседних слоев. Многослойные покрытия позволяют также снизить расход никеля в результате применения более дешевого металла, как, например, Cu.

Электротравление Ni всегда сопровождается значительной катодной и анодной поляризацией, которая зависит как от состава электролита, так и от режима ведения процесса. При пассивации анодов уменьшается концентрация ионов Ni в прикатодном пространстве, что приводит к снижению выхода по току. Введение ионов Cl⁻ в электролит снижает анодную поляризацию, так как ионы Cl⁻ разряжаются на аноде, растворяют пассивную пленку анода, тем самым снижают анодную поляризацию. Ионы Cl⁻ вводятся в виде NiCl₂, NaCl или KCl. В свою очередь, повышение содержание Cl⁻ увеличивает растворимость анода, а это приводит к нестабильности работы ванны и увеличению pH в катодном пространстве. Поэтому повышенное содержание Cl⁻ также желательно, как и пониженное.

При электротравлении Ni из кислых растворов наряду с Ni на катоде выделяется H₂, за счет чего в прикатод-

ном пространстве повышается рН, а это может привести к образованию хрупких и шероховатых поверхностей Ni, что связано с соосаждением основных солей Ni.

С другой стороны, увеличение кислотности электролита приводит к снижению рассеивающей способности электролита и выхода по току ввиду расхода энергии на восстановление ионов H₂. Выделение последнего ухудшает свойства получаемых осадков. Образуется пористый шероховатый осадок с пятнами. Поэтому, как правило, никелирование проводят при рН электролита в пределах 4,0—5,5.

Чистоту никелевых электролитов поддерживают непрерывный фильтрацией, их селективной и периодической химической очисткой, а также защелачиванием анодов.

Для стабильной работы анодов, т. е. для равномерного растворения анодов, их подвергают термообработке и придают эллиптическую или ромбовидную форму. Этим факторы сказываются на скорости растворения Ni, а поэтому и на качестве получаемых осадков.

Кроме того, применяются аноды в виде кусочков металла размером 25 × 25 × 5 мм. Эти аноды равномерно растворяются. Их помещают в титановые корзины, на которые надевают мешки из полипропиленовой ткани. Соотношение S_a : S_k при электролизе необходимо поддерживать 2 : 1.

Для приготовления электролита никелирования необходимо чистую ванну промыть раствором 3—5 %-ной H₂SO₄ или HCl в течение 2—4 ч при температуре 50—60 °C. Слить раствор кислоты и ванну тщательно промыть деминерализованной водой. Залить ванну на $\frac{4}{5}$ объема деминерализованной водой и подогреть до 70 °C.

Засыпать в ванну необходимое количество H₃BO₃, растворить ее при перемешивании. Затем засыпать в ванну необходимое количество NiSO₄ × 7H₂O и NiCl₂ · 6H₂O и растворить их при температуре 70 °C. Долить деминерализованную воду до уровня ванны и добавить блескообразующие добавки. Довести до необходимого значения рН электролита, добавляя NiCO₃ или H₂SO₄ порциями (порция карбоната никеля — 0,5 кг, порция H₂SO₄ — 200 мл).

ПРИМЕНЯЕМЫЕ ЭЛЕКТРОЛИТЫ

На практике чаще всего пользуются кислыми электролитами, которые подразделяются на сернокислые, хлористые, сульфаминовокислые (сульфаматные), кремнефтористоводородные, борфтористоводородные и др.

Щелочные электролиты, используемые на практике, делятся на цитратные, этилендиаминовые, тартратные и др.

Зависимость физико-механических свойств осадков никеля от состава электролита приведена в табл. 1.

Сернокислые электролиты, широко применяемые во многих отраслях промышленности, имеют разнообразный состав и режим работы ванн для получения покрытий с различными заданными свойствами. Эти электролиты весьма чувствительны к отклонениям от принятого режима работы ванны и к наличию посторонних примесей в электролите.

Основным компонентом сернокислых электролитов является NiSO₄ × X 7H₂O. Если концентрация NiSO₄ × X 7H₂O не превышает 200 г/л, то для повышения электропроводимости электролита вводят Na₂SO₄ или MgSO₄ · 7H₂O, что способствует получению пластичных никелевых покрытий.

Скорость осаждения никеля определяют по табл. 2.

Для поддержания постоянства рН в электролите вводят H₃BO₃ или CH₃COONa. Если процесс ведется при более низком рН, то в качестве буферных добавок применяют фторсодержащие соединения (NaF, Ni(BF₄)₂).

В табл. 3 приведены наиболее часто применяемые электролиты, которые устойчивы в работе и при соблюдении режима работы и систематической очистки от вредных примесей могут использоваться в течение нескольких лет.

Во время электролиза для электролитов № 3 и 4 необходимо выполнять перемешивание, а для электролита № 4 и непрерывное фильтрование.

Для четкой работы ванны следует поддерживать постоянство состава электролита. Добавление сульфата никеля, борной кислоты и хлоридов

Типы электролитов

1. Состав никелевых электролитов и физико-химические свойства осадков

Электролит	Компоненты	C, г/л	pH	T, °C	I _H , A/dm ²	HV	η, МПа	Относительное удлинение, %
Сернокислый (Уоттса)	NiSiO ₄ · 7H ₂ O NiCl ₂ · 6H ₂ O H ₃ BO ₃	300 45 38	1,5—4,5	45—65	2,5—10	140—160	385	30
Твердого никелирования	NiSO ₄ · 7H ₂ O NH ₄ Cl H ₃ BO ₃	180 25 30	4,0—5,6	43—60	2—10	350—500	1650	5,8
Хлоридный	NiCl ₂ · 6H ₂ O H ₃ BO ₃	300 38	2,0	50—70	2,5—10	230—260	700	20
Хлоридно-сульфатный	NiSO ₄ · 7H ₂ O NiCl ₂ · 6H ₂ O H ₃ BO ₃	200 175 40	3,0	33—50	1,2—5,4	130—150	450	23—33
Хлоридно-щелочный	NiCl ₂ · 6H ₂ O Ni(C ₂ H ₅ O ₂) ₂	135 105	4,5—4,9	30—50	2—10	350	1400	10
Фторборатный	Ni(BF ₄) ₂ HBF ₄ H ₃ BO ₃	75 37 30	2,0—3,5	40—80	4—10	183	520	15—30

производят с учетом данных химического анализа электролита.

Поддержание постоянства pH электролита проводится добавлением 3 %-ного раствора NaOH или H₂SO₄.

Качество получаемых осадков ухудшается с накоплением в электролите таких примесей, как Fe, Zn, Cu, органические соединения. Недопустимо содержание Fe более 0,1 г/л. Для его удаления из электролита последний подогревается до 50—60 °C с H₂O₂ при интенсивном перемешивании сжатым воздухом. Последующее подщелачивание раствора до pH 6,0 приводит к осаждению окисленного Fe в виде Fe(OH)₃, на поверхности которого адсорбируются органические примеси. Осадок отфильтровывают.

Содержание Cu недопустимо более 0,02 г/л. Для ее удаления применяют либо метод цементации, посредством фильтрования электролита через слой порошкообразного Ni, либо электролит подкисляют до pH 2,5—3 и при плотности тока до 0,1 A/dm² осаждают Cu на катод.

Zn при содержании его более 0,01 г/л осаждают добавлением мела или Ca(OH)₂, доводя pH до 6,1—6,3. Оса-

ждение ведется при интенсивном перемешивании. При этом наряду с Zn осаждаются примеси Fe и Cu.

Для удаления органических соединений в ванну вводят измельченный древесный уголь из расчета 2—3 г/л.

Вводом дополнительных компонентов в сернокислые электролиты можно получать покрытия с индивидуальными свойствами.

ИХХТ АН Литовской ССР разработали процесс получения серебристоматового никелирования Лимеда

2. Скорость осаждения никеля, мкм/ч

Плотность тока, A/dm ²	Выход на току, %					
	50	60	7	0	90	95
0,5	3,1	3,7	4,4	5,1	5,6	5,9
1,0	6,3	7,4	8,7	10,0	11,2	11,8
2,0	12,5	14,3	17,6	20,0	22,4	23,6
3,0	18,8	22,3	26,2	29,9	33,6	35,6
4,0	25,1	29,8	34,9	39,9	44,8	47,2
5,0	31,4	37,7	43,7	49,8	56,0	59,0
10,0	62,6	74,7	87,3	99,7	112,0	118,0

НИКЕЛИРОВАНИЕ

3. Составы сернокислых электролитов (г/л) и режимы осаждения

Компоненты электролита и режим	№ электролита			
	1	2	3	4
$\text{NiSO}_4 \cdot 7\text{H}_2\text{O}$	70—75	140—150	140—200	400—420
$\text{NiCl}_2 \cdot 6\text{H}_2\text{O}$	—	80—100	30—40	—
$\text{Na}_2\text{SO}_4 \cdot 10\text{H}_2\text{O}$	40—50	—	60—80	—
H_3BO_3	25—30	25—30	25—40	—
NaCl	5—10	5—10	—	25—40
NaF	—	—	—	2—3
$t, ^\circ\text{C}$	17—27	27—32	27—62	52—67
$i_R, \text{A/dm}^2$	0,5—1,0	0,8—2	0,5—2	5—10
pH	5,6—5,8	5,0—5,5	5,2—5,8	2—3

НСМ-1. Осадки имеют мягкий бархатистый вид (велюр-никель).

При этом применяют электролит следующего состава (г/л):

$\text{NiSO}_4 \cdot 7\text{H}_2\text{O}$	200—300
$\text{NiCl}_2 \cdot 6\text{H}_2\text{O}$	30—60
H_3BO_3	25—35
органические сульфосоединения	—
композиция НИС-1	1—3
Режим осаждения: $i_R = 0,05—0,18$	
$= 3 + 5 \text{ A/dm}^2; t = 50—60^\circ\text{C}$	

Для получения твердых и износостойких покрытий применяют электролит, содержащий соединения фосфора; поэтому осадки содержат до 10 % фосфора и обладают твердостью до 550. При нагревании до 300—400 °C в течение 1 ч твердость покрытия возрастает до 1000—1200. Коэффициент трения у этих покрытий по стали и чугуну на 30 % ниже, чем у хромовых покрытий.

Состав этого электролита следующий (г/л):

$\text{NiSO}_4 \cdot 7\text{H}_2\text{O}$	180—200
H_3PO_4	40—45
$\text{NiCl}_2 \cdot 6\text{H}_2\text{O}$	25—30
NaH_2PO_4	5—10
H_3BO_3	20—30
Режим осаждения: $i_R = 8—12 \text{ A/dm}^2; t = 50—60^\circ\text{C}; \text{pH } 2—3$	

Сульфаминовые электролиты позволяют получать осадки с наивысшей прочностью сцепления со сталью; осадки получаются пластичные без внутренних напряжений.

Состав сульфаминового электролита следующий (г/л):

$\text{Ni}(\text{HSO}_3)_2$	280—300
H_3BO_3	25—30
NaCl	12—16

Блестящее никелирование

5. Составы электролитов (г/л) и режимы осаждения

Компоненты электролита и режим	№ электролита		
	1	2	3
$\text{NiSO}_4 \cdot 7\text{H}_2\text{O}$	140—200	240—300	330
$\text{NiCl}_2 \cdot 6\text{H}_2\text{O}$	30—40	30—40	45
H_3BO_3	30—40	30—40	38
Na_2SO_4	60—80	—	—
pH	5,2—5,8	5,4—5,8	1,5—1,6
$i_R, \text{A/dm}^2$	20—35	40—60	45—60
$t, ^\circ\text{C}$	1—2	2—5	2,5—10

Часто никель наносят в качестве подслоя, например, при хромировании. Электролит в этом случае имеет следующий состав (г/л):

$\text{NiSO}_4 \cdot 7\text{H}_2\text{O}$	300
$\text{NiCl}_2 \cdot 6\text{H}_2\text{O}$	60
H_3BO_3	40
1,4-бутандиол, мл/л	1,75
сахарин, г/л	1,0
фталевый ангидрид, мл/л	0,12
Режим осаждения: $i_R = 55^\circ\text{C}$	
$i_R = 5 \text{ A/dm}^2; \text{pH } 4—4,8$	

Для получения матовых покрытий используют электролиты типа Уоттса. При всем их многообразии они по своему составу мало отличаются от стандартных (табл. 5).

Гальванические матово-никелевые покрытия не имеют посторонних включений, в них мало пор, они обладают высокой коррозионной стойкостью, которую можно сравнить лишь со стойкостью кованого никеля.

Матовый однослоинный никель обычно наносят в том случае, когда необходимо защитить детали от коррозии без декоративной отделки.

БЛЕСТИЩЕЕ НИКЕЛИРОВАНИЕ

Для получения защитно-декоративного покрытия на деталях, не требующих высокой антикоррозионной стойкости, применяют электролиты блестящего никелирования. Для этих покрытий характерны повышенные твердость и износстойкость.

Основные недостатки блестящих покрытий (в сравнении с матовыми) — сильное наводороживание гальванического осадка и покрываемого металла, большое количество примесей

в осадке, повышенные значения внутренних напряжений и поэтому повышенная коррозионная стойкость с присущей склонностью осадка к расщеплению. Несмотря на все эти недостатки, метод получения зеркально блестящих поверхностей широко распространен, так как при его применении отпадает трудоемкая операция механического полирования поверхности и значительно повышается плотность тока, приводящая к интенсификации гальванических процессов.

В качестве блескообразователей и выравнивателей широко используются сульфосоединения. При электроосаждении из кислот сульфосоединения претерпевают ряд превращений, в результате чего в качестве конечного продукта образуется сульфид Ni.

Добавка блескообразователей может приводить к резкому снижению степени наводороживания Ni. К таким добавкам относится сахарин.

Содержание серы в никелевых покрытиях оказывается на напряжении сжатия, на изменении внутренних напряжений, твердости осадка и других свойствах осажденного металла.

Наиболее широкое распространение получили сернокислые электролиты блестящего никелирования (табл. 6).

К сернокислым электролитам можно отнести еще раствор с высокой кропящей способностью, обеспечивающей блеск на покрытии и выравнивание в микроуглублениях. Его состав следующий (г/л):

$\text{NiSO}_4 \cdot 7\text{H}_2\text{O}$	260—320
H_3BO_3	30—40
пара толуолсульфамид	1,5—2
NaCl	16—12
фталевый ангидрид	0,2—0,5
моющие средство «Прогресс»	0,003—0,005
1,4-бутандиол	1,0—1,5
Режим осаждения: $i_R = 2+8 \text{ A/dm}^2; t = 45+50^\circ\text{C}; \text{pH } 4,5—5$	

Электролит, обеспечивающий интенсивность процесса и позволяющий получать эластичные, хорошо спрессованные с основой блестящие выровненные покрытия, имеет следующий состав (г/л):

$\text{NiSO}_4 \cdot 7\text{H}_2\text{O}$	240
$\text{NiCl}_2 \cdot 6\text{H}_2\text{O}$	45
H_3BO_3	30
ацетиленди, бензольсульфамид	1—2
1,4-бутандиол	0,2—0,6
Режим осаждения: $\text{pH } 3,5—5,5; t = 18+50^\circ\text{C}; i_R = 0,8+9 \text{ A/dm}^2$	

6. Составы сернокислых электролитов (г/л) блестящего никелирования и режимы осаждения

Компоненты и параметры излучения и режим	# лентопропит.									
	1	2	3	4	5	6	7	8	9	10
NISO ₄ ·7H ₂ O	350—360	250—300	250—300	260—300	200—300	280—300	250—300	240	120—150	—
NaCl·6H ₂ O	50—60	50—60	—	40—60	200	30—60	50—60	45	—	—
H ₃ BO ₃	25—40	—	10—16	—	3—15	—	10—15	—	—	—
Сахарин	1,0—2,0	2,5—40	25—40	35—40	25—30	30—40	30—40	30	30—40	—
1,4-ОГИРНДИОЛ (100%ный)	0,15— 0,7	1,0—2,0	0,2—0,5	0,7—1,5	0,7—1,5	1,2—1,5	1,0—1,5	0,2—0,6	0,4—0,7	—
Фталимид	0,08— 0,12	0,3	—	0,09	0,08—	—	0,08—	—	—	—
NaF	—	—	—	—	0,1	0,12	—	—	—	—
Формальдегид	—	0,02— 0,04	0,5—1,2	—	—	4,6	—	—	—	—
Хлорамин Б	—	—	2,0—2,5	—	—	1,15	—	0,01— 0,03	—	—
Натриевая соль 1,5-нафтилдинсульфо- кислоты	—	—	—	—	—	—	—	2,0—2,5	—	—
Моноза желтость изотропес и ин препарат	—	—	—	—	—	—	—	0,003— 0,005	—	—
OC-200	—	—	—	—	—	—	—	—	—	—
Ацетаннид, бензоуль- фумид, NH ₂ Cl	—	—	—	—	—	—	—	—	1,2	—
Барбитуровая кислота	—	—	—	—	—	—	—	—	—	—
—										0,03—0,9
H ₂ , K ⁺ , A/Dm ² , °C	4,0—4,8 3—8 52—62	4,5—4,8 3—8 52—62	4,5—5,5 2,5—3,5 42—52	4,0—4,8 4,0—6,0 55—60	4,0—4,8 4—6 50—60	5,6—6,3 1—2 20—30	4,2—4,8 4,5—5,5 50—60	4,5—5,5 3—5 15—60	3,5—5,5 0,8—9 50—60	1—1

П р и м е ч а н и я: 1. Электроплиты № 1—3 рекомендуются ГОСТ 9.047—75. 2. Непрерывное плавание очистки электроплит не вязкое, обогащено

7. Составы электролитов (г/л) блестящего никелирования

Компоненты электролита	Электролит		
	Лимеда НБ-1	Лимеда НБ-2	Лимеда НБ-3
$\text{NiSO}_4 \cdot 7\text{H}_2\text{O}$	280—320	280—320	280—320
$\text{NiCl}_2 \cdot 6\text{H}_2\text{O}$	40—60	40—60	40—60
H_3BO_3	30—40	30—40	30—40
Сахарин	1,5—2,5	1,5—2,5	1,5—2,0
1,4-бутандиен-пол.	0,12—0,2	0,02—0,03	0,05—0,2
НБ-3 (30 %), мл	—	7,5—8,8	—
НБ-3 (20 %), мл	—	—	5—10
НБ-11	—	0,04—0,06	—
НБ-12	—	—	0,0005—0,02

На основе хлористого никеля ИХХТ АН Литовской ССР разработан высокоефективный электролит с хорошим блеском следующего состава (г/л):

NiCl ₂ · 6H ₂ O	· · · · ·	300
NiSO ₄ · 7H ₂ O	· · · · ·	80
сахарин	· · · · ·	2-5
НИБ-3	· · · · ·	0,8-1,0
Режим осаждения: $i_K =$		
$= 2 \pm 8 \text{ A/dm}^2; t = 55 \pm 65^\circ\text{C}$		

Необходимы перемешивание и непрерывная фильтрация электролита.

ИХХТ АН Литовской ССР разработан ряд электролитов с добавкой НИБ, которые приведены в табл. 7.

Электролиты НБ-2 и НБ-3 применяются для никелирования сложно-профилированных деталей. Электролит НБ-2 обладает высокой выравнивающей способностью.

В табл. 8 приведены составы и режимы работы сульфаминовых электролитов для получения блестящих покрытий.

8. Составы электролитов (г/л) и режимы осаждения

Компоненты электролита и режим	№ электролита	
	1	2
$\text{Ni}(\text{H}_4\text{NSO}_4)_2$	300—400	400
$\text{Ni}(\text{UNO}_3)_2 \cdot 6\text{H}_2\text{O}$	—	0,237
$\text{NiCl}_2 \cdot 6\text{H}_2\text{O}$	12—15	↔
H_2BO_4	25—40	30
Натрия лаурилсульфат	0,1—1,0	0,12
$t, {}^\circ\text{C}$	52—62	50
$p\text{H}$	3,6—4,2	4,0
$I_{\text{K}}, \text{A}/\text{дм}^2$	5—12	2,7

Осадки, полученные из этих электролитов, пластичные, с малыми внутренними напряжениями.

МНОГОСЛОЙНОЕ
НИКЕЛИРОВАНИЕ

К комбинированным никелевым покрытиям относятся биникель, триникель и силникель. Эти покрытия обладают более высокими защитными свойствами вследствие электрохимического взаимодействия отдельных никелевых слоев, входящих в комбинированное покрытие.

Механическая защита основного металла обусловлена различными структурами слоев никеля.

Биникель — двухслойное никелевое покрытие. Первый слой полублестящий столбчатой структуры без включения серы. Он должен быть малонапряженным, по возможности максимально слаженным, иметь неизначительное число пор. Второй слой ламинарной структуры, блестящий, который содержит серу и поэтому более хрупкий.

Электрохимический потенциал верхнего слоя отрицательнее нижнего. Верхний слой выполняет роль анода по отношению к нижнему, тем самым защищая покрытие от коррозии.

Для нанесения нижнего полу-
блестящего слоя используется электро-
лит следующего состава (г/л):

1,4-бутандиол	0,15—0,3 или до 0,3— 0,4 мл/л
калий бифтарат или сульфосалициловая кислота	0,1—1,0
формалин (40 %-ный)	0,3— 0,8 мл/л
Режим осаждения: $t_R = 2 \pm 7$ А/дм ² ; $t = 50 \pm 60$ °С; pH 4,0—5,0.	

Необходимы воздушное перемешивание и непрерывная фильтрация; наименее второго слоя можно проводить без промежуточного промывания.

Второй слой наносится из обычного электролита блестящего никелирования и содержит около 0,08—0,1% S. Хрупкость и повышенные внутренние напряжения верхнего слоя компенсируются эластичностью нижнего слоя.

ИХХТ АН Литовской ССР разработан процесс двухслойного никелирования с заполнителем Лимеда НД₃, являющийся одной из наиболее простых и экономически выгодных разновидностей многослойного никелирования, которые обеспечивают высокую коррозионную стойкость никелевых и никель-хромовых покрытий. Осаждение второго слоя никеля происходит в присутствии каолина.

Состав электролита (г/л) следующий:

Получение блестящего шея никелирование

NiSO ₄ ·7H ₂ O	250—300	250—300
NiCl ₂ ·6H ₂ O	40—50	40—50
и т. д.	50—60	50—60
NaCl	10—15	10—15
H ₃ BO ₃	35—40	35—40
формалин (10 %-ный), мл/л	0,25—0,6	—
сахарин	—	1,5—2,0
1,4-бутандиол (в пересчете на 100 %-ный)	—	1,5—2,0
Каолин КРХС	—	0,15—0,3
Режим осаждения:	—	0,2—1,0
pH	4,2—5,0	4,0—4,8
$t, ^\circ\text{C}$	40—50	50—60
$t_R, \text{ А/дм}^2$	2—5	2—6
$t_a, \text{ А/дм}^2$	До 2	До 1,5

Процесс проводится при перемешивании сжатым и очищенным от пыли воздухом.

При равной толщине покрытий двухслойные покрытия значительно отличаются от однослоин повышенней коррозионной стойкостью (обычно первый слой Ni имеет толщину, составляющую от 50 до 70% общей толщины покрытия).

Триинкель — трехслойное никелевое покрытие. Такое никелирование — один из самых современных и эффективных способов наименения блестящих никелевых покрытий. Эти покрытия отличаются высокой коррозионной стойкостью, обусловленной разностью потенциалов между средним высокосернистым слоем и прилегающими нижним и внешним слоями никеля.

Процесс осуществляется в три стадии. Сначала наносится нижний полублестящий слой Ni. Толщина этого слоя составляет $\sim \frac{1}{2}$ толщины всего никелевого покрытия. Затем без промежуточных промывок осаждается второй (средний) слой из обычного электролита никелирования, в составе которого имеются специальные серосодержащие добавки, способствующие включению в промежуточный слой от 0,10 до 0,20% S. При незначительной толщине средний слой (1—2 мкм) вследствие того, что он является анодом по отношению к верхнему и нижнему слою, делает трехслойное никелевое покрытие выгодно отличающимся от обычных блестящих и двухслойных никелевых покрытий своей более высокой коррозионной стойкостью.

Третий слой осаждается из любого применяемого электролита блестящего никелирования до достижения общей толщины покрытия 18—20 мкм.

Ниже приведен состав электролита (г/л) для получения среднего слоя при трехслойном покрытии:

NiSO ₄ ·7H ₂ O	280—300
NiCl ₂ ·6H ₂ O	40—60
H ₃ BO ₃	25—40
парааминобензальфамид	0,1—0,15
сахарин	0,5—0,6

Режим осаждения: $t_R = 2 \pm 3,5$ А/дм²; $t = 50 \pm 60$ °С;

$t_R = 2,4—4,7$.

Силиникель — композиционное покрытие, получающееся соосаждением никеля и мелкодисперсных частиц, которые могут быть как электропроводными, так и неэлектропроводными. Соосаждение происходит вследствие захвата частиц растущими слоями металла. При последующем хромировании композиционного никелевого покрытия образуется микропористое хромовое покрытие. При этом происходит увеличение поверхности обнаженного Ni и понижается анодная плотность коррозионного то-

ка. Таким образом, растворение никеля происходит в поверхностном слое, не проникая в глубь покрытия, что значительно улучшает защитные свойства системы. В качестве мелкодисперсных частиц применяют различные вещества, в том числе — каолин, бентонит, карбиды кремния, хрома, вольфрама, оксиды кремния, алюминия, бориды, нитриды и т. п. Получаемое покрытие содержит до 10% (и более) включенных частиц. Ниже приведены составы (г/л) наиболее распространенных электролитов силиникелирования.

1. Лимеда НС-1:	
NiSO ₄ ·7H ₂ O	200—280
NiCl ₂ ·6H ₂ O	40—60
H ₃ BO ₃	30—35
сахарин	0,7—1,2
1,4-бутандиол	0,2—0,3
каолин (высокодисперсный)	0,3—2,0
Режим осаждения: $t_R = 2 \pm 8$ А/дм ² ; $t_a = 2,5$ А/дм ² ; $t = 50 \pm 60$ °С; pH 3—4,8.	
2. Ли-еда НС-21:	
NiSO ₄ ·7H ₂ O	280—320
NiCl ₂ ·6H ₂ O	40—60
H ₃ BO ₃	30—35
сахарин	1,5—2,5
1,4-бутандиол КРХС	0,15—0,3
каолин КРХС	1—20
аэросил А-380	0,1—2
Режим осаждения: $t_R = 2 \pm 7$ А/дм ² ; $t_a = 2$ А/дм ² ; $t = 50 \pm 60$ °С; pH 3—3,4.	

Перемешивание электролита — это интенсивный барботаж чистым сжатым воздухом. Фильтрация электролита с каолином и аэросилом проводится лишь при профилактической очистке. Аноды можно применять как углеродистые непассивирующиеся никелевые, так и кусковые электролиты.

9. Составы электролитов (г/л) и режимы работы

Компоненты электролита и режим	# электролита		
	1	2	3
NiSO ₄ ·7H ₂ O	50—60	70—75	100—110
N ₄ SO ₄ ·10H ₂ O	—	40—50	55—60
(NH ₄) ₂ SO ₄	15—20	—	55—85
Zn SO ₄ ·7H ₂ O	20—25	20—25	35—40
H ₃ BO ₃	—	20—25	—
C ₆ H ₅ (OH) (CO ₂ H) ₃	2—3	—	—
NaCl	—	5—10	—
NH ₄ CNS	15—20	15—20	—
$t_R, \text{ А/дм}^2$	0,1—0,15	0,1—0,15	0,05—0,15
pH	5—5,5	5,2—5,8	5,6—5,8
$t, ^\circ\text{C}$	18—25	18—25	20—30

ческие. Присутствие аэросила А-380 в электролите Лимеда НС-2 способствует более равномерному распределению частиц в силиникелеевом покрытии и соответственно микропор в хромовом слое.

При применении никелевых анодов, содержащих уголь, pH электролита необходимо поддерживать в интервале 3,0—3,4. При применении анодов (кусков), загруженных в титановые корзины и защищенных полипропиленовой тканью, pH электролита может быть равен 3,0—4,8.

ЧЕРНОЕ НИКЕЛИРОВАНИЕ

При введении соли цинка в никелевый электролит можно получить осадки черного цвета. Черное никелирование применяют для увеличения светопоглощения у покрываемых объектов. Такие покрытия применяют в оптической промышленности, в некоторых специальных отраслях машиностроения, а также для придания детали декоративного вида.

Черное никелирование имеет ряд недостатков — низкие показатели коррозионной стойкости, пластичности и прочности сцепления с покрываемыми деталями. Поэтому предварительно на деталь наносится слой Cu или светлого Ni.

Растворы для черного никелирования могут быть приготовлены на основе общепринятых никелевых электролитов (табл. 9) с добавлением солей Zn.

Постоянство pH поддерживается 3 %-ным раствором H₂SO₄ или ZnCO₃.

В оптической промышленности для получения черного никелевого покрытия используют электролит следующего состава (г/л):

$\text{NiSO}_4 \cdot 7\text{H}_2\text{O}$	65—75
$\text{ZnSO}_4 \cdot 7\text{H}_2\text{O}$	30—40
$\text{NiSO}_4(\text{NH}_4)_2\text{SO}_4$	45—60
NaCl	15
H_3BO_3	25
Режим осаждения: $i_K = 1,0 \pm 1,5 \text{ A/dm}^2$; $t = 45 \pm 5^\circ\text{C}$; аноды разделительные; $\text{Sn} : \text{Zn} = 1 : 1$.	

Черные никелевые покрытия можно получать из сульфаматного электролита следующего состава (г/л):

$\text{Ni}(\text{H}_2\text{NSO}_3)_2$	20—495
$\text{Zn}(\text{H}_2\text{NSO}_3)_2$	6—120
$\text{NH}_4\text{H}_2\text{NSO}_3$	10—480
Цинковая патрия	1—50
Режим осаждения: $i_K = 0,1 \pm 0,5 \text{ A/dm}^2$; перемешивание до 2,3 A/dm^2 ; $t = 19 \pm 4^\circ\text{C}$; $\text{pH } 2,6—6,1$.	

ХИМИЧЕСКОЕ НИКЕЛИРОВАНИЕ

Химические никелевые покрытия ванного тверже электрохимических, что видно из следующих данных:

НУ

Тип покрытия	150—220
Электрохимическое твердое	380—480
Химическое фосфорсодержащее:	
необработанное	500—700
термосбработанное	850—950
Химическое борсодержащее:	
необрабтыванное	650—750
термосбработанное	1000—1100

Предел прочности при растяжении у них выше. Расширение очень неизначительно. Названные выше и другие свойства во многом зависят от содержания Р и В в осажденных никелевых сплавах, а значит, и от типа вани и режимов осаждения.

В водных растворах вани должны содержаться соединения, поставляющие ионы никеля, а также восстановитель, который способствует восстановлению ионов никеля до металлического состояния. При обычных условиях оба компонента не реагируют между собой.

Осаждение металла начинается с введением катализатора и поддержи-

вается им. С удалением катализатора реакция восстановления заканчивается.

Катализитическими свойствами обычно обладает деталь, на которую наносится слой металла. Саморазложение катализатора является функцией pH и температуры раствора.

При химическом никелировании предпочтение отдается таким восстановителям, как NaH_2PO_2 , соединениям борвандера (боранат иттрия и некоторые другие соединения), а также гидроксиламину, из которого Ni осаждается с наименьшим количеством примесей.

В настоящее время более широко применяют гипофосфитные ванны.

Осаждение никеля может производиться как из кислых, так и из щелочных растворов. Щелочные растворы отличаются высокой устойчивостью, простотой корректировки состава раствора. В этих растворах не наблюдается саморазряда, т. е. мгновенного выпадения порошкообразного никеля. Эти растворы пригодны к длительной эксплуатации.

Для оптимального осаждения Ni рекомендуется поддерживать определенное соотношение Ni и NaH_2PO_2 с учетом того, что на 1 г осажденного Ni расходуется 4—5 г NaH_2PO_2 .

Наиболее распространенные составы вани химического никелирования и режимы обработки деталей в них приведены в табл. 10.

Катализаторами при химическом осаждении никеля из гипофосфитных ванн являются все металлы восьмой группы периодической системы (cobальт — только в щелочных растворах), а также Al, Be и Ti. Эти металлы можно никелировать без дополнительных операций.

Такие металлы, как Cu, Ag, Au, не обладают катализитическими свойствами, и их можно никелировать после предварительной подачи короткого импульса тока катода.

Сплавы подвергаются химическому никелированию, если в них главный компонент поддается никелированию. К ним относятся латунь, бронза и другие медные сплавы, а также алюминий.

Если химическое покрытие некачественное, то его удалают раствором разбавленной HNO_3 (1 : 1).

ОСАЖДЕНИЕ СПЛАВОВ НА ОСНОВЕ НИКЕЛЯ

10. Составы растворов (г/л) химического никелирования и режимы работы

Компоненты раствора и режим	№ раствора						
	1	2	3	4	5	6	7
$\text{NiCl}_2 \cdot 6\text{H}_2\text{O}$	30	45	24	30	30	40—50	—
NaH_2PO_2	10	20	42	30	10	10—20	8—10
Ацетат натрия	10	—	—	—	50	—	10—12
Цитрат магния	45	50	40	100	—	40—50	—
$\text{NH}_3 \cdot \text{H}_2\text{O}$	—	40	—	—	—	До синей окраски	—
NH_4Cl	—	—	—	50	—	45—55	—
$\text{NiSO}_4 \cdot 7\text{H}_2\text{O}$	—	20	—	—	—	—	28—30
AlCl_3	—	50	27	—	—	—	—
pH, $^\circ\text{C}$	5,0 82—12	8—9 80—90	8—9 45—50	8—10 90	4—6 90	— 80—88	4—4,5 90—92

ОСАЖДЕНИЕ СПЛАВОВ НА ОСНОВЕ НИКЕЛЯ

натрия лаурилсульфат 0,1—0,5
Режим осаждения: $i_K = 3—4 \text{ A/dm}^2$; $t = 50 \pm 5^\circ\text{C}$; pH 3,5—3,8.

Получаемые сплавы с содержанием никеля 70—80 % и кобальта 20—30 % имеют следующие физико-механические характеристики: микротвердость 420—510; предел прочности 1,2—1400НПа; предел упругости 1,0—1100НПа; предел текучести 1,2—1400НПа; относительное удлинение 3,7—4,6 %.

Для осаждения магниевых покрытий Ni — Co применяют следующий электролит (г/л):

$\text{NiSO}_4 \cdot 7\text{H}_2\text{O}$	130—140
$\text{CoSO}_4 \cdot 7\text{H}_2\text{O}$	110—120
H_3BO_3	20—30
KCl	10—15

Режим осаждения: $i_K = 1 \pm 1,5 \text{ A/dm}^2$; $t = 50 \pm 60^\circ\text{C}$; pH 4,0—5,0; аноды из сплава Ni — Co с содержанием кобальта 40—50 %

Для нанесения защитно-декоративного покрытия Ni — Co используют электролит следующего состава (г/л):

$\text{NiSO}_4 \cdot 7\text{H}_2\text{O}$	20—25
$\text{CoSO}_4 \cdot 7\text{H}_2\text{O}$	10—15
NaHCO_3	30—35
H_3BO_3	30—40
$(\text{NH}_4)_2\text{SO}_4$	2,5

формальдегид (40 %-ный) 1,0

Режим осаждения: $i_K = 4 \pm 6 \text{ A/dm}^2$; $t = 60 \pm 70^\circ\text{C}$; аноды из сплава Ni — Co. Кислоты H_3BO_3 и NaHCO_3 выполняют функцию буфера для поддержания pH 4,5. $(\text{NH}_4)_2\text{SO}_4$ повышает блеск покрытия.

Кроме того, применяют электролит, состав которого следующий (г/л):

$\text{Ni}(\text{NH}_4)_2\text{SO}_4$	425—435
$\text{Co}(\text{NH}_4)_2\text{SO}_4$	24—26
$\text{NiCl}_2 \cdot 6\text{H}_2\text{O}$	4—10
H_3BO_3	30—35

Сплав никель — железо используется в качестве подслоя при нанесении никелевых покрытий, антикоррозионно-декоративного покрытия, а также при содержании железа в сплаве меньше 40 % как покрытие со специальными магнитными свойствами

НИКЕЛИРОВАНИЕ

11. Составы электролитов (г/л) и режимы осаждения сплавов никель — железо

Компоненты электролита и режим	№ электролита						
	2	3	4	5	6	7	
$\text{NiSO}_4 \cdot 7\text{H}_2\text{O}$	212	360	—	125—200	75	37,5	50—80
$\text{FeCl}_3 \cdot 7\text{H}_2\text{O}$	22	30	1,7	—	—	—	8—40
$(\text{NH}_4)_2\text{C}_4\text{H}_6\text{O}_7$	—	—	—	15—32	9,5	20	—
$\text{FeCl}_3 \cdot 4\text{H}_2\text{O}$	2,5	—	—	—	—	—	24—48
$\text{NiCl}_2 \cdot 6\text{H}_2\text{O}$	18	1	—	72	20	75	37,5
H_3BO_3	25	8	—	—	45	30	—
NaCl	—	89	—	—	—	—	—
$\text{Na}_2\text{SO}_4 \cdot 10\text{H}_2\text{O}$	120	71	—	—	—	—	—
Салицинат натрия	—	—	17	—	—	—	—
$\text{N}(\text{CH}_3\text{COO})_2 \cdot 4\text{H}_2\text{O}$	—	—	22,5—89	—	—	—	—
Аскорбиновая кислота	—	0,5—0,7	—	0,6	0,6	—	—
Лимонная кислота	1,0	—	—	—	—	25	—
$\text{K}_4\text{P}_2\text{O}_7$	—	—	330	—	—	—	200—500
Сахарин	0,7	—	—	1,8	1,8	1,8	—
Формальдегид	1,2—1,3	—	—	—	—	—	—
Поливинилхлорид	—	—	—	0,05	0,05	0,05	—
Пропиониловый спирт	—	—	—	—	—	0,05	—
1,4-бутандиол или	—	—	—	—	—	—	0,3—0,6
1-фенил-бутан-2-диол-1,4	—	—	—	—	—	—	0,06—0,13
Содержание железа в сплаве, %	~20	~20	~20	10—35	~20	20—35	>30
pH	—	2,0—2,5	9,4	1,4—3,2	3,2	8,2	8—11
$t, \text{A}/\text{dm}^2$	5	4	8	5—25	5	5—7	2—20
$t, ^\circ\text{C}$	25—50	55	50	50—70	50	50	20—60

и другими заданными свойствами (табл. 11).

Осаждение сплава никель — железо осуществляется, как правило, при перемешивании, что обеспечивает получение однородных осадков и дает возможность проводить процесс при более высоких плотностях тока и увеличивать содержание железа в осадке. Однако следует учитывать, что перемешивание способствует питтингообразованию и увеличению скорости окисления двухвалентного железа.

Сплав никель — цинк. С увеличением содержания никеля сплав твердость последнего возрастает по сравнению с твердостью чистого цинка.

Сплав, состоящий из 50 % Ni и 50 % Zn, имеет более высокую коррозионную стойкость по сравнению с цинковыми покрытиями. Эти сплавы обеспечивают анодную защиту стальным деталям. Покрытия получаются блестящими. Такие покрытия можно получить из электролита следующего состава (г/л):

$\text{ZnSO}_4 \cdot 7\text{H}_2\text{O}$ 75—125
 $\text{NiSO}_4 \cdot 7\text{H}_2\text{O}$ 25—75
 $(\text{NH}_4)_2\text{SO}_4$ 35—40
 $\text{NH}_3 \cdot \text{H}_2\text{O}$, мл/л 250
 Режим осаждения: $i_K = 1 \pm 2 \text{ A}/\text{dm}^2$; $t = 15 \pm 20^\circ\text{C}$; pH 6,3—6,7; аноды разделенные; $S_{\text{Ni}} : S_{\text{Zn}} = 1 : 1$

Находит применение электролит следующего состава (г/л):

$\text{ZnSO}_4 \cdot 7\text{H}_2\text{O}$ 75—125
 $\text{NiSO}_4 \cdot 7\text{H}_2\text{O}$ 25—75
 $(\text{NH}_4)_2\text{SO}_4$ 35—40
 $\text{NH}_3 \cdot \text{H}_2\text{O}$, мл/л 250
 Режим осаждения: $i_K = 1 \pm 2 \text{ A}/\text{dm}^2$; $t = 15—20^\circ\text{C}$; аноды из сплава никель — цинк

Получаемые покрытия имеют хорошее сцепление с основой и блеск, а также не имеют пор. Обладают повышенными защитными свойствами.

Можно использовать электролит, состав которого следующий (г/л):

$\text{ZnCl}_2 \cdot 6\text{H}_2\text{O}$ 60—200
 $\text{NiCl}_2 \cdot 6\text{H}_2\text{O}$ 10—150
 NH_4Cl 50—250
 CH_3COOH 5—40
 полизатетрагликоль 5—15
 карбонилсодержащее вещество 0,5—3,0

Цинк — никелевый сплав используется в качестве подслоя на стальных деталях перед нанесением хромникелевых покрытий.

NH_4Cl 200—250
 ZnO 15—17
 $\text{NiCl}_2 \cdot 6\text{H}_2\text{O}$ 25—40

Неполадки и способы их устранения

Сплав никель — хром. Осадки можно получать из электролита следующего состава (г/л):

H_2CrO_4 350—400
 NiSO_4 60—100
 H_3BO_3 20—25

Режим осаждения: $i_K = 50 \pm 60 \text{ A}/\text{dm}^2$; $t = 55 \pm 70^\circ\text{C}$. Осадки получаются полублестящими; они содержат 15—20 % Ni и имеют HV = 700 ± 800.

Сплав Ni — Sn можно получать также из пирофосфатного электролита следующего состава (г/л):

$\text{Sn}_2\text{P}_2\text{O}_7$ 20—22
 $\text{NiCl}_2 \cdot 6\text{H}_2\text{O}$ 45—50

пирофосфат калия в пересчете на P_2O_5 130—135
 цитрат аммония 10
 Режим осаждения: $i_K = 0,5 \pm 6 \text{ A}/\text{dm}^2$; $t = 60^\circ\text{C}$; pH 8,5—9,2

НЕПОЛАДКИ И СПОСОБЫ ИХ УСТРАНЕНИЯ

Возможные неполадки при никелировании и способы их устранения приведены в табл. 12.

Некачественные никелевые покрытия можно удалить электролитическим методом с применением электролита следующего состава (г/л):

$\text{NiCl}_2 \cdot 6\text{H}_2\text{O}$ 250—300
 SnCl_2 40—50
 NH_4F 60—65

хлорамин-идрат 1
 Режим осаждения: $i_K = 0,5 \pm 4 \text{ A}/\text{dm}^2$; $t = 50 \pm 55^\circ\text{C}$; pH 4,5. В качестве анодов применяют Ni. Можно также использовать аноды, содержащие 30 % Ni и 70 % Sn, полученные термическим путем.

После удаления никеля детали тщательно промывают и просушивают.

12. Неполадки при осаждении никеля и способы их устранения

Неполадки	Причина неполадок	Способ устранения
Слабый слеск	Недостаточное содержание блескообразующей добавки Низкое значение pH Низкая плотность тока	Откорректировать электролит по анилизу Откорректировать pH электролита Повысить плотность тока
Хрупкий осадок	Высокое значение pH Загрязнение железом Органические загрязнения Избыток перекиси водорода в растворе Высокая плотность тока Заниженная концентрация борной кислоты Избыток блескообразователей Плохая промывка покрываемых деталей	Подкислить электролит Селективно очистить электролит Химическая очистка электролита Устранить избыток перекиси водорода подогревом Снизить плотность тока Проверить откорректировать концентрацию борной кислоты Проверить и снизить концентрацию блескообразователя при помощи активированного углем или проработкой током Проверить промывку
Питтинг	Ванна загрязнена органическими примесями Завышенная плотность тока Низкое значение pH Слабое перемешивание Низкая температура Заниженная концентрация борной кислоты	Провести очистку ванны активированным углем или перманганатом калия Постепенно снизить плотность тока Откорректировать pH Усилить перемешивание Подогреть электролит Откорректировать концентрацию борной кислоты

Продолжение табл. 12

Неполадки	Причина неполадок	Способ устранения
Темный цвет осадка	Ванна загрязнена медью, цинком или железом. Завышенное значение pH электролита	Провести селективную очистку Откорректировать pH
Отсланивание никеля от основы	Плохая подготовка поверхности. Наличие свинца в электролите	Повторить подготовительные операции Провести селективную очистку электролита
Расслаивание никеля при многослойном никелировании	Пассивация никелевого слоя, предварительно нанесенного Завышенная концентрация бутидиона	Уменьшить межэлектродное время нахождения деталей на воздухе, проверить контакты Произвести химическую очистку или разбавить электролит
Шероховатость осадков	Завышенная плотность тока Механические загрязнения Плохая промывка Загрязнение электролита анодным шламом Низкая концентрация никеля в электролите Занизженная температура электролита Загрязнение электролита алюминием и железом	Снизить плотность тока Усилить фильтрацию Улучшить промывку Заменить анодные чехлы Добавить сернистый никель по анализу Установить необходимую температуру ванны Удалить из раствора алюминий и железо снижением кислотности раствора и фильтрацией
Шелушение осадка никеля	Присутствие окислителей в электролите Присутствие солей хрома	Обработать электролит активированным углем и прокипятить Заменить электролит
Низкая рассеивающая и кроющая способность электролита	Плохая электропроводимость электролита Органические и неорганические загрязнения Плохие контакты Недостаточная площадь анодов Занизженная плотность тока	Проверить и откорректировать концентрацию хлора в электролите Провести очистку электролита Последовательно проверить все контакты Проверить соотношение площади анода к покрываемой поверхности. Увеличить площадь анодов Постепенно повысить плотность тока

Глава 7.

ХРОМИРОВАНИЕ

для соединений хрома имеют следующие значения:

Реакция	Стандартный потенциал, В
$\text{HCrO}_4^- + 7\text{H}^+ + 6e \rightarrow \text{Cr} + 4\text{H}_2\text{O}$	0,303
$\text{Cr}_2\text{O}_7^{2-} + 14\text{H}^+ + 12e \rightarrow \dots$	0,294
$\rightarrow 2\text{Cr} + 7\text{H}_2\text{O}$	
$\text{HCrO}_4^- + 7\text{H}^+ + 3e \rightarrow \dots$	1,350
$\rightarrow \text{Cr}^{3+} + 4\text{H}_2\text{O}$	
$\text{Cr}_2\text{O}_7^{2-} + 14\text{H}^+ + 6e \rightarrow \dots$	1,333
$\rightarrow 2\text{Cr}^{3+} + 7\text{H}_2\text{O}$	
$\text{Cr}^{3+} + e \rightarrow \text{Cr}^{2+}$	-0,407
$\text{Cr}^{3+} + 3e \rightarrow \text{Cr}$	-0,744
$\text{Cr}^{3+} + 2e \rightarrow \text{Cr}$	-0,913

Сведения о химической стойкости хрома даны в табл. 1.

Теория хромирования. Электролитическое осаждение хрома в практических целях осуществляется исключительно из растворов H_2CrO_4 , т. е. из растворов, в которых хром шестивалентен. Многочисленные попытки создать промышленно полезный электролит на основе соединений Cr^{3+} практически не привели к положительным результатам, особенно для получения толстых износостойких покрытий.

Несмотря на то, что по термодинамическим данным хром должен выделяться из растворов CrO_3 электрохимическим путем, на самом деле при электролизе этих растворов протекает только одна реакция — восстановление ионов водорода. Осаджение хрома протекает только в присутствии добавки — постороннего аниона, каковым чаще всего является SO_4^{2-} .

Для этой цели могут быть использованы также анионы и некоторых других кислот, например, F^- и SiF_6^{2-} (рис. 1). Во всех этих случаях максимальное значение выхода хрома по току достигается при определенном соотношении между концентрацией H_2CrO_4 и постороннего аниона, близким к 100 : 1. При этом максимальный выход хрома по току из электролита,

I. Химическая стойкость хрома

Несорганические и щелочи	XСТ	Газы и прочие неорганические динамики	XСТ	Органические кислоты и седименты	XСТ
H ₂ SO ₄	+	NH ₃	O	COOH	-
HNO ₃	O	SO ₂	O	H ₂ COOH	+
H ₃ PO ₄	O	CO	O	HCOOH	+
HBr	+	CO ₂	O	HOCH ₂ COOH	+
HClO ₄	+	Cl влажный	+	H ₂ N(COOH) ₂	+
HC ₂ O ₄	+	Cl сухой (до 300 °C)	O	H ₂ O ₂	0
H ₃ A ₃	+	O ₂ (до 1200 °C)	O	H ₂ O ₄	0
H ₂ CrO ₄	+	CS ₂	O	H ₂ O ₄	0
HJ	-	S (до 300 °C)	O	H ₂ O ₄	0
H ₂ SO ₄ + HNO ₃	O	Cl ₂	O	Пары азотной кислоты	0
NaOH, KOH	O	SO ₃ ²⁻	O	Ароматические кислоты	0
		SO ₃ ²⁻	O	Феноль	0
			O	Глюкофемозные тела	0

Примечание. Принятые обозначения: O — очищается; — не очищается; + медленно разрушается; × неусадчиво.

содержащего сульфат, не превышает 12–13 %. Остальной ток расходуется на процесс неполного восстановления H₂CrO₄ (Cr⁶⁺ → Cr³⁺) и выделение водорода.

Поляризационная кривая, отражающая процесс восстановления H₂CrO₄, имеет три ветви, соответствующие (рис. 2): 1 — процессу неполного восстановления хрома (Cr⁶⁺ → Cr³⁺); 2 — процессу формирования катодной пленки; 3 — одновременному протеканию трех электрохимических процессов Cr⁶⁺ → Cr³⁺; Cr⁶⁺ → Cr; H⁺ → 1/2 H₂.

Процесс восстановления хрома до металлического состояния проходит по стадиям по-видимому, через Cr²⁺ или Cr³⁺. Предельный ток I_{пред} для

процесса неполного восстановления увеличивается при увеличении концентрации постороннего аниона.

При включении тока в первый период электролиза на поверхности катода формируется катодная пленка. Это наблюдалось на осциллограммах по единой временной, а также при микроследовании катодного процесса (рис. 3). При включении тока потенциал вначале устанавливается на уровне значения, соотвествующего процессу неполного восстановления шестивалентного хрома, а затем скачкообразно смещается в область более отрицательных значений, где уже протекает процесс Cr⁶⁺ → Cr.

Протяженность впадины 1–2 (см. рис. 3, а) на осциллограмме зависит от концентрации постороннего аниона, увеличиваясь с ростом концентрации. Проявленность указанной впадины

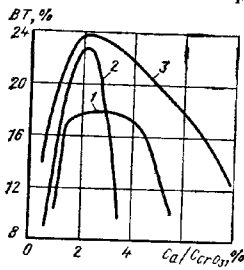


Рис. 1. Влияние концентрации постороннего аниона (Ca) на выход по току:

1 — SO₄²⁻; 2 — F⁻; 3 — SiF₆²⁻

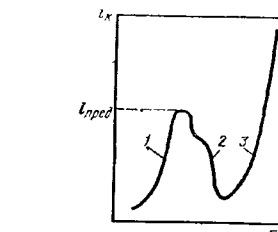


Рис. 2. Поляризационная кривая

сокращается при увеличении плотности тока.

Катодная пленка имеет кондиторскую природу. Ее состав существенно отличается от состава электролита. Она содержит 65–67 % Cr⁶⁺, 22–23 % Cr³⁺ и 10–12 % ионов SO₄²⁻. Состав катодной пленки не зависит от состава электролита и от содержания ионов SO₄²⁻.

Катодная пленка, имеющая толщину ~0,1 мкм, выполняет процессы электроосаждения следующие основные функции:

вызывает сдвиг потенциала до значений, при которых протекает процесс восстановления H₂CrO₄ до металла;

является своеобразным барьером, отделяющим промежуточные продукты восстановления H₂CrO₄ от основной массы электролита, обладающего высокой окислительной способностью, т. е. стабилизирует промежуточные продукты восстановления;

определяет процесс электрокристаллизации и формирования структуры хрома, обеспечивая получение блестящих покрытий без каких-либо специальных для этой цели вводимых в электролит бессоединителей.

Толщина катодной пленки увеличивается с увеличением концентрации постороннего аниона.

Существуют две гипотезы, объясняющие роль посторонних анионов в электролите хромирования.

посторонние анионы, в частности SO₄²⁻, являются ионом-активатором и вызывает активацию катодной поверхности. В отсутствие этих ионов в чистой H₂CrO₄ процесс выделения хрома не протекает, поскольку электрод покрывается гидроксидом Cr³⁺, препятствующим полному восстановлению H₂CrO₄;

посторонние анионы образуют с H₂CrO₄ реакции ионосвязанные комплексы, обладающие большей способностью к восстановлению, чем чистая H₂CrO₄. Эти комплексы (хромато-сульфатные), по-видимому, представляют собой соединения типа гетерополикислот.

Вторая гипотеза имеет ряд существенных экспериментальных подтверждений. В частности, в отсутствие ионов SO₄²⁻ в растворе H₂CrO₄ резко усиливает ее восстановление относительно природы анионов. Кроме того, H₂CrO₄, содержащая в сторонние

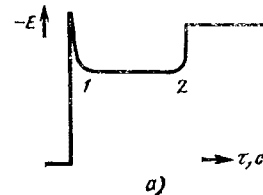


Рис. 3. Осциллограмма потенциала — время (а) и катодная пленка на катоде-игле (б) (×30)

анионы, способна восстанавливаться атомарным водородом, и т. д.

Исходя из представления о том, что роль SO₄²⁻ (или других анионов) состоит в образовании реакционноспособных комплексов, некоторые явления, наблюдаемые при восстановлении H₂CrO₄ в присутствии посторонних анионов, можно объяснить следующим образом.

Зависимость выхода хрома по току от концентрации постороннего аниона (см. рис. 1) определяется, с одной стороны, увеличением концентрации реакционноспособных комплексов (входящая ветвь кривой) и с другой — утолщением катодной пленки, затрудняющим проникновение к поверхности электрода разряжающихся частиц (нисходящая ветвь кривой). Рост концентрации разряжающихся частиц при увеличении концентрации посторонних анионов объясняет увеличение предельного тока I_{пред} на поляризационной кривой (см. рис. 2) и увеличение проявлений впадины 1–2 на осциллограмме (см. рис. 3, а).

Основные типы осадков. Промышленное использование хромовых покрытий определяют высокие декора-

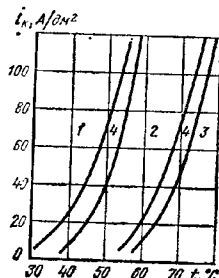


Рис. 4. Области получения различных хромовых покрытий:
1 — серые грубошероховатые; 2 — блестящие; 3 — молочные; 4 — переходные зоны

тивные качества (зеркальный блеск), химическая стойкость, низкий коэффициент трения (0,05—0,16), высокая твердость HV 750—1200, износостойкость (повышение износостойкости по сравнению со сталью в 2—20 раз).

В зависимости от условий электролиза различают три типа хромовых покрытий (рис. 4): с серые, обладающие низкими физико-химическими свойствами и не имеющие практического применения; блестящие, отличающиеся высокими значениями твердости и износостойкости; молочные, наименее пористые и наиболее пластичные.

По функциональному назначению хромовые покрытия делятся на защитно-декоративные, коррозионно-стойкие, износостойкие и антифрикционные.

Задекоративные покрытия могут быть: блестящими, которые наносятся по подслою меди и никеля и имеют толщину 0,25—1 мкм; матово-блестящими, которые применяются для отделки инструмента, оптической аппаратуры и т. д.; их часто получают путем придания поверхности основного металла соответствующей шероховатости; черными и цветными, которые наносятся из электролитов специального состава (см. с. 138); черные покрытия применяются при изготовлении оптических приборов, медицинского инструмента и т. д.

Коррозионно-стойкие покрытия могут быть однослойными и двухслойными. Первый вид покрытий — это

покрытия молочные, т. е. менее пористые, которые должны иметь толщину не менее 20 мкм.

Двухслойное коррозионно-стойкое хромовое покрытие применяют в тех случаях, когда необходимо сочетать свойства высокой защитной способности и износостойкости покрытий. Такое покрытие имеет первый слой молочного хрома и второй слой — блестящего, отличающегося высокой твердостью и износостойкостью. Толщина второго слоя составляет 30—50 % общей толщины покрытия.

Износостойкие и антифрикционные покрытия могут быть двух видов: плотные и пористые. Плотные (или обычные — твердые, износостойкие) используются как для повышения износостойкости вновь изготовленных деталей, так и для восстановления деталей, бывших в эксплуатации. При выборе режима износостойкого хромирования учитывают, что области получения наиболее твердых и наиболее износостойких покрытий не совпадают (рис. 5). Толщина износостойких покрытий составляет 3—20 мкм для мерительного и режущего инструмента и 50—60 мкм для матриц, пресс-форм, валов и деталей различных машин. При восстановлении изношенных деталей толщина покрытия может достигать 0,2—0,5 мм.

Пористые покрытия, обладающие высокими антифрикционными свойствами и износостойкостью, применяются для нанесения на гильзы цилиндров двигателей внутреннего горения, поршневые кольца и ц-

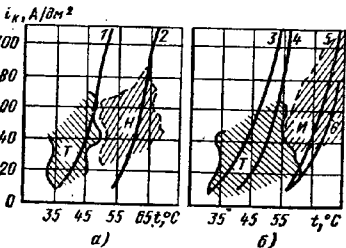


Рис. 5. Области получения твердых (Т) и износостойких (Н) хромовых покрытий при концентрации CrO_3 , г/дм³:
а — 150; б — 250; границы осадков: 1 — серые-блестящие; 2 — блестящие-молочные; 3—4 и 5—6 — переходные зоны различных типов осадков

которые другие детали. Эти покрытия вследствие пористости, выявляемой в покрытии путем анодного травления или предварительного создания на поверхности основного металла специальных углублений, способны удерживать на своей поверхности смазочные масла в условиях воздействия высоких рабочих температур. Толщина пористого хрома на вновь поставляемых деталях 0,04—0,07 мм. При восстановлении изношенных гильз цилиндров толщина покрытия может составлять 0,1—0,3 мм.

Наибольший технико-экономический эффект достигается при применении износостойкого и коррозионно-стойкого хромирования. При оценке технико-экономической эффективности от внедрения процесса хромирования следует учитывать следующие основные факторы:

увеличение срока эксплуатации детали и узла в целом, так как повышение износостойкости одной из деталей способствует более длительной эксплуатации и соплененных с ней деталей;

повышение эксплуатационно-технической надежности изделия;

возможность использования для изготовления деталей дешевых марок стали, когда работоспособность обеспечивается лишь внешним износостойким или коррозионно-стойким слоем;

снижение потерь мощности на преодоление сил трения, так как хром обладает наименее низким коэффициентом трения среди всех металлов, используемых в машиностроении;

сокращение затрат на восстановление деталей при ремонте, так как нанесение в условиях серийного производства нескольких десятков микрометров износостойкого хрома устраивает трудоемкий процесс нанесения сотен микрометров хрома при восстановлении деталей в процессе ремонта.

Предварительные операции. В отличие от обычных методов предварительной обработки поверхности деталей перед нанесением гальванических покрытий, перед хромированием проводят анодную активацию, механическую обработку и термическую обработку.

Анодную активацию проводят при плотности тока 25—40 A/dm^2 либо в специальной ванне, содержащей элек-

2. Режимы анодной активации

Материал детали	Толщина хромового покрытия, мкм	Продолжительность активации, с
Сталь: низкоуглеродистая	0,025	100—120
	0,15	150—200
высокоуглеродистая	0,025	60—100
	0,15	120—150
легированная	0,025	40—60
	0,15	60—100
высоколегированная	0,025	30—40
	0,15	40—60
коррозионно-стойкая	0,025	5—10
	0,15	10—20
Хромоникелевые сплавы	0,025	10—15
	0,15	20—40

тролит хромирования стандартного состава, либо в обычной ванне, в которой затем после переключения полярности штага ведется процесс хромирования. В первом случае температура декапирования должна быть $50 \pm 3^\circ C$; во втором случае — должна соответствовать той температуре, при которой после декапирования будет протекать процесс хромирования. Перед декапированием детали выдерживают в электролите без тока с целью их прогрева. Длительность прогрева зависит от массы отдельной детали и может колебаться от 20—30 с до 1—1,5 мин.

Длительность анодной активации зависит от типа покрываемого материала (марки стали) и толщины насыщенного покрытия (табл. 2).

После активации стальных деталей хромирование следует начинать с «толчка» тока, т. е. в течение первых 1—2 мин плотность тока должна в 2—3 раза превышать нормальную (рекомендуемую) величину плотности тока. Затем плотность тока снижается в течение 1—1,5 мин до нормальной величины. «Толчок» тока обязательен при хромировании высоколегированных и коррозионно-стойких сталей.

При хромировании деталей из чугуна анодная активация проводится либо в течение нескольких секунд, либо вообще не проводится, а заменяется химической активацией в 3—5 %-ном растворе HF. В этом случае температура активации должна быть 18—25 °С, а продолжительность 30—60 с.

При осаждении хрома на детали из меди, медных сплавов или деталей, имеющих медное покрытие, анодная активация не проводится. Медь и медные сплавы активно растворяются в электролите хромирования. Для исключения подтравливания и обеспечения прочного сцепления хромового покрытия с основным металлом детали загружаются в электролит под током.

Необходимость осаждения хрома возникает при получении осадка недостаточной толщины или при продлении хромирования после вынужденного перерыва процесса (например, при перерыве подачи тока). Прочное сцепление нового слоя хрома с ранее осажденным достигается следующим путем: вначале деталь обрабатывают обратным током, т. е. включают на анод, и выдерживают таким образом в течение 30—40 с при плотности тока 20—30 А/дм². Далее переключают деталь на катод и начинают хромирование при возможно более низкой плотности тока (от нуля), которая постепенно увеличивается до нормального значения в течение 3—5 мин.

3. Зависимость характеристик стали 30ХГСН2А (HRC 45—49) от вида обработки перед хромированием при повторном статическом изгибе

Сталь	Вид обработки	Малоцикловая усталость при 10 ⁴ циклах, МПа	Параметр R_a , мкм	Микротвердость	Остаточные напряжения, МПа
Нехромированная	Накатывание роликами	2800	0,05—0,08	750	-1100
	Алмазное выглаживание	2600	0,05—0,08	750	-1000
	Шлифование	2080	0,4—0,6	735	+420
Хромированная	Алмазное выглаживание	2000	0,05—0,08	750	-1000
	Гидроплоскоструйная обработка	1820	3,0—4,0	—	=
	Накатывание роликами	1800	0,05—0,08	750	-1100
	Полирование фетровым кругом	1700	0,2—0,3	720	-1000
	Ротационное поверхностно-пластическое деформирование	1375	0,2—0,3	640	-1000
	Накатывание шариком	1400	0,1—0,15	—	-1000
	Электрополирование	400	0,1—0,25	560	—

Механическая обработка перед хромированием наибольшее значение имеет при осаждении толстых износостойких слоев хрома. В случае, если при шлифовании возникают прижоги или шлифовочные трещины, хромовое покрытие отслаивается в местах прижогов или вообще не осаждается, а при наличии трещин вызывает резкое снижение прочности даже разрушение детали.

С целью исключения прижогов и шлифовочных трещин стальные детали шлифуются при режиме, применяемом для обработки хромированных деталей (см. с. 157). При твердости стали ниже HRC 35 шлифовочные трещины не образуются.

Механическая обработка перед хромированием обеспечивает получение деталей, отвечающих требуемым геометрическим размерам и имеющим необходимую шероховатость поверхности. Последнее имеет особое значение в связи с тем, что при осаждении хрома шероховатость поверхности повышается. Так, при осаждении слоя хрома 0,08—0,1 мм шероховатость повышается в 1,5—2 раза. Увеличение исходной шероховатости поверхности при толщине слоя 0,2 мм снижает твердость покрытия на 10 % и повышает его пористость в несколько раз.

Предварительная механическая обработка в различные упрочняющие операции (алмазное выглаживание, накатывание роликами и т. д.) существенно

влияют на механические свойства стали (табл. 3).

Термическая обработка проводится с целью уменьшения остаточных растягивающих напряжений, возникающих в результате шлифования деталей. Температура термической обработки должна быть равна или несколько ниже (на 10—20 °С) температуры, при которой производится отпуск деталей в процессе термической обработки для получения заданных механических свойств стали.

Отпуск для снятия остаточных напряжений после механической обработки деталей из высокопрочных сталей типа 30ХГСН2А производится при температуре 200—230 °С. Длительность отпуска 2,5—3 ч. Отпуск проводится в воздушной или масляной среде.

При применении методов упрочняющей обработки перед хромированием (алмазное выглаживание, накатывание роликами и т. д.) необходимость в проведении отпуска отпадает.

СТАНДАРТНЫЙ ЭЛЕКТРОЛИТ ХРОМИРОВАНИЯ

Основной электролит для осаждения хрома содержит два компонента: CrO₃ и H₂SO₄. Соотношение по массе между этими компонентами должно быть

100 : 1. При этом соотношении достигается наиболее высокий выход по току.

Обычное содержание CrO₃ 150—300 г/л, хотя известны электролиты, содержащие 60—80 г/л этого основного компонента. Электролит, содержащий 220—250 г/л, называют стандартным (табл. 4).

Разбавленный электролит рекомендуется для получения износостойких покрытий, концентрированный — для защитного декора иных. Наиболее распространён стандартный, или универсальный, электролит.

Приготовление электролита. Электролит для хромирования желательно готовить на диспергированной воде. Применение водопроводной воды допускается при безусловном отсутствии механических загрязнений, следов сорбционных соединений, ионов Cl⁻ и HNO₃.

В ванне, заполненной на 2/3 объема, при температуре 60—70 °С растворяют CrO₃. После этого ванну доливают до установленного уровня и перемешивают. Молекулярная масса CrO₃ 100,01, удельная масса 2,7 г/см³. CrO₃ хорошо растворим в воде, и образующаяся при этом смесь полихромовых кислот имеет высокую электропроводимость. Ниже приведены данные, характеризующие растворы хромовой кислоты.

4. Основные электролиты для хромирования

Тип электролита	Содержание, г/л		Характерные особенности
	H ₂ CrO ₄	H ₂ SO ₄	
Разбавленный	150—175	1,5—1,75	Выход по току 16—18 %. Рассекающая способность и твердость осадков наиболее высоки. Соотношение CrO ₃ : H ₂ SO ₄ меняется быстро. Склонность к образованию шероховатых осадков при осаждении толстых слоев
Стандартный	220—250	2,2—2,5	Выход по току 12—14 %. Рассекающая способность средняя. Широкий рабочий интервал в получении блестящих осадков. Колебания в соотношении CrO ₃ : H ₂ SO ₄ небольшие
Концентрированный	275—300	2,75—3,0	Выход по току 8—10 %. Рассекающая способность наиболее низкая. Электролит устойчив по составу. Осадки получаются блестящими в широком рабочем интервале. Осадки отличаются наиболее низкой твердостью

Растворимость хромового ангидрида в воде следующая:

$t, ^\circ\text{C}$	0	20	40	60	80	100
$\rho, \text{г/л}$	617	625	634	645	658	677

Зависимость электропроводности растворов от концентрации CrO_3 при различных температурах следующая:

$C_{\text{CrO}_3}, \text{г/л}$	100	200	300	400
--------------------------------	-----	-----	-----	-----

$\kappa, \text{См.}, \text{при}$	100	200	300	400
$t, ^\circ\text{C}$	0,315	0,513	0,616	0,667
25	0,389	0,632	0,763	0,818

Температура кипения растворов CrO_3 следующая:

$C_{\text{CrO}_3}, \text{г/л}$	240	450	600
$t, ^\circ\text{C}$	102	110	120

Зависимость плотности растворов CrO_3 при 20°C от ее концентрации приведена ниже.

$\rho, \text{г/см}^3$	1,07	1,11	1,14	1,15	1,16
$C_{\text{CrO}_3}, \text{г/л}$	100	170	200	215	229

$\rho, \text{г/см}^3$	1,17	1,18	1,19	1,20	1,21	1,25	1,27
$C_{\text{CrO}_3}, \text{г/л}$	243	257	272	288	301	360	390

В соответствии с техническими условиями допустимое содержание H_2SO_4 в CrO_3 может быть порядка 0,35–0,4%, поэтому перед введением в электролит расщепленного количества H_2SO_4 необходимо провести анализ раствора, полученного в результате растворения CrO_3 .

Количество вводимой H_2SO_4 (мл) определяют из уравнения

$$x = \frac{(C_1 - C_2)V}{\rho},$$

где C_1 — необходимая концентрация H_2SO_4 , г/л; C_2 — концентрация H_2SO_4 , имеющейся в растворе, г/л; V — объем электролита, л; ρ — плотность H_2SO_4 , г/см³.

Молекулярная масса H_2SO_4 98,09, плотность 1,84 г/см³.

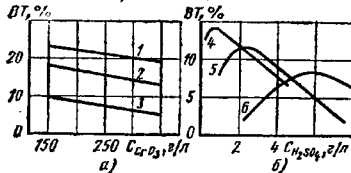


Рис. 6. Влияние концентраций CrO_3 (a) и H_2SO_4 (b) на ВТ:
при i_K (А/дм²): 1 — 120; 2 — 45; 3 — 15;
при C_{CrO_3} (г/л): 4 — 75; 5 — 250; 6 — 500

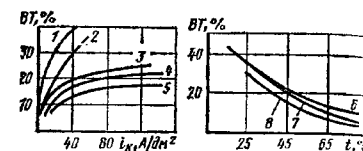


Рис. 7. Влияние плотности тока (a) и температуры (b) на выход хрома по току; при $t, ^\circ\text{C}$: 1 — 25; 2 — 35; 3 — 45; 4 — 55; 5 — 65; при i_K (А/дм²): 6 — 270; 7 — 110; 8 — 45

После добавления H_2SO_4 электролит перемешивают и ведут его проработку с целью накопления некоторого количества соединений Cr^{3+} (1—2% от количества CrO_3). Проработку осуществляют при температуре 45—50°C и соотношениях $S_{\text{Fe}}/\text{S}_{\text{арб}}$, равных 4 : 1—6 : 1. В результате проработки

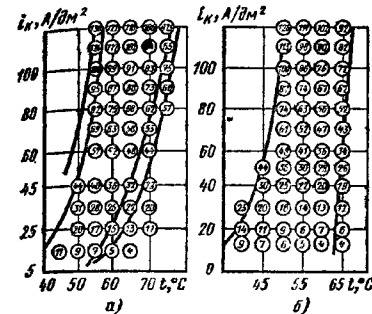


Рис. 8. Скорость осаждения хрома (мкм/ч) при различных режимах электролиза и разбавлении (a) и стандартном (b) электролитах

Рассеивающая способность. По сравнению с электролитами для осаждения других металлов электролит хромирования обладает низкой рассеивающей способностью. Это объясняется двумя причинами: малой зависимостью ΔE от i_K ; увеличением ВТ при возрастании i_K .

Рассеивающая способность увеличивается при увеличении плотности

6. Время (мин) для получения хромового покрытия толщиной 1 мкм

$i_K, \text{А/дм}^2$	ВТ, %							
	8	10	12	14	16	18	20	22
10	16,50	13,20	11,00	9,44	8,25	7,34	6,60	6,00
20	8,25	6,60	5,50	4,71	4,12	3,66	3,30	3,00
25	6,60	5,28	4,40	3,77	3,30	2,94	2,64	2,20
30	5,50	4,40	3,66	3,14	2,75	2,45	2,20	2,00
35	4,70	3,78	3,14	2,70	2,35	2,10	1,89	1,73
40	4,12	3,30	2,74	2,35	2,06	1,83	1,65	1,50
45	3,66	2,93	2,44	2,10	1,83	1,64	1,47	1,33
50	3,30	2,64	2,20	1,87	1,55	1,47	1,32	1,20
55	3,00	2,40	2,00	1,71	1,50	1,34	1,20	1,09
60	2,75	2,20	1,84	1,57	1,38	1,22	1,10	1,00
65	2,54	2,03	1,70	1,45	1,27	1,13	1,02	0,93
70	2,36	1,89	1,58	1,35	1,18	1,05	0,95	0,87

6. Скорость осаждения хрома

$i_K, \text{А/дм}^2$	ВТ, %	Скорость осаждения хрома			
		/ч	г/мин	мкм/ч	мкм/мин
50	16	12,8	0,66232	0,01104	9,5988
	24	15,4	1,19529	0,01992	17,32650
	38	17,9	2,19977	0,03666	31,88070
	48	18,8	2,91836	0,04864	42,29510
	62	20,1	4,03021	0,06717	58,40880
55	16	10,4	1,53614	0,00897	7,79910
	24	14,2	1,10215	0,01837	15,97310
	38	17,0	2,8916	0,0348	31,27770
	48	17,5	2,71656	0,04528	39,37040
	62	19,1	3,82970	0,06383	55,50290

* Масса хр ма, г, яща на 1 А·ч и 1 А·мин.

тока, снижение температуры, снижение концентрации хромового ангидрида; увеличение концентрации трехвалентного хрома и железа (в пределах 9 г/л); она наиболее высока при соотношении $\text{CrO}_3 : \text{H}_2\text{SO}_4 = 100$.

Типовые режимы хромирования. Как правило, режим хромирования для получения покрытий на различных деталях выбирают в сублии тех сочетаний плотности тока и температуры, в которой получаются блестящие осадки: $i_k = 20 \pm 60 \text{ A/dm}^2$, $t = 40 \pm 60^\circ\text{C}$.

Увеличение $i_k > 60 \text{ A/dm}^2$ при осаждении покрытий толщиной более 40–60 мкм возможно в стандартном электролите при применении нестационарных режимов электролиза (см. с. 143). Увеличение температуры необходимо при получении беспористых молочных осадков, для чего процесс ведут при $i_k = 25 \pm 35 \text{ A/dm}^2$ и $t = 65 \pm 70^\circ\text{C}$.

Точность поддержания плотности тока должна составлять $\pm 5\%$ заданной величины. Точность поддержания температуры должна быть в пределах $\pm 2^\circ\text{C}$.

Аноды. При хромировании применяют нерастворимые аноды, так как использование для этой цели хрома невозможно по трем причинам. Главная из них — легкость анодного растворения хрома; анодный выход по току превышает катодный примерно в 8 раз. Другие причины — хрупкость металлического хрома и высокая стоимость изготовления массивных электродов.

Наиболее подходящий материал для изготовления анодов — свинец, на поверхности которого облегчает процесс окисления Cr^{3+} в Cr^6 . Одновременно на поверхности анода идет разряд ионов OH^- и выделение O_2 . В процессе электролиза на поверхности анодов образуется темно-коричневая пленка PbO_2 , которая обеспечивает более однородное состояние поверхности анодов и улучшает их работу.

Однако, помимо этого, на анодах, особенно при длительном их пребывании в электролите без тока, образуется желтый слой PbCrO_4 , оказыvающий значительное сопротивление протеканию тока. Периодическое удаление этого слоя осуществляют крацеванием с предварительной обработкой анодов в растворе, содержащем 100 г/л NaOH и 100 г/л K_2CO_3 . Щелочную обработку,

разрыхляющую слой PbCrO_4 , ведут при температуре 70 – 80°C и $i_a = 10 + 30 \text{ A/dm}^2$. Вместо щелочной обработки возможно химическое травление в 5%ном растворе HCl .

При длительном перерыве электролиза аноды должны быть извлечены из электролита и помещены в воду.

Наиболее распространены аноды, изготовленные из сплава свинца с 6–8% Sb или 6–8% Sn. Такие аноды более химически стойки и прочны, чем аноды из чистого свинца. Рекомендуется также применять аноды, содержащие одновременно Sb и Sn в количествах, указанных выше, а также аноды, содержащие помимо Sb и Sn еще 2% Ag.

За рубежом при хромировании широко используются аноды, изготовленные из платинированной титановой сетки.

СТРУКТУРА И СВОЙСТВА ЭЛЕКТРОСАЖДЕННОГО ХРОМА

Структура. Электролитический хром отличается мелкокристаллической структурой. Наименьшими размерами обладают кристаллы блестящего хрома 0,001–0,01 мкм. Кристаллы матового и молочного хрома имеют размеры кристаллов 0,1–10 мкм. Осадки хрома характеризуются слоистостью и образованием на поверхности характерных нарости — микросферонов (рис. 10), которые наблюдаются при осаждении достаточно толстых покрытий (более 30–50 мкм).

Известны две основные структурные модификации электротравленного хрома:

α -хром — объемно-центрированный куб с параметром элементарной ячейки $a = 2,878 \text{ \AA}$ (0,2878 нм) и плотностью $7,1 \text{ g/cm}^3$;

β -хром — гексагональная решетка с параметрами $a = 2,717 \text{ \AA}$ (0,2717 нм) и $c = 4,419 \text{ \AA}$ (0,4419 нм), плотностью $6,08 \text{ g/cm}^3$. Помимо этих двух модификаций обнаружена также модификация γ -Cr с элементарной ячейкой типа α -Mg, содержащей 58 атомов в элементарной ячейке [$a = 8,717 \text{ \AA}$ (0,8717 нм)], а также хром, имеющий кубическую гранецентрированную решетку.

Структура α -Cr является стабильной, характерной для осадков блестящего

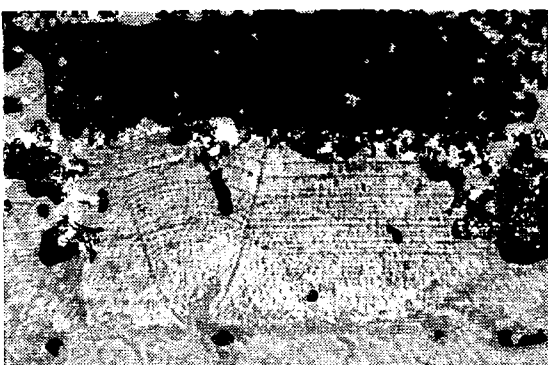


Рис. 10. Слоистая структура хромового покрытия и микросферон, выходящий на поверхность ($\times 500$)

типа, т. е. осадков, полученных при высокой температуре.

Структура β -Cr является метастабильной, характерной для осадков, полученных при низкой температуре, т. е. для матовых осадков. Гексагональный хром представляет собой фазу внедрения водорода в хром или гидрида хрома состава от CrH до CrH_2 . Гексагональный хром самопроизвольно переходит в стабильную кубическую структуру (α -Cr), что вызывает сокращение объема осадка примерно на 15–16%, возникновение внутренних напряжений растяжения и растрескивание осадка.

Содержание газов. Электролитически осажденный хром содержит (масс. доля, %) в среднем 0,04–0,05 H_2 и до 0,2–0,5 O_2 , а также незначительное количество N_2 . Примерное содержание H_2 (масс. доля, %) в осадках, полученных при различных температурах ($^\circ\text{C}$): 32–0,07; 52–0,06, 65–0,03. Водород может быть в различной форме: в составе гидрида, в адсорбированном состоянии, в растворенном состоянии. Кислород попадает в осадок при захвате частиц катодной пленки, содержащих Cr_2O_3 или другие кислородсодержащие соединения, что происходит при растирании осадка. Полагается, что включение в осадок N_2 является основной причиной хрупкости хромовых покрытий.

Включение газов в осадок в значительной мере зависит от температуры электролиза. При повышении температуры в интервале 40–70 $^\circ\text{C}$ содержание газов снижается примерно в 2 раза. Увеличение плотности тока приводит к некоторому увеличению содержания газов в хроме.

Термическая обработка после хромирования приводит к удалению водорода из хромового покрытия (рис. 11), причем основная масса водорода выделяется при температуре, близкой к 200 $^\circ\text{C}$.

Внутренние напряжения. В процессе электроосаждения в хромовых покрытиях возникают большие растяжения. Причина возникновения этих напряжений — структурные превращения, вызывающие сокращение объема осадка при самопроизвольном переходе нестабильной

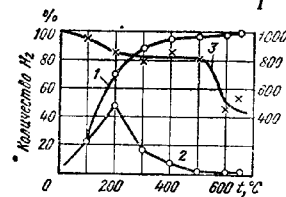


Рис. 11. Выделение водорода из покрытия и изменение микротвердости (T):
1 — общее количество H_2 ; 2 — % от общего количества H_2 ; 3 — микротвердость

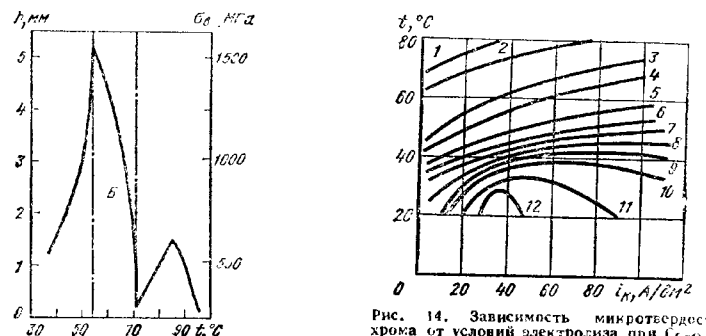


Рис. 12. Влияние температуры на прогиб катода (δ_0) длиной 100 мм и внутреннее напряжение в хроме:
Б — зона блестящих покрытий

бильной гексагональной структуры в объемно-центрированную кубическую.

В наибольшей степени на величину $\sigma_{\text{вн}}$ оказывает влияние температура электролиза (рис. 12 и 13); в интервале получения блестящих и молочных осадков внутренние напряжения $\sigma_{\text{вн}}$ снижаются. При каждой температуре электролиза минимум $\sigma_{\text{вн}}$ в осадках обеспечивается при определенной плотности тока, A/dm^2 : при 50°C — 30, при 55°C — 40. Внутренние напряжения незначительно снижаются при увеличении концентрации CrO_3 .

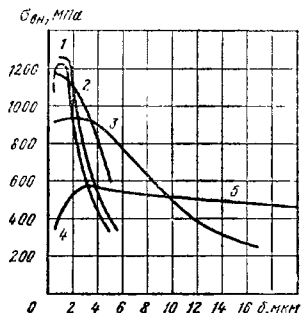


Рис. 13. Зависимость средних внутренних напряжений в хроме от толщины покрытия; при i_k (A/dm^2): 1, 4 — 15; 2 — 20; 3, 5 — 30; при t ($^\circ\text{C}$): 1 — 40; 2 — 50; 3 — 55; 4 — 32; 5 — 70

Рис. 14. Зависимость микротвердости хрома от условий электролиза при t ($^\circ\text{C}$) = 250; CrO_3 = 250 г/л; CH_3SO_4 = 2,5 г/л;

1 — 450; 2 — 570; 3 — 950; 4 — 1000; 5 — 1100; 6 — 1200; 7 — 1200; 8 — 1000; 9 — 850; 10 — 750; 11 — 700; 12 — 670

При t , близкой к 90°C , возможно получение хромовых покрытий, не имеющих $\sigma_{\text{вн}}$.

Микротвердость. Твердость покрытий определяется режимом электролиза (рис. 14). При увеличении температуры электролиза твердость снижается, при увеличении плотности тока максимум микротвердости наблюдается при плотности, близкой к $60 \text{ A}/\text{dm}^2$. При $t = 35 \pm 45^\circ\text{C}$ твердость покрытий, осажденных из разбавленного (150 г/л) и из стандартного электролитов (250 г/л), практически не отличается. При температуре $65 \pm 75^\circ\text{C}$ твердость осадков из разбавленного электролита выше на 10—20 %. Термическая обработка после хромирования приводит к снижению твердости и к увеличению размера зерен покрытия (рис. 15).

Износостойкость. Наиболее износостойкие покрытия, как правило, нааются при режимах электролиза, обеспечивающих получение покрытий на границе областей осаждения блестящих и молочных покрытий (см. рис. 5). Однако во многих случаях установлено, что с увеличением твердости износостойкость осадков растет. Термическая обработка, осуществляемая после хромирования, влияет на износостойкость покрытий. Наиболее высокой износостойкостью обладают покрытия, термосработанные в интервале 150—200 °C. Термическая обработка при более высокой t вызывает существен-

ное снижение износостойкости. Осадки, полученные при $t = 70^\circ\text{C}$ и более, практически не изменяют износостойкость в результате термической обработки.

Пористость. Для хромовых покрытий характерна пористость, возникающая в результате растрескивания покрытий под действием $\sigma_{\text{вн}}$. Появление пористости в виде сетки трещин начинается по достижении определенной толщины покрытия (табл. 7).

Пористая структура осадков хрома, полученных при различной температуре хромирования, определяет скорость его разрушения СР в 1 н. HCl при $t = 40^\circ\text{C}$:

t , $^\circ\text{C}$	$\sigma_{\text{вн}}$, $\text{г}/\text{дм}^2$ за $10' \text{ мин}$	30	40	50
40	1,0384	0,9520	0,6112	0,1104

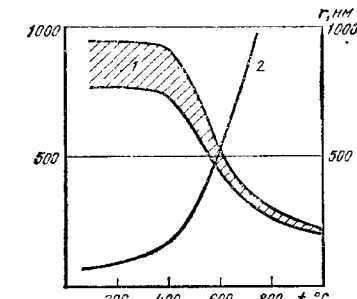


Рис. 15. Зависимость микротвердости хрома (1) и величины его зерна r (2) от температуры термообработки

t , $^\circ\text{C}$	60	70
60	0,1104	0,0016

основного металла; трещин в хромовом покрытии, являющихся концентраторами напряжений и паводорожинами основного металла.

Сопротивление усталости в результате хромирования может снижаться на 20—30 %, а иногда и значительно больше. Степень снижения сопротивления усталости зависит от свойств стали, толщины слоя хрома, температуры электролиза и характера нагружения испытуемых образцов (табл. 9, 10).

Из рис. 16 видно, что с увеличением толщины слоя хрома предел выносливости σ_{-1} снижается. Испытания проведены при ротационном изгибе.

После хромирования σ_{-1} не имеет четко выраженной зависимости от $\sigma_{\text{вн}}$ и для всех сталей с $\sigma_{\text{вн}} > 60 \text{ МПа}$

t , $^\circ\text{C}$	i_k , A/dm^2	Максимальная толщина беспористого покрытия $\delta_{\text{бесп.}}$, $\mu\text{мм}$	
		1	2
40	16	2,5	
	3	1,5	
50	10		1,2
	30		3
	64		4
55	30	30	
	40	10	
	64	14	
65	8	1,5	

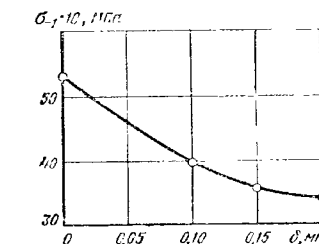


Рис. 16. Влияние толщины хромового покрытия на предел выносливости стали 30ХГСА (IIRC 84—38). Значения σ_{-1} соответствуют 300, 400, 500 МПа

6. Пористость хромового покрытия в зависимости от содержания в электролите H_2SO_4 , плотности тока и температуры

Отношение CrO_3/H_2SO_4	$i_k, A/dm^2$	Число площадок на 1 mm^2 поверхности при температуре, °C							
		40	50	60	65	40	50	60	65
$C_{CrO_3} = 150 \text{ г/л}$								$C_{CrO_3} = 250 \text{ г/л}$	
80	30	4400	1800	890	170	1800	890	710	80
	40	4000	1100	280	—	3500	1000	400	30
	50	4400	1800	88	35	1800	710	160	14
	60	—	1600	93	45	2500	1100	130	17
100	70	—	1800	58	23	—	—	40	12
	30	2900	1800	250	112	2000	630	55	8
	40	3200	1400	160	18	2200	900	40	9
	50	3200	1100	63	18	1800	800	28	12
	60	2800	1300	25	14	2000	710	22	12
	70	—	1100	25	12	1800	1000	28	6
120	30	—	1300	320 *	—	500	790	25	8
	40	3200	790	105 *	22	1800	560	25	5
	50	2000	710	55 *	7	1800	790	12	8
	60	2500	660	74 *	10	1400	710	16	5
	70	—	890	—	7	1600	450	12	5
150	30	—	630	63	8	1600	400	—	—
	40	2200	710	23	1	1400	450	—	—
	50	2000	830	31	1	1400	280	8	Площадки более 1 mm^2
	60	2000	795	22	1	1400	450	5	Площадки более 1 mm^2
	70	1700	890	17	1	1500	445	5	Площадки более 1 mm^2

Данные для $t = 55^\circ C$

составляет 280—370 МПа. Ввиду того, что при изготовлении ответственных деталей, подвергающихся хромированию, низколегированные стали не применяют, графики на рис. 17 можно использовать для оценки снижения σ_{-1} для стали любой марки, хромированной

ной при $50^\circ C$ и плотности тока 50 A/dm^2 на толщину слоя 0,1 мм.

Наводороживание стали при хромировании. Так как основная часть тока при хромировании расходуется на выделение водорода, происходит наводороживание стальной основы, вредно влия-

9. Влияние хромового покрытия на предел выносливости σ_{-1} стали ($\delta = 0,1 \text{ mm}$, $t = 50^\circ C$, $i_k = 50 \text{ A/dm}^2$)

Марка стали	$\sigma_B, \text{МПа}$	HRC	$\sigma_{-1}, \text{МПа}$	
			некромированный	хромированный
20Х11ЗА	2000—2050	56—57	870	320
30ХГС2А	1600—1800	45—49	780	360
30ХГС2А	1100—1300	34—38	640	320
30ХГСА	1100—1300	45—49	560	350
65Г	1400—1460	41—43	630	340
40ХМНА	1050—1100	34—35	540	280

ющее на ее физико-механические свойства. Наиболее активно H_2 внедряется в сталь в начальный период хромирования, когда еще не образовался сплошной слой хрома.

Решающее влияние на наводороживание оказывает температура электролиза. Повышение температуры от 55 до 75 °C увеличивает наводороживание при одном и том же времени хромирования в 6—10 раз. Плотность тока практически не влияет на наводороживание при 55 °C, однако при 75 °C увеличение i_k от 30 до 90 A/dm^2 снижает наводороживание.

При температуре 65 °C плотность тока оказывает на наводороживание меньшее влияние, чем при 75 °C.

Такое влияние t электролиза на наводороживание стали объясняется двумя причинами: изменением структуры хромового покрытия, выполняющего барьерные функции и препятствующего диффузии H_2 в сталь, а также изменением коэффициента диффузии водорода D , значения которого приведены ниже для стали 30ХГСА.

$t, ^\circ C$	$D \cdot 10^{-6}, \text{ см}^2/\text{с}$
45	0,66
55	0,74
65	0,46
75	1,50

На наводороживание стали в процессе хромирования существенное влияние оказывает механическая обработка, предшествующая хромированию. Чем более грубо обработана поверхность, тем легче происходит наводороживание стали.

10. Предел выносливости σ_{-1} хромированных образцов ($HRC 34—38$, $\delta = 0,2 \text{ mm}$, $t = 60^\circ C$, $i_k = 50 \text{ A/dm}^2$)

Марка стали	Характеристика образцов	σ_{-1}	
		при изгибе	при кручении
30ХГСА	Некромированные Хромированные	543 340	100 63
40ХМНА	Некромированные Хромированные	510 250	100 49

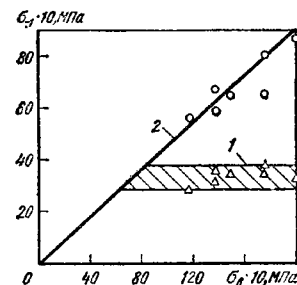


Рис. 17. Пределы выносливости стали с покрытием (1) и без покрытия хромом (2) в зависимости от предела прочности на разрыв

ЭЛЕКТРОЛЮТИ ХРОМИРОВАНИЯ

Фторидные электролиты F^- содержащие ионы, используемые в электролитах холодного хромирования, в том числе для осаждения покрытий в колокольных и барабанных установках. Однако ряд электролитов этого типа широко используется для изостойкого хромирования.

По сравнению с электролитами, содержащими добавку SO_4^{2-} , фторидные электролиты имеют следующие преимущества:

возможность ведения процесса при комнатной температуре;
лучшую рассеивающую и кроющую способность;

меньшую критическую плотность тока, т. е. возможность вести осаждение хрома при очень низкой i_k (0,5—2 A/dm^2);

более высокий выход по току.

ХРОМИРОВАНИЕ

11. Состав электролитов (г/л) с F⁻-содержащими анионами и режимы работы

Компоненты электролита и режим	№ электролита								
	1	2	3	4	5	6	7	8	9
CrO ₃	250	250	250	250	200	100	250	200	60
HF	0,8—0,6	—	—	—	—	—	—	—	—
KF	—	3,5	—	—	—	—	—	—	—
NH ₄ F	—	—	3—8	—	—	—	—	—	—
H ₂ SIF ₆	—	—	—	5—10	—	—	4	—	—
N ₂ SIF ₆	—	—	—	—	6	—	—	—	—
HBF ₄	—	—	—	—	—	—	—	—	—
N ₂ SO ₄	—	—	—	—	1	—	—	—	—
H ₂ SO ₄	—	—	—	—	3	—	—	—	—
Cr(SO ₄) ₂	—	—	—	—	—	2,5	—	—	—
t, °C	20—25	20—22	15—25	18—25	16—35	18—22	25—30	23—25	18—23
i _K , A/dm ²	2,5—6	—5	8—12	5—16	6—12	5—11	5—7	5—6	—9

Недостатки фторидных электролитов следующие: более высокая агрессивность и формирование на анодах пленки фторида свинца, обладающей высоким электрическим сопротивлением.

В связи с указанной особенностью работы анодов при осаждении хрома из фторидных электролитов применяются только аноды, содержащие Sb или лучше Sn.

Осадки хрома, получаемые из фторидных электролитов, имеют более низкую твердость и более пластичны, чем осадки, полученные из стандартного электролита. Более низки силь в хромовых покрытиях.

В табл. 11 приведены различные составы электролитов с добавками F⁻ или других фторидсодержащих анионов.

Фторидные электролиты могут работать и при более высокой температуре, чем указано в табл. 11. Возможна хромировка из электролитов, содержащих 4—6 г/л одного из следующих соединений: K₂TiF₆, K₂ZrF₆ и Na₃AlF₆, способных быть катализаторами электроосаждения хрома.

Саморегулирующиеся электролиты. Принцип действия электролитов — автоматическое поддержание постоянного соотношения между концентрациями CrO₃ и постороннего аниона, которое обеспечивается тем, что указанные анионы вводят в электролит в составе ограниченно растворимых солей. Эти соли вводят в электролит в количествах, превышающих их рас-

творимость. Поэтому имеющийся осадок на дне (вблизи соли) всегда находится в равновесии с ионами, перешедшими в раствор.

В качестве солей-катализаторов, обеспечивающих присутствие в растворе посторонних анионов, используют SrSO₄, K₂SiF₆ и CaF₂. Растворимость этих солей линейно возрастает в температурном интервале 30—80 °C. С увеличением концентрации CrO₃ максимум растворимости солей отвечает концентрации 250—300 г/л.

Преимущества саморегулирующихся электролитов следующие: стабильность состава, так как концентрация постороннего аниона поддерживается автоматически; более высокая СП по сравнению со стандартным электролитом; практическая независимость ВТ от i_K (выше 40 A/dm²) и t (выше 50 °C); широкий интервал изменения t и i_K, обеспечивающий получение блестящих осадков; более высокая РС по сравнению со стандартным электролитом.

Недостаток саморегулирующихся электролитов — их более высокая агрессивность. Аноды из Pb—Sn сплава должны содержать 5—10 % Sn.

Рекомендуются три типа саморегулирующихся электролитов (табл. 12).

Перед пуском саморегулирующиеся электролиты в эксплуатацию следует его прогревать при рабочей t в течение 2—3 ч с одновременным перемешиванием раствора. Это необходимо для насыщения электролита посторонними анионами.

Электролиты хромирования

12. Состав саморегулирующихся электролитов хромирования (г/л) в режимы работы

Компоненты электролита и режим	№ электролита		
	1	2	3
CrO ₃	250—300	230—250	230—250
SrSO ₄	5,5—6,5	5,5—6,5	18—20
K ₂ SiF ₆	18—20	—	8—10
CaF ₂	—	—	8—10
t, °C	35—65	40—50	50—70
i _K , A/dm ²	40—100	40—80	30—80
ВТ, %	17—18	24—25	29—30

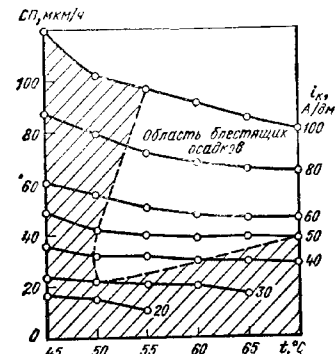


Рис. 18. Скорость осаждения хрома из саморегулирующегося электролита

Наиболее широко применяется в практике электролит № 1 (сульфатно-кремнисто-фторидный). На рис. 18 приведена диаграмма, иллюстрирующая область получения блестящих осадков и скорость осаждения покрытий при различных режимах электролиза. Максимальная твердость покрытий, осаждаемых при 60 °C, получается при $i_K = 55 \text{ A/dm}^2$, осаждаемых при 50 °C — при $i_K = 45 \text{ A/dm}^2$.

Электролит рекомендуется для получения твердых износостойких покрытий при размерном хромировании.

Электролит имеет следующие характеристики неполадки:

при снижении t ниже 50 °C наблюдается появление шероховатости покрытия;

при уменьшении концентрации CrO₃ ниже 200 г/л или при увеличении выше 350 г/л осадки становятся матовыми;

при недостатке в электролите K₂SiF₆ осадки получаются матовыми;

при недостатке в электролите SrSO₄ на поверхности покрытий появляются мелкие черные точки.

На рис. 19 приведена схема, иллюстрирующая влияние различных факторов на внешний вид осадков.

Электролит № 3 (фторидно-кремнисто-фторидный) рекомендуется применять для скоростного хромирования. Осадки хрома получаются слабо-голубого цвета. Электролит обеспечивает получение прочного склеивания покрытия с высококолированными и коррозионно-стойкими сталью и специальными сплавами. Состав саморегулирующегося

электролита для защитно-декоративных покрытий следующий (г/л):

CrO₃ 200—400
Лимеда X-80 15
Режим осаждения: $i_K = 2 \pm 0.8 \text{ A/dm}^2$; $t = 20 \pm 60 \text{ °C}$; ВТ = 20 ± 23 %.

Рекомендуются также электролиты с добавками ДХТИ-10, ДХТИ-11 или ДХТИ-хром-11 в количестве 7—10 г/л.

Сверхсульфатный электролит. Этот электролит имеет следующий состав (г/л):

CrO₃ 250—300
H₂SO₄ (в пересчете на Cr₂O₃) 8—10
Cr⁴⁺ (в пересчете на Cr₂O₃) 20—22
Режим осаждения: $t \geq 50 \pm 5 \text{ °C}$; $i_K \geq 50 \pm 60 \text{ A/dm}^2$; ВТ = 22 ± 24 % при оптимальных условиях электролиза.

Состав этого электролита близок к составу катодной пленки (см. с. 121).

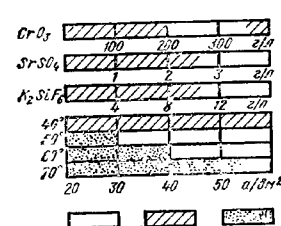


Рис. 19. Зависимость внешнего вида покрытия от изменения условий электролиза

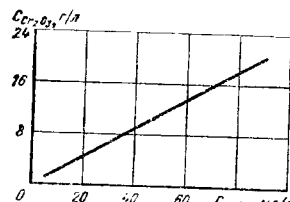


Рис. 20. Зависимость концентрации Cr₂O₃ от концентрации введенной в электролит H₂O₂.

Электролит рекомендуется для скоростного осаждения толстых блестящих хромовых покрытий (до 1 мм). Для получения в электролите требуемого количества Cr³⁺ после растворения Cr₂O₃ в электролите вводят H₂O₂. При этом для получения концентрации Cr₂O₃ 20 г/л необходимо ввести 80–90 г/л H₂O₂ (30%). Во избежание разбрызгивания и разогрева электролита H₂O₂ вводят небольшими порциями в разные участки поверхности электролита. На рис. 20 приведена зависимость концентрации Cr₂O₃ от количества введенной в электролит H₂O₂.

Для получения необходимой концентрации Cr₂O₃ в электролите могут быть введены и некоторые органические соединения, например, сахар или глюкоза в количестве 4–5 г/л.

При износостойком хромировании в сверхсульфатном электролите возможно применять высокие плотности тока (до 300 А/дм²). Рекомендуемые сочетания температуры и плотности приведены ниже:

<i>t</i> , °C	50	55	60	65	70	75
<i>i</i> , А/дм ²	50–80	50–90	50–200	60–250	60–280	100–300

В табл. 13 даны скорости осаждения хромовых покрытий из сверхсульфатного электролита при различных плотностях тока и температуре.

<i>t</i> , °C	Плотность тока, А/дм ²												
	50	60	80	100	120	140	160	180	200	220	240	260	280
50	36	50	70	—	—	—	—	—	—	—	—	—	—
55	32	44	60	79	—	—	—	—	—	—	—	—	—
60	36	38	50	66	81	99	116	132	150	—	—	—	—
65	—	28	44	60	76	92	102	125	141	157	173	180	—
70	—	25	40	55	70	87	100	118	124	150	166	181	196
75	—	—	—	49	62	75	89	102	116	129	143	156	169

13. Скорость осаждения хромовых покрытий (мкм/ч) из сверхсульфатного электролита

Высокопрочные стали типа 30ХГСНА рекомендуется хромировать при 60 °C и плотности тока 180–200 А/дм². Этот режим оказывает наименьшее влияние на прочность стали.

Сверхсульфатный электролит имеет низкую РС. Его рекомендуют применять только для ионизации покрытий на цилиндрические детали (штоки, вальцы, цилиндры и т. д.) при использовании специальных подвесных приспособлений, обеспечивающих концентрическое расположение поверхности детали и анода.

Рекомендуемый состав анодов следующий, %:

Pb	:	79–86
Sb	:	4–6
Sn	:	10–15

Стабильность поддержания заданной концентрации Cr³⁺ обеспечивается применением $i_K > 100$ А/дм² и соотношением $S_H : S_A$ в пределах 10–20. Возможно ведение хромирования и при меньшем соотношении указанных поверхностей, но при этом необходима периодическая корректировка электролита H₂O₂ или специальной проработкой.

Содержание Cr₂O₃ не должно становиться слишком или слишком 30 г/л и уменьшаться менее чем до 8 г/л.

Тетрахроматный электролит. Электролит предназначен исключительно для получения защитно-декоративных покрытий. Он обладает высокой распыляющей способностью. Выход хрома по току составляет >30 %. Основное преимущество электролита — возможность ведения хромирования при ком-

Электролиты хромирования

ногого блеска, характерного для обычных хромовых покрытий. Наиболее легко полируются покрытия толщиной до 10 мкм.

Хромовые покрытия, полученные из тетрахроматного электролита, практически беспористы. Они рекомендуются взамен трехслойных Cu-Ni-Cr защитно-декоративных покрытий. Толщина такого однослоистого блестящего покрытия должна быть не менее 20 мкм.

Покрытия, полученные из тетрахроматного электролита, обладают высокими защитными свойствами и сохраняют декоративность в морской атмосфере и в тропических условиях.

Высокая рассеивающая способность тетрахроматного электролита способствует его успешному применению для покрытия пресс-форм для изготовления деталей из пластических масс.

Хромовые покрытия из тетрахроматного электролита толщиной 5–10 мкм могут быть применены для местной защиты поверхности стальных деталей при их газовой цементации или нитроцементации.

Состав тетрахроматного электролита следующий (г/л):

Cr ₂ O ₃	:	350–400
NaOH	:	40–60
H ₂ SO ₄	(в пересчете на Cr ₂ O ₃)	2,5–2,7 10–15

В некоторых случаях рекомендуется в электролите добавлять 0,5–10 г/л вольфраматов или солей магния, которые улучшают полируемость покрытий.

Рекомендуемая плотность тока должна быть в интервале 10–80 А/дм². Наиболее легко полируются на обычных волнистых кругах покрытия, полученные при 15–25 А/дм².

Приготовление электролита ведут следующим образом. Вначале растворяют Cr₂O₃. Затем в электролит вводят NaOH, предварительно растворенный в небольшом количестве воды. При добавлении концентрированного раствора NaOH происходит сильное разогревание электролита. Поэтому необходимо введение NaOH осуществлять небольшими порциями при интенсивном охлаждении ванны. После полного охлаждения электролита в него вводят рассчитанное количество H₂SO₄.

Необходимое количество Cr³⁺ образуется в электролите при добавлении

в него 1–2 г/л сахара или глюкозы. Возможно это сделать и путем введения H₂O₂ (см. с. 136).

Хромирование в тетрахроматном электролите ведут в ваннах, изготовленных из низкоуглеродистых сталей. Не допускается эксплуатация тетрахроматного электролита в ваннах, футерованных сплавом, так как Pb корродирует в этом электролите. Аноды используют из Pb-Sb сплава. Весьма важен контроль за работой источника тока. Нестабильность работы выпрямителя является основной причиной получения некачественных покрытий.

На рис. 21 приведены данные, характеризующие зависимость выхода хрома по току от условий электролиза.

К электролитам тетрахроматного типа относится электролит следующего состава (г/л):

Cr ₂ O ₃	:	400–420
CaCO ₃	:	67–75
CoSO ₄	:	15–20
Режим обжигания: $i_K =$		
= 150–400 А/дм ² ; $t = 18 \pm 2^\circ\text{C}$; BT =		
= 40 ± 2 %		

Микротвердость покрытий 900–1200.

Специфические неполадки в работе тетрахроматного электролита приведены в табл. 14.

Электролиты с добавками катионов цинка и кадмия. Электролиты, содержащие в своем составе катионы Cd²⁺ и Zn²⁺, вводимые в раствор путем аподного травления соответствующих металлов, применяются для ионизации износостойких покрытий на детали, работающие в условиях воздействия сред повышенной агрессивности.

Состав хром-кадмевого электролита следующий (г/л):

Cr ₂ O ₃	:	230–260
H ₂ SO ₄	:	1,3–1,5
K ₂ Cr ₂ O ₇	:	7,5–10
Cd (металлический)	:	13–17
Na ₂ SiF ₆	:	5–7,5
Режим обжигания: $i_K =$		
= 45 ± 60 А/дм ² ; $t = 55 \pm 65^\circ\text{C}$, BT =		
= 20 ± 24 %. При $i_K = 45 \pm 60$ А/дм ² СН =		
= 60 мкм/ч; аноды — сплав Pb-Sn		

Хромовое покрытие содержит 0,3–0,5 % Cd.

Хром-цинковый электролит имеет следующий состав (г/л):

Cr ₂ O ₃	:	140–160
H ₂ SO ₄	:	4–5
Zn (металлический)	:	5,5–6,5

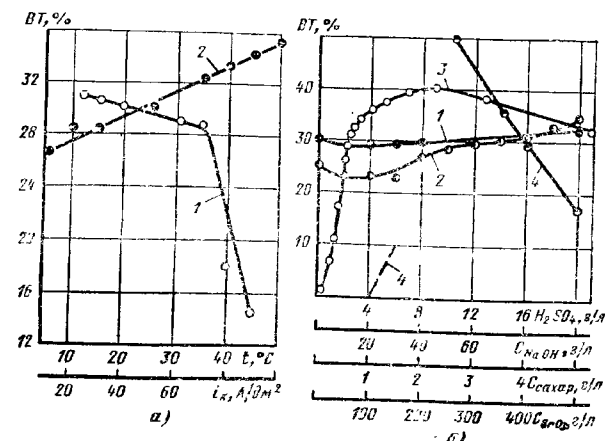


Рис. 21. Зависимость выхода хрома по току в тетракроматном электролите от изменения $a - i$ (1) и i_K (2); б — концентрации: 1 — NaOH ; 2 — сахара; 3 — H_2SO_4 ; 4 — CrO_3

$$\begin{aligned} \text{Режим осаждения: } & R = \\ = 50 \div 70 \text{ A/dm}^2; & t = 40 \div 50^\circ\text{C}; \quad B_T = \\ = 20 \div 25 \%. & \end{aligned}$$

Температура электролиза оказывает решающее влияние на выход по току и свойства получаемых покрытий. Плотность тока незначительно влияет на эти показатели процесса. В покрытии содержится Zn в количестве 0,1—0,2 %.

В хром-кадмийевый и хром-цинковый электролиты Cd и Zn вводят путем

14. Неполадки при осаждении хрома из тетрахроматного электролита

Неполадки	Причины неполадок
Образование подгаров на краях деталей	Высокая плотность тока, высокая концентрация H_2SO_4 , низкая концентрация CrO_4^{2-} при высокой концентрации $NaOH$, высокая концентрация Cr^{3+}
Осаждение покрытий темно-серого цвета	Низкая концентрация H_2SO_4 (ниже 1,5 г/л), высокое содержание Cr^{3+}
Хром твердый и плохо поддается полированию	Высокая температура электролиза (30—40 °C), чрезмерно высокая или чрезмерно низкая концентрация CrO_4^{2-}
Низкая скорость осаждения покрытия	Низкая концентрация H_2SO_4 , слишком высокая температура, слишком высокая или низкая концентрация $NaOH$ при высокой концентрации CrO_4^{2-}

Составы некоторых электролитов для черного хромирования приведены в табл. 15.

Широкое применение имеют электролиты № 5 и 8.

Черные хромовые покрытия практически не содержат в своем составе металлического хрома. Они представляют собой композицию, в которую входят оксиды и гидроксиды Cr^{2+} и Cr^{3+} , а также гидрид хрома.

Одним из наиболее эффективных электролитов для черного хромирования является разработанный в СССР электролит Метахром, содержащий 450 г/л CrO₃ и две специальные добавки: «А» в количестве 3 г/л и «Б» — 30 г/л. При приготовлении электролита добавка «А» предварительно растворяется при 60—70°C в небольшом количестве воды. Электролит содержит также препарат Хромии в количестве 5 г/л.

Метахром обладает наиболее высокой технологичностью и стабильностью по сравнению с другими известными электролитами. Оптимальная температура электролиза 20–30 °С, плотность тока 15 А/дм². Возможен перегрев электролита до 50–60 °С. Плотность тока может варьироваться в интервале 5–100 А/дм².

Покрытия, полученные из электро-
лита Метахром, обладают низким коэф-
фициентом отражения света: 2 % в ви-
димой части спектра и <1 % — в ин-
фракрасной.

Электролиты на основе трехвалентных соединений хрома. Электролиты

на основе Cr^{3+} имеют весьма ограниченное практическое применение, несмотря на то, что при осаждении хрома из таких электролитов электрохимический эквивалент хрома в 2 раза больше, чем при осаждении из раствора H_2CrO_4 .

Электролиты на основе соединений Si^{3+} недостаточно стабильны и позволяют получать покрытия толщиной более нескольких микрометров.

Составы электролитов приведены в табл. 16.

Электролиты на основе соединений Cr^{3+} используются для нанесения покрытий без ванны способом ионирования, с применением специальных тампонов, кистей и других приспособлений, которые прямо контактируют с поверхностью покрываемой детали.

Одним из электролитов такого рода является электролит, имеющий следующий состав (г/л):

$[\text{Cr}(\text{C}_2\text{O}_4)_3 \cdot \text{NH}_4]_3$ в растворе
 CH_3OH Режим осаждения: $i_k = 700$
 $= 150 \div 400 \text{ А/дм}^2$; $BT = 20 \div 50 \%$; на
 прижение 15-18 В.

Другой электролит, рекомендуемый для указанной цели, имеет следующий состав (г/л):

$(\text{CH}_3\text{COO})_2\text{Cr}$	266—280
HCOONH_4	375—460
цианокислый калий-натрий	13—17
Режим осаждения:	
$= 270 \pm 300 \text{ А} \cdot \text{dm}^2$, $t = 45^\circ\text{C}$, ВТ = 25 %	
расход электролита 0,28 л/мин; РН 5—7.	

15. Составы электролитов (г/л) для черного хромирования и режимы осаждения

Компоненти н електроліту и режим	№ з електроліту							
	1	2	3	4	5	6	7	8
CrO_3	250	200	250—400	250	150—400	250	250	200—400
CH_3COOH (99 %, інер.)	—	6,5	5	—	—	—	—	—
NH_4VO_3	—	20	—	—	15—75	—	—	—
$\text{Fe}_2(\text{C}_2\text{O}_4)_3 \cdot 5\text{H}_2\text{O}$	—	—	—	—	—	—	2,5	—
$(\text{NH}_4)_2\text{CO}$	—	—	—	—	—	—	—	4—16
CrF_3	—	—	—	—	—	15	—	—
H_3BO_3	—	—	—	—	—	5	—	—
NaNO_3	3—5	—	—	—	0,1—0,4	—	—	—
Na_2AlF_6	0,2	—	—	—	—	—	—	0,2—1
HF	—	—	—	1,25	—	—	—	—
H_2SiF_6	—	—	—	—	1,5—3	—	—	—
Хромінн	2—3	—	—	—	—	—	—	—
i_{K^+} , А/дм ²	15—30	50—100	50—100	10—60	10—50	30—50	20—30	50—120
t_1 , °C	18—25	10—30	10—30	18—25	18—25	15—25	60—70	15—40

16. Составы электролитов (г/л) на основе соединений трехвалентного хрома и режимы осаждения

Компоненты электролита в режиме	№ электролита						
	1	2	3	4	5	6	
$\text{Cr}_2(\text{SO}_4)_3$	200	300—400	160—200	160—200	250	—	
$\text{CoSO}_4 \cdot \text{NH}_3$	—	—	—	—	—	—	
$(\text{NH}_4)_2\text{SO}_4$	335	200—300	—	—	—	340	
$\text{NH}_4\text{SO}_4 \cdot \text{NH}_3$	—	—	—	—	440	500	
Fe	1	—	0,1—0,2	0,1	—	550	
$\text{Co}(\text{NH}_2)_2$	—	300—450	—	—	240	350	
HCOONH_2	—	3—20	—	—	—	—	
		мл/л					
Na_2SO_4	—	—	120—140	(20—140)	—	—	
H_3BO_3	—	—	25—35	25—35	—	—	
NaF	—	—	7—9	—	50	50	
NH_4F	—	—	—	7—10	—	—	
$\text{C}_2\text{H}_5(\text{OH})_3$	—	—	1—2	—	—	—	
		мл/л					
$\text{H}_2\text{NCH}_2\text{COOH}$	—	—	—	—	—	—	
		мл/л					
pH	2,3—2,7	—	1,1—1,2	1,8—2,0	1,7—2,1	1,2—1,5	1,2—1,5
I_{K} , А/дм ²	8—10	10—50	7—8	7—10	15—20	4—16	6—18
$t, ^\circ\text{C}$	40	25—37	25—30	25—30	40	30—40	40—50
BТ, %	22—23	12—13	10—15	12—15	10—15	10—14	10—12

С помощью специальных приспособлений, предусматривающих вращение деталей и прижимаемых к ним анодных головок, через которые поступает электролит, происходит осаждение износостойких покрытий толщиной 0,1 мм и более.

Электролиты с добавками органических соединений. Органические добавки вводят с целью повышения выхода хрома по току, повышения блеска, микротвердости и износостойкости покрытий, а также для улучшения РС. В некоторых случаях считается, что введение органических добавок стабилизирует электролит.

Органические добавки вводят как в электролиты на основе Cr^{6+} , так и на основе Cr^{4+} , несмотря на сильную окисляющую способность последних. Главная трудность использования органических добавок в электролитах хромирования — полное отсутствие методов аналитического контроля этих добавок.

Различные добавки, рекомендуемые для электролитов хромирования, приведены в табл. 17.

Скоростной элекро-
лит хромиспел. Электролиты
этого типа отличаются высокой кон-
центрацией H_2CrO_4 и применением
в качестве катализирующей добавки

анионов Cl^- , J^- или Br^- . Типовой состав электролита (г/л):

CrO_3	700—900
HCl (конц.)	70—90 мл/л
(или NaCl)	50—70.
Режим	осаждения:
$= 20 \div 23^\circ\text{C}$	$t_K = 30 \div 60$ А/дм ² ; ВТ =
$= 70 \div 75$	

Электролиты для осаждения сплавов на основе хрома. Сплавы хрома с элементами группы железа получают из электролитов на основе трехвалентных соединений хрома (табл. 18), а сплавы с элементами 4, 5 и 6-й групп периодической системы элементов — из электролитов на основе шестивалентных соединений.

Осадки, полученные из электролита № 1, содержат хрома 12—21 %, из электролита № 2—12—15 %, из электролита № 4 — 50—60 %.

Введение в электролит хромированного HVO_3 позволяет получать сплавы $\text{Cr}-\text{V}$ с содержанием ванадия до 0,5 %.

Для осаждения сплава Cr—Nb рекомендуется электролит, имеющий следующий состав (г/л):

CrO_3	200—300		
HF	15—20		
HNbO_4	3—4		
NH_4F	0,5—3		
Режим	о	с	а	ж	д	е	н	и	$t = 30 \div$
+7% С.	$t = 20 \div 70$	A	/	д	м	2	ВТ =	25	%
$\div 52\%$	Осадки	содержат	до	0,5	Nb

Сплав Сг—Мо можно получить из электролитов, состав которых приведен в табл. 19. Первые два электролита предназначены для получения износостойких покрытий, которые наиболее эффективно используются при работе в средах, отличающихся повышенной агрессивностью. Содержание Мо в покрытиях возрастает при увеличении температуры электролиза (рис. 22) и практически не зависит от изменения плотности тока.

Электролит № 3 предназначается исключительно для получения защитно-декоративных покрытий системы

17. Органические добавки для электролитов хромирования

Тип электро- лита	Добавки	С добавок, г/л	Влияние на			
			ВТ	РС	БЛ	Т
ЗВ	Карбамид α -аминопропиновая кис- лота	1,8—2,0 0,3—0,5	+	—	+	—
ЗВ	Моногистаноламин α -аланин	0,25—0,30 моль/г 0,5	+	—	+	—
ЗВ	Моногистаноламин Формальдегид	0,025—0,04 моль/л 0,16—0,20 моль/л	—	+	+	—
СР	Смесь сульфатов спиртов и алифатических окисни- телей	5	+	+	—	—
СР	Натриевая соль пиридин- сульфоновой кислоты	50	—	+	—	+
СТ	Метиленовый голубой	1—5	+	—	+	+
СТ	Галловая кислота	0,5—3	+	—	+	—
СТ	Сульфаниламид, сульфа- тиазол	7—10	—	—	+	—
СТ	Яблочная кислота	25—100	+	—	—	—
СТ	Дихлормалоновая кисло- та или ее соли	4—50	+	+	—	—
СР, СТ	Хлорамин Б	4—5	—	+	—	+

П р и м е ч а н и е. Принятые обозначения «+» — добавка положительно влияет на соответствующий показатель (повышает или улучшает его); «-» — данных нет; ЗВ — электролит на основе трехалкенильных соединений; СТ — стандартный электролит на основе хромовой кислоты; СР — саморегулирующийся электролит; ВТ — выход по току; РС — рассеивающая способность; ВЛ — блеск; Т — твердость покрытий.

18. Составы электролитов (г/л) для получения сплавов хрома с элементами группы железа

№ электролита	Тип сплава	Компоненты электролита	C , г/л	pH	t , °C	i_k , A/dm ²
	Fe—Cr	$\text{Cr}_2(\text{SO}_4)_3$ FeCl_3 $(\text{NH}_4)_2\text{CO}$	100—15 25—30 180—200	1.0—1.4	28—32	20—30
2	Fe—Cr	CrOH_2SO_4 $\text{Fe}(\text{NH}_4)_2(\text{SO}_4)_2$ MgSO_4 $(\text{NH}_4)_2\text{SO}_4$ Жидкое стекло Глицерин	45 13,5 20 100 0,5—1,3	0,8—1,3	33—55	20—3
3	Ni—Fe—Cr	CrCl_3 NiCl_2 FeCl_3 На-лимонно-кислый NH_4Cl	150—200 25—50 12—20 50—70 130	0,2—0,3	28—32	25—30
4	Co—Cr	CrCl_3 На-лимонно-кислый HCl	130—150 5—20 20—25 50—60	1,0	48—52	50—8

19. Составы электролитов для осаждения сплава хром—молибден в режимах осаждения

№ электролита	Компоненты электролита	C , г/л	t , °C	i_k , A/dm ²	В г. %	Содержание Mo, %
	CrO_3 H_2SO_4 H_2MoO_4	230—250 2,3—2,5 28—30	40—60	30—60	22—24	0,5
	CrO_3 H_2SO_4 $(\text{NH}_4)_2\text{MoO}_4$	230—250 2,3—2,5 80—100	40—60	30—60	15—17	0,8—1,0
	CrO_3 NaF Na_2MoO_4	250—300 11—12 80—100	18—25	5—7	12—13	1,4

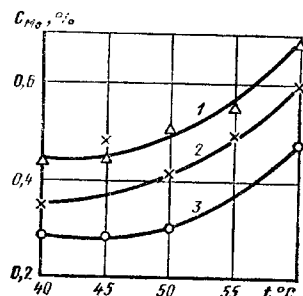


Рис. 22. Зависимость содержания молибдена в сплаве от температуры электролиза при $C \text{ H}_2\text{MoO}_4$, г/л:
1 — 30, 2 — 20; 3 — 10

Покрытие сплавом Cr—Ti позволяет уменьшить наводороживание основного металла. Для получения этого сплава применяют электролит следующего состава (г/л):

CrO_3	250
H_2SO_4	4,5—5,0
Ti (в пересчете на металлы)	5

Режим осаждения: $t = 45—60$ °C; $i_k = 40—120$ A/dm². Содержание Ti в сплаве 0,05—0,5 % в зависимости от изменения состава электролита и режима электролиза

Сплавы Cr—Se получают при замене в электролите хромировавшего H_2SO_4 на H_2SeO_4 . В сплаве до 20 % Se.

Хромирование при нестационарных режимах электролиза

ХРОМИРОВАНИЕ ПРИ НЕСТАЦИОНАРНЫХ РЕЖИМАХ ЭЛЕКТРОЛИЗА

Нестационарные условия электролиза (реверсивный и пульсирующий ток, программное изменение режима электролиза, проточное и струйное хромирование) рекомендуются для улучшения физико-механических свойств хромовых покрытий: снижения $\sigma_{\text{вн}}$ и пористости, повышения пластичности и износостойкости.

Хромирование реверсивным током. Процесс позволяет вести хромирование при i_k до 120 A/dm² без опасности получения покрытий с дендритами. При этом температура электролиза должна быть 50—70 °C. Чем выше температура, тем в большей степени снижаются $\sigma_{\text{вн}}$ в покрытии. Рассеивающая способность возрастает при уменьшении катодного t_k и анодного t_a периодов. Рекомендуемые длительности этих периодов следующие: $t_k = 1—5$ мин; $t_a = 1—5$ с. Рекомендуются длительности и другого порядка: $t_k = 15$ мин; $t_a = 10$ с.

Осадки, получаемые при рекомендуемых режимах ($t_k = 1—5$ мин; $t_a = 1—5$ с), обладают высокой износостойкостью и коррозионной стойкостью (в силу их практической беспористости). Они имеют полублестящий или матово-молочковый вид и не могут быть рекомендованы для декоративной отделки изделий.

Гладкие осадки могут быть получены толщиной до 0,3 мм. С целью полного исключения пористости покрытий процесс необходимо вести при наименее кратких катодном и анодном периодах ($t_k = 1$ мин; $t_a = 1$ с). Наиболее

высокая твердость покрытий получается при максимальной длительности указанных периодов.

Хромовые покрытия, получаемые методом реверсирования тока, в наименьшей степени снижают предел выносливости $\sigma_{\text{вн}}$ стали.

Хромирование импульсным током. Импульсный ток позволяет интенсифицировать процесс путем увеличения плотности тока до 200—250 A/dm² при температуре электролиза 60—70 °C. Длительность импульса тока t_i и длительность паузы t_p должны быть в интервале 1—4 с. Рекомендуемый интервал: $t_i = 1—2$ с; $t_p = 0,2—0,5$ с.

Длительность импульса является фактором, определяющим скорость процесса, а длительность паузы — фактором, определяющим свойства покрытия.

Увеличение t_p уменьшает количество H_2 , поглощенного хромом, способствует получению матово-молочных покрытий, уменьшает их растрескивание.

Хромирование при $i_k \neq \text{const}$. Процесс состоит в изменении плотности тока во времени по схеме, представленной на рис. 23. Электролиз ведут при $t = 60$ °C. Вначале плотность тока высока (60 A/dm²), что необходимо для обеспечения прочного сцепления с осадкой. Затем плотность тока снижается до 25—35 A/dm² и идет осаждение защитного молочного слоя. Завершающий этап — подъем плотности тока до 60—65 A/dm², при которой осаждается внешний износостойкий слой. С целью избежать неблагоприятного изменения внутренних напряжений в покрытии снижение i_k производят не скачкообразно, а постепенно в течение 10—20 мин.

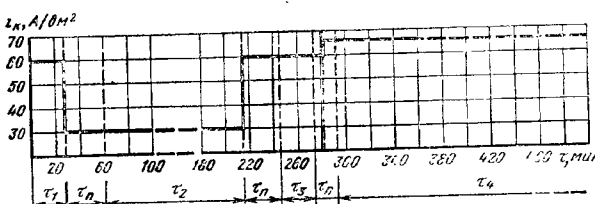


Рис. 23. Программа изменения плотности тока для получения беспористого износостойкого хрома: t_1 , t_2 , t_3 , t_4 — время осаждения четырех слоев покрытия; t_p — время осаждения переходных слоев

ХРОМИРОВАНИЕ

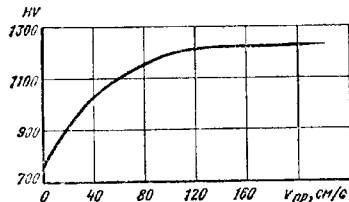


Рис. 24. Зависимость твердости хромового покрытия от скорости протока электролита ($V_{\text{пр}}$)

Проточное и струйное хромированием. Метод обеспечивает интенсификацию процесса и улучшение свойств покрытий. При проточном хромировании рекомендуется применять электролит с повышенной концентрацией H_2SO_4 . Состав этого электролита следующий (г/л):



Процесс используется для нанесения покрытий на внутренние и внешние поверхности деталей (цилиндры, втулки, валы, цапфы и т. д.). Расстояние между покрываемой поверхностью и поверхностью анода может быть от 3—5 до 10—15 мм. В табл. 20 приведены данные, характеризующие зависимость скорости нанесения покрытий от условий электролиза.

При высокой концентрации CrO_3 (280—300 г/л) плотность тока может быть увеличена до 300—400 А/дм², что

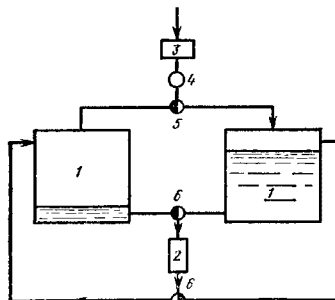


Рис. 25. Схема установки проточного хромирования с использованием сжатого воздуха

20. Скорость осаждения хрома в проточном электролите

Скорость протока электролита, см/с	i_{K}^* , А/дм ²	t , °C	С.П., мкм/ч
8—15	55	50	48—52
	75 100	60 65	68—74 87—93
100—120	85	60	78—86
	110 150	65 65	97—107 120—140

позволяет довести скорость осаждения хрома до 250—300 мкм/ч.

Микротвердость хромового покрытия возрастает при увеличении скорости протока до 80—100 см/с (рис. 24).

Циркуляция электролита в системе проточного хромирования обеспечивается насосами, изготовленными из титановых сплавов или из полимерных материалов. Возможно использовать для этой цели сжатый воздух в соответствии со схемой, приведенной на рис. 25. Эта установка состоит из двух герметичных емкостей 1, изготовленных из титанового сплава, и ячейки хромирования 2. Внутри емкостей расположены устройства для нагрева и охлаждения электролита. Воздух через фильтр 3, редуктор 4 и кран 5 поступает в одну из емкостей, в которой создается избыточное давление 0,15—2 мПа. Под действием этого давления электролит направляется в ячейку, откуда вместе с выделившимися при электролизе газами вытесняется во вторую емкость, соединенную с атмосферой (вентиляцией). Соответствующим переключением кранов 5 и 6 возможно попеременное выдавливание электролита из одной или другой емкости.

Ячейка для хромирования гильз цилиндров в протоке (рис. 26) имеет полый анод, в котором равномерно по окружности чередуются каналы, через которые поступает электролит, и щели для отвода электролита через центральную полость анода. Электролит в межэлектродное пространство поступает через поперечные отверстия, имеющиеся в каналах, подводящих электролит в ячейку. В процессе электролиза гильза герметизируется с помощью

Хромирование при нестационарных режимах электролиза

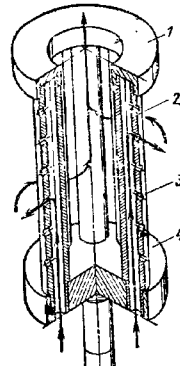


Рис. 26. Схема ячейки для проточного хромирования:

1 — центрирующее кольцо; 2 — трубка для подвода электролита; 3 — радиальные каналы для подвода электролита; 4 — опорный диск

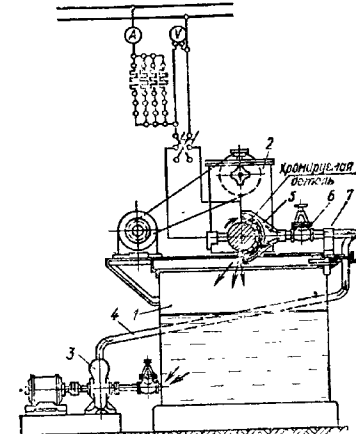


Рис. 27. Схема установки для струйного хромирования

(рис. 28) погружается в горизонтальную ванну 2 из глубины, равной 0,3—0,4 своего диаметра. Вал установлен на опорные подшипники 3, которые одновременно выполняют функции контактных приспособлений. Вал приводится во вращение с частотой 10—30 об/мин с помощью двигателя 4. Плоские или цилиндрические аноды 5 располагаются концентрически относительно поверхности хромируемого вала.

Хромирование в ультразвуковом поле. Применение ультразвука при хромировании рекомендуется как средство интенсификации процесса и способ, обеспечивающий получение прочно скрепленных хромовых покрытий с деталями из алюминиевых и титановых сплавов. Помимо этого, хромирование в ультразвуковом поле позволяет получить покрытия повышенной твердости — до 1300—1400.

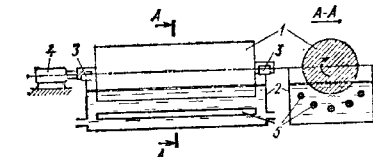


Рис. 28. Схема хромирования вращающегося вала

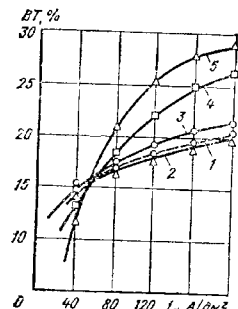


Рис. 29. Зависимость выхода по току от плотности тока при $t = 50^{\circ}\text{C}$ и интенсивности ультразвука ($\text{Вт}/\text{см}^2$):

1 — без ультразвука; 2 — 1; 3 — 2; 4 — 3; 5 — 4

При частоте ультразвука 20—40 кГц наибольшее влияние на скорость электросаждения и свойства получаемых покрытий оказывает интенсивность ультразвуковых колебаний. На рис. 29 представлена зависимость выхода по току от плотности тока и интенсивности ультразвука. Из рисунка видно, что интенсивность 1 $\text{Вт}/\text{см}^2$ практически не изменяет выход по току. Наибольший эффект достигается при 4 $\text{Вт}/\text{см}^2$. При этом увеличение выхода по току может быть достигнуто лишь при высоких плотностях тока. Снижение плотности тока менее 60 $\text{A}/\text{дм}^2$ приводит к обратному эффекту — ультразвук снижает ВТ.

Наиболее целесообразно применять интенсивность ультразвука 3—4 $\text{Вт}/\text{см}^2$. Это дает возможность вести электросаждение при плотности тока 200 $\text{A}/\text{дм}^2$.

При интенсивности ультразвука 2—3 $\text{Вт}/\text{см}^2$ и плотности тока 120—150 $\text{A}/\text{дм}^2$ скорость осаждения хрома составляет 130—140 мкм/ч.

На рис. 30 показана зависимость микротвердости хромовых покрытий от плотности тока и интенсивности ультразвука х колебаний. Наибольшая твердость осадков получается при плотности тока 125—150 $\text{A}/\text{дм}^2$ при интенсивности ультразвука 3—4 $\text{Вт}/\text{см}^2$.

При использовании ультразвука для непосредственного хромирования алюминиевых сплавов поступают следующим образом. После обычной для

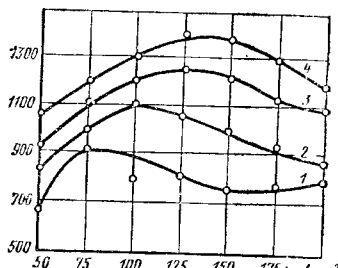


Рис. 30. Зависимость микротвердости хрома от плотности тока при $t = 60^{\circ}\text{C}$ и интенсивности ультразвука ($\text{Вт}/\text{см}^2$):

1 — без ультразвука; 2 — 1; 3 — 2; 4 — 3; 5 — 4

этих сплавов подготовки детали под током погружают в электролит, в котором возбуждены ультразвуковые колебания интенсивностью 2—4 $\text{Вт}/\text{см}^2$. Начальная $i_{\text{k}} = 100 \div 150 \text{ A}/\text{дм}^2$. Затем в течение 5—7 мин плотность тока снижается до 60—70 $\text{A}/\text{дм}^2$ и одновременно выключается ультразвук.

Осаждение хрома на титановые сплавы предшествует операция нанесения гидридной пленки в 30—40 мкм растворе HCl или H_2SO_4 при $t = 60^{\circ}\text{C}$ в течение 40 мин. Затем детали после промывки загружаются в ванну при интенсивности ультразвука 4—5 $\text{Вт}/\text{см}^2$. Спустя 1,5—2 мин на детали подается $i_{\text{k}} = 200 \div 210 \text{ A}/\text{дм}^2$, и электросаждение при этих условиях ведут в течение 3—5 мин. При этом гидридный слой разрушается и на активированных участках начинает осаждаться хром. Спустя 3—5 мин ультразвук выключают, а плотность тока снижают до 55—60 $\text{A}/\text{дм}^2$.

В качестве источников ультразвуковых колебаний рекомендуется применять магнитострикционные преобразователи ПМС-38, ПМС-6М и ПМС-15А18. Расположение преобразователей в ванне хромирования зависит от размеров и количества загружаемых деталей. При хромировании крупногабаритных единичных деталей преобразователи удобно располагать на боковых стенах ванны. Для хромирования мелких и средних деталей предпочтительнее расположение преобразователей на дне ванны.

При хромировании в ультразвуковом поле не рекомендуется использовать

ваины со свинец и футеронкой, поскольку Pb отсыпается кавитационно-нестойким материалам и разрушается под действием ультразвуковых колебаний. По этой же причине анода из сплава Pb-Sb следует экранировать от ультразвуковых колебаний.

Многослойное хромирование. В целях сочетания в одном покрытии свойств осадков хрома, полученных при различных условиях электролиза, применяют многослойные (двухслойные) покрытия. Эти покрытия можно получить не только путем применения метода программного изменения режима электролиза (см. рис. 16).

При получении многослойных покрытий различным хромированием при различных условиях электролиза, при нанесении последующих слоев хрома необходимо в целях обеспечения прочного сцепления отдельных слоев соблюдать соответствующие технологические указания по нанесению хрома на хром (см. с. 124).

Износостойкое и коррозионно-стойкое покрытие получают путем осаждения молочного беспористого осадка хрома толщиной 20—30 мкм , поверх которого наносится блестящее износостойкое покрытие толщиной 30—50 мкм . Первый слой осаждают при $t = 70^{\circ}\text{C}$ и $i_{\text{k}} = 25 \div 30 \text{ A}/\text{дм}^2$, второй при $t = 50 \div 55^{\circ}\text{C}$ и $i_{\text{k}} = 45 \div 55 \text{ A}/\text{дм}^2$.

Такое двухслойное покрытие успешно применяется для защиты деталей от износа, работающих в агрессивной среде. В частности, таким способом рекомендуется хромировать валы машины для мокрого приложения льна.

Защитное-декоративное покрытие мерительного инструмента должно быть матово-блестящим и не должно захватываться руками при многократном использовании инструмента. Среди различных способов получения такого покрытия рекомендуется способ получения двухслойного покрытия, первый слой которого осаждается из тетрахроматического электролита. Этот слой, в силу специфики указанного электролита, получается матово-шероховатым и беспористым. Поверх указанного слоя наносят тонкое покрытие (5—10 мкм) молочно-блестящего хрома.

Первый слой покрытия осаждают из тетрахроматического электролита в тече-

ние 25—30 мин при $i_{\text{k}} = 25 \div 30 \text{ A}/\text{дм}^2$. Второй слой — из андартного электролита при $i_{\text{k}} = 15 \div 20 \text{ A}/\text{дм}^2$ и $t = 48 \div 52^{\circ}\text{C}$.

Легкоприрабатываемое покрытие, предотвращающее появление рисок и задиров в процессе эксплуатации, получают путем нанесения на обычное стойкое по износу тонкого покрытия (от 0,5 до 5 чик) из тетрахроматического электролита. Внешнее более мягкое покрытие обеспечивает приработку в первый период эксплуатации. Толщина внешнего слоя покрытия зависит от конкретной детали и условий ее эксплуатации, в частности от величины нагрузки, допустимого зазора с сопряженной деталью и т. д.

При размежевом хромировании мягкое покрытие наносят сразу же после нанесения основного слоя. В случаях, когда детали после хромирования шлифуют (механически обрабатывают) с целью обеспечения необходимых геометрических размеров и шероховатости поверхности, мягкое покрытие наносят после механической обработки.

Пористое хромирование. В целях обеспечения лучшей смачиваемости маслами, например, поверхностей цилиндров и гильз блоков двигателей внутреннего горения, а также пористых колец, рекомендуется применять пористое хромирование. Пористые покрытия могут быть получены как электрохимическим, так и механическим методом.

Электрохимический метод пористого хромирования основан на том, что обычные хромовые покрытия, полученные из стандартного электролита, в результате возникающих в них внутренних напряжений имеют характерную сетку трещин (см. с. 131). Эта сетка трещин при частичном анодном или химическом травлении превращается в сеть канавок, способных удерживать на поверхности покрытия слой смазки. На практике находит применение только способ анодного травления, т. е. операция дехромирования.

В зависимости от режима электрохимии в хромовом покрытии получаются мелкие, средние или крупные сетки пор (рис. 31). На диаграмме все они разделяются на три группы. При низких температурах и высоких плотно-

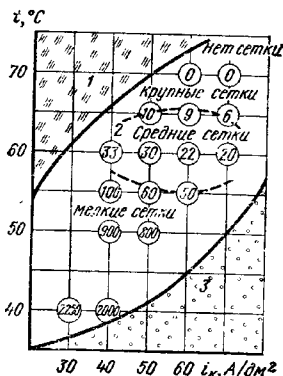


Рис. 31. Диаграмма осадков пористого хрома:
1 — бархатные, 2 — блестящие; 3 — грубошниковые; ○ — количество плато на 1 mm²

стях тока покрытия имеют грубую поверхность, вследствие чего эти осадки (грубошниковые) практически не применяются. После анодного травления покрытий, полученных при низких плотностях тока и высоких температурах, на хроме появляется серовато-серый налет, поэтому эти осадки называют бархатными. Сетка трещин, образующаяся в этих покрытиях, имеет каналы с характерными изломанными очертаниями. Важная особенность бархатных осадков — высокие антифрикционные качества.

Средняя часть диаграммы ограничивает область режимов получения

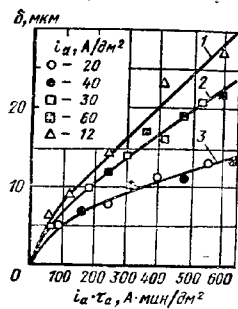


Рис. 32. Изменение толщины (б) покрытия (а) и половины ширины (1/2б) канала (б) при анодном травлении осадков хрома, полученных при температуре (°С); 1 — 65; 2 — 60; 3 — 50

21. Режимы получения пористого хрома

Тип пористости	Пористость, плато/мм ²	<i>t</i> , °C	<i>i</i> , A/dm ²
Точечный	700—900	50±1	10—50
Канальчатый	80—30	60±1	40—60

22. Рекомендуемая интенсивность анодного травления осадков хрома различной толщины, полученных при различных температурах

<i>b</i> , мкм	<i>i</i> , A·min/dm ²	Уменьшение <i>b</i> , м/м, при <i>t</i> , °C	Средняя ширина канала, мкм, при <i>t</i> , °C	
			50	60
0,1	320	10—12	11—12	17—18
0,15	400	12—16	13—16	18—20
0,15	480	12—16	13—16	18—20

наиболее часто применяемых пористых хромовых покрытий. В частности, маленькие сетки трещин рекомендуются для получения покрытий на поршневых кольцах, средние — на цилиндрах и гильзах блоков двигателей внутреннего горения (табл. 21). Первый тип пористости называют точечной, поскольку после механической обработки поверхность имеет вид, изъятенный мелкими осповидными точками. Второй тип пористости получил название канальчатой.

Дехромирование, т. е. выявление сетки трещин в покрытии, превраща-

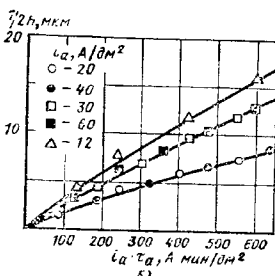


Рис. 32. Изменение толщины (б) покрытия (а) и половины ширины (1/2б) канала (б) при анодном травлении осадков хрома, полученных при температуре (°С); 1 — 65; 2 — 60; 3 — 50

Хромирование при нестационарных режимах электролиза

ющие их в каналы, способные удерживать смазку, проводят в электролите обычного состава, близкого к стандартному. Процесс дехромирования зависит только от количества электричества, прошедшего через хромовое покрытие, и не зависит от состава электролита, температуры и применяемой плотности тока (табл. 22). Произведение $i_a \cdot t_a$ называют интенсивностью анодного травления.

На рис. 32 представлены графики, показывающие зависимость уменьшения δ хрома и травления стенки канала (0,5 ширины канала) для осадков, полученных при различной температуре электролиза, от интенсивности анодного травления.

Дехромирование вызывает некоторое снижение твердости хрома (рис. 33). Твердость пористого хрома существенно зависит от температуры электролиза. Покрытия с наибольшей густой сеткой трещин (мелкие сетки) в большей степени подвержены снижению твердости. При дехромировании происходит снижение внутренних напряжений хромовых покрытий.

Износ и величина коэффициента трения пористых хромовых покрытий определяются температурой хромирования и интенсивностью анодного травления. Наиболее высокий коэффициент трения и наиболее низкая износостойкость характерны для покрытий, полученных при $t = 55^{\circ}\text{C}$, т. е. при промежуточной температуре, находящейся между температурами получения точечной (50°C) и канальчатой (60°C) пористости.

При увеличении интенсивности анодного травления до $450 \text{ A} \cdot \text{min}/\text{dm}^2$ износ покрытия и коэффициент трения возрастают незначительно. При дальнейшем увеличении интенсивности анодного травления указанные характеристики покрытия резко возрастают.

Механический метод получения пористых хромовых покрытий заключается в том, что перед хромированием на поверхности детали создается специальный маслоудерживающий рельеф в виде специальных канавок или лунок (углублений). Нанесение указанного рельефа осуществляется с помощью специального режущего или колющеого инструмента.

Наиболее часто механическую пористость создают с помощью накатки

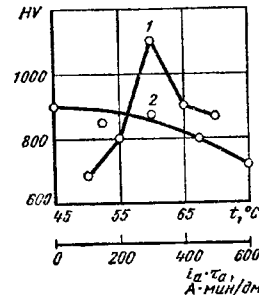


Рис. 33. Влияние температуры электролиза (1) и интенсивности анодного травления (2) на твердость пористого хрома

с целью получения углублений пирамидальной формы. Эти углубления располагаются в шахматном порядке на расстоянии 2 мм одно от другого. Размер углублений по основанию пирамиды $0,3 \times 0,3$ мм. Диагональ квадрата располагается вдоль оси цилиндра. При нанесении слоя хрома $0,07—0,08$ мм глубина лунки должна быть $\sim 0,15—0,25$ мм.

Углубления на зеркале цилиндра наносятся на расстояния 10 мм от торца, обращенного к камере сгорания, и дальше, не доходя 50 мм до края, у нижней части (юбки цилиндра). При нанесении углублений на поршневые кольца лунки имеют меньший размер: глубина $0,05—0,07$ мм, основание $0,15 \times 0,15$ или $0,2 \times 0,2$ мм, шаг накатки — 1,5 мм.

После накатки должно быть проведено хонингование поверхности с целью придания ей необходимой гладкости. Хромирование ведут в обычном электролите (например, стандартном) при режиме получения износостойкой покрытия.

С целью повышения прирабатываемости пористохромированных пористевых колец в некоторых случаях рекомендуется наносить на их поверхность покрытие из мягких металлов. Так, например, для этой цели на хром наносят слой Sn ($5—10$ мкм) или Pb ($10—20$ мкм). Увеличенная толщина Pb обусловлена тем, что при свинцевании кроющая способность ниже, чем при щелочном оловяннировании.

Для указанной цели рекомендовано также наносить тонкий слой электро-

литического Fe (5—7 мкм) с последующим его складированием в щелочном растворе.

ТЕХНОЛОГИЧЕСКИЕ ОСОБЕННОСТИ ПРОЦЕССА

Размерное хромирование. При насыщении толстых износостойких покрытий как на новых деталиах, так и на ранее эксплуатировавшихся (восстановление) требуется применять специальные подвесные приспособления и аноды. Это необходимо для равномерного осаждения покрытия, ибо электролит для хромирования обладает низкой РС. Процесс получения равномерных по толщине хромовых покрытий, частично

или полностью исключающий окончательную механическую обработку деталей, получил название размерного хромирования.

Во многих случаях, например, при хромировании шламиров, для размерного хромирования применяют профилированные аноды, воспроизводящие рельеф покрываемой поверхности. При завеске деталей в ванну следует учитывать, что при электролизе выделяется обильное количество газов, которые не должны скапливаться внутри детали или внутри подвески.

При хромировании внешней поверхности цилиндрических деталей в случаях, когда не применяются специаль-

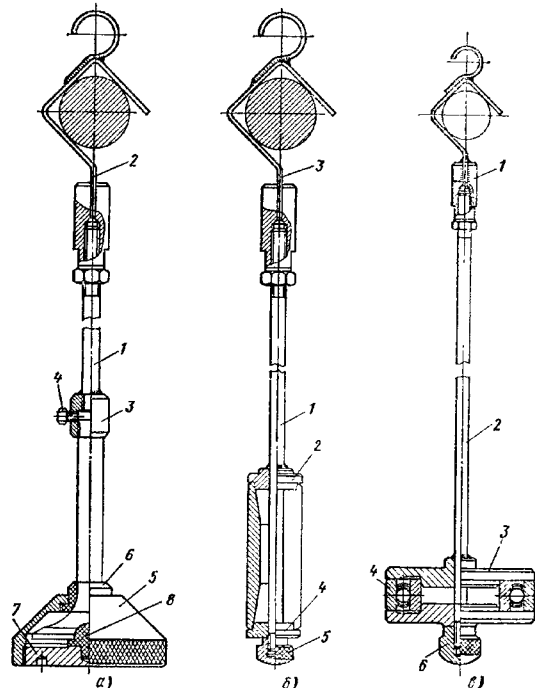
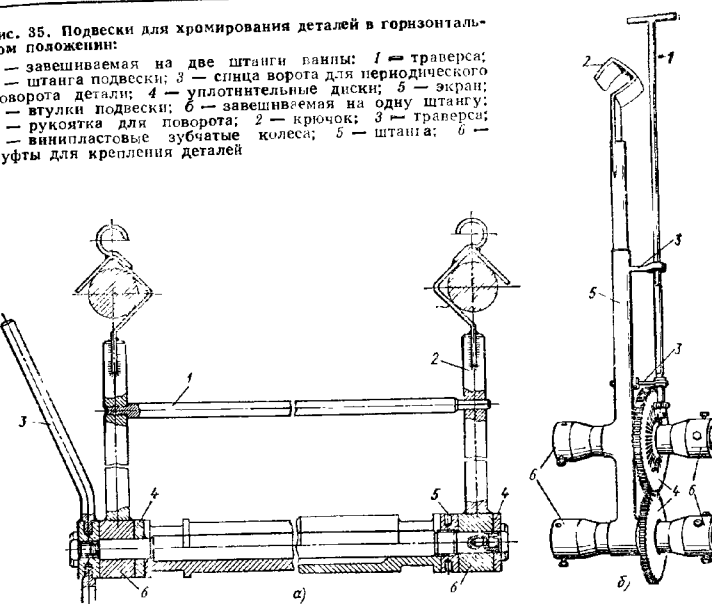


Рис. 34. Подвески для хромирования деталей в вертикальном положении:

a — для хромирования пластика клапана; 1 — штанга; 2 — крючок; 3 — муфта; 4 — зажимы и винт; 5 — изолирующий колпачек; 6 — изолирующая втулка; 7 — крышка-гайка; 8 — упор;
б — для хромирования поршневого пальца; 1 — штанга; 2, 4 — шайбы-экраны; 3 — крючок; 5 — гайка; 6 — для хромирования внешней обоймы шарикоподшипника; 1 — крючок; 2 — штанга; 3 — контактный диск; 4 — уплотнительная прокладка; 6 — гайка

Рис. 35. Подвески для хромирования деталей в горизонтальном положении:

а — завешиваемая на две штанги ванны: 1 — траверса; 2 — штанга подвески; 3 — спица ворота для периодического поворота детали; 4 — уплотнительные диски; 5 — экран; 6 — втулки подвески; б — завешиваемая на одну штангу; 1 — рукоятка для поворота; 2 — крючок; 3 — траверса; 4 — винилластовые зубчатые колеса; 5 — штанга; 6 — муфты для крепления деталей



ные подвесные приспособления с кольцевыми индивидуальными анодами, рекомендуется использовать круглые аноды диаметром 40—80 мм. Аноды располагают таким образом, чтобы вокруг каждой детали было не менее четырех анодов. Оптимальным межэлектродным расстоянием считается 100—150 мм. При сокращении этого расстояния до 50 мм наблюдается резкое снижение равномерности осаждения хрома. То же наблюдается при увеличении межэлектродного расстояния выше 200—250 мм.

При вертикальном завешивании деталей в ванну нижние края деталей должны отстоять от dna более чем на 200 мм. Расстояние от поверхности электролита 100—150 мм.

На рис. 34 показаны различные типы подвесных приспособлений для хромирования внешней поверхности деталей в вертикальном положении.

С целью улучшения равномерности осаждения хрома возможно вести хромирование деталей в горизонтальном положении. При этом необязательно непрерывное вращение деталей. Перио-

дическое вращение осуществляют с помощью специального приспособления (рис. 35, а). Поворот детали на угол 90° осуществляют перемещением рукояток-спиц, которые находятся выше уровня электролита. Поворот осуществляют до того момента, когда очевидная спица выйдет из электролита. Периодичность вращения зависит от толщины слоя хрома и времени вращения.

толщина слоя хрома, мм	до 0,1	св. 0,2	
интервал между поворотом детали, ч	0,1—20	20—30	30—45

Периодическое вращение деталей возможно проводить и при иной конструкции подвесного приспособления, когда одновременно осуществляется вращение нескольких деталей (рис. 35, б).

При горизонтальном положении деталей в электролите хромирование ведут с плоскими анодами, отстоящими от поверхности деталей на 100—150 мм.

При хромировании внутренней поверхности ци-

ХРОМИРОВАНИЕ

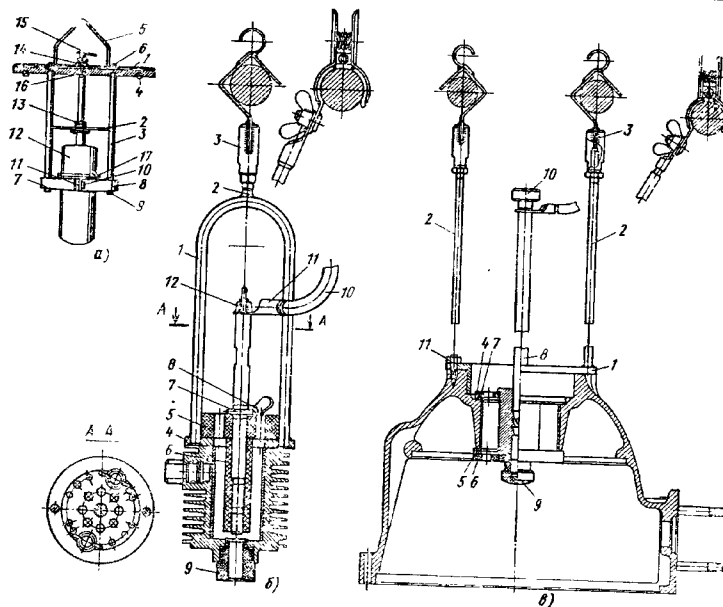


Рис. 36. Подвески для хромирования внутренней поверхности деталей:
а — для гильзы цилиндра двигателя; 1 — контактная пластина; 2 — траверса; 3 — штанги гильзы; 4 — упор; 5 — скоба для подъема из ванны; 6 — гайка; 7 — хомут для крепления гильзы; 8 — ушко; 9 — гайка; 10 — болт; 11 — ушло для стягивания хомута; 12 — анод; 13 — изолирующая втулка; 14 — гайка; 15 — стяжная гайка; 16 — изолирующая втулка; стержень; 17 — крючок; 4 — основание; 5 — изолирующая крышка с отверстиями; кабель для контакта анода; 6 — цилиндр воздушного компрессора; 7 — рама; 2 — анод; 8 — штифт анода; 9, 12 — гайки барашковые; 9 — изолирующий штуцер; 10 — упорное кольцо; 2 — штанги подвески; 3 — крючок; 4, 5 — изолирующие колпаки; 6 — упорное кольцо; 2 — штанги подвески; 3 — крючок; 4, 5 — изолирующие фланцы; 8 — анод; 9 — гайки

линидрических деталей обязательно применение специального подвесного приспособления, обеспечивающего строго концентрическое взаимное расположение хромируемой и анодной поверхностей. На рис. 36 показаны различные типы подвесок, используемых для хромирования внутренней поверхности деталей. Оптимальное межэлектродное расстояние при хромировании на указанных подвесках составляет 15—20 мм.

Особенности хромирования внутренней поверхности следующие:

меньшая поверхность анода S_a по сравнению с хромируемой поверхностью S_k , что приводит к накопле-

нию Cr^{3+} и требует периодической проработки электролита;
повышенное и неравномерное по высоте сопротивление электролита в связи с газовыделением внутри в ограниченном пространстве хромируемой цилиндрической детали.

Последняя особенность процесса требует для обеспечения равномерности осаждения покрытий применять конические аноды. Конусность анодов определяют по уравнению

$$\frac{d_1 - d_2}{l} = K,$$

где d_1 и d_2 — соответственно верхний и нижний диаметры анода; l — высота хромируемого цилиндра (рис. 37).

Технологические особенности процесса

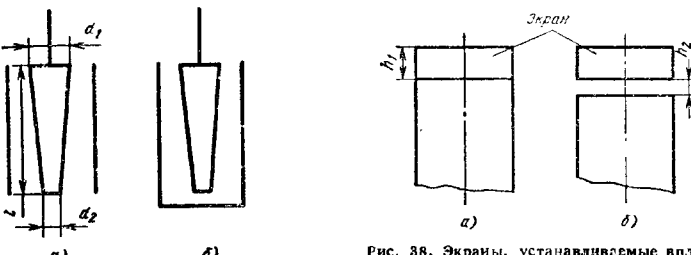


Рис. 37. Два типа хромируемых цилиндров:
а — сквозной; б — глухой

В случае, когда цилиндр сквозной (рис. 37, а), коэффициент K принимают равным 1/30. При хромировании цилиндра, имеющего дно (рис. 37, б) (глухой цилиндр), $K = 1/50$.

В целях улучшения равномерности нанесения хромовых покрытий применяют экранирование краев в деталях, так как на этих участках вследствие концентрации силового поля и соответствующего увеличения плотности тока, по сравнению со средней, осаждается более толстое покрытие.

Экрани обычно выполняют из стали, и они имеют вид цилиндров (внешнее хромирование) или колец (внутреннее хромирование). Экрани могут быть установлены как вплотную к детали, так и на некотором от нее расстоянии (рис. 38). Как правило, экраны должны иметь диаметр, равный диаметру детали. Экрани, установленные на некотором расстоянии от детали (рис. 38, б), могут иметь диаметр, больший (внешнее хромирование) или меньший (внутреннее хромирование), чем диаметр покрываемой детали. Экрани, отстоящие от детали, могут быть выполнены в виде колец из проволоки.

Зависимость высоты экрана h_1 от толщины необходимого покрытия (экран диаметром, равным диаметру детали, расположенный вплотную к детали) приведена ниже.

Толщина слоя хрома, мм	0,1	0,2	0,2	Cr
Высота экрана h_1 , мм	10	20	30	

Между толщиной необходимого покрытия и возможным расстоянием

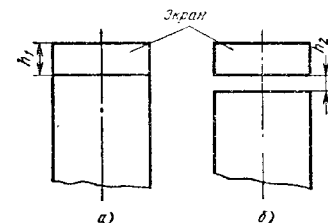


Рис. 38. Экрани, устанавливаемые вплотную к детали (а) и на расстоянии от нее (б)

между экраном и деталью h_2 существует следующая зависимость:

толщина слоя хрома, мм До 0,05 0,05—0,1
расстояние (h_2), мм, между деталью и экраном с диаметром:

равным диаметру детали	3—4	2—3
большим диаметром детали	7—8	5—7

Плунжеры, золотники, краны и некоторые другие детали имеют ту особенность, что их хромируемые поверхности, представляющие собой узкие пояски, разделенные канавками, имеющими различную ширину (рис. 39). Для таких деталей весьма важным является сохранение острых кромок указанных поясков. Это достигается либо взаимным экранированием краев поясков, либо заполнением канавок свинцом или постановкой в них специально изготовленных пружинящих полуколец (екранирование).

При хромировании деталей, имеющих поперечные канавки, не требуется применения экранов в следующих случаях:

при толщине покрытия 10—15 мкм, если ширина канавок не превышает 5—6 мм;

при толщине покрытия 20—30 мкм, если ширина канавок не превышает 3—4 мм.

В связи с высокими требованиями,

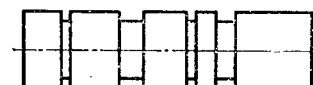


Рис. 39. Схема детали с узкими поперечными канавками (деталь типа плунжера)

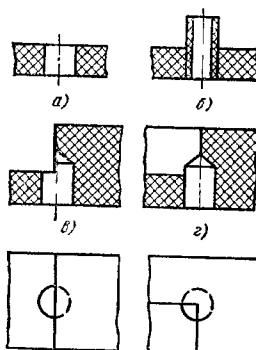


Рис. 40. Типы отверстий и грубок, имеющих различные коэффициенты сопротивления

предъявляемыми к шероховатости хромируемых в размер плунжеров, золотников и кранов, рекомендуется покрывать эти детали при максимально допустимой плотности тока.

В целях достижения необходимой эффективности применения экранов осаждающихся на их поверхности слой хрома должен периодически удаляться. В противном случае вырастущие на краях экранов дендриты вызывают ухудшение распределения тока и металла на поверхности деталей.

Для улучшения равномерности осаждения хромовых покрытий вместо ме-

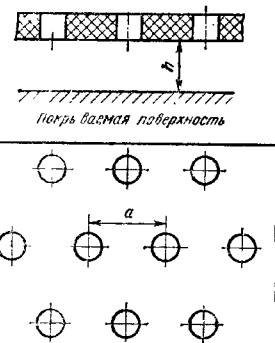


Рис. 41. Участок покрываемой поверхности и участок экрана с дозирующими отверстиями

таллических экранов могут быть применены экраны из непроводящих материалов — плексигласа, винила и т. д.

Неметаллические приспособления используются также при хромировании сложнопрофилированных деталей при применении метода дозирования тока. Сущность этого метода * состоит в том, что деталь помещается в непроводящий закрытый экран, а ток со стороны электролита подводится по трубкам и отверстиям с заданным омическим сопротивлением. При этом диаметр дозирующих отверстий этих тоководов рассчитывается по уравнению

$$D = 2 \frac{(k_1 + k_2) + V(k_1 + k_2)^2 - \pi R l}{\pi R k}$$

где D — диаметр отверстия; k_1 и k_2 — коэффициенты, учитывающие сопротивление на входе и выходе; l — длина трубы или толщина стенки, через которую проходит отверстие; k — удельная электропроводимость электролита; R — сопротивление отверстия, которое определяется из величины дозируемого тока I и расчетного напряжения U_p ($R = U_p/I$).

Расчетное напряжение — падение напряжения в дозирующих отверстиях (трубках) составляет более 50 % общего напряжения на ванне. Общее напряжение на штангах ванны при применении метода дозирования тока возрастает до 16—24 В при хромировании с $i_k = 30-60 \text{ A}/\text{dm}^2$.

На рис. 40 представлены различные типы отверстий и трубок для подвода тока. При наличии входа и выхода отверстий в плоской стенке при толщине стенки не менее диаметра отверстия (рис. 40, a) $k_1 = k_2 = 0,45$. В случае, если длина выступающего из стеки конца трубы малой толщины больше, чем один диаметр (рис. 40, b), $k_1 = 0,45$ (на выходе из плоского экрана). Для свободного конца трубы $k_2 = 0,3$. При выходе отверстия в ребро прямого угла (рис. 40, e) $k_1 = 0,45$;

* Метод изобретен В. Г. Шульгиным.

$k_2 = 0,75$. При входе отверстия в вершину прямого угла (рис. 40, e) $k_1 = 0,45$; $k_2 = 1,5$.

В качестве примера при сечении метода дозирования тока можно указать на способ расположения перфорированного экрана перед хромируемой поверхностью (рис. 41), при котором неравномерность осаждения слоя не превышает 3 %. Отверстия располагаются в 11 линейном порядке; при этом расстояние между отверстиями a должно быть равно расстоянию между экраном и деталью b . При центральном расположении экрана на детали, при некотором удалении экрана от поверхности детали равномерность покрытия повышается. Однако суммарное соотношение a/b в 2 раза приводит к необходимости увеличения числа отверстий в приспособлении в 4 раза.

На рис. 42 показано приспособление для одновременного хромирования торцов и боковой поверхности цилиндрической детали. При этом кромки цилиндра окраиваются угловыми выступами приспособления. Такое приспособление обеспечивает разброс при заданной толщине слоя хрома в пределах 5—10 %. Метод дозирования тока успешно применяется при нанесении покрытий на сложнопрофильные сварные детали, отдельные поверхности которых находятся на неодинаковых расстояниях от срости анода, а также для покрытия внутренних поверхностей и покрытия отверстий в различных деталях.

Изоляция деталей. В целях экономии электроэнергии и материалов при осаждении хрома на детали необходима изоляция мест, где подлежащих кристаллизации. Это следует проводить также и тому, что на тех участках поверхности, на которых достигается низкая i_k , недостаточная для выделения хрома, происходит большее износ орогживания, чем на участках, на которых идет хромирование.

Изоляции также подлежат поверхности подвесных приспособлений, за исключением участков, выполняющих роль контактов с деталью или со штангами.

Для изоляции деталей используются различные лаки и эмали, стойкие в го-

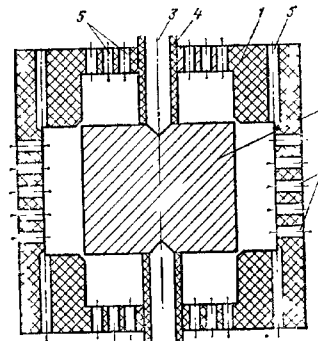


Рис. 42. Приспособление для одновременного хромирования торцов и боковой поверхности цилиндрической детали:

1 — экран; 2 — деталь; 3 — токопроводы и крепление детали; 4 — изоляция токопроводов; 5 — прорези для отверстий

рячем растворе CrO_3 . С этой целью применяют различные хлорвиниловые лаки, например ХВЛ-21, или клей ХВК-2А с добавкой 5 % талька. Удобно применение различных полимерных пленок и лент — полихлорвиниловых, политетиленовых. При хромировании небольших поверхностей на крупногабаритных деталях используют чехлы из полимерных пленок.

Возможна защита нехромируемой поверхности тонким листовым свинцом или алюминиевой фольгой. Для изоляции подвесок помимо лаков и пленок применяют горячее напечивание различных полимерных материалов (например, винилпласти). Это осуществляется путем напыления или наваривания указанных материалов на подвесные приспособления (см. с. 89).

Предотвращение чрезмерного уноса электролита. Унос электролита с пузырьками выделяющихся газов может быть предотвращен с помощью генератора хромин, введение которого в количество 2—3 г снижает потерю хромине на напряжение электролита. Генератор хромин выпускается в виде спиральных таблеток, хорошо растворимых в воде. В связи с тем, что он выпускается в виде таблеток, его роль в электролите хромине не оказывает на него гидратация и высвобождение из таблеток ионов хромине (вышение внутренних напряжений, снижение

износостойкости и т. д.), этот препарат рекомендуется использовать только при защитно-декоративном хромировании.

Другим аналогичным препаратом является Хромоксан, вводимый в электролит в качестве 0,15 г/л.

Эффективным методом снижения уноса электролита является применение специальных поплавков в виде шариков или цилиндров из полиэтилена, полистирола, полипропилена или других полимерных материалов.

При применении поплавков унос электролита уменьшается в 1,5–2 раза. Помимо этого, поплавки являются препятствием для чрезмерного испарения, снижая его в 2,5–3 раза. Наличие поплавков на поверхности электролита ускоряет его нагрев и стабилизирует температурный режим хромирования.

Поддержание постоянного уровня электролита осуществляют путем периодического добавления раствора из ванны улавливания электролита. Это – ванна с теплым раствором непроточной воды, в которую детали должны погружаться для первичной промывки сразу же после их извлечения из ванны хромирования. Доведение уровня электролита до нормы производят до начала или после окончания рабочей смены.

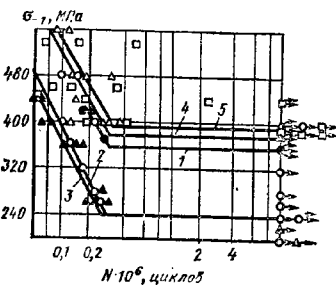


Рис. 43. Влияние отпуска на предел выносливости σ_1 хромированной стали 30ХСН (HRC 45–49):

1 — шлифование, хромирование, шлифование; 2 — шлифование, отпуск, хромирование, шлифование; 3 — шлифование, хромирование, шлифование, отпуск; 4 — шлифование, отпуск, хромирование, отпуск, шлифование; 5 — шлифование, отпуск, хромирование, отпуск, шлифование. Число циклов соответствует значениям 100000, 200000, 2000000, 4000000.

Электролит для хромирования не реже одного раза в месяц должен декантироваться — сливаться во вспомогательную емкость с целью удаления осадка, накапливающегося из дна ванны. Для этого проводят также периодическую фильтрацию раствора с применением кристаллических фильтрующих материалов. По окончании рабочей смены рекомендуется с помощью магнита или специальных приспособлений извлечь из ванны случайно упавшие детали, подвески или другие металлические предметы во избежание нежелательного накопления в растворе ионов растворившихся металлов.

Окончательная обработка хромированных деталей. Термическую обработку после нанесения защитно-декоративных покрытий, как правило, не проводят. После нанесения износостойких покрытий с целью обезвоживания проводят нагрев на воздухе или в масле при температуре 200–250 °C в течение 2–2,5 ч. Однако такая термическая обработка рекомендуется лишь для тех деталей, которые в процессе эксплуатации не могут подвергнуться усталостному разрушению.

Отпуск хромированных деталей при $t = 200$ °C в течение 2 ч после шлифования приводит к еще большему (на 30 %) снижению предела выносливости σ_1 стали, чем это наблюдается после хромирования без термической обработки. Повышение σ_1 хромированных деталей может быть достигнуто проведением отпуска при 450–500 °C и проведением трехкратного отпуска при 200 °C до хромирования, после хромирования и после окончательной механической обработки (рис. 43).

Возможность использования высокотемпературного отпуска ограничена изменением физико-механических свойств стали и покрытия. Проведение трехкратного отпуска наиболее целесообразно для большинства деталей, испытывающих в процессе эксплуатации циклические знакопеременные нагрузки.

После хромирования припуск на шлифование и хонингование не должен превышать 15–30 % толщины наносимого слоя. При толщине слоя от 0,05 до 0,1 мм припуск не должен превышать 15–20 %, а при более 1,0 мм — 25–30 %.

Технологические особенности процесса

Режимы наружного шлифования кругами из электрокорунда зернистостью 25–16 твердостью СМ1–С1 на керамической связке со скоростью 30–35 м/с для получения различной шероховатости

R_a , мкм	t_1 , мм/дв. ход	t_2 , мм/об	v_p , м/мин	Число зачистных ходов
0,08–0,16	0,005–0,010	3–6	15–30	5–30
0,16–0,32	0,010–0,015	6–10	15–30	1–5
0,32–0,63	0,010–0,020	10–15	30–60	—
0,63–1,25	0,030–0,040	20–30	30–60	—

Примечание. Принятые обозначения: t_1 — горизонтальная подача; t_2 — продольная подача; v_p — окружная скорость детали.

ности. После притирки пастой, содержащей HCl, требуется тщательная промывка деталей.

При шлифовании хромированных деталей, особенно из высокопрочных сталей, возникает опасность образования под слоем хрома шлифовочных трещин. В целях исключения появления этих трещин необходимо, чтобы калифорнийский круг соответствовал следующим требованиям:

материал зерна . . . кермальный электрокорунд 13А, 14А, 15А; белый электрокорунд 22А, 23А, 24А, 25А

зернистость . . . 25–50
твердость . . . СМ1–С1
структурка . . . 5–12
связка . . . керамическая (К); бакелитовая (Б)

При этом должен быть выполнен следующий режим резания:

подача стола:
горизонтальная, мм/дв. ход . . . 0,005–0,015
продольная, мм/об . . . 2–10
окружная скорость, м/с:
круга . . . 20–35
детали, не менее . . . 0,2
расход СОЖ, л/с, не менее . . . 0,4

24. Режимы наружного шлифования алмазными кругами АСО 80/63Б1–100 для получения различной шероховатости

R_a , мкм	t_1 , мм/дв. ход	t_2 , мм/об	v_p , м/мин	v_{cr} , м/с	Число зачистных ходов
0,04–0,08	0,0025–0,01	2–3	10–20	23–28	3–5
0,08–0,16	0,0050–0,01	2–4	10–20	30–40	1–2
0,16–0,32	0,0050–0,01	3–5	10–50	40–50	1
0,32–1,25	0,005–0,01	3–5	10–50	50–60	1

Примечание. Принятые обозначения: v_{cr} — окружная скорость круга, оставные см. в табл. 23.

25. Режимы хонингования брусками из белого электрокорунда из керамической связки зернистостью 4—5 для получения различной шероховатости

R_a , мкм	Гвердость брусков	v_0 , м/мин	$v_{\text{шп}}$, м/мин	Расход СОЖ, л/мин
0,02—0,04	СМ1—СТ1	40—60	6—10	12—20
0,04—0,08	М1—М3 СМ1—СТ1		2—20	5—10 10—20
0,08—0,16 0,16—0,32	М1—М3 М1—М3	20—150	2—15—20	3—10 1—3

Примечание. Принятые обозначения: v_0 — скорость скрежущей хонинговальной головки; $v_{\text{шп}}$ — скорость винклатно-поступательного движения хонинговой головки.

ОСНОВНЫЕ НЕПОЛАДКИ ПРИ ХРОМИРОВАНИИ

Помимо специфических неполадок, возможных при осаждении хрома из саморегулирующихся и тетрахроматного электролитов, приведенных на с. 136, 138 при хромировании возможны другие дефекты, общие для большинства электролитов хромирования (табл. 27).

27. Общие неполадки при хромировании

Неполадки	Причины неполадок
Отсланивание покрытия	Неудовлетворительная механическая обработка, в частности образование прижогов при шлифовании. Неудовлетворительное обезжиривание или декапирование. Загрузка холодных деталей под током.
Частичное покрытие поверхности деталей	В начальне хромирования же было толчка тока. Низкая плотность тока на отдельных участках поверхности из-за неправильной установки экранов, неудачного расположения анодов или взаимного экранирования соседних деталей. Неудовлетворительное обезжиривание или декапирование. Образование газовых мешков из-за неправильной завески деталей либо неудачной конструкции подвесного приспособления.
Наросты, пригар на выступающих участках и краях	Близкое расположение анодов к детали. Отсутствие или неправильное экранирование. Чрезмерно высокая плотность тока при данной температуре.

26. Режимы хонингования алмазными брусками АСО (125/100—М20) М1—100 при $v_0 = 6\frac{1}{2}$ —10 м/мин и $v_{\text{шп}} = 25\frac{1}{2}$ —40 м/мин для получения различной шероховатости

R_a , мкм	$\rho \cdot 10^{-4}$, МПа	Р соотв. СОЖ, л/мин
0,02—0,04	0,1—0,3	20—30
0,04—0,08	0,3—0,4	15—20
0,08—0,16	0,5—0,6	10—15
0,16—0,32	1,0—1,2	

Примечание. Принятые обозначения: ρ — давление, приложенное брусков из поверхность детали.

Продолжение табл. 27

Неполадки	Причины неполадок
Чрезмерное напряжение на штангах ванны	Образование плотной пленки на поверхности анодов. Чрезмерно высокое содержание в электролите Cr^{3+} и Fe^{3+} . Плохой контакт со штангой подвески или анода.
Серое покрытие, имеющее на своей поверхности мелкие черные точки	Недостаток H_2SO_4 в электролите. Ошибка при заполнении H_2SO_4 , результат которой завышен.
Низкая кроющая способность электролита, осадки серые	Высокая концентрация H_2SO_4 в электролите. Загрязнение электролита HNO_3 .
Серое покрытие на нижней части детали	Малое расстояние между нижней частью детали и дном ванны. Длина анодов значительно меньше длины детали.
Отсутствие покрытия во-круг отверстий	Не произведена заделка отверстий специально изготовленными пробками или свинцом.
Темные осадки, прекращение осаждения хрома, растворение свинцовой футеровки	Присутствие HNO_3 в электролите.
Быстрое накопление Cr^{3+} в электролите	Чрезмерно высокая анодная плотность тока по сравнению с катодной.
Чрезмерное дендритообразование на поверхности толстых хромовых покрытий	Низкая температура электролиза при данной плотности тока. Отсутствие Cr^{3+} в электролите при содержании H_2SO_4 на предельно высоком уровне.
Появление рисок и надиротов на пористом хромовом покрытии в процессе эксплуатации	Не соблюден температурный режим хромирования. Для выявления пор применена недостаточная интенсивность анодового трансформатора.
Неудовлетворительный осадок хрома на верхней части детали	Малое расстояние верхней плоскости детали от уровня электролита.
Низкая скорость осаждения хрома по сравнению с расчетной	Ошибка при расчете поверхности детали. Плохой контакт подвески со штангой или детали с подвеской. Чрезмерно массивные экраны. Слишком высокое содержание CrO_3 . Наличие в электролите следов HCl или HNO_3 . Чрезмерно высокая температура или слишком высокая плотность тока.

ингибиторы, так как возможно растворивание и наводороживание стали. Скорость растворения хрома в растворе HCl в зависимости от ее концентрации и температуры колеблется в пределах 100—200 мкм/ч.

После удаления хрома со стальных деталей необходимо проводить обезводороживание в течение 2—2,5 ч при $t = 200 \div 250^\circ\text{C}$.

Электрохимический способ более безопасен по сравнению с химическим. Он особенно эффективен при снятии толстых хромовых покрытий со стальных деталей. Раствор для снятия покрытий содержит 100—150 г/л NaOH или KOH. Обработку ведут на аноде, используя в качестве катодов стальные пластины. Температура $t = 20 \div 35^\circ\text{C}$, анодная плотность тока $i_a =$

$= 5 \div 20 \text{ A/dm}^2$. Опасно присутствие в растворе хлоридов, способных вызвать растворение и потемнение стали.

При удалении хрома с никеля концентрация щелочи должна быть 40—50 г/л, $a_t = 18 \div 20^\circ\text{C}$.

Для удаления покрытий с цинковых отливок рекомендуется раствор следующего состава (г/л):

Na ₂ S	30
NaOH	20
Режим работы: $t = 20 \div 25^\circ\text{C}$; $i_a =$	$= 2 \div 7 \text{ A/dm}^2$

Снятие хрома со стальных деталей может быть осуществлено при $i_a = 15 \div 20 \text{ A/dm}^2$ в отработанном электролите хромирования.

Глава 8. ЦИНКОВАНИЕ

ОБЩИЕ СВЕДЕНИЯ

Цинковые покрытия применяются для защиты от коррозии стальных деталей:

— эксплуатирующихся в наружной атмосфере различных климатических районов, в атмосфере промышленных районов (загрязненной SO₂), в закрытых помещениях с умеренной влажностью или загрязненными газами и продуктами горения (детали машин, крепежные детали, листы, проволока, детали ширпотреба и др.); соприкасающихся с пресной водой при температуре не выше 60—70°C (водопроводные трубы, питательные резервуары, предметы домашнего обихода);

— эксплуатирующихся при темпера-

турах до 300°C; находящихся в эксплуатации в контакте с топливами, содержащими сернистые соединения, и маслами (бензобаки, бензино- и маслопроводы и др.).

Для повышения коррозионной стойкости Zn покрытия подвергают хроматированию или фосфатированию. Хроматированные или фосфатированные Zn покрытия имеют удовлетворительную коррозионную стойкость при контакте деталей с топливом, содержащим сернистые соединения.

Покрытия Zn для деталей, находящихся внутри изделий при затрудненном обмене воздуха между внутренним пространством и внешней средой и наличии в замкнутом пространстве органических материалов, которые при старении выделяют летучие агрессивные вещества, рекомендуется применять с дополнительной защитой и лакокрасочными покрытиями.

Цинкование не следует применять для деталей, эксплуатирующихся в условиях морской атмосферы и в тропиках. Цинковые покрытия на деталях, эксплуатирующихся в тропиках, могут применяться при условии дополнительной защиты (окраска или периодически возобновляемая смазка).

Цинк принадлежит к электроотрицательной группе металлов; его стандартный потенциал минус 0,763 В.

Загрязненный примесями других металлов Zn сравнительно легко растворяется в кислотах и щелочах. Химически чистый Zn растворяется в них медленно вследствие того, что водород, который при этой реакции должен выделяться, имеет на Zn высокое перенапряжение.

Реагирует Zn также с H₂S и сернистыми соединениями, образуя сернистый цинк. В сухом воздухе Zn почти не изменяется. Во влажном воздухе и в воде, содержащей CO₂ и O₂, он покрывается пленкой, состоящей из ZnCO₃, которая защищает металл от дальнейшего разрушения.

В условиях тропиков покрытие нестойко. Особо значительна скорость коррозии Zn в атмосфере промышленного города.

Скорость коррозии Zn (мкм за 1 год) составляет: 0,5 при чистой сухой атмосфере (пустыня); 1,0—1,5 в сельской местности умеренного климата; до 5 при чистой влажной атмосфере тропиков; 6—8 в городе с атмосферой, загрязненной газами (CO₂, SO₂, H₂S); до 20 в городе с особо загрязненной атмосферой; 4—20 в атмосфере приморья.

Большое влияние на скорость коррозии Zn оказывает величина pH среды. В интервале pH 7—12 скорость коррозии Zn минимальна; она возрастает при отклонении от указанных значений.

Образующиеся в процессе коррозии Zn продукты, частично заполняющие поры в покрытии, несколько уменьшают скорость коррозии. Защитное действие Zn сохраняется не только при наличии пор, но и при других дефектах покрытия (царапины, забоины).

Анодный характер защиты стали цинковым покрытием нарушается при температуре выше 70 °С. Защитное действие Zn покрытия резко ослабляется также в атмосфере, содержащей продукты органического происхождения, например, синтетические смолы, олифу, хлорированные углеводороды.

Защитные свойства Zn покрытия определяются его толщиной и равномерностью осаждения. Покрытия Zn хорошо выдерживают изгибы и разваливку. Пайка оцинкованных деталей мягкими припоями производится с применением активных флюсов ($ZnCl_2$ и $Zn(BF_4)_2$), контактная сварка же осуществляется с затруднением.

ЭЛЕКТРОЛИТЫ ДЛЯ НАНЕСЕНИЯ ЦИНКОВЫХ ПОКРЫТИЙ И СПЛАВОВ НА ОСНОВЕ Zn

Цинкование производят в простых (кислых, сернокислых, хлористых, борфористоводородных) и сложных комплексных (цианистых, цинкатных, пирофосфатных, аммиакатных, амно-комплексных с различными органическими аддентами и др.) электролитах.

Качество осадков и скорость их осаждения зависят от природы и состава электролитов, которые в значительной степени определяются характером и степенью изменения катодных потенциалов (рис. 1). Чем резче выражена катодная поляризация, тем более мелкозернистые и равномерные

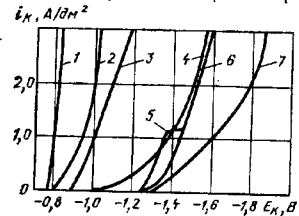


Рис. 1. Катодная поляризация электролитов цинкования (без перемешивания):

- 1 — сернокислый (1,5 н. $ZnSO_4$, 0,3 н. $Al_2(SO_4)_3$, 0,3 н. Na_2SO_4) при $pH = 4,5$;
- 2 — состав электролита № 1 (см. табл. 2);
- 3 — состав электролита № 3 (см. табл. 9);
- 4 — состав электролита № 1 (см. табл. 7);
- 5 — состав электролита № 1 (см. табл. 7);
- 6 — состав электролита № 4 (см. табл. 6);
- 7 — состав электролита № 3 (см. табл. 4).

по толщине покрытия осаждают детали.

В кислых электролитах без специальных добавок катодная поляризация невелика (см. рис. 1, кривая 1), хотя осадки из кислых электролитов удовлетворительны по структуре, но менее равномерны по толщине, чем из цианистых и других комплексных электролитов. Допустимая плотность тока и скорость осаждения в кислых электролитах могут быть значительно выше, чем в комплексных. Наиболее эффективными являются борфористоводородные электролиты, так как они обладают высокими буферными свойствами.

Кислые электролиты применяют главным образом для цинкования и листовой простой формы (листы, ленты, проволока, стержни, пластины и т. п.).

Осаждение цинка из цианистых электролитов происходит при высокой катодной поляризации, особенно при большом содержании свободного CN^- (см. рис. 1, кривая 7). Осадки из цианистых электролитов получаются очень мелкозернистыми и более равномерными по толщине, чем из кислых электролитов без специальных добавок.

В цианистых электролитах выход металла по току ниже, чем в кислых электролитах, он снижается при повышении плотности тока (особенно при большом содержании свободного CN^-), что способствует улучшению равномерности распределения металла на катоде. Допустимая плотность тока в цианистых электролитах как правило, ниже, чем в кислых.

Цианистые электролиты применяют в промышленности для нанесения покрытий на детали различной формы — простых и сложных по конфигурации.

В цианистых электролитах (без специальных добавок) происходит значительное наводороживание стальных деталей, что приводит к резкому ухудшению их механических свойств после цинкования: уменьшается пластичность, увеличивается склонность стали к хрупкому разрушению. Поэтому не допускается электролитическое цинкование в цианистых электролитах деталей, изготовленных из сталей с пределом прочности 1400 МПа и более.

Щелочные нецианистые, т. е. цинкатные, электролиты в отличие от цианистых истокиены и более просты

и устойчивы по составу, чем цианистые. Катодная поляризация в цианистых электролитах без специальных добавок ПАЗ выражается сравнительно небольшой величиной (рис. 1, кривая 5) и мало зависит от концентрации Zn и щелочи. Выход металла по току в интервале допустимых плотностей тока практически не изменяется и равен приблизительно 95—98 %.

В пиросфатных электролитах стационарные потенциалы и потенциалы выделения Zn на катоде имеют более отрицательные значения (см. рис. 1, кривая 4), чем в кислых электролитах. Повышенная катодная поляризуемость и снижение выхода Zn по току при увеличении плотности тока в этих электролитах обусловливают более равномерное распределение металла по катодной поверхности. Качество осадка в большой степени зависит также от pH, концентрации свободного $K_2P_2O_7 \cdot 3H_2O$ или $Na_2P_2O_7 \cdot 10H_2O$ и температуры.

В аммиакатных электролитах Zn присутствует в виде аммиачного комплексного катиона $Zn(NH_3)_n^{2+}$ (где $n = 1-4$ в зависимости от концентрации аммиака). Константы нестабильности K равны:

$$K_{n=1} = 4,26 \cdot 10^{-3}, \quad K_{n=2} = 1,54 \times 10^{-5}, \quad K_{n=3} = 4,87 \cdot 10^{-6}, \quad K_{n=4} = 3,46 \cdot 10^{-10}.$$

Восстановление этих ионов протекает при более отрицательном потенциале, чем восстановление простых гидратированных ионов, но с повышенным плотности тока катодный потенциал изменяется не так резко (см. рис. 1, кривая 3), как в цианистых и пиросфатных электролитах, —

наклон поляризационных кривых менее значителен. Рассеивающая способность аммиакатных электролитов выше, чем простых кислых (без специальных добавок), но уступает рассеивающей способности цианистых. Аноны в аммиакатных электролитах растворяются в интервале рабочих плотностей тока (равных катодным) с высоким выходом по току.

К комплексным электролитам с органическими аддентами относятся этилендиаминовые,monoэтаноламиновые, триэтаноламиновые, полиэтиленполиаминовые, гликоловые, трилонатные и др.

Для сравнительной оценки рассеивающей способности некоторых электролитов их можно расположить в следующий ряд по мере убывания величины РС: цианистые ($t = 25^\circ\text{C}$) → цинкатный с добавкой ПЭИ или ПЭПА → пиросфатный при $pH = 8,3$ и $t = 50^\circ\text{C}$ → цинкатный с добавкой Sn при 50°C → аммиакатный при $pH \approx 6,8$ и $t = 20^\circ\text{C}$ → аммиакатный с добавкой диспергатора НФ при $pH \approx 4,5$ и $t = 20^\circ\text{C}$ → полиэтиленполиаминовый при $t = 25^\circ\text{C}$ → борфористоводородный с добавками тиокарбамид и ОП-10 при $t = 25^\circ\text{C}$ → сернокислый с добавкой декстрина при $t = 25^\circ\text{C}$ → сернокислый без декстрина при $t = 25^\circ\text{C}$.

Скорость осаждения Zn в зависимости от катодной плотности тока и выхода по току приведена в табл. 1.

Некачественное покрытие Zn удаляется в растворе HCl и H_2SO_4 (50—100 г/л) при $t = 18-25^\circ\text{C}$ с последующей щадительной промывкой и нейтрализацией остатков кислоты.

1. Скорость осаждения Zn (мкм/ч) в зависимости от i_K и ВТ

i_K A/dm ²	ВТ, °						
	70	75	80	8	90	95	100
1	12	12,9	13,8	14,6	15,5	16,4	17,2
2	24	25,8	27,6	29,2	31,0	32,8	34,4
3	36	38,7	41,4	43,8	46,5	49,2	51,6
4	48	51,6	55,2	58,4	60,0	65,6	68,8
5	60	64,5	69,0	73,0	77,5	82,0	86,0
6	72	77,4	82,6	87,8	93,0	98,1	103,2
7	84	90,3	96,1	102,3	108,3	114,8	120,4
8	6	103,2	110,1	116,8	121,0	127,2	137,6
9	108	11,1	123,9	1	139,5	147,6	151,8
10	1	1	138,	146,0	155,0	164,0	172,0

Кислые электролиты. К кислым электролитам относятся сернокислые, хлористые и борфтористоводородные электролиты.

Основные компоненты — цинковые соли $ZnSO_4 \cdot 7H_2O$, $ZnCl_2$ и $Zn(BF_4)_2$. Растворимость $ZnSO_4 \cdot 7H_2O$ в воде велика (при 25 °C до 45 г/л). Его применяют в средних концентрациях (от 150 до 300 г/л). Хлористый цинк применяют реже, так как эту соль труднее получить в чистом виде, а высокое содержание ионов Cl^- в растворе вызывает разрушение анодов и коррозию цинковых покрытий.

Концентрация Zn выбирается в зависимости от требуемой скорости процесса. Чем больше концентрация Zn в растворе, тем выше допустимая плотность тока, но тем менее равномерны по толщине осадки Zn.

Применяются следующие соли щелочных металлов: $(NH_4)_2SO_4$, $NaCl$, NH_4Cl , $Na_2SO_4 \times X \cdot 10H_2O$, $Al_2(SO_4)_3 \cdot 18H_2O$.

Сернокислые и хлористые соли щелочных металлов вводят для повышения электропроводности. Некоторые добавки солей увеличивают также катодную поляризацию. Соль $Al_2(SO_4)_3 \cdot 18H_2O$ играет роль буфера и может находиться в растворе при условии, если pH не превышает 4,5. Соль $Al_2(SO_4)_3 \cdot 18H_2O$ до концентрации 30 г/л повышает катодную поляризацию. При этом осадки Zn приобретают более мелкозернистую структуру и красивы внешний вид с блестящим серебристым оттенком. Такое действие связано с образованием $Al(OH)_3$, играющего роль коллоида.

Кислотность электролитов оказывает влияние на катодный процесс при электроосаждении Zn. Практически применяют электролиты цинкования с pH 4—5, так как при большой кислотности электролита выход по току на катоде сильно снижается вследствие выделения H_2 , выход по току на аноде возрастает за счет химического растворения Zn. Кроме того, ухудшается качество катодного осадка.

Добавки — органические вещества, вводимые в кислые электролиты цинкования, улучшают структуру, внешний вид покрытий и рав-

номерность распределения его на катодной поверхности.

При цинковании с высокими плотностями тока (при цинковании проволоки, ленты и листов) органические вещества к электролиту не добавляю. В этом случае следует избегать так введения в электролит солей Na и K, так как в их присутствии выпадение $Zn(OH)_2$ происходит интенсивно.

Поверхностно-активные вещества (ПАВ) являются и блескообразователями. К ним относятся: 2,6(2,7)-гифтальидисульфокислота, тиокарбамид, поликарбамид, морфин, пиперидин и столярный клей, органические вещества на основе соединений алифатического и ароматического ряда.

Все добавки (коллоиды и ПАВ) ухудшают качество осадка при повышенной температуре электролита. Поэтому в присутствии добавок в кислом электролите надо поддерживать комнатную температуру (18—25 °C). При электролизе с $i_K \geq 5 A/dm^2$ в электролитах, не содержащих органические добавки (при цинковании проволоки, ленты, листов), температуру повышают до 50 °C. Плотности тока на катоде в неперемениваемых электролитах не выше 2—3 A/dm².

Значительно увеличиваются допустимые плотности тока (до 20—50 A/dm²) и улучшается декоративный вид осадков Zn при электролизе с применением ультразвука. Катодные выходы по току колеблются в пределах 95—100 % в зависимости от кислотности, температуры и плотности тока.

Составы и режимы работы кислых электролитов приведены в табл. 2 и 3.

Вредные примеси в кислых электролитах являются:

соли более электроположительных, чем Zn, металлов [Cu (0,01 г/л), As (0,001—0,005 г/л), Sb (0,001—0,01 г/л), Ag, Bi, Cd, Sn и др.]; в присутствии солей этих металлов в электролите на катоде образуются губчатые осадки темно-серого, иногда черного цвета, особенно при высоких pH, вследствие выделения этих металлов на предельном токе диффузии их ионов;

H_2O_2 , азотокислые соли. Аноиды для цинкования в кислых электролитах изготавливают, как правило, из чистого электроли-

2. Составы кислых электролитов цинкования (г/л), применяемых в ССРС, и режимы осаждения

Компоненты электролита и режим	№ электролита				
	1	2	3	4	5
$ZnSO_4 \cdot 7H_2O$	200—300	250—300	450—700	—	—
$ZnCl_2$	—	—	—	250—300	60—120
$Zn(BF_4)_2$	30—50	30—40	25—30	—	—
$Al_2(SO_4)_3 \cdot 18H_2O$	30—100	80—100	—	—	180—230
$Na_2SO_4 \cdot 10H_2O$	—	—	—	—	—
KCl	—	—	—	25—30	15—30
NH_4BF_4	—	—	—	—	—
H_2BO_3	8—10	1—2	—	—	—
Декстрин	—	—	—	—	—
Тромочевина	—	1,0	—	—	—
Блескообразователь БЦУ	—	1,5—2,0	—	—	—
Блескообразователь-закрепитель	—	—	—	—	—
Y^{2-}	—	—	—	1,5—2,0	—
ОС-20	—	—	—	—	30—70
Лимеда НЦ-10	—	—	—	—	2,5—5,0
Лимеда НЦ-20	—	—	—	—	—
$i_K, A/dm^2$	1—6	2,0—4,5	10—300	до 4—5	0,5—3,0
$t, ^\circ C$	15—25	15—25	40—50	15—25	18—30
pH	3,5—4,5	3,0—4,0	3,5—4,5	3,0—4,5	4,5—5,5

Приложения: 1. В электролитах № 1, 2 и 3 допускается замена $Al_2(SO_4)_3 \cdot 18H_2O$ на эквивалентное количество $KA_1(SO_4)_2 \cdot 12H_2O$. При $i_K > 2 A/dm^2$ электролиты следует перемешивать сжатым воздухом, очищенным от пыли и масла, и фильтровать непрерывно или периодически.

2. Электролит № 2 рекомендуется применять для получения блестящих Zn покрытий на деталях простой конфигурации.

3. Электролит № 3 рекомендуется применять при интенсивном перемешивании сжатым воздухом и непрерывном перетекании (с фильтрованием) для цинкования листов, движущихся непрерывно, проволоки и ленты.

Чем меньше диаметр проволоки и ширина ленты, тем большее допустимая плотность тока:

$i_K, A/dm^2$	Размер, мм
листы . . . до 10	—
проводка . . . от 50 до 300	диаметр 1,0—0,3
лента . . . от 10 до 100	ширина 100—10

4. В электролите № 4 при температуре 30—40 °C допускается повышение плотности тока до 10 A/dm².

5. Электролит № 5 рекомендуется применять для получения блестящих Zn покрытий на деталях сложного профиля.

тического Zn (99,8—99,9 % Zn), который может содержать менее 0,03 % Pb, 0,02 % Cd, 0,002 % Cu, 0,07 % Fe и 0,001 % Sn. Во всех кислых электролитах Zn аноды растворяются с высоким выходом по току, который при pH 1—2 составляет более 100 % вследствие коррозии. Во избежание загрязнения электролита анодным шламом Zn аноды следует заключать в чехлы из фильтровальной ткани или хлорина. Рекомендуется применять Zn, содержащий 0,05—0,20 % Mg и 0,25—1 % Ca. Аноды из такого Zn в меньшей степени образуют шлам и растворяются с малым выходом по току, благодаря чему состав электролита более устойчивый. Получили распространение литье аноды разных конфигураций (например, в виде шариков, цилиндриков), которые загружают в сетчатые корзины из Ti. Применение таких анодов позволяет полностью использовать металл и сократить его расход по сравнению с пластинчатыми анодами.

3. Составы кислых электролитов цинкования (г/л), применяемых за рубежом, и режимы

Компоненты электролита и режим	№ 350						
	1	2	3	4	5	6	7
Сервокислые							
ZnSO ₄ ·7H ₂ O	240	185	220	360	200	130—400	360
ZnCl ₂	—	—	—	—	10	—	—
Zn(BF ₄) ₂	—	—	—	—	—	—	—
Al ₂ (SO ₄) ₃ ·18H ₂ O	30	15	18	—	—	—	—
AlCl ₃ ·6H ₂ O	—	—	—	—	—	—	—
Na ₂ SO ₄ ·10H ₂ O	—	—	—	—	40	90	—
NaCl	—	—	9	—	—	30	72
NaF	—	—	—	—	—	—	—
CH ₃ COONa	15	—	—	—	—	—	—
MgSO ₄ ·7H ₂ O	—	—	—	15	—	—	—
NH ₄ Cl	15	30	—	30	—	—	C _{Cl}
(NH ₄) ₂ SO ₄	—	7	—	—	—	—	—
NH ₄ BF ₄	—	—	—	—	—	—	—
H ₃ BO ₃	—	—	15	4	—	5	19
Экстракт солодки	1	—	—	—	—	—	—
Глюкоза	—	—	—	120	—	—	—
Цинкоистар AZ-83 или	—	—	—	—	—	—	—
Цинкоистар AZ-84	—	—	—	—	—	—	—
<i>i_K</i> , А/дм ²	0,5—5	2—4	1—3	0,5—5	0,5—2	1—6	26—44
<i>t_K</i> , °C	25—50	18—25	18—27	20—50	18—50	15—45	57—65
pH	3,5—4,1	3,8—4,2	4,6—5	3,5—4,6	—	4—5	3—4

Примечание: 1. Электролиты № 7 и 8 применяются для цинкования проволоки, скорость осаждения Zn. При скорости 30 м/мин может быть применена плотность тока 25 А/дм², при необходимости применять более высокое напряжение (8—12 В).

2. В электролите № 9 при перемешивании плотность тока может быть увеличена до

3. В электролите № 13 плотность тока 10 А/дм² применяется лишь при интенсивном перемешивании.

4. Электролит № 16 применяется для цинкования в барабанах, колоколах и барабанах.

5. Электролиты в электролитах № 14 и 15 ведут при перемешивании сжатым воздухом нимемый при изготовлении электролитов, должен быть очень чистым.

Щелочные цианистые электролиты. Основными компонентами щелочных цианистых электролитов являются Na₂Zn(CN)₄ или K₂Zn(CN)₄, Na₂ZnO₂ или K₂ZnO₂, цианиды NaCN или KCN и щелочь NaOH или KOH. Исходными веществами для получения в растворе комплексных солей цинка служат NaCN, Zn(OH)₂ и ZnO.

Общая концентрация цинка в электролите может колебатьсяся в пределах от 0,25 до 1,5 г-экв/л.

При pH 10—13, соответствующем концентрации не более 0,1 и. Na₂OH, цинк находится в виде Na₂Zn(CN)₄; при pH > 13 — преимущественно в виде Na₂ZnO₂. При высокой концентрации CN⁻ цинк содержится в растворе в виде комплексного иона Zn(CN)₄²⁻, который и разряжается на катоде. При высокой концентрации

ионов OH⁻ на катоде протекает в основном разряд частиц Zn(OH)₂.

Качество образующихся осадков и выход по току зависят не только от абсолютного содержания свободных CN⁻ и щелочи, но и от соотношения концентрации этих веществ и Zn. Чем больше суммарный избыток CN⁻ и щелочи (главным образом CN⁻), тем при прочих равных условиях выше катодная поляризация, и, следовательно, осадки цинка должны быть более мелкозернистыми и равномерными по толщине.

При увеличении относительной концентрации CN⁻ в электролите снижается выход металла по току и тем значительно, чем выше плотность тока (рис. 2). Увеличение же относительной концентрации щелочи в электролите при соответствующем уменьшении содержания CN⁻ способствует сниже-

Напряжение	Составы	Плотности тока										Борфтористо-подородные
		8	9	10	11	12	13	14	15	16	17	
Хлористые												
350	—	135	195—244	100	75—150	300	70	40	—	200	300	—
—	—	—	—	—	—	—	—	—	—	—	—	—
—	22,5	—	—	—	1,5	—	—	—	—	—	—	—
—	230	—	—	—	75—150	—	—	—	—	—	—	—
—	—	—	—	—	2,3—16,0	—	—	—	—	—	—	—
—	—	—	—	—	—	—	—	—	—	—	—	—
—	244—292	150	—	—	200	180	150	54	27	—	—	—
30	—	—	—	—	—	—	—	—	—	35	—	—
—	—	—	—	—	—	—	—	—	—	—	—	—
—	—	—	—	—	—	—	—	—	—	—	—	—
—	—	—	—	—	—	—	—	—	—	—	—	—
—	—	—	—	—	—	—	—	—	—	—	—	—
10—65	5	10—100	10—50	1—10	До 10	До 8	До 1,6	2,5—10	До 33	—	—	—
88—53	18—30	18—65	18—65	18—30	До 55	10—35	10—35	20—40	55	—	—	—
3—5	3—4	3,8—5	—	4,8—5,4	3,5—4	5—5,5	5—5,5	3,5—4	3,5—4	—	—	—

ленти, полосы и т. п. Применение высоких плотностей тока позволяет получить высокую плотность Zn. Эти электролиты менее агрессивны, чем хлористые, однако из-за меньшей электропроводности.

10 А/дм² при перемешивании, в электролите № 17 — для цинкования прополоки, ленты, полосы и т. п.

Отношение C_{Cl}:C_{Zn} должно быть соответственно 4,5:1 и 6:1. Хлористый цинк, приме-

нию катодной поляризации и возрастанию выхода металла по току, вследствие чего равномерность распределения металла по катодной поверхности ухудшается.

Температуре щелочно-цианистых электролитов поддерживают в пределах 20—40 °C. С повышением температуры выход Zn по току растет. В зависимости от температуры катодная плотность тока составляет 0,5—5 А/дм²: чем выше температура, тем больше допустимая плотность тока. Однако при высоких плотностях резко снижается выход Zn по току, особенно при температурах до 40 °C (рис. 3).

Применение ультразвука с частотой колебаний около 20 кГц увеличивает катодный выход по току и позволяет увеличить допускаемый верхний предел плотности в 3—5 раз (до 20 А/дм²).

При этом осадки Zn получаются мелкозернистыми, полублестящими. Выход по току увеличивается с увеличением концентрации Zn (рис. 4).

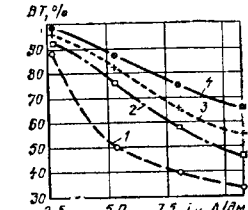


Рис. 2. Влияние плотности тока на катодный выход цинка по току в цианистых электролитах цинкования (при 30 °C), содержащих (г/л) 35Zn_{мет}, 70—90 Na₂C₂O₄, 75 NaOH_{общ} при соотношении C NaCN : C_{Zn}: 1 — 2,75; 2 — 2,5; 3 — 2,25; 4 — 2,0

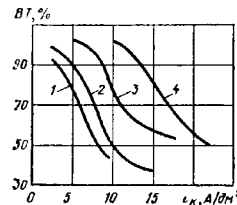


Рис. 3. Влияние плотности тока на катодный выход цинка в цианистом электролите, содержащем (г/л) 35Zn_{met}, 90 NaCN_{общ}, 75 NaOH_{общ}, при соотношении $C_{NaCN} : C_{Zn} = 2,6$ при различной температуре, °С:
1 - 30; 2 - 40; 3 - 50; 4 - 60

Органические вещества добавляют к цианистому цинковому электролиту главным образом для получения блестящих осадков.

Блескообразующее действие большинства применяемых добавок уменьшается или совсем исчезает при $t > 30^\circ\text{C}$.

Составы и режимы работы цианистых электролитов приведены в табл. 4 и 5.

Вредные примеси — это небольшие количества Cu, Pb, As, Sb, Sn, Ni в цианистом электролите, снижающие либо устрашающие блеск осадков. Примеси Cu⁺ (>1 мг/л) вызывают значительноное снижение выхода металла по току и отслаивание осадка. Вредной примесью являются также соли Mn.

Вредное действие примесей многих металлов устраняется химическим осаждением из раствора в виде сульфидов серосодержащими соединениями (на-

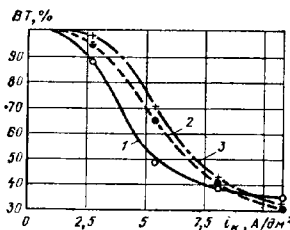


Рис. 4. Влияние концентрации Zn_{мет} (г/л) на катодный выход цинка по току при соотношении $C_{NaCN} : C_{Zn} = 2,7$, содержании 75 г/л NaOH_{общ} и температуре 80°C:

1 - 32; 2 - 40; 3 - 48

пример, Na_2S), цинковой пылью и восстановителями (фенилгидразине, альдегидами). Медь легче удаляется цинковой пылью, так как сульфиды меди хорошо растворимы в цианистом электролите. После добавления к электролиту 5—10 г/л цинковой пыли раствор следует выдержать в течение 24 ч при 45°C , а затем проработать при комнатной температуре постоянным током при $i_K = 5 \pm 9 \text{ A/dm}^2$ в течение 0,5—2 ч на свинцованных катодах и отфильтровать.

Шелевоные нецианистые (цинкатиевые) электролиты. Основными компонентами цинкатиевых электролитов являются комплексная соль цинка $\text{Na}_2\text{Zn}(\text{OH})_4$ или $\text{K}_2\text{Zn}(\text{OH})_4$ и свободная щелочь NaOH или KOH. В цинкатном растворе цинк находится в виде комплексных ионов $\text{Zn}(\text{OH})_4^{2-}$, а на катоде восстанавливаются преимущественно частицы $\text{Zn}(\text{OH})_2$ и $\text{Zn}(\text{OH})_4^{2-}$.

В отсутствие специальных добавок из этих электролитов выделяются губчатые осадки Zn даже при малых плотностях тока — ниже предельного тока диффузии ионов Zn. Добавление к цинкатному электролиту 1—3 г/л полиэтиленполиамина (ПЭПА) или полизиленминина (ПЭИ) позволяет получать при достаточно высоких i_K компактные осадки Zn.

Катодная поляризация в цинкатных электролитах (без добавления органических ПАВ) имеет характер преимущественно концентрационной поляризации, поэтому допустимый верхний предел плотности тока возрастает с повышением концентрации Zn, температуры и скорости перемешивания раствора (рис. 5).

При перемешивании электролита сжатым воздухом допустимый предел катодной плотности тока возрастает в 1,5—2 раза.

Наибольшее влияние на равномерность распределения металла на катоде оказывает концентрация Zn²⁺ в электролите, при повышении которой рассеивающая способность ухудшается.

Концентрация свободной щелочи, необходимой для устойчивости комплексной соли Zn и нормального растворения Zn анодов, должна быть тем больше, чем выше концентрация Zn. Отношение общей концентрации ще-

4. Составы цианистых электролитов цинкования (г/л), примененных в СССР, и режимы осаждения

Компоненты электролита и режим	№ 4. Электролиты для нанесения сплошных Zn покрытий, примененных в СССР, и режимы осаждения									
	1	2	3	4	5	6	7	8	9	10
ZnO	10—18	40—45	40—45	4—10	40	30—40	40—45	40	40—45	40—45
NaCN	20—30	80—90	80—85	15—40	75—85	90—100	75—85	90	80—90	80—90
NaOH	50—70	70—90	10—60	10—24	75—85	70—80	70—85	70	75—80	70—90
Na ₂ S	0,5—1	0,1—0,3	—	—	—	2—4	0,5—5	—	0,1—0,3	—
Глицерин	—	—	—	—	—	—	3—5	—	—	—
Na ₂ Mo ₄	—	—	—	—	—	—	—	3	—	—
$\text{Na}_2\text{S}_2\text{O}_3 \cdot 2\text{H}_2\text{O}$	—	—	—	—	—	—	—	2	—	—
Тиокарбоната	—	—	—	—	—	—	—	6	—	—
Блескообразователь БЦУ	—	—	—	—	—	—	—	—	—	—
Циклогексанон	—	—	—	—	—	—	—	—	—	—
Блескообразователь БЦ-1	—	—	—	—	—	—	—	—	—	—
$i_K, \text{ A/dm}^2$	0,5—2	1—6	1,5—2,0	0,5—2	2—20	5—6	2—2,5	3—5	До 6,0	0,5—2,0
$t, ^\circ\text{C}$	15—40	18—35	15—20	38—40	18—25	До 30	15—25	20—25	18—35	18—35
$t_K, t_a, \text{ с}$	—	—	—	—	10 : 1	—	—	—	—	—

Причина № 1. Электролит № 2, 5, 9 и 10 рекомендуется для получения сплошных Zn покрытий, электролит № 10 — для цинкования деталей в колбах и барботажем. На № 9 и № 10 блескообразование добавкой рекомендуется проводить после пропускания через

2. Корректирование электролита, равного 2—4 А·ч. Цинковое покрытие колеблется в пределах 80—95 %. В цинковом электролите количество цинка снижается с 73 до 43 %. Во всех случаях верхние концентрации катодной плотности тока соответствуют наибольшим значениям температуры и концентрации Zn.

ЦИНКОВАНИЕ

7. Составы пирофосфатных электролитов цинкования (г/л), применяемых в ССР, и режимы осаждения

Компоненты электролита и режим	# электролита				
	1	2	3	4	5
ZnSO ₄ · 7H ₂ O	50—60	60—70	93	36	50—70
K ₄ P ₂ O ₇ · 3H ₂ O	—	300—334	363	145	—
Na ₄ P ₂ O ₇ · 10H ₂ O	180—200	—	—	50	190—200
Na ₂ HPO ₄ · 12H ₂ O	—	—	—	—	20—30
(NH ₄) ₂ C ₆ H ₅ O ₇	16—20	45—55	—	—	—
(NH ₄) ₂ HPO ₄	—	—	~80	—	10
NH ₄ Cl	—	—	—	—	0,5—1,0
Na ₂ StO ₄ · 9H ₂ O	3—5	—	~2	10	—
Столярный клей	—	—	—	—	0,75—1,0
Сульфониловая кислота	—	0,1—0,5	—	—	—
Тиомочевина	—	—	—	—	0,10—0,15
<i>t_K</i> , А/дм ²	1—3	2—5	До 5	0,3—0,75	1,5—2,0
<i>t_A</i> , А/дм ²	—	0,5—1,0	—	—	≤0,8
<i>t</i> , °C	50—55	20—50	45—50	18—20	40
pH	8,0—8,3	8,5—9,0	7,5—8,5	11,2—11,5	9,0—10,0
Vт, %	95—75	92—83	93—85	70—60	—

Примечания: 1. Добавление к электролиту № 1 1—3 мл/л фурфуrola способствует образованию на катоде зеркально-блестящих осадков Zn при 30—35 °C и *t_K* = 1— $\frac{1}{2}$ А/дм². Для предупреждения образования пятнистого на блестящей поверхности Zn в электролите рекомендуют вводить 0,15 г/л лаурилсульфата натрия.

2. Из электролита № 2 осаждаются блестящие осадки Zn.

3. В электролите № 3 осаждение Zn производится при перемешивании. При 20 °C плотность тока до 2 А/дм².

4. Электролит № 4 рекомендуется применять для цинкования мелких деталей во вращающихся барабанах и колоколах.

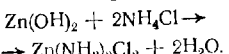
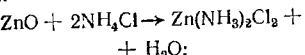
8. Составы пирофосфатных электролитов цинкования (г/л), применяемых за рубежом, и режимы осаждения

Компоненты электролита и режим	# электролита			
	1	2	3	4
Zn ₂ P ₂ O ₇ · 3H ₂ O	75	—	65	22—30
Zn	30	21,7	25	260—360
K ₄ P ₂ O ₇ · 3H ₂ O	300	—	360	—
Na ₄ P ₂ O ₇ · 10H ₂ O	—	169,6	—	—
K ₂ C ₆ H ₅ O ₇ · H ₂ O	15	—	—	—
(NH ₄) ₂ C ₆ H ₅ O ₇	—	15	—	—
MoO ₃	—	5	—	—
Отношение P ₂ O ₇ /Zn	6,8	4	9	11—13
<i>t_K</i> , А/дм ²	1,1—3,2	4,7	1,5—5,0	0,2—1,0
<i>t_A</i> , А/дм ²	1,6—3,2	4,7	—	1,5—3,5
<i>t</i> , °C	55	55	38—50	43—52
pH	10,0—10,5	8,5	11,0—11,6	10,9—11,6

Примечание. Электролит № 4 применяется для цинкования деталей в барабанах и колоколах.

Электролиты для нанесения цинковых покрытий и сплавов

растворением ZnO или Zn(OH)₂ в избытке NH₄Cl или (NH₄)₂SO₄ по реакции



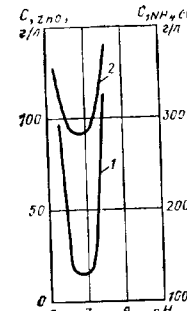
Содержание Zn в насыщенном растворе NH₄Cl зависит от pH среды. Минимальная растворимость ZnO (~14 г/л) соответствует нейтральной области в пределах pH 6,3—7,0. При более высоком и более низком значениях pH растворимость резко возрастает (рис. 6).

При введении ZnO в насыщенный раствор (NH₄)₂SO₄ образуются соответствующие комплексные соединения типа Zn(NH₃)₂SO₄, растворимость которых при pH > 7 также резко возрастает. При уменьшении pH растворимость такой комплексной соли, наоборот, снижается почти до нуля, и выпадают осадки труднорастворимой соли ZnSO₄ · (NH₄)₂SO₄ · H₂O. Подобные соединения образуются также при взаимодействии ZnO с CH₃COONH₄.

При увеличении концентрации NH₄Cl [а также (NH₄)₂SO₄] поляризуемость катода и рассеивающая способность при низких плотностях тока в щелочной области несколько возрастают. Благоприятное влияние NH₄Cl на рассеивающую способность оказывается также вследствие увеличения электропроводности. Аммиакатные электролиты обладают хорошими буферными свойствами.

Цинковые аноды при pH 6,6—8,2 и *t_A* > 0,8 А/дм² пассивируются, покрываясь пленками соли и окислов, состоящими из Zn(NH₃)₂Cl₂ и ZnCl₂ · 4Zn(OH)₂. Наилучшими депассиваторами в аммиачно-уротропиновом электролите является CH₃COONH₄ (80—100 г/л).

С целью улучшения структуры осадков в аммиакатные электролиты вводят ПАВ. Температура аммиакатных электролитов должна быть 18—40 °C. Катодная и анодная плотности тока составляют 1,5—4 А/дм² в зависимости от концентрации Zn, pH и температуры электролита. Аноды изготавливают из чистого Zn. Выходы по



току на катоде и аноде в рабочем интервале плотностей тока равны 90—100 %. Составы и режимы работы аммиакатных электролитов приведены в табл. 9.

Электролиты на основе аминокомплексных соединений Zn. К этой группе электролитов относятся растворы солей Zn, содержащие комплексные трилон Б, этилендиамин, моноэтаноламин, триэтаноламин, гликокол (аминоуксусная кислота), полиэтиленпоглинамин и др.

Этилендиаминовый электролит имеет следующий состав (г/л):

ZnO	• • • • •	30
NH ₄ Cl	• • • • •	180
(NH ₄) ₂ SO ₄	• • • • •	до 30
C ₂ H ₅ NH ₂ · 2H ₂ O	• • • • •	2
этилендиамин (20 %-ный раствор)	• • • • •	150 мл/л
желатина или столярный клей	• • • • •	1,0—1,5

Моноэтаноламиновый электролит имеет следующий состав (г/л):

ZnO	• • • • •	30
NH ₄ Cl	• • • • •	180
CdCl ₂ · 2,5H ₂ O	• • • • •	2
МЭА (40 %-ный раствор)	• • • • •	160 мл/л
желатина или столярный клей	• • • • •	1,0—1,5

Кадмий добавляют к электролитам в виде соответствующих аминокомплексов для улучшения растворения анодов. Выделяясь контактиру с Zn, Cd образует с Zn микрогальваниопары, ускоряющие ионизацию Zn.

Триэтаноламиновый электролит имеет следующий состав (г/л):
 ZnO 30
 NH_4Cl 180
 ТЭА (75 %-ный раствор) 250 мл
 желатина или столярный клей 1,0—1,5
 pH 8,0—8,8

Добавление Cd к триэтаноламиновому электролиту не требуется, так как Zn аноды хорошо в нем растворяются.

Режим осаждения для указанных трех типов электролитов: $t = 17 \pm 20^\circ C$; $i_R = 1,5 \pm 2,0 \text{ A/dm}^2$; $i_a = 1 \text{ A/dm}^2$

Полиэтиленполиаминовый электролит содержит никель в виде прочных комплексных ионов типа $ZnTeta^{2+}$.

Удовлетворительные по качеству осадки можно получить из этого электролита в присутствии NH_4Cl или $(NH_4)_2SO_4$ (100—200 г/л) при pH 8—9 и температуре 20°C.

В ЦНИИЦИЧЕ предложен полиэтиленполиаминовый (ПЭПА) электролит следующего состава (г/л):

$ZnSO_4 \cdot 7H_2O$ 120
 NH_4Cl 200

9. Составы аммиакатных электролитов цинкования (г/л) и режимы осаждения

Компоненты электролита и режим	% электролита							
	1	2	3	4	5	6	7	8
ZnO	—	25—0	14	32,5	16	15	—	—
$ZnSO_4 \cdot 7H_2O$	80—100	—	—	—	—	70—80	—	—
$ZnCl_2$	—	—	—	—	—	20	—	10—120
NH_4Cl	160—200	0,0—220	—	—	300	250	0,0—230	180—220
CH_3COONH_4	—	80—10	—	—	—	—	—	—
NH_4CNS	—	—	—	—	—	—	—	—
H_3BO_3	—	—	20	—	—	20	—	—
Клей столярный	1—2	—	1	—	—	—	—	—
Уротропин	—	—	—	—	—	—	—	—
Дисперсатор ПФ (сорт А или Б), мл	—	—	—	—	—	—	—	—
ОС-20	—	1—5	—	—	—	—	—	—
Ликонда $ZnSR$ -A, мл.	—	—	—	—	—	—	30—35	—
Ликонда $ZnSR$ -B, мл	—	—	—	—	—	—	—	—
$i_R, \text{ A/dm}^2$, не более	0,8—1,5	1—3	1,5	2	1	1,	1—	6,8—6,0
$t, ^\circ C$	15—20	20—35	25—30	20—40	~20	25	18—25	18—
pH	5,8—6,5	7,5—8,2	6,8—7,0	6,5—8,0	7,8—8,2	6,5	3,5—5,0	4,7—6,0

Примечание: 1. Электролиты № 6—7 применяются для осаждения матовых покрытий, № 8 — блестящих.

2. Корректировка электролита по блескообразующему добавкам производится Ликондой $ZnSR$ -C.

ПЭПА 90 м
 Режим осаждения: $t = i_R = 1 \text{ A/dm}^2$; $pH = 7,95$

Осаждение сплавов. Сплав Zn — улучшает паяемость деталей в боле значительной степени, чем Zn покрытия, и слегка повышает их коррозионную стойкость. Его широко применяют для покрытия деталей в радиотехнической и электронной промышленности. Основной состав электролита следующий (г/л):

ZnO 20—2,
 $NaOH$ 100—120
 станиннат натрия 0,4—0,
 Режим осаждения: $t = 25 \pm 30^\circ C$; $i_R = 1 \pm 1,5 \text{ A/dm}^2$; аноды из Zn с присадкой 0,2—0,3 Sn.

Сплав Zn-Ni. Легирование Zn покрытий Ni способствует повышенной коррозионной стойкости при сохранении их потенциала по отношению к защищаемому металлу, например, стали. Наиболее коррозионно-стойкими являются покрытия Zn-Ni, содержащие 25—28 % Ni. Микротвердость покрытий Zn-Ni при 98 % Zn составляет

115—125, а при 72—87 % Zn — соответственно 400—450. В большинстве случаев их получают из цианистого или аммиакатного электролита.

Цианистый электролит позволяет осаждать покрытия Zn-Ni, содержащие 5—10 % Ni. Состав электролита следующий (г/л):

Zn (в виде металла) 3—5
 Ni (в виде металла) 0,15—0,75
 $NaCN$ (общий) 65—100
 $NaOH$ (общий) 60—70
 Режим осаждения: $t = 204^\circ C$; $i_R = 1 \pm 3 \text{ A/dm}^2$; аноды из Zn; $ET = 80 : 90 \%$.

С повышением концентрации Ni от 0,7 до 5,9 г/л увеличивается содержание Ni в сплаве до 5 %; покрытия осаждаются блестящие со светло-желтым оттенком. При концентрации Ni > 6 г/л получается губчатые осадки, хотя и увеличивается содержание Ni в сплаве.

Аммиакатный электролит позволяет получать качественные покрытия сплавом Zn-Ni на деталях более простой конфигурации. Состав электролита следующий (г/л):

ZnO 10—15
 $NiCl_2 \cdot 6H_2O$ 35—90

10. Неполадки при цинковании

Неполадка	Причина неполадок	Способ устранения
Цианистые электролиты	Загрязнение электролита Zn , Pb , Sn (0,05 г/л) и Li (1,0 г/л) или Ni. Недостаток щелочи в электролите.	Добавить в электролит сернистый натрий (2—4 г/л), проработать электролит щелочью.
Матово-покрытие при освещении в HNO_3 темнеет	Загрязнение раствора для освещения (азотной кислотой) Cu или попадание в него цианистого электролита. Или бы Zn в электролите.	Сменить раствор для освещения.
Обильное выделение водорода на деталях	Заражение электролита хромовыми солями (1—2 л на 100 л электролита).	Откорректировать электролит.
Пузыри в покрытии	Плохая подача отложений основного металла; пористость основного металла; наличие дефектов в основном материале вследствие склонности к агрессии металла при браковке давлением.	Заменить электролит.
	Высокая начальная плотность тока.	Улучшить подготовку поверхности.
	Снизить плотность тока.	
	Соблюдать режим подготовки: внести прогрев после травления.	
	Проработать током электролита и отфильтровать; в случае загрязнения хромовыми римесами менять электролит.	

Продолжение табл.

Неполадки	Причина неполадок	Способ устранения
Появление на анодах пас-сивной пленки	Недостаточное содержание цианида и щелочи в элек-тродите	Откорректировать электролит очистить аноды стальной щет-кой
Быстрое истощение Zn в электролите	Высокая анодная плотность тока	Снизить анодную плотность тока
Покрытие хрупкое	Загрязнение электролита органическими соедине-ниями	Проработать электролит током
Покрытие очень пористое, аноды плохо растворяются; на стеках ванн и верхних частях анодов белый рыхлый налет	Накопление карбонатов в электролите	Осадить карбонаты сажью б-ра или вымораживанием при -5 °C, откорректировать элек-тролит
Углубленные участки деталей плохо покрываются Zn	Ухудшение рассеивающей способности электролита:	
	высокая концентрация Zn низкая концентрация цианидов высокая температура электролита	Снизить концентрацию Zn, заменить Zn аноды с альминия. Добавить цианид
Накопление Zn в электро-лите	Избыток цианида и едкой щелочи в электролите, хи-мическое растворение ано-дов в щелочи	Снизить температуру электролита Наряду с Zn анодами приве-нить нерастворимые стальны-е аноды; соотношение поверхно-сти анодов устанавливается опытным путем в зависимос-ти от количества избыточного Zn
Сернокислые электролиты		
Покрытие темное, губчатое, рыхлое	Загрязнение электролита соединениями Cu (св. 0,08 г/л), Pb и Sb (св. 0,05 г/л), Fe (св. 0,6 г/л), As (св. 0,005 г/л), азотно-кислыми солями, хромо-кислыми и марганцевыми солями, органическими со-единениями	Очистить электролит от за-грязнений следующими спосо-бами: от Cu, As, Sb, Pb — проработкой электролита по-стоянным током при напряже-нии не выше 2 В; загрязне-ния осаждаются на катоде; от Fe — химическим способом. Нагреть раствор до кипения, добавить надсернокислый на-трий или калий (0,3—1,1 л) или H ₂ O ₂ (0,5 мл/л) для окисле-ния Fe ²⁺ в Fe ³⁺ , затем раство-рить нейтрализовать разба-вленным раствором NaOH, ду-туглистой содой или ZnCO ₃ при непрерывном перемешива-нии до помутнения; от органи-ческих соединений — добавкой H ₂ O ₂ и проработкой током; желатину и клей можно осадить раство-ром танина (0,1—0,2 г/л). Затем электролит отфильтро-вать. Откорректировать кислотность электролита; снизить плотность тока
Темные пятна на покры-тии, особенно при высоких плотностях тока	Слишком низкая кислот-ность электролита; слиш-ком высокая плотность тока	Покрытие серого цвета; низкая рассеивающая способ-ность электролита
Использование недобро-качественного дектрина		Покрытие темно-серого цве-та; на краях и острых углах деталей покрытие осаждается в виде «губки»
Ослабление блеска покры-тия в электролите блес-ящего цинкования	Повышенная температура pH < 2,5; низкая катод-ная плотность тока; недо-статок блескообразователя	Понизить температуру, повы-сить плотность тока, откор-ректировать pH, обавить блескообразователей (H ₂ O ₂ , надсернокислые соли)

Продолжение табл. 10

Неполадки	Причина неполадок	Способ устранения
Покрытие шероховатое	Чрезмерная плотность то-ка Слишком низкая концен-трация Zn	Снизить плотность тока Откорректировать электролит
Покрытие хрупкое	Загрязнение электролита механическими примесями	Очистить электролит
Отслаивание покрытия	Повышенное содержание органических добавок	Добавить H ₂ O ₂ и проработать током; клей осадить раствором танина (0,1—0,2 г/л); затем электролит отфильтровать
Пятнистое и бороздчатое покрытия	Неравномерное покрытие, отсутствие покрытия даже на малоуглубленных участ-ках	Откорректировать pH
	Хлопьевидные сгустки в электролите	Улучшить подготовку поверх-ности
Хлористоаммонийные электролиты		
Значительное газовыделе-ние	Повышенная кислотность или катодная плотность тока	Довести pH до нормы, снизить плотность тока
В электролите и на аноде выделяется кристаллический осадок солей; иногда наблюдается пассивация анодов	Повышенная кислотность	Довести pH до нормы
Покрытие крупнокристал-лическое; электролит не меняется	Недостаток клея	Добавить 1 г/л клея
При нормальной величине pH аноды пассивируются	Повышенная анодная плот-ность тока	Увеличить площадь анодов
При нормальной величине pH в электролите выпри-сталлизовываются соли	Повышенная концентра-ция солей	После анализа откорректиро-вать электролит
Покрытие серого цвета; низкая рассеивающая способ-ность электролита	Недостаток NH ₄ Cl	После анализа откорректиро-вать электролит
Покрытие темно-серого цве-та; на краях и острых углах деталей покрытие осаждается в виде «губки»	Загрязнение электролита солями Cu (св. 0,2 г/л), Fe (св. 1 г/л)	Удалить Fe подщелачиванием электролита с последующей фильтрацией. Проработать элек-тролит при плотности тока 0,2—0,3 A/dm ² до устранения дефекта
Полосчатые покрытия в электролитах с добавками Liонда ZnSR	Недостаточное перемешива-ние; количество Liонда ZnSR-B завышено по отно-шению к ZnSR-A	Увеличить перемешивание элек-тролита; откорректировать элек-тролит добавкой ZnSR-C
Покрытие темное	Пониженная кислотность	Добавить химически чистую H ₂ SO ₄ или HCl до необходи-мого значения pH

Т о д и н т .

Неполадки	Причина неисправок	по страницам
Покрытие шероховатое	Электролит загрязнен механическими примесями. После длительной эксплуатации в электролите и к плавается избыток солей ZnO.	Профилактика троллитом. После отработки пасты добавить деконтратролит в рабочую ванну, разбавив во электролит до содержания ZnO в норме. Для уменьшения роста концентрации ZnO в электролите необходимо часть ZnO удалить из раствора воронкой (гравитационной).
Детали плохо покрываются на глубину	Высокая температура электролита	Температура электролита снижать до 20—30 °C
Сульфатноаммонийные электролиты		
Покрытие темное, губчатое; зеркало ванны покрывается белой пеной; сильное газоизделие	Высокая плотность тока	низкая плотность тока
Низкая кроющая способность, на сложнографилированных деталях в углублениях осаждается темное губчатое покрытие или покрытие отсутствует	Недостаточная концентрация диспергатора	Добавить в электролит диспергатор
При нормальном содержании компонентов иногда осаждается губчатое покрытие	Электролит долгое время не использовался	Прорастиать электролит при плотности тока 1 А/дм ² на производственных катодах
Цинковые электролиты		
Покрытие смное, убачное	Наличие Sn ⁴⁺ . Низкое содержание Sn. Низкая концентрация ZnO. Повышенная катодная плотность тока	Добавить H ₂ O ₂ . Увеличить содержание Sn. Повысить катодную плотность тока. Повысить температуру якоря. Проработать электролит.
Темные непокрытые участки	Экранирование деталей и стяжками распределение их по сосудам	Изменять конструкцию рабочей печи при работе, облегчая ее детали.
Остывшие покрытия на всей поверхности детали при низкой плотности покрытия	Загрязнение оксидом азота в электролите (H ₂ O ₂ , SO ₂ и др.)	Проработать электролит при работе с электролитом постоянным током в чугунной агрегации со щелочами HNO ₃ , изменить электролит.
Пассивирование анодов, сопровождающее выделением кислоты	Недостаток NaOH. Высокое значение анодной плотности тока	Добавить NaOH и изменить анодную плотность тока до нормы, не превышающей 0,25—0,50 А/дм ² .
Покрытие светлое, мелкорыхматичное, с различными механическими примесями	Загрязнение электролита плакатом и другими механическими примесями	Отфильтровать электролит.

ПРИГОТОВЛЕНИЕ ЭЛЕКТРОЛИТОВ

Цианистый электролит. Растворить отдельно в минимальном количестве воды NaCN(KCN) и NaOH(KOH)

Оксид цинка развести в небольшом количестве воды, довести до кашеобразного состояния и при помешивании постепенно добавлять в раствор NaCN. После растворения основной массы ZnO добавить раствор NaOH, все тщательно перемешав и отфильтровав. К отфильтрованному чистому раствору добавить остаточное расчетное количество воды. Сернистый натрий Na₂S из расчета 0,5 л/л растворить в небольшом количестве воды и последним внести в электролит. Блескообразующие добавки вводят в электролит после его проработки током до получения светлых осадков Zn. Всю операцию приготовления электролита проводить при соответствующей вентиляции ванн.

Можно заменить ZnO свежесаженным Zn(OH)₂, полученным из ZnSO₄·7H₂O и промытым двухкратной декантацией.

При применении KCN вместо NaCN следует соответствующий стехиометрический пересчет.

Сернистый электролит. Компоненты электролита растворить в воде (H₃BO₃ в горячей воде) в отдельных емкостях, после чего все растворы декантировать или фильтровать в рабочую ванну, которую затем долить водой до требуемого объема.

Декстрин растворить в небольшом количестве холодной воды; полученный мутный раствор добавить в ванну и электролит подогреть до температуры 70 °C при непрерывном перемешивании. После подогрева электролит становится прозрачным. Приготовленный электролит прорабатывать в течение нескольких часов на производственных катодах при $i_R = 0,7 \div 1,0$ А/дм², после чего ввести блескообразующие добавки.

Хлористоаммонийный электролит. Такой электролит следует готовить в винилластовых ваннах.

В половине расчетного объема горячей воды с температурой 70—80 °C (желательно применять конденсат, допускается использовать водопроводную воду после ее опробования) растворить NH₄Cl, затем ввести ZnSO₄·7H₂O, растворенный предварительно в минимальном количестве воды, и тщательно перемешать. Далее ввести в ванну при комнатной температуре отдельно растворенный CH₃COONH₄. После растворения всех компонентов раствор декантировать или фильтровать в рабочую ванну.

Ввести в ванну раствор диспергатора, долить водой до рабочего объема, проверить pH и проработать при $i_R = 0,25 \div 0,50$ А/дм² до получения светлых гладких осадков Zn. Время проработки электролита зависит от чистоты химикатов (около 0,5—1,0 А/ч на 1 л электролита).

Пирофосфатный электролит. Пирофосфат калия и ZnSO₄·7H₂O растворить отдельно в подогретой до 80 °C воде. При перемешивании K₄P₂O₇·3H₂O влиять раствор ZnSO₄·7H₂O. Образовавшийся при слиянии растворов творожистый осадок Zn₂P₂O₇ при интенсивном перемешивании растворить в избытке K₄P₂O₇ · 3H₂O и охладить полученный раствор до комнатной температуры. Образующийся кристаллический осадок

K_2SO_4 отфильтровать (или декантировать раствор в рабочую ванну), а осадок удалить. Отдельно в подогретой до 80°C воде растворить расчетное количество NH_4Cl и влить в рабочую ванну. Декстрин растворить в небольшом количестве теплой воды и внести в ванну. Ватем ванну долить водой до рабочего уровня и откорректировать pH раствора. Приготовленный электролит проработки током не требуется.

Цинкатный электролит. Необходимое количество NaOH растворяют в небольшом объеме (около 0,1 рабочего объема ванны) воды и подогревают до температуры $90-100^\circ\text{C}$, после чего при непрерывном помешивании вводится ZnO до полного его растворения. Оксись цинка может быть заменена

свежесаженным $\text{Zn}(\text{OH})_2$. Затем раствор фильтруют через щелочестойкий фильтр в рабочую ванну. В последнюю очередь вводят добавочные и блескообразующие вещества.

Этилендиаминовый (моноэтаноламиновый) электролит. Растворить NH_4Cl в половинном от расчетного объема воды при $70-90^\circ\text{C}$, полученный раствор приливают небольшими порциями к ZnO , предварительно смоченной водой, при непрерывном перемешивании. После охлаждения раствора до $35-40^\circ\text{C}$ к нему добавляют этилендиамин или моноэтаноламин и заранее приготовленный раствор желатина или клея. Приготовленные электролиты прорабатывают перед цинкованием постоянным током из расчета 1-5 А·ч/л.

Глава 9.

КАДМИРОВАНИЕ

ОБЩИЕ СВЕДЕНИЯ

Кадмиевые покрытия применяются для защиты от коррозии деталей: из высокопрочных и пружинных сталей; сталей, работающих при температуре до 250°C и эксплуатируемых в условиях воздействия морской воды; сложнопрофилированных и деталей, эксплуатируемых в условиях тропического климата.

Кадмирование применяется также для защиты стальных и медных деталей в целях предупреждения контактной коррозии алюминиевых и магниевых сплавов.

Для повышения коррозионной стойкости покрытие Cd подвергают хроматированию или фосфатированию.

Покрытие Cd не следует наносить на детали, работающие в атмосфере промышленных районов, в контакте с топливами, содержащими сернистые соединения, в атмосфере, содержащей летучие агрессивные соединения, выделяющиеся из органических веществ (при высыхании олифы, масляных лаков и т. п.).

Кадмий — пластичный металл серебристо-белого цвета, легко поддается вальцовке, штамповке и протяжке. По своим химическим свойствам Cd весьма близок к Zn, но в отличие от него Cd нерастворим в щелочах. Стандартный потенциал Cd равен $-0,403$ В.

Близость потенциалов Fe и Cd приводит к тому, что в различных условиях эксплуатации характер защиты стали от коррозии кадмированием может быть электрохимическим, подобно Zn, или механическим, аналогично Sn, Ni и другим металам.

В растворах, содержащих хлориды (морская вода), Cd является анодом по отношению к Fe. Cd покрытие в условиях воздействия солевых брызг,

тумана дает более эффективную защиту от коррозии, чем цинковое. Этому способствует и большая химическая устойчивость Cd по сравнению с Zn. Кадмий очень быстро разрушается при контакте с изделиями, содержащими олифу, различные смазочные материалы, а также с пластмассовыми деталями, выделяющими газообразные продукты в результате неполной полимеризации.

Электролиты для кадмирования можно разделить на простые кислые и сложные комплексные, которые по природе аннона соли Cd и комплексообразующего лиганда подобны электролитам цинкования. Поведение этих электролитов характеризуется поляризационными кривыми, приведенными на рис. 1.

В цианистом (и особенно пирофосфатном) электролите Cd осаждается на катоде при более высокой поляризации, чем из сернокислого электролита без специальных добавок. В присутствии добавок можно получать более равномерные по толщине покрытия, чему способствует также снижение выхода металла по току при увеличении катодной плотности тока, особенно заметное при малом содержании Cd. Электролиты, содержащие эффективные добавки ПАВ (кривая 2),

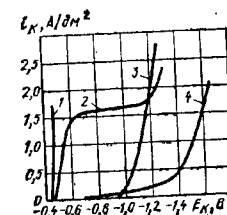


Рис. 1. Катодные поляризационные кривые в различных электролитах кадмирования:
1 — сернокислый; 2 — сернокислый с ПАВ; 3 — цианистый; 4 — пирофосфатный

1. Скорость осаждения Cd (мкм/ч) в зависимости от i_K и ВГ

i_K , А/дм ²	ВГ, %					
	75	80	85	90	95	100
1	18,2	19,4	20,6	21,8	23,1	24,2
2	36,4	38,8	41,2	53,6	46,2	48,4
3	54,6	58,3	61,8	65,4	62,3	72,6
4	72,8	77,6	82,5	87,2	92,4	96,8
5	91,0	97,0	103,0	109	115,5	121,0
6	109,2	116,6	124,0	130,8	138,6	145,2
7	127,4	136,0	144,6	152,6	161,7	169,4
8	145,6	155,4	165,2	174,4	184,8	193,6
9	163,8	174,8	185,8	196,2	207,9	217,8
10	182,0	194,0	206,0	218,0	231,0	242,0

могут заменять токсичные цианистые электролиты.

Скорость осаждения Cd в зависимости от катодной плотности тока и выхода по току приведена в табл. 1.

Удаление некачественного Cd покрытия производится в одном из растворов следующего состава (г/л):

1. NH_4NO_3 100–200
2. CrO_3 200–250
 H_2SO_4 5–15

Режим обработки: $i = 18–25$ А/дм²; продолжительность обработки до полного удаления Cd.

ЭЛЕКТРОЛИТЫ ДЛЯ НАНЕСЕНИЯ КАДМИЕВЫХ ПОКРЫТИЙ И СПЛАВОВ НА ОСНОВЕ Cd

Кислые электролиты. К кислым электролитам кадмирования относят сернокислые, борфтористоводородные,

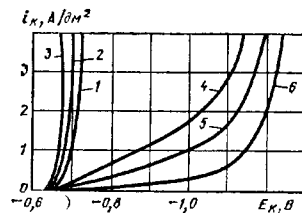


Рис. 2. Катодные поляризационные кривые в процессе электроосаждения кадмия из борфтористоводородного электролита, содержащего 143 г/л $(\text{BF}_4)_2$ и 35 г/л HBF_4 без ПАВ (1–3) и с добавками 2 г/л ДЦУ + 2 г/л ОС-20 (4–6), при различной температуре, электролита (°С): 1, 6 – 20; 2, 5 – 40; 3, 4 – 50

галогенидные, кремнефтористоводородные, перхлоратные, фенол- и фенол-дисульфоновые электролиты.

Природе аниона солей Cd в растворах без специальных добавок оказывает большое влияние на катодную и анодную поляризацию, выход металла по току и структуру осадков. Так, в зависимости от природы аниона катодная и анодная поляризация Cd возрастает (при $i_K = 1$ А/дм²) от 10 до 50 мВ в следующем ряду: $\text{Cl}^- < \text{Br}^- < \text{SO}_4^{2-} < \text{BF}_4^- < \text{ClO}_4^-$.

Все кислые электролиты кадмирования без добавок органических ПАВ дают крупнозернистые осадки Cd на катоде. Одновременное присутствие некоторых ПАВ оказывает более сильное действие на катодную поляризацию и структуру осадков Cd, чем отдельные вещества, что обясняется образованием более плотных адсорбционных слоев на границе раздела металл—раствор.

Значительно повышается катодная поляризация и улучшается качество осадков Cd после добавления к сернокислому электролиту 0,1–0,5 г/л ПАВ типа БГУ совместно с желатиной. В борфтористоводородному электролите, так же как и в сернокислом, совместное воздействие нескольких добавок ПАВ дает лучшие результаты, чем одной из них.

Значительное торможение катодного процесса с образованием мелкокристаллических светлых осадков Cd на катоде наблюдалось при добавлении к борфтористоводородному электролиту 2 г/л ОС-20 и 2 г/л ДЦУ (рис. 2).

Из рис. 3 видно, что хорошим буферным свойством в области рН

Электролиты для нанесения кадмиевых покрытий и сплавов

4,2–4,5 обладает электролит, содержащий $\text{Al}_2(\text{SO}_4)_3 \cdot 18\text{H}_2\text{O}$.

Аноды для кадмирования в кислых электролитах изготавливают из чистого электролитического Cd. Во всех электролитах Cd аноды растворяются с высоким (~100 %) выходом по току.

Режим работы (температура и плотность тока) примерно такой же, как в кислых Zn электролитах.

В табл. 2 приведены составы кислых электролитов кадмирования и режимы осаждения.

Цианистые электролиты. Основными компонентами кадмиевых электролитов являются комплексная цианистая соль кадмия $\text{Na}_2\text{Cd}(\text{CN})_4$ или $\text{K}_2\text{Cd}(\text{CN})_4$, свободный цианид и Na_2CO_3 или K_2CO_3 . Исходными веществами для

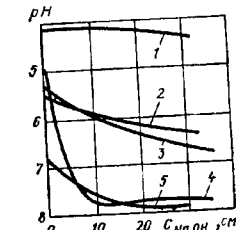


Рис. 3. Буферные свойства электролитов сернокислого кадмия (концентрация NaOH 0,2 л.):

- 1 — $\text{CdSO}_4 + \text{Al}_2(\text{SO}_4)_3$; 2 — $\text{CdSO}_4 + \text{H}_3\text{BO}_3 + \text{NaCl}$; 3 — $\text{CdSO}_4 + \text{H}_3\text{BO}_3$; 4 — CdSO_4 ; 5 — $\text{CdSO}_4 + \text{CH}_3\text{COONa}$

2. Составы кислых электролитов кадмирования (г/л) и режимы осаждения

Компоненты электролита и режим	№ электролита						
	1	2	3	4	5	6	7
$\text{CdSO}_4 \cdot 8/3 \text{H}_2\text{O}$	60–65	—	—	50–75	350–380	—	143
$\text{Cd}(\text{BF}_4)_2$	—	—	—	—	—	—	200–220
CdO	—	15–30	40–50	—	—	—	—
CdCl_2	25–30	—	—	—	—	—	10–45
$\text{Al}_2(\text{SO}_4)_3 \cdot 18\text{H}_2\text{O}$	—	—	—	—	—	—	—
HF	—	48–75	—	—	20	—	—
H_2SO_4	—	—	—	—	—	—	—
H_3BO_3	—	—	—	—	—	—	—
$(\text{NH}_4)_2\text{SO}_4$	30–35	—	—	—	—	42	25–40
NH_4BF_4	—	—	200–280	—	—	—	—
NH_4Cl	—	—	30–40	—	—	—	—
NaCl	—	—	—	4–6	—	—	—
Синтансол ДС-10	—	—	—	—	—	—	—
Лимеда ВК-10, мл/л	—	15–30	—	—	—	—	—
Клей маздорвый	0,5–0,7	—	1–2	3–5	1,0	—	1–2
Закрепитель ДЦУ	—	—	—	—	—	1,0	—
Алюминий	—	—	7–10	—	—	—	5,0
Титаночвина	—	—	—	—	—	—	—
Желатина	—	—	—	—	—	—	—
i_K , А/дм ²	0,5–1,0	1–4	0,8–1,2	1–2,5	30–150	До 3	2–3
i , А/с	15–25	15–22	20–40	18–25	20–10	20	20
pH	3,5–3,5	1,0	4–4,5	0,5–1,5	3–4	4–4,5	3,2–3,6

П р и м е ч а н и я: 1. В электролитах № 3 и 6 светлые покрытия осаждаются лишь при $i_K = 1,0 \div 1,2$ А/дм², причем во втором из них распределение металла очень неравномерное.

2. В электролите № 4 плотность тока может быть увеличена до 7 А/дм² при перемешивании.

3. Электролит № 5 применяется для кадмирования сложнопрофилированных деталей.

4. Электролит № 1 применяется для нанесения Cd покрытия на мелкие детали в колодках и барабанах.

5. Электролиты № 2, 4, 7 применяются для блестящего кадмирования.

получения растворов солей Cd служат CdO , $\text{Cd}(\text{OH})_2$ и CdCO_3 . При взаимодействии цианида с исходными компонентами царялу с цианидом кадмия $\text{Na}_2\text{Cd}(\text{CN})_4$ образуется NaOH или Na_2CO_3 .

Чем выше концентрация Cd, тем выше допустимая плотность тока и выход металла по току. Концентрация свободного цианида, необходимого для обеспечения устойчивости комплексной соли Cd, улучшения структуры и равномерности по толщине осадка, поискаания алюминий поляризации и повышения растворимости Cd анодов, не должна быть меньше содержания связанныго цианида. При покрытии деталей сложной конфигурации рекомендуют поддерживать более высокую концентрацию свободного NaCN.

Выход по току при повышении содержания Cd в растворе от 15 до 30 г/л при постоянной концентрации свободного цианида возрастает, и наводороживание значительно уменьшается. Изменение концентрации NaCN (свободного и общего) при том же содержании Cd незначительно влияет на выход металла по току и на содержание водорода в стали. Таким образом, наибольшее влияние на выход по току и наводороживание стали в цианистых электролитах кадмирования (Cd 15—30 г/л) оказывает изменение концентрации Cd, а не цианида.

Щелочь (NaOH или KOH), образующаяся при приготовлении электролита из CdO или $\text{Cd}(\text{OH})_2$ в эквивалентном количестве, способствует повышению электропроводности раствора. В цианистом электролите всегда присутствуют карбонаты, которые при содержании 0,2—0,7 г/л оказывают положительное влияние на качество осадков: они становятся более светлыми и мелкозернистыми.

Помимо указанных основных компонентов, в цианистых кадмийевых электролитах добавляют иногда другие соли и поверхности-активные органические вещества для улучшения структуры покрытия и придания ему блеска, например, соли никеля (0,1—0,2 г/л Ni) или Со.

В ИХХТ АН Литовской ССР разработаны цианистые электролиты кадмирования с наиболее эффективными блескообразующими добавками БК-2,

успешно используемые на автомобильных заводах.

При нанесении кадмийевых покрытий на высокопрочные стали роль блескообразователей отрицательна. Блескящие покрытия вследствие низкой водородопроницаемости препятствуют увлечению водорода из стали при обезвреживании (прогрев до 200 °C), что приводит к дополнительному нарушению и увеличению водородной хрупкости стальных деталей за счет диффузии водорода из покрытия в основу.

Электроосаждение Cd совместно с i из цианистых растворов резко уменьшает наводороживание стали. При электролитическом нанесении Cd покрытия из такого электролита, содержащего 0,3—0,8 г/л Ti, последний осаждается на катоде совместно с Cd в количестве 0,01—0,5 %. Наводороживание стали в цианисто-калиевых электролитах значительно (в 1,5 раза и более) ниже, чем в нагревовых.

Повышение температуры старения значительно ускоряет обезвреживание стальных образцов с покрытием Cd-Ti, и при 200 °C H_2 может быть полностью удален из стали за 1—2 ч.

К временным примесям цианистого электролита кадмирования относятся примерно те же металлы, что и для цинкования. Содержание до 0,15 г/л шестивалентных соединений Cr не влияет на катодный выход металла по току, но вызывает появление цианистых осадков на катоде.

Загрязнение электролита некоторыми органическими веществами способствует образованию темных неравномерных и перистых осадков. Для удаления этих загрязнений холодный электролит обрабатывают в отдельном резервуаре активированным углем (2 г/л); перед обработкой к электролиту добавляют 1 м/л 30 %-ной H_2O_2 .

Аноды изготавливают из чистого электролитического Cd (не менее 99,9 % Cd). Анодная плотность тока не должна быть выше 2 А/дм².

Составы цианистых электролитов кадмирования и условия электролиза приведены в табл. 3.

При кадмировании сталей (когда необходимо избежать наводороживания и хрупкого разрушения деталей) рекомендуют готовить электролиты на основе только кальциевых соединений

2. Составы цианистых электролитов кадмирования режимы осаждения

Компоненты электролита и режим	№ электролита		
	1	2	3
CdO	35—45	28—40	15—40
NaCN	90—133	110—200	100—100
KCN	—	—	—
NaOH	26—30	—	—
$\text{Na}_2\text{SO}_4 \cdot 10\text{H}_2\text{O}$	40—50	—	—
$\text{NiSO}_4 \cdot 7\text{H}_2\text{O}$	1—2	—	—
$(\text{NH}_4)_2\text{SO}_4$	—	—	10—30
Дектрин	8—12	—	1—5
Метатитанат калия (в пересчете на Ti)	—	15—20	0,3—0,8
Лимеда БК-2С, мг/л			
$i_K, \text{A}/\text{дм}^2$	0,5—1,0	2,0—3,0	1,0—2,5
$t_K, ^\circ\text{C}$	15—25	18—30	18—25

Приложение: 1. В электролите № 1 при применении реверсирования $i_K = 1,0 \pm 2,0 \text{ A}/\text{дм}^2$.

2. Электролит № 2 применяется для блестящего кадмирования.

3. В электролите № 3 осаждается Cd покрытия, легированные Ti.

4. БК-2С применяется только при приготовлении электролита; корректировка электролита производится добавкой БК-2.

(KCN, KOH, K_2SO_4) и добавлять к ним 0,3—0,8 г/л метатитаната калия (чиа-тия на металлический Ti).

Аммиакатные электролиты. Из аммиакатных электролитов кадмирования применяют главным образом растворы CdO или $\text{Cd}(\text{OH})_2$ в концентрированном растворе $(\text{NH}_4)_2\text{SO}_4$. Образующаяся при этом комплексная соль $[\text{Cd}(\text{NH}_3)_6]\text{SO}_4$ или $[\text{Cd}(\text{NH}_3)_6(\text{H}_2\text{O})_6]\text{SO}_4$ растворяется в воде значительно лучше, чем $[\text{Cd}(\text{NH}_3)_6(\text{H}_2\text{O})_6]\text{Cl}_2$ и позволяет работать при более высоких плотностях тока.

Поляризуемость катода, рассеивающая способность электролита и структура осадков зависят от pH. При $\text{pH} < 6$ катодная поляризация очень мала, осадки имеют крупнокристаллическую структуру, и распределение металла такое же, что и в кислых электролитах без органических добавок.

Аноды изготавливаются из чистого электролитического Cd; анодная плотность тока примерно равна катодной или несколько ниже ее (в отсутствие хлоридов).

Состав и режимы работы аммиакатных электролитов кадмирования приведены в табл. 4.

Пирофосфатные электролиты. Исходными компонентами для приготовления пирофосфатных электролитов кад-

мирования являются соединения CdO или $\text{Cd}(\text{OH})_2$, $\text{CdSO}_4 \cdot 8/3\text{H}_2\text{O}$, $\text{Cd}_2\text{P}_2\text{O}_7 \cdot 2\text{H}_2\text{O}$ и $\text{K}_4\text{P}_2\text{O}_7 \cdot 3\text{H}_2\text{O}$.

Расторимость $\text{Cd}_2\text{P}_2\text{O}_7 \cdot 2\text{H}_2\text{O}$ в растворах пирофосфорильных солей щелочных металлов незначительна (особенно в растворе $\text{Na}_2\text{P}_2\text{O}_7 \cdot 10\text{H}_2\text{O}$). Она несколько увеличивается при повышении концентрации $\text{K}_4\text{P}_2\text{O}_7$, однако для получения пирофосфатного электролита кадмирования (без добавок других комплексообразующих веществ) необходимо брать 15—20-кратный избыток $\text{K}_4\text{P}_2\text{O}_7$, по отношению к CdSO_4 .

Электроосаждение Cd из пирофосфатного электролита протекает при значительном смешении катодного потенциала в сторону отрицательных значений (рис. 4). Поляризационные кривые, полученные без вращения и при вращении катода с частотой 330 и 1200 об/мин, показывают, что осаждение Cd из пирофосфатного электролита при $i_K > 0,5 \text{ A}/\text{дм}^2$ сопровождается в основном концентрационной поляризацией, обусловленной, по-видимому, недостаточной скоростью отвода пирофосфатных ионов ($\text{P}_2\text{O}_7^{4-}$) от поверхности катода.

При повышении плотности тока выход металла по току снижается (рис. 5), что способствует равномерному рас-

5. Неполадки при кадмировании

Неполадки	Причина неполадок	Способ устранения
Цианистые электролиты		
Пригары	Высокая плотность тока, небольшое расстояние между анодом и катодом	Понизить плотность тока, увеличить расстояние между катодом и анодом
Покрытие темное	Низкая плотность тока, нарушен состав электролита	Установить необходимую плотность тока, проверить состав электролита (химическим анализом)
Покрытие шероховатое	Электролит загрязнен взвешенными частицами	Пропартировать электролит
Воздух покрытия и пузырьки	Плохая подготовка поверхности, завышена плотность тока	Более тщательно проводить обезжиривание и активацию, понизить плотность тока
Пятна на поверхности кадмия	Детали очень пористы, плотность тока завышена	Погрузить детали перед насыщением покрытия на 3—5 с в водный раствор кислоты винникоцислого калия (4 г на 1 л воды) при комнатной температуре, понизить плотность тока
Отслаивание покрытия	Детали недостаточно обезжирены и слабо активированы	Более тщательно проводить операции обезжиривания и активации
Питтинг покрытия	Плохая подготовка поверхности Загрязнение электролита органическими соединениями (некачественными добавками)	Улучшить подготовку Разбавить электролит водой и откорректировать по новым компонентам, проработать электролит
Непокрытые углубленные участки поверхности	Слишком низкая температура электролита при высокой плотности тока Недостаточная рассеивающая способность электролита: высокая концентрация цианистого натрия, высокая температура электролита	Подогреть электролит до 30—35 °С или снизить плотность тока Снизить концентрацию С, заменить Cd аноды угольными, добавить NaCN, снизить температуру электролита
Крупные кристаллы и дендриты	Заражен электролит или низкая плотность тока и высокая температура	Повысить плотность тока, устранив загрязненность электролита, понизить температуру, если электролит подогревается, увеличить содержание свободного цинка. Проработать электролит, добавить щелочь
Покрытие хрупкое	Электролит загрязнен органическими веществами, в электролите недостает щелочи	Увеличить содержание (оставляя аноды в электролите после кадмирования), повысить содержание NaOH
Низкий выход кадмия по току при обильном выделении водорода	Недостаточное содержание Cd в электролите, мало содержания NaOH при избытке NaCN	Повысить содержание цианистого натрия, высокая анодная плотность тока.
Пассивирование анодов (темная пленка на анод)	Недостаточное содержание свободного цианида и едкого натрия; высокая анодная плотность тока	Накопление в электролите примесей Pb, Sn, Sb, As (св. 0,02 г/л каждого) или Ni, Fe (св. 0,5 г/л каждого)
Покрытие пятнистое, аноды чернеют	Накопление в электролите примесей свинца, олова, сурьмы (св. 0,05 г/л каждого) или мышьяка (0,005 г/л)	Повысить содержание цианистого натрия, высокая анодная плотность тока.
Сернистые электролиты		
Появление на анодах белого налета	Наличие свинца в анодах	Раз в смену чистить анод и выгружать их из ванн после окончания кадмирования

Продолжение табл. 5

Неполадки	Причина неполадок	Способ устранения
Покрытие темное губчатое	Повышенная плотность тока, наличие примесей	Снизить плотность тока; проработать электролит под током
Блестящие полосы на покрытиях	Избыточное содержание в электролите Ni, Co, гипохлорита в ванне с деталями или исходными реагентами	Проработать электролит под током
Хлористоаммонийные электролиты		
Покрытие темное	Разложение тиомочевины при растворении в горячей воде	Добавить тиомочевину в соответствии с данными анализа
	Повышенное значение pH электролита	Дополнить кислотность раствора до pH 2—3 и проработать электролит
Пригары	Высокая плотность тока, небольшое расстояние между анодом и катодом, излишняя кислотность электролита;	Понизить плотность тока, увеличить расстояние между анодом и катодом, откорректировать электролит химически чистой HCl
Покрытие шероховатое	Высокая плотность тока, электролит загрязнен механическими примесями	Снизить плотность тока, профильтровать электролит
Сульфатноаммонийные электролиты		
Покрытие темное	Недостаточное содержание OS-20, излишняя температура электролита	Повысить содержание OS-20, повысить температуру электролита выше 25 °С
Покрытие темное в углублениях деталей	Недостаточное содержание уротропина	Повысить содержание уротропина в электролите
	Низкое содержание диспергатора НФ	Увеличить содержание диспергатора НФ в электролите
	Повышенное значение pH электролита (pH > 6), высокая катодная плотность тока	Довести кислотность электролита до pH 4,0—5,5, снизить катодную плотность тока до 0,8—1,2 A/dm ²
Покрытие грубокристаллическое	Низкое значение pH электролита (pH < 4), недостаточное содержание OS-20	Довести кислотность электролита до pH 4,0—5,5, увеличить содержание OS-20
Покрытие темное губчатое	Накопление в электролите примесей Pb, Sn, Sb, As (св. 0,02 г/л каждого) или Ni, Fe (св. 0,5 г/л каждого)	Проработать электролит при плотности тока 0,3—0,5 A/dm ²

НЕПОЛАДКИ ПРИ КАДМИРОВАНИИ

Неполадки при кадмировании, причины их появления и способы устранения приведены в табл. 5.

ПРИГОТОВЛЕНИЕ ЭЛЕКТРОЛИТОВ

Цианистый электролит. В разных емкостях растворить в минимальном количестве воды NaCN(KCN), NaOH, $\text{Na}_2\text{SO}_4 \cdot 10\text{H}_2\text{O}((\text{NH}_4)_2\text{SO}_4)$ и $\text{NiSO}_4 \times 7\text{H}_2\text{O}$. Для растворения допускается применять водопроводную воду (после опробования). Оксид кадмия развести в небольшом количестве воды,

довести до кашеобразного состояния и при помешивании постепенно добавлять в раствор NaCN. После растворения основной массы CdO добавить раствор NaOH и затем сернокислые соли, все тщательно перемешать, дать отстояться и отфильтровать (через стеклянную вату). К отфильтрованному чистому раствору добавить остаточное расчетное количество воды. Последним ввести декстрины. Всю операцию приготовления электролита проводить при соответствующей вентиляции ванн (бортовой отсос).

Оксид кадмия можно заменить свежесаженным $\text{Cd}(\text{OH})_2$, полученным из $\text{CdSO}_4 \cdot 8\text{H}_2\text{O}$ или CdCl_2 и промытым

двукратной декантизацией. Допускается применение $\text{CdSO}_4 \cdot 8/3\text{H}_2\text{O}$ без осаждения щелочью $\text{Cd}(\text{OH})_2$.

Блескообразующие добавки вводят в электролит после его проработки током до получения светлых осадков Cd.

Сернокислый электролит. Соли растворить в теплой воде в отдельных емкостях.

В рабочую ванну, заполненную до половины объема водой, осторожно влить H_2SO_4 и затем $\text{CaSO}_4 \cdot 8/3\text{H}_2\text{O}$ и $\text{Na}_2\text{SO}_4 \cdot 10\text{H}_2\text{O}$.

Вспомогательные вещества ОС-20 (или другие) тщательно растворить в теплой воде и в этот раствор при перемешивании добавить электролит до полного растворения масляных комочеков. Раствор внести в рабочую ванну при перемешивании, которую затем долить водой до требуемого объема. Электролит проработать несколько часов при $i_{\text{K}} = 0,7 \pm 1,0 \text{ A/dm}^2$, после чего внести добавки.

Хлористоаммонийный электролит. Электролит готовить в винилластовых ваннах растворением солей.

В половине расчетного объема теплой воды с температурой до 50°C (желательно применять конденсат, допускается использовать водопроводную воду после ее отбора) растворить NH_4Cl и затем при перемешивании в той же ванне растворить CdCl_2 , NaCl и тиомочевину.

Столярный клей предварительно залить холодной водой на сутки, затем при перемешивании нагреть до $40-60^\circ\text{C}$ (до полного растворения клея) и внести в отфильтрованный электролит при непрерывном помешивании. Приготовленный электролит долить водой до требуемого объема и при необходимости откорректировать кислотность 25-%ным раствором NH_4OH или HCl .

При отсутствии CdCl_2 можно использовать CdO и HCl . Приготовление раствора CdCl_2 проводить в отдельной винилластовой ванне. Для получения 100 л хлористоаммонийного электролита кадмирования в ванну емкостью 50 л залить 5 л HCl (плотность 1,19) и добавить 35 л воды. В полученный раствор HCl внести 2,8 кг CdO . Раствор перемешать до полного растворения CdO . Затем нейтрализовать избыток HCl 25-%ным раствором NH_4OH до pH 4,0-4,5.

Полученный раствор CdCl_2 отфильт-

ровать, перелить в ванну кадмирования, затем добавить теплую воду растворы NH_4Cl , NaCl и тиомочевину. Последним добавить столярный клей, приготовленный, как указано выше.

Электролит проработать при $i_{\text{K}} = 0,25 \pm 0,50 \text{ A/dm}^2$ до получения светлых гладких мелкокристаллических осадков Cd. Время проработки электролита зависит от чистоты химикатов (около 0,5-1,0 А·ч на 1 л).

Сульфатноаммонийный электролит. Каждый из компонентов электролита взвесить в соответствии с заданным составом и объемом ванны. Соли растворить в теплой воде в отдельных емкостях. Растворы солей $\text{CdSO}_4 \cdot 8/3\text{H}_2\text{O}$ и $(\text{NH}_4)_2\text{SO}_4$ декантовать в рабочую ванну, затем внести растворенные в воде диспергатор НФ и уротропин.

Вспомогательное вещество ОС-20 или другие добавки тщательно растворить в теплой воде и в этот раствор при перемешивании добавить электролит до полного растворения масляных комочеков. Раствор внести в рабочую ванну при перемешивании, которую затем долить водой до требуемого объема. Полученный электролит подкислить H_2SO_4 до pH 4,0-5,5.

Электролит проработать при $i_{\text{K}} = 0,25 \pm 0,50 \text{ A/dm}^2$ до получения светлых гладких мелкокристаллических осадков Cd. Время проработки зависит от чистоты химикатов (около 0,5-1,0 А·ч на 1 л электролита). В электролиты блестящего кадмирования блескообразующие добавки вводят после проработки электролита.

Электролиты кадмирования контролировать в зависимости от загрузки ванни, но не реже двух раз в месяц.

При этом проводить химический анализ электролитов на содержание основных компонентов и вредных при месице, pH электролитов проверять ежедневно.

Электролиты кадмир вниз корректировать с учетом данных химического анализа добавлением компонентов до требуемой концентрации. Кислотность корректировать 3-5-%ным раствором HCl или H_2SO_4 в зависимости от состава электролита и 3-5-%ным раствором NH_4OH и NaOH .

Электролиты хлористоаммонийные проверять на склонность стали к коррозионному растрескиванию и на восстановление по ОСТ 1 90211-76.

Глава 10.

ЖЕЛЕЗНЕНИЕ

ОБЩИЕ СВЕДЕНИЯ

Электролитическое железнение применяют в основном для повышения поверхностной твердости и сопротивления механическому изнашиванию деталей в полиграфической промышленности для оставления печатных форм, изготовления методом гальванопластики толстых печатных форм и восстановления изношенных деталей машин.

Для железнения применяют растворы сернокислой, хлористой и борфтористодородной солей Fe^{2+} .

Железо в обычной атмосфере быстро ржавеет, т. е. покрывается бурым налетом гидратированного оксида железа. При прокаливании в воздухе Fe окисляется, превращаясь в Fe_3O_4 или Fe_2O_3 , FeO . В водных растворах железо образует два вида ионов различной валентности $\text{Fe}^{2+} + \text{Fe}^{3+}$, которым соответствуют два вида окислов FeO и Fe_2O_3 и два вида гидратов окислов $\text{Fe}(\text{OH})_2$ и $\text{Fe}(\text{OH})_3$.

Потенциал Fe, измеренный по н. в. э., равен $-0,440 \text{ В}$. Поэтому Fe легко растворяется в разведенных кислотах, образуя в растворе ионы Fe^{2+} .

Осадки электролитического Fe по своим свойствам и строению отличаются от Fe, полученного в обычном металлургическом процессе. Изменение свойств электролитического Fe обусловлено прежде всего особенностью катодного процесса его получения.

Покрытия на деталях, полученные в процессе осаждения Fe при высоких температурах, малых плотностях тока и высокой концентрации электролита, имеют гладкую бархатистую поверхность красивого серебристо-белого цвета, темнеющую после непродолжительного пребывания на воздухе. С повышением плотности тока бархатистость осадка уменьшается, сменяясь слабым блеском, и при достаточно большой плотности тока покрытие становится блестящим. Вместе с тем

увеличивается твердость и сопротивление разрыву и уменьшается вязкость.

В хлористых железных электроли- тах различной концентрации соли Fe (200-600 г/л) при изменении температуры ($25-100^\circ\text{C}$) и плотности тока ($2-140 \text{ A/dm}^2$) осаждаются покрытия в широком диапазоне микротвердости 135-647.

Зависимость микротвердости от температуры нагрева осадков Fe приведена на рис. 1.

Изменение пористости электролитического Fe (число площадок (плато) на 1 mm^2) в зависимости от плотности тока и температуры показано ниже.

$t, ^\circ\text{C}$	80	60	80	80
$i, \text{A/dm}^2$	20	40	60	70
Число площа- док на 1 mm^2	4	30	41	46
$t, ^\circ\text{C}$	60	60	70	90
$i, \text{A/dm}^2$	80	40	40	40
Число площа- док на 1 mm^2	52	162	64	9,5

Пористость электролитического Fe наиболее быстро (в 7,5 раза) растет при изменении плотности тока от 20 до 40 A/dm^2 . Дальнейшее повышение плотности тока характеризуется более медленным увеличением числа площадок. Температура электролита оказывает резкое (по сравнению с вли-

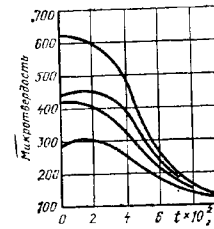


Рис. 1. Влияние нагрева на микротвердость электролитического железа (значения температуры соответствуют 200, 400, 600 $^\circ\text{C}$)

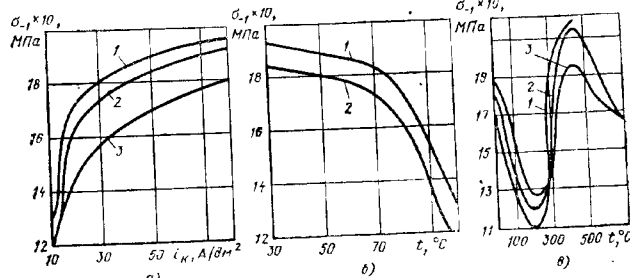


Рис. 2. Влияние различных факторов на сопротивление усталости стальных образцов (концентрация хлористого железа в электролите 300 г/л):
a — плотности тока i_K ($t = 80^\circ\text{C}$); б — температуры электролита ($i_K = 20 \text{ A/dm}^2$); в — термической обработки ($t = 80^\circ\text{C}$, $i_K = 40 \text{ A/dm}^2$): 1 — нормализованная сталь 35, $\delta = 0,5 \text{ мм}$; 2 — нормализованная сталь 45; $\delta = 0,3 \text{ мм}$; 3 — сталь 45, закаленная нагревом ТВЧ; 4 — сталь 45, $\delta = 0,3 \text{ мм}$; а и б — значения σ_r , соответствуют 120, 140, 160, 180 MPa; в — 110, 130, 150, 170, 190 MPa

янием плотности тока) влияние на пористость осадка. Структура осадка Fe, полученного из электролитов различного состава, показала, что повышение концентрации соли Fe в электролите сопровождается уменьшением пористости.

Влияние покрытия на сопротивление усталости приведено на рис. 2.

ЭЛЕКТРОЛИТЫ ДЛЯ НАНЕСЕНИЯ ЖЕЛЕЗНЫХ ПОКРЫТИЙ И СПЛАВОВ

Хлористые электролиты. Такие электролиты обеспечивают получение плотных мелкозернистых осадков толщиной до 1,0—1,5 мм (твердые) и до 3—5 мм (мягкие) с высокими механическими свойствами и износостойко-

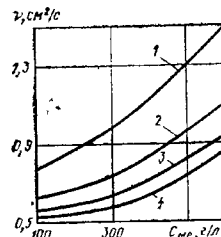


Рис. 3. Изменение кинематической вязкости η от концентрации C_{me} при различных температурах электролита, °С:
1 — 40; 2 — 60; 3 — 75; 4 — 80

стью, близкой к износостойкости закаленной стали.

Электролиты допускают применение высоких плотностей тока. Процесс осаждения Fe в них протекает с достаточным выходом по току в большую производительность (до 0,4—0,5 $\text{мм}^2/\text{мин}$ и более). Изменение плотности тока в значительных пределах (20—100 A/dm^2) сопровождается незначительными (1,5—2,0 %) колебаниями выхода по току, что позволяет точно определять длительность процесса.

Важными характеристиками электролита являются: концентрация хлористого железа (C_{me}), плотность ρ , кинематическая вязкость η , удельная электропроводимость κ .

Между плотностью электролита и концентрацией хлористого железа существует прямая пропорциональная зависимость (значения плотности получены при температуре раствора 15,5 °С), ρ изменяется от 1,06 до 1,40 г/см³ при изменении концентрации от 106 до 686 г/л.

На вязкость электролита оказывают влияние концентрация $\text{FeCl}_2 \cdot 4\text{H}_2\text{O}$ и температура раствора (рис. 3).

С повышением концентрации $\text{FeCl}_2 \cdot 4\text{H}_2\text{O}$ до 400 г/л величина удельной электропроводимости возрастает и приобретает максимальное значение при указанной концентрации (рис. 4). Дальнейшее повышение концентрации сопровождается снижением электропроводимости.

1. Скорость осаждения Fe (мм ч) в зависимости от i_K и ВТ

i_K A/dm^2	ВТ, %				ρ г/дм^3	ВТ, %			
	80	85	90	95		80	85	90	95
1	10,5	11,3	12,0	12,7	20	212	26	240	253,6
3	31,8	33,9	36,0	38,6	30	318	339	360	380,1
5	53,0	55,5	58,1	63,6	40	424	452	80	507,2
10	108,0	113,0	116,0	126,8	50	530	56	60	6,5,0

Скорость осаждения Fe определяют по табл. 1.

В практике к настоящему времени получили распространение четыре типа хлористых электролитов, различных по концентрации соли железа: I — малоконцентрированный (200—220 г/л); II — средисконцентрированный (400—450 г/л); III — высококонцентрированный (600—680 г/л); IV — среднеконцентрированный оптимальной концентрации (300—350 г/л) (псевдостационарный).

Малоконцентрированный электролит (тип I) получил широкое применение для восстановления деталей твердым Fe на авторемонтных заводах. При температуре 60—80 °С и плотности тока 30—50 A/dm^2 в электролите получают плотные и гладкие покрытия высокой твердости $HV = 450 \pm 650$, толщиной 0,8—1,5 мм. Толщина покрытий ограничивается появлением на поверхности осадков щерховатости и дендритов, которые возникают тем быстрее, чем выше плотность тока и чем ниже температура электролита. Толщина осаждаемого металла может быть значительно увеличена повторным нанесением покрытия на детали после предварительной механической обработки покрытия.

Среднеконцентрированный электролит (тип II) рекомендуется для восстановления деталей, имеющих более высокое изнашивание и сравнительно невысокую твердость. Этот электролит обеспечивает получение гладких плотных покрытий толщиной до 2 мм и твердостью $HV = 250 \pm 450$.

Электролит начинают применять для восстановления железом посадочных поверхностей под подшипники в корпучих деталях.

Высококонцентрированный электролит (тип III) при высокой температуре

(75—95 °С) и невысокой плотности тока обеспечивает получение мягких (твердость $HV = 120 \pm 200$) и вязких покрытий толщиной 2—3 мм и более. В этом электролите могут быть получены и твердые покрытия (до $HV = 600$), но более шероховатые, чем покрытия, полученные из электролитов с меньшей концентрацией Fe.

Электролит типа IV обладает по сравнению с другими существенными преимуществами и рекомендуется для широкого применения.

Процесс осаждения железа в кислых хлористых электролитах осуществляют с применением растворимых анодов, изготавляемых из никоаллеродистых сталей.

Растворение анодов происходит химическим и электрохимическим путем. При малой плотности тока растворение анодов происходит с большой скоростью, и при $i_K = 5 \text{ A/dm}^2$ анодный выход достигает 144—208 %. С увеличением плотности тока до 20 A/dm^2 анодный выход по току снижается и при дальнейшем увеличении плотности тока почти не изменяется.

Осаждение Fe из малоконцентрированных хлористых электролитов с применением растворимых анодов

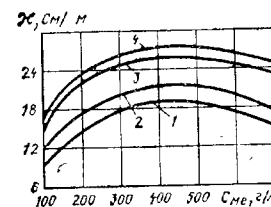


Рис. 4. Зависимость удельной электропроводимости κ от концентрации C_{me} при различных температурах электролита, °С:
1 — 40; 2 — 60; 3 — 75; 4 — 80

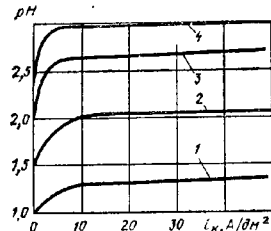


Рис. 5. Изменение pH в прикатодном слое от плотности тока i_k , при различной начальной концентрации HCl (г/л) в электролите: 1 — 1,0; 2 — 1,5; 3 — 2,0; 4 — 2,25

сопровождается избыточным растворением анодов и накоплением Fe в электролите. При достаточно высоких плотностях тока скорость растворения стальных анодов (Ст3) превышает скорость осаждения Fe на катоде примерно на 15–20 %. Это увеличение концентрации хлористого Fe в некоторой степени компенсируется потерями электролита во время работы ванны.

В электролите с содержанием $\text{FeCl}_2 \cdot 4\text{H}_2\text{O}$ 300–350 г/л анодные и катодные выходы Fe по току почти одинаковы, и концентрация Fe в электролите сохраняется почти неизменной.

Кислотность электролита, характеризуемая величиной pH, является одним из важнейших параметров катодного процесса электроосаждения Fe. При недостаточной кислотности электролит становится мутным из-за выпадения $\text{Fe}(\text{OH})_2$ и $\text{Fe}(\text{OH})_3$ в виде хлопьев. Увеличение кислотности электролита снижает выход Fe по току. По этой причине кислотность электролита желательно поддерживать на минимальном уровне.

В условиях высоких (применяемых на практике) плотностей тока скорость восстановления ионов H^+ настолько большая, что их убыль из прикатодного слоя не успевает восполнить за счет притока из электролита. В результате кислотность электролита вблизи катода становится гораздо меньшей, чем в общем объеме электролита, т. е. происходит защелачивание прикатодного слоя, при котором возможно образование иерархии гидроокиси железа (явление гидратообразования).

Влияние плотности тока на изменение pH в прикатодном слое в электролите с концентрацией $\text{FeCl}_2 \cdot 4\text{H}_2\text{O}$ 300 г/л при различной начальной концентрации HCl и $t = 75^\circ\text{C}$ показано на рис. 5. При электроосаждении Fe из горячих хлористых электролитов pH в прикатодном слое увеличивается на 0,36–0,72.

Большое влияние на величину pH гидратообразования оказывает присутствие в электролите ионов Fe^{3+} . В присутствии восстанавливающего агента, например, металлического Fe, ион Fe^{3+} реагирует с ним, стремясь к наиболее устойчивой степени окисления, т. е. к двухвалентному состоянию: $\text{Fe}^{3+} \rightarrow \text{Fe}^{2+}$.

Склонность электролита к окислению $\text{Fe}^{2+} \rightarrow \text{Fe}^{3+}$ тем выше, чем выше температура и меньше кислотность электролита. Поэтому в нем необходимо поддерживать определенный избыток свободной кислоты.

Основным критерием при определении верхнего предела концентрации HCl является катодный выход Fe по току. Концентрация HCl более 3 г/л резко снижает выход Fe по току. Поэтому концентрацию HCl, равную 3 г/л, следует считать верхним допустимым пределом. Нижний предел концентрации HCl — 1,1 г/л.

Максимальную рассеивающую способность (72,3 %) имеет электролит с концентрацией $\text{FeCl}_2 \cdot 4\text{H}_2\text{O}$ 400 г/л. Повышение температуры с 45 до 70°C сопровождается повышенiem рассеивающей способности примерно в 1,5 раза.

Увеличение плотности тока и повышение температуры электролита также заметно улучшает рассеивающую способность электролита.

Перед железением в хлористых электролитах проводят электрохимическую активацию на аноде в растворе следующего состава (г/л):

H_2SO_4 365
 $\text{FeSO}_4 \cdot 7\text{H}_2\text{O}$ 10–25
 Режим обработки: $i = 15 \pm 30^\circ\text{C}$; $i_a = 6 \pm 70 \text{ A/dm}^2$; продолжительность обработки 2–3 мин; катоды из Pb и сталь 08X18H10T.

После активации детали тщательно промывают в воде до полного удаления остатков кислоты, мокрыми загружают в ванну, выдерживают без тока 10–180 с в зависимости от размера детали. В начале электролиза $i_k = 1 \pm$

$\div 5 \text{ A/dm}^2$, а затем в течение 5–10 мин увеличивают i_k до расчетного значения.

Сернокислые и борфтористоводородные электролиты. Для железения применяют электролиты следующего состава (г/л):

1. $\text{FeSO}_4 \cdot 7\text{H}_2\text{O}$ 200–250
 K_2SO_4 1–4
 Режим осаждения: $i = 20 \pm 60^\circ\text{C}$; $i_k = 3 \div 10 \text{ A/dm}^2$; pH 2,5–3,0; BT = 98 %.

2. $\text{FeSO}_4 \cdot 7\text{H}_2\text{O}$ 420
 $\text{Al}_2(\text{SO}_4)_3 \cdot 18\text{H}_2\text{O}$ 100
 Режим осаждения: $i = 20 \pm 70^\circ\text{C}$; $i_k = 3 \div 12 \text{ A/dm}^2$; pH 2,5–3,0; BT = 70–90 %. Верхний предел допустимой плотности тока соответствует верхнему значению температуры электролита

Из борфтористоводородных электролитов применяют электролит следующего состава (г/л):

$\text{Fe}(\text{BF})_3$ 300
 H_2BO_3 1–2
 Режим осаждения: $i = 20 \pm 60^\circ\text{C}$; $i_k = 2 \div 12 \text{ A/dm}^2$; pH 3,2–3,5; BT = 60–97 %. Верхний предел допустимой плотности тока соответствует верхнему значению температуры электролита.

Перед железением в сернокислых и борфтористоводородных электролитах проводят электрохимическую активацию на аноде в растворе следующего состава (г/л):

H_2SO_4 350–365
 Режим обработки: $i = 15 \pm 30^\circ\text{C}$; плотность тока для углеродистой стали 40–60 A/dm^2 ; для чугуна — 15–20 A/dm^2 ; продолжительность обработки до 1 мин.

Обработка после активации аналогична обработке деталей после активации при железении в хлористых электролитах.

Кроме указанных электролитов, применяются также электролиты с добавками сернокислого марганца, органических веществ, а также растворы солей железа на основе органических соединений (фенолосульфоновый, сульфосалициловый, глицератный и др.).

Аноды. Процесс осаждения твердого Fe осуществляют обычно с растворимыми анодами. Для уменьшения загрязнения электролита анодным шламом применяют аноды из низкоуглеродистой стали с малым содержанием примесей. Для изготовления анодов применяют стали марок 10, 20, Ст2 и Ст3. Следует избегать при изготов-

лении анодов сталей с повышенным содержанием кремния и хрома.

Общее количество анодов при зашивании в ванну определяют так, чтобы площадь анодов S_a была в 1,5–2 раза больше площади катодов S_k (покрываемых поверхностей).

Размеры анодов должны соответствовать контурам деталей. Применение анодов, выходящих своими размерами за пределы контура деталей, приводит к усиленному образованию дендритов на концевых участках деталей.

При восстановлении твердым железом цилиндрических наружных поверхностей применяют стержневые аноды, изготовленные из прутка. Однако применение круглых анодов вызывает нарушение заданного режима электролиза, так как стальные электроды в процессе работы быстро растворяются, что сопровождается уменьшением их диаметра и полезной площади, т. е. нарушается отношение $S_a : S_k$. Поэтому целесообразно использовать плоские стальные аноды толщиной 6–10 и шириной 40–50 мм.

Для уменьшения загрязнения электролита анодным шламом аноды во время работы ванны следует помещать в чехлы из кислотостойкой ткани (стеклянной, асbestosвой, шерстяной). По окончании электролиза чехлы надо тщательно промывать. Аноды должны размещаться в чехлах свободно. Можно делать широкие чехлы для нескольких анодов. Для работы в горячих кислых растворах $\text{FeCl}_2 \cdot 4\text{H}_2\text{O}$ рекомендуется делать чехлы из стеклянной ткани ТСФ-9П, срок службы которых равен 2,5–3 мес.

После изготовления мешки необходимо прокипятить в воде 2–3 ч, а затем прополоскать горячей водой для удаления замасливателя, пропитывающего ткань.

Электролиты для осаждения сплавов на основе железа. Для осаждения гальванических сплавов Fe—Cr применяют электролит следующего состава (г/л):

сульфат хрома (III) 160
 $\text{FeSO}_4 \cdot 7\text{H}_2\text{O}$ 30–50
 $\text{NH}_4\text{Cl}, \text{CaO}_2$ 0,5
 Режим осаждения: $i = 20^\circ\text{C}$; pH 2,3; $i_k = 7 \div 12 \text{ A/dm}^2$; BT = 20 $\div 26$ %; анод из стали 12Х17.

Гель и электролит следует прокипятить и проработать в течение 3—5 дней, так как образование комплекса хрома с гликоколом требует определенного времени.

С увеличением концентрации $\text{Cr}_2(\text{SO}_4)_3$ содержание хрома в сплаве увеличивается от 4 до 22 %, а выход по току падает.

С увеличением $\text{FeSO}_4 \cdot 7\text{H}_2\text{O}$ при тех же условиях электролиза содержание железа в сплаве увеличивается от 60 до 90 %. Выход по току возрастает до 44 %, но качество покрытий ухудшается. При содержании железа в сплаве, равном 85—90 %, покрытие темнеет на воздухе и при толщинах 15—20 мкм отслаивается от основы. Наилучший состав сплава Fe—Cr обеспечивается при 25—35 % Cr.

Сплав Fe—Cr—Ni, содержащий 8—17 % Cr и 13—20 % Ni (остальное Fe), осаждают из электролита следующего состава (г/л):

$\text{FeSO}_4 \cdot 7\text{H}_2\text{O}$	50—60
сульфат хрома (III)	250—280
$\text{NiSO}_4 \cdot 7\text{H}_2\text{O}$	110—150
моевин	150—180
H_3BO_3	25
Режим осаждения: $t = 50^\circ\text{C}$; $\text{pH} 2,1$; $i_{\text{A}} = 6+10 \text{ A/dm}^2$; аноды из платины; $BT = 15 \pm 25 \%$	

Хлоридный электролит используют для осаждения сплава Fe—Cr—Ni (7—20 % Cr, 5—30 % Ni, остальное Fe). Электролит имеет следующий состав (г/л):

$\text{FeCl}_3 \cdot 4\text{H}_2\text{O}$	20—40
$\text{CrCl}_3 \cdot 10\text{H}_2\text{O}$	160—180
$\text{NiCl}_2 \cdot 6\text{H}_2\text{O}$	25—70
NH_4Cl	200
Режим осаждения: $t = 20 \pm 30^\circ\text{C}$; $\text{pH} 2,0$; $i_{\text{A}} = 10+30 \text{ A/dm}^2$; $BT = 30 \pm 40 \%$; аноды из платины.	

Сплав Fe—P перспективен для восстановления и повышения износостойкости деталей машин. Осаждение таких покрытий ведут в электролите следующего состава (г/л):

$\text{FeCl}_3 \cdot 4\text{H}_2\text{O}$	150—180
$\text{Na}_2\text{HPO}_4 \cdot 7\text{H}_2\text{O}$	10—15
HCl	до $\text{pH} 0,8$

Режим осаждения: $t = 50 \pm 60^\circ\text{C}$; $i_{\text{A}} = 30 \pm 50 \text{ A/dm}^2$, аноды из стали или платины; СП = 0,2—0,3 $\text{mm}/\text{ч}$. Электролит позволяет получать качественные покрытия толщиной до 1 мкм. Содержание P в сплаве 8—10 %. Микротвердость покрытий Fe—P составляет 600—800.

Термообработка покрытий Fe—P при 350°C в течение 1 ч приводит к повы-

шению микротвердости до 1800. Температура ниже 300°C не влияет на микротвердость. При $t > 700^\circ\text{C}$ твердость также практически не изменяется. Термообработанные покрытия хорошо противостоят схватыванию и задирам в условиях трения без смазочного материала и обладают высокой износостойкостью.

НЕПОЛАДКИ ПРИ ЖЕЛЕЗНЕНИИ

Неполадки при железнении в хлористых электролитах, причины их появления и способы устранения приведены в табл. 2.

ПРИГОТОВЛЕНИЕ ХЛОРИСТЫХ ЭЛЕКТРОЛИТОВ

Хлористый электролит. Исходными материалами для приготовления электролита являются $\text{FeCl}_3 \cdot 4\text{H}_2\text{O}$ и HCl .

В производственных условиях из-за дефицитности и быстрой окисляемости $\text{FeCl}_3 \cdot 4\text{H}_2\text{O}$ электролит приготавливают травлением (до насыщения) в HCl стружек низкоуглеродистой стали.

Для приготовления электролита применяют дистилированную воду, очищенную или кипячением, или каким-либо другим способом. Для приготовления 1 л электролита с содержанием С граммов $\text{FeCl}_3 \cdot 4\text{H}_2\text{O}$ необходимо иметь: количество стружки $x_1 = 0,28\text{C}$ и количество HCl $x_2 = 36,7\text{C}/a$, где a — процентное содержание (по массе) HCl в кислоте, применяемой для травления.

Количество материалов, необходимое для получения электролита различной концентрации и рассчитанное по указанным формулам, приведено в табл. 3.

Для приготовления электролита рекомендуется: взять стружку низкоуглеродистой стали ($\text{Cr}2, 10$ или 20) на 10—20 % больше, чем это необходимо по расчету (для компенсации потерь при травлении). Стружка должна быть чистой, без ржавчины и окалины, нельзя применять стружку легированных сталей;

обезжирить стружку в 10 %-ном растворе NaOH при $t = 60 \pm 70^\circ\text{C}$ и промыть после обезжиривания в течение 30 мин;

заливать в кислотостойкую ванну HCl , разбавить ее водой (50 % объема

2. Неполадки при железнении и способы их устранения

Неполадки	Причина неполадок	Способ устранения
Бурыстый осадок с неровностями округлой формы	Чрезмерно высокая плотность тока, высокая шероховатость поверхности перед покрытием	Снизить плотность тока, менять шероховатость при механической обработке
Шероховатый осадок с неровностями игольчатой формы	Загрязнение электролита анодным шламом, избыток Fe^{2+} в электролите (окисленный электролит)	Фильтровать электролит, восстановить его проработкой током
Разрывы и отслаивание осадка (при мягком покрытии)	Плохое обезжиривание, неправильный режим электрохимической подготовки	Улучшить обезжиривание деталей, обеспечить правильный режим электрохимической подготовки
Шелушение осадка (при твердом покрытии)	Чрезмерно большие размеры анодов и неправильное их расположение; неудовлетворительная экранировка и защита детали	Правильно выбрать размеры и расположение анодов; обеспечить правильную экранировку и защиту детали при зашивании в ванну
Чрезмерный рост дендритов на остирях и кромках детали	Плохая промывка после анодного травления, плохая очистка детали от мыльных загрязнений и ржавчины	Тщательно очищать и промывать детали после анодного травления
Затеки, частичное отслаивание на концах детали и испокрытие участки	Перерывы тока; резкое колебание кислотности и температуры при электрохимии	Не допускать перерывов тока; поддерживать кислотность и температуру электролита в оптимальных пределах
Слюстость покрытия	Недостаточная продолжительность сушки и плохое качество изоляционного материала	Увеличить время и температуру сушки (если это допустимо) изоляции; заменить изоляционный материал более качественным
Затеки и частичное отслаивание осадка на границе изоляции	Несоответствие между кислотностью электролита и параметрами режима	Новьшести кислотность электролита и выбрать более мягкие режимы электрохимии
«Сажистый» осадок	Малая кислотность	Попытать кислотность электролита
Продольные борозды	Недостаточная толщина изоляционной пленки; неудовлетворительное качество изоляции	Увеличить количество слоев изоляционного материала или его толщину; сменить изоляцию
Места, защищенные изоляцией, обрастают дендритами	Нарушен контакт в анодной или катодной цепи; неправильная полярность ванны; аноды покрыты слоем шлама	Проверить и обеспечить надежный контакт; пересменить полярность ванны; очистить и промыть аноды; увеличить плотность тока
Детали полностью или частично не покрываются железом	Чрезмерно большая анодная плотность тока; отработавшие аноды	Увеличить площадь анодов или заменить их
Питинг или продольные полосы борозды на поверхности осадка	Утечка тока при электрохимии в водных стеках; чрезмерно высокая кислотность электролита	Удалить детали и аноды от стенок и дна ванны и не менять им 50 mm ; проверить и откорректировать кислотность
Тонкое покрытие меньше расчетного: без пробоин в изоляции, без дендритов на кромках и гиступах, с дендритами на выступах и кромках	Недостаточное экранирование этих участков	Применить дополнительные катоды или обеспечить лучшее экранирование
с дендритообразованием на слое изоляции	Недостаточная толщина или качество изоляционной пленки	Увеличить количество слоев изоляционного материала или заменить его лучше
Неравномерность толщины осадка на поверхности детали	Ненравильное расположение деталей относительно стенок и дна ванны; неправильное расположение анодов относительно деталей и друг друга	Проверить и выдержать расстояние от стенок в 50 mm ; обеспечить правильное расположение деталей и друг друга; изменить количество подвесок или экранирующих приспособлений

ЖЕЛЕЗНЕНИЕ

3. Материалы для приготовления электролитов

Концентрация $\text{FeCl}_3 \cdot 4\text{H}_2\text{O}$, г/л	Fe	Необходимое количество, HCl , г/л, плотность						
		1,14	1,15	1,16	1,17	1,18	1,19	1,20
200	56,2	266	248	232	220	208	196	186
300	84,3	399	372	345	330	312	294	282
400	112,4	532	496	464	440	416	392	376
500	140,4	665	620	580	550	520	490	480
600	108,6	798	744	695	660	624	588	564

кислоты), включить вентиляцию и подогреть раствор до температуры не более 30–40 °C. Количество кислоты следует брать на 10–15 % больше расчетного для компенсации потерь при травлении (унес с испарениями вентиляции);

загрузить в раствор кислоты приготовленную стружку в несколько приемов и травить до прекращения выделения пузырьков водорода. В конце травления в ванне должен быть избыток стружки. При комнатной температуре процесс травления продолжается 1–3 дня, а при нагревании до 40–50 °C зачинается за 5–6 ч; перекачать электролит в отстойный бак на 12–18 ч для отстаивания и добавить небольшое количество HCl (0,2–0,3 г/л);

перелить электролит из отстойного бака через фильтр в ванну осаждения железа, долить водой до заданного уровня, проверить ареометром плотность. После приготовления электролит необходимо проработать при высокой объемной плотности тока (~2 А/л) в течение 3–5 ч и при повышенной кислотности (2–3 г/л).

Хлористый электролит можно готовить также восстановлением хлорного железа до хлористого.

Растворяется $\text{FeCl}_3 \cdot 6\text{H}_2\text{O}$ в дистиллированной или очищенной каким-либо способом воде. Раствор имеет светло-коричневый цвет. В него добавляют HCl в количестве 10–15 г/л, подогревают до 80–90 °C и прорабатывают током (10–15 А/дм²) в течение 30–40 ч при соотношении $S_a : S_k = 1 : 2$. Проработкой Fe^{2+} восстанавливается до Fe^{2+} водородом, интенсивно выделяющимся на катоде. После прора-

ботки током электролит приобретает светло-зеленый цвет.

Потребное количество $\text{FeCl}_3 \cdot 6\text{H}_2\text{O}$ (A), необходимого для приготовления 1 л раствора $\text{FeCl}_3 \cdot 6\text{H}_2\text{O}$ заданной концентрации (B), следует определять по следующей формуле:

$$A = 1,36B,$$

где 1,36 — коэффициент, учитывающий процентное содержание Fe в соединениях хлористого и хлорного железа.

Свежеприготовленный электролит при нормальной концентрации HCl 0,8–1,5 г/л имеет светло-зеленый цвет. На воздухе он окисляется и желтеет вследствие образования в нем Fe^{3+} . Осадки Fe в таком электролите получаются некачественные.

Каждому значению pH электролита соответствует определенное значение концентрации HCl , которую определяют по табл. 4.

4. Зависимость pH от концентрации HCl (г/л)

pH	Концентрация HCl в электролите с содержанием $\text{FeCl}_3 \cdot 4\text{H}_2\text{O}$, г/л			
	210	313	441	580
0,1	—	—	3,85	1,50
0,2	—	7,85	3,06	0,85
0,3	9,26	4,00	2,00	0,40
0,4	6,25	2,25	1,30	0,33
0,5	3,50	1,30	0,75	0,31
0,6	1,90	0,80	0,50	0,27
0,7	1,25	0,55	0,35	0,25
0,8	0,90	0,35	0,29	0,23
0,9	0,65	0,25	—	0,20
1,0	0,45	—	—	0,17
1,1	0,30	—	—	0,15

Глава 11.

ОЛОВЯНИРОВАНИЕ И СВИНЦЕВАНИЕ

ОБЩИЕ СВЕДЕНИЯ О ПРОЦЕССЕ ОЛОВЯНИРОВАНИЯ

Олово — серебристо-белый, мягкий металл плотностью 7,28 г/см³, плавящийся при температуре 232 °C. Оно отличается значительной химической стойкостью; окисляется под действием влажного воздуха, слабо реагирует с разбавленными растворами H_2SO_4 , HCl и HNO_3 , не растворяется в крепкой HNO_3 . Концентрированные растворы щелочей при нагревании растворяют Sn с образованием станинатов. Сернистые соединения на Sn почти не действуют.

Стандартный потенциал Sn — 0,136 В, и по отношению к железу Sn является более электроположительным, поэтому в условиях атмосферной коррозии оно электрохимически не защищает железо от коррозии. В присутствии органических веществ, содержащихся в пищевых продуктах, потенциал Sn становится более отрицательным, и в этих условиях оно надежнее защищает сталь от коррозии.

Продукты коррозии Sn почти безвредны для человека, поэтому Sn применяется для защиты консервной тары и других изделий, связанных с хранением, приготовлением и транспортированием пищевых продуктов.

При низких температурах Sn переходит в другую модификацию, называемую серым оловом, и рассыпается в порошок. Это явление, известное под названием оловянной чумы, необходимо учитывать при использовании Sn для покрытия деталей.

Оловянные покрытия чрезвычайно пластичны и легко выдерживают вальцовку, штамповку и вытяжку. Детали, подвергнутые оловянированию, легко паяются. Однако эта способность к пайке ухудшается по мере увеличения срока хранения деталей на складе. Легко паяются с помощью бескислого

ных флюсов лишь оловянированные детали со сроком хранения не более 10–15 сут. Через 2–3 недели хранения детали пайка осуществляется уже с большим трудом. В целях улучшения условий пайки вместо покрытий Sn часто применяют сплавы Sn—Pb с содержанием Sn от 18 до 60 %. По аналогии с оловянно-свинцовыми припоями покрытия из сплавов олова называю также ПОС (ПОС-18, ПОС-30, ПОС-40, ПОС-60) в зависимости от количества Sn в сплаве.

Сплавы Sn лучше, чем чистое Sr, сохраняют способность к пайке после хранения. Особую стабильность проявляют сплавы олова с висмутом при содержании последнего 0,3–5 %. Сплавы Sn—Bi обеспечивают способность к пайке после годичного хранения в складских условиях.

Электрохимическое оловянирование в водном растворе позволяет наносить покрытие любой заданной толщины с незначительными потерями Sn. Электрохимическое оловянирование производится как в кислых, так и в щелочных растворах. В качестве кислых электролитов применяют растворы солей Sn на основе H_2SO_4 , HCl , HBF_4 , фенолсульфоновой кислоты, в качестве щелочных — станинаты и пирофосфатные.

В кислых электролитах Sn находится в виде Sn^{2+} . В отсутствие ПАВ из этих электролитов Sn выделяется без заметной поляризации. В связи с этим осадки, выделяющиеся из кислых растворов без специальных органических добавок, получаются крупнозернистыми и уже при небольшой толщине становятся рыхлыми. Плотные, компактные мелкозернистые седдлы Sn с относительно равномерным распределением по толщине можно получать из кислых электролитов только в присутствии определенных органических веществ, значительно повышающих катодную поляризацию.

Допустимый верхний предел катодной плотности тока в кислом электролите выше, чем в щелочном. Выход металла по току близок к 100 %, что объясняется высоким перенапряжением водорода на Sn.

В щелочном электролите Sn присутствует в виде комплексных ионов Sn_2^{4+} и Sn^{4+} .

Плотные, мелковзернистые осадки на катоде получаются только при восстановлении Sn^{4+} из станинтовых растворов. Процесс протекает при значительной катодной поляризации, которая возрастает при понижении концентрации Sn и температуры и при увеличении концентрации щелочи.

Щелочные электролиты удовлетворительно работают только при температуре электролиза не ниже 65–75 °C. Понижение температуры приводит к снижению выхода металла по току, пассивированию анодов и снижению качества осадка. Это обстоятельство, а также большая поляризуемость катода обеспечивают высокую рассеивающую способность станинтовых электролитов.

ЭЛЕКТРОЛИТЫ ОЛОВЯНИРОВАНИЯ

Кислые электролиты. Наиболее широкое применение в промышленности получил сернокислый электролит. Составы кислых электролитов оловянирования приведены в табл. 1.

Крупное достижение в области электролитического оловянирования — создание электролитов для электроосаждения блестящих Sn гальваниопокрытий. Наиболее удовлетворительные результаты достигнуты при разработке сернокислых электролитов с нескользкими блескообразователями.

Осадки хорошего качества получаются в тех случаях, когда в электролите одновременно присутствуют добавки двух или трех ПАВ.

Хорошим блескообразующим свойством обладают электролиты, содержащие β -нафтол, желатину и α -толуидин. Получены блестящие осадки Sn в неподвижном электролите при содержании 5–10 г/л α -толуидина при $i_k = 2 \pm 5 \text{ A/dm}^2$ и $t = 15 \pm 25^\circ\text{C}$. При перемешивании в электролите допустимый предел плотности тока увеличивается до 15–20 A/dm^2 .

Добавление к электролиту частично окисленных α -толуидина и α -толуидина или анилина способствует появлению зеркального блеска осадков Sn. Было установлено, что при одновременном присутствии в электролите β -нафтола, желатины и α -толуидина резко усиливается их адсорбция в области значений потенциалов, соответствующих выделению Sn.

Блескообразующими добавками к сернокислому электролиту оловянирования могут служить также различные смолы, получаемые при сухой перегонке древесины.

Для электроосаждения блестящих оловянных покрытий необходима периодическая очистка электролитов с помощью угля и постоянная или периодическая фильтрация электролитов, поскольку в результате окисления ионов Sn^{4+} образуется шлам. Нерастворимый осадок, содержащий Sn^{4+} , является почти коллоидным, и для полной очистки электролита необходимо пользоваться специальными коагуляторами. Допустимо загрязнение электролита следующими примесями (г/л): Ni или Zn до 4, Cu до 0,3, Fe до 1,0 и Cl^- 0,3. При наличии примесей в указанных концентрациях покрытия теряют блеск.

Существует несколько способов приготовления сернокислого электролита оловянирования.

Наиболее простой и экономичный способ состоит в растворении в теплой воде при непрерывном перемешивании рассчитанного количества соли SnSO_4 .

К раствору SnSO_4 , чтобы предупредить гидролиз, сразу же добавляют H_2SO_4 из расчета 20–25 г/л и декантывают его в рабочую ванну, куда затем добавляют оставшееся количество H_2SO_4 , остальные компоненты и воду до необходимого уровня.

Фенол или крезол вводят в виде смеси со столярным клеем. Столярный клей предварительно выдерживают в воде в течение суток для набухания. Затем с него сливают воду и растворяют в горячей воде. Раствор клея смешивают с фенолом или крезолом и полученной эмульсией вливают при непрерывном перемешивании в ванну.

Электролит прорабатывают током в течение 3–4 ч при $i_k = 1,5 \text{ A/dm}^2$.

Электролитический способ приготовления электролита предусматривает

1. Состав сернокислых электролитов оловянирования (г/л) и режимы осаждения

Компоненты электролита и режим	Нельтр. лит					
	1	2	3	4	5	6
SnSO_4	20–30	51	15–54	25–50	80–100	50–70
H_2SO_4	70	100	60–100	50–100	140–160	—
Крезол-сульфоновая кислота (p -крезол технический)	—	—	80–100	—	—	—
β -нафтол	—	—	1	—	—	—
Желатина	—	—	2	—	—	—
Клей столярный	—	2,0	—	1–2	—	—
РС-20	2	—	39	—	—	80–90
Фенол технический	—	—	—	25–30	—	—
Фенолсульфоновая кислота 1,4-бутандиол (35%-ный раствор), мл/л	—	—	—	—	8–10	—
Древесносмоляное масло, мл/л	—	—	—	—	5–8	—
Моющее средство «Прогресс», мл/л	—	—	—	—	—	6–11
Диоксидифенилсульфон	—	—	—	—	—	0,4–1
Монобутилфенилфеномоносульфо-	—	—	—	—	—	—
$t, ^\circ\text{C}$	20–50	20–30	20	18–25	18–25	40–50
$i_k, \text{A/dm}^2$	0,5–2	1–3	0,5–2	2–7 ²	2–6	20–30

* При интенсивном перемешивании.

получение SnSO_4 путем анодного растворения металлического Sn в H_2SO_4 . Для этого ванну заполняют раствором, содержащим 75–100 г/л SnSO_4 . На анодные штанги завешивают пластины из чистого Sn, а на катодные — свинцовые или медные полосы, которые погружают в пористые керамические сосуды, являющиеся диафрагмами. Эти сосуды наполняют тем же раствором кислоты. Во время электролиза на катодах выделяется только водород, так как диафрагмы препятствуют проникновению ионов олова к катодам.

При растворении Sn поддерживают плотность тока на анодах 2–3 A/dm^2 , а на катодах 20–30 A/dm^2 . За каждый ампер-час в раствор переходит с анодов 2 г Sn. Для накопления в электролите 50 г/л SnSO_4 , что соответствует 28 г металлического Sn, потребуется 28 А·ч количества электричества.

После накопления в растворе необходимого количества SnSO_4 с ова в него вводят смесь фенола и p -крезола со столярным клеем, приготовленную, как указано выше.

Корректировка электролита, на основании данных анализа, сводится к периодическому пополнению его Sn, H_2SO_4 и коллоидными добавками. Последние вводят из расчета 1 г/л фенола или крезола и 0,1 г/л kleя на каждые 10 А·ч количества электричества.

Основные неполадки, которые встречаются при эксплуатации электролитов сернокислого оловянирования, и способы их устранения приведены в табл. 2.

Щелочные (стандартные) электролиты. Состав и режим работы щелочных электролитов оловянирования приведены в табл. 3.

Станинтовые электролиты обычно готовят непосредственным растворением SnCl_4 в щелочи.

Другой способ приготовления заключается в том, что металлическое Sn анодно растворяется в щелочи требуемой концентрации с применением пористой диафрагмы, внутри которой находятся с альгинатами катоды. В 1 литр вводят также окислители (H_2O_2 , $\text{K}_2\text{S}_2\text{O}_8$), или пару с оловянными анодами подвешивают стальные

2. Неполадки при оловянировании в кислых электролитах

Неполадки	Причина неполадок	Способ устранения
Темные покрытия	отличие в электролите меди	Проработать электролит постоянным током при $I_K = 3 \pm 4 \text{ А}/\text{дм}^2$
Покрытия крупнокристаллические, по краям дендриты Образование в ванне перистого осадка На анодах наблюдается сильное газовыделение. Поверхность их покрыта черным налетом Шероховатость осадка	Недостаток в электролите фенола или крезола и клея Недостаток H_2SO_4 Пассивирование анодов из-за наличия в них примесей Pb Загрязнение электролита шламом или механическими примесями Недостаток в электролите SnSO_4 , большая катодная плотность тока	Добавить вещества из расчета 1 г фенола и 0,1 г/л клея и каждый 10 А·ч/л Добавить H_2SO_4 из основания даних анализа Чаще вынимать и очищать анод от корки и шлама или сменить аноды Отфильтровать электролит Повысить концентрацию Sn; снизить катодную плотность тока
Пористые осадки		

аноды для окисления в станнат обрабатываются станнитом.

Вредной примесью в станнатном электролите является Sn^{2+} . Присутствие в электролите даже незначительного количества станнита приводит к образованию на катоде губчатого осадка, так как ионы $\text{Sn}(\text{OH})_4^{2-}$ восстанавливаются на катоде при небольшой поляризации и, следовательно, преимущественно перед ионами $\text{Sn}(\text{OH})_6^{4-}$. Поскольку концентрация ионов $\text{Sn}(\text{OH})_4^{2-}$ очень мала, уже вскоре после начала электролиза разряд их протекает на предельном токе диффузии. Вследствие этого на выступающих участках или по всей поверхности катода образуются микродендриты, на которых продолжает выпадать осадок в виде рыхлой массы. Кроме того,

в присутствии станнита раствор загрязняется взвесями SnO или тонко-дисперсного металлического Sn в зависимости от содержания щелочи.

Чтобы Sn переходило в раствор только в виде Sn^{2+} как в период приготовления электролита, так и при эксплуатации готовой ванны, необходимо сразу же запасинировать все аноды и все время поддерживать их в таком состоянии. Запасинированные аноды имеют золотисто-желтый цвет. Для пассивирования анодов необходимо в нагретый до $70-80^\circ\text{C}$ раствор поместить 2-3 анода и дать на ванну такой ток, чтобы анодная плотность тока была равна $3-4 \text{ А}/\text{дм}^2$. При этом на анодах начинается заметное выделение кислорода, и они в течение 1-3 мин приобретают золотисто-желтый цвет.

3. Составы щелочных электролитов оловянирования (г/л) и режимы осаждения

Компоненты электролита и режимы	№ электролита			
	1		3	4
$\text{Na}_2\text{Sn}(\text{OH})_6$	5-90			
$\text{K}_2\text{Sn}(\text{OH})_6$ или в пересчете на Sn	—	105	210	420
или в пересчете на Sn	20-40	40	80	160
NaOH своб.	8-16	—	—	—
KOH своб.	—	5	22	22
Уксусная кислота	16-25	—	—	—
$t, ^\circ\text{C}$	60-80	66-8	80-9	80-90
$I_K, \text{ А}/\text{дм}^2$	0,5-2,0	3-10	6-17	16-4
$V_T, \text{ л}$	—	80-5	9-50	90-50

4. Неполадки при оловянировании в щелочных электролитах

Неполадки	Причина неполадок	Способ устранения
Темное покрытие	Наличие небольших количеств Sn^{2+} в электролите Избыток щелочи Повышенная катодная плотность тока	Добавить перегидроль из расчета 0,2-0,3 мл; проработать ванну при нормальном режиме на случайных катодах Нейтрализовать избыток щелочи уксусной кислотой Снизить катодную плотность тока Запасинировать аноды и следить за тем, чтобы напряжение на ванне не понижалось ниже 3,5-4 В; добавить в электролит перегидроль из расчета 0,3-1 мл/л либо 10% раствора перекиси водорода на расстояние 1-3 мм или проработать электролит на случайных катодах с оловянными и стальными анодами с соотношением их площадей 5 : 3 Снизить анодную плотность тока путем завешивания добавочных пассивированных анодов. Поверхневшие аноды выгрузить из ванны, зачистить стальной щеткой и снова запасинировать
Губчатые покрытия	В электролит перешло значительное количество Sn^{2+} в результате депассивации анодов	Добавить щелочь по данным анализа Снизить температуру электролита и не допускать нагревания его выше 75-80 °C
Аноды систематически чернеют, особенно по краям; содержание олова в электролите уменьшается	Повышенная анодная плотность тока, в результате чего вместо растворения Sn частично идет процесс разряда ионов Недостаток щелочи Температура электролита выше 80 °C Малый выход по току, обильное газовыделение	Нейтрализовать избыток щелочи добавлением уксусной кислоты Повысить концентрацию $\text{Na}_2\text{Sn}(\text{OH})_6$ в электролите путем электролитического растворения олова или другим способом

которых нельзя получить осадки олова хорошего качества (табл. 5).

Борфористоводородные электролиты используются при температуре 20-40 °C. Они позволяют применять более высокие плотности тока, чем сернокислые электролиты. Максимально допустимая плотность тока при покрытии деталей в стационарных ваннах 10-12 $\text{A}/\text{дм}^2$.

Аноды во всех случаях должны быть из чистого Sn. Анодная плотность тока примерно равна катодной. Выходы по току на катоде и на аноде при плотностях тока 4-5 $\text{A}/\text{дм}^2$ составляют 95-96 %.

Для предупреждения окисления Sn^{2+} и накопления Sn^{4+} в электролит № 3 рекомендуется добавлять 3-5 мл гидразина.

При оловянировании движущейся стальной полосы или ленты верхние допустимые пределы плотностей ока на катоде могут быть увеличены в 1,5-2 раза. Для покрытия проволоки при скорости ее движения 155 м/мин

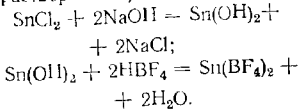
ОЛОВЯНИРОВАНИЕ И СВИНЦЕВАНИЕ

5. Состав борфтористоводородных электролитов оловяннирования (г/л) и режимы осаждения

Компоненты электролита и режим	# элек ролита			
	1	2	3	4
Sn(BF ₄) ₂	98—196	180—200	180—200	—00
HBF ₄ свобод	40—200	45—60	45—60	50
H ₃ BO ₃ свобод	10—30	25—30	5—3	25
β-нафтол	0,5—1,0	—	—	1
Желатина	1—3	—5	—	6
Клей столярный	—	—5	—	—
Ингибитор II-1-А	—	—	2—3	—
t, °C	20—40	25	20—40	20—40
I ₀ , А/дм ²	До 13	До 10	3—10	2,5—12,5

в электролите № 1, содержащем максимальное количество компонентов и около 0,5 г/л пирокатехина, катодная плотность тока может быть увеличена до 6 А/дм².

Борфтористоводородные электролиты можно готовить растворением в борфтористоводородной кислоте Sn(OH)₂. Последний получают при взаимодействии NaOH с подкисленной HCl раствором SnCl₂, содержащим олово в таком количестве, которое соответствует его количеству в данном электролите. Полученный осадок Sn(OH)₂ отделяют от раствора NaCl, промывают и вводят в раствор HBF₄:



Галогенидные электролиты. Из галогенидных электролитов представляют интерес растворы, содержащие одновременно хлор- и фтор-ионы. В таком растворе олово образует комплексы SnF₄²⁻ и SnF₅Cl₂⁻. Однако равновесный потенциал в системе Sn/Sn⁴⁺ резко возрастает в сторону отрицательных значений при увеличении концентрации фтор-иона и практически не зависит от концентрации хлор-иона.

В табл. 6 приведены составы рекомендемых электролитов.

Электролит № 1 используется для оловяннирования деталей простой конфигурации. По внешнему виду осадки о, ова при повышенной температуре

(50 °C) светло-серые; при 20 °C они темно-серые.

Электролит № 2 рекомендуется применять в отсутствие избытка HCl (рН 6) при плотности тока 1,0 А/дм² и температуре 20 °C для нанесения относительно толстых покрытий (до 30 мкм). При повышенной кислотности (рН 2,5) его целесообразно использовать для получения осадков Sn средней толщины (5—10 мкм); при перекисывании электролита плотность тока можно увеличить до 5,0 А/дм².

Электролиты № 3 и 4 рекомендуются для покрытия непрерывно движущейся полосы или ленты слоем Sn небольшой толщины (0,5—1,5 мкм). Выход Sn по току в электролите № 4 составляет 83—90 %.

При приготовлении хлорид-фторидного электролита NaF сначала растворяют при 50—60 °C в воде, затем в раствор вводят при перемешивании SnCl₂. Во избежание гидролиза SnCl₂ раствора NaF предварительно подкисляют HCl. После фильтрования к раствору добавляют HCl (до достижения требуемого рН) и остальные компоненты.

Пирофосфатные электролиты. В растворах пирофосфорникислых солей натрия и калия Sn образует комплексные соединения Sn²⁺ и Si⁴⁺. Для гальваностегии пригодны растворы, содержащие пирофосфат олова только в виде двухвалентных комплексных ионов.

В пирофосфатном электролите (рН 8,5), не содержащем органических добавок и ионов хлора, выделение на катоде компактных осадков Sn д

ОЛОВЯНИРОВАНИЕ БЕЗ ВНЕШНЕГО ТОКА

определенной небольшой плотности тока происходит без заметной поляризации. При плотности тока 0,2—1 А/дм² (в зависимости от концентрации Sn²⁺) наблюдается скачок потенциала, после чего катодная поляризация практически не увеличивается с повышением плотности тока, качество осадка резко ухудшается.

Осадки Sn хороши качества в более широком интервале допустимых плотностей тока, получены из пирофосфатных растворов, содержащих добавки декстрина, желатина, β-Нафтофула, олениновокислого натрия, виннокислых солей натрия и калия и др.

Для предотвращения окисления Sn²⁺ в пирофосфатный электролит вводят специальные добавки — стабилизаторы. Исследования показали, что наилучшими стабилизирующими свойствами обладают добавки (г/л): пирофосфата (3), гидрохинона (8), салиникислого гидразина (8), пирокатехина (3), гезорцина (5).

Пирофосфатные электролиты готовятся следующим образом. В подкисленной HCl в воде растворяют 61 г/л SnCl₂·2H₂O и к раствору добавляют 60 г/л Na₄P₂O₇·10H₂O, необходимого для образования осадка Sn₂P₂O₇. Этот осадок затем фильтруют, промывают и растворяют вставляемым количеством Na₄P₂O₇ таким образом, чтобы в растворе был избыток его, соответствующий содержанию в электролите примерно 360—400 г/л Na₄P₂O₇·10H₂O.

6. Состав хлорид-фторидных электролитов (г/л) и режимы осаждения

Компоненты электролита в режиме	# электролита			
	1	2	3	4
SnCl ₂	30—50	40—60	75	56
NaF	30—70	40—60	37,5	38
NH ₄ F	—	—	2,5	—
NaCl	—	20—40	22,5	—
HCl	2—4	0—30	12,5	3—4
Фенол	1—2	—	—	4,7
Желатина	—	0,5—5	—	1
ОП-10 или ОС-20	—	—	1,0	—
Дисульфонфталиновая кислота	—	—	0,25	—
Роданистый аммоний	—	—	—	—
pH	—	6—2,5	—	—
t, °C	18—25	20—35	30—45	50—60
I ₀ , А/дм ²	0,5—1,0	0,5—3	До 50	25—35

ОЛОВЯНИРОВАНИЕ
БЕЗ ВНЕШНЕГО ТОКА

Для химического оловяннирования используют растворы, содержащие SnCl₂, HCl, H₂SO₄ и HBF₄, тиокарбамид, смачивающие вещества, фосфорные соединения и продукты реакции H₄PO₄ с угленодами (например, сахароза, моноза, глюкоза). Осаджение Sn производится при температуре не выше 50 °C.

В табл. 7 приведены примерные составы растворов для химического оловяннирования и режим работы.

Растворы № 1—3 применяются для оловяннирования деталей из меди и ее сплавов методом погружения; растворы № 4 и 5 рекомендуются для покрытия оловом деталей из стали и других металлов с применением контакта из цинка; раствор № 6 — для покрытия алюминия. При покрытии мелких деталей во вращающихся барабанах (например, в растворе № 4) продолжительность процесса составляет до 2—4 ч.

Для оловяннирования алюминиевых деталей применяют щелочную раствор, содержащий 45—70 г/л стannата натрия или калия при 50—75 °C, в котором их обрабатывают (погружением) в течение 3—4 мин. Перед оловяннированием детали обезжиривают в щелочном растворе, рекомендуемом для алюминия и его сплавов, промывают холодной водой, погружают в 20 %-ный раствор HNO₃ на 20—30 с и вновь промывают холодной водой.

7. Составы растворов (г/л) для химического оловянирования и режимы осаждения

Компоненты раствора и режим	№ электролита					
	1	2	3	4	5	6
SnCl_2	4	8—20	5,5	20	3—4	—
Тиокарбамид	—	80—90	50	—	—	30
$\text{Na}_2\text{Sn}(\text{OH})_6$	50	—	—	—	—	20
Na_3CN	5,6	—	—	—	—	—
NaOH	—	6,5—7,5	—	—	—	—
HCl	—	70—80	—	—	—	—
NaCl	—	—	—	10	До исчезн.	—
Сегнетова соль	—	—	—	—	—	—
Винная кислота	—	—	35	—	—	—
$t, ^\circ\text{C}$	25	50—100	60—70	80	95—100	50—60
$t, \text{ мин}$	1—2	5	15—30	—	5—10	2—3

**ОПЛАВЛЕНИЕ,
ПАССИВИРОВАНИЕ,
ДЕКОРАТИВНАЯ ОДЕЛКА
ОЛОВЯННЫХ ПОКРЫТИЙ**

Оловянные покрытия толщиной около 1 мкм, полученные из щелочных электролитов, подвергают оплавлению для уменьшения пористости, придания поверхности декоративного вида, а также для облегчения лайки после длительного их хранения. Оплавление мелких деталей производится в горячем масле (например, в касторовом), температура кипения которого достаточно высокая (240—260 °C), или в глицерине. Для оплавления жестких лент и проволоки производят их нагревание токами высокой частоты, т. е. пользуются индукционным методом. Перед оплавлением детали погружают на 1—2 с в 5—6 %-ный раствор флюса (3 мас. доли ZnCl_2 и 1 мас. доли NH_4Cl), а затем просушивают нагреванием в течение нескольких секунд при 400—600 °C.

Для пассивирования оловянных покрытий применяют химическую или электрохимическую обработку в растворах хромовой кислоты или ее соли. Так, для химического пассивирования с целью защиты от коррозии предложены растворы следующего состава (г/л):

1. CrO_3 10
 H_3PO_4 50
 Режим обработки: $t = 85^\circ\text{C}$; $t = 10 \pm 20$ мин.

2. $\text{Na}_2\text{Cr}_2\text{O}_7$ 80—100
 Режим обработки: $t = 80 \pm 95^\circ\text{C}$; $t = 10 \pm 20$ мин.

Для электрохимического пассивирования рекомендуют следующий раствор (г/л):

CrO_3 или $\text{Na}_2\text{Cr}_2\text{O}_7$ 30
 Режим обработки: $i = 75 \pm 80^\circ\text{C}$; pH 4,0—6,5; $i_a = 3 \pm 5 \text{ A/dm}^2$.

Для химического пассивирования покрытий оловом консервной жести предложен раствор следующего состава (г/л):

$\text{Na}_2\text{Cr}_2\text{O}_7$ 3
 NaOH 10
 эмульсия ОП-7 3,5
 Режим обработки: $t = 90^\circ\text{C}$; $t = 15 \pm 20$ с. Толщина образующейся пассивной пленки не более $4 \pm 5 \cdot 10^{-3}$ мкм.

Более толстые (до 0,3 мкм) пленки получаются при электрохимическом пассивировании на аноде в электролите, содержащем (%):

NaOH 0,5
 Режим обработки: $i = 20 \pm 25 \text{ A/dm}^2$.

Переход Sn в пищевую среду после химического и электрохимического пассивирования уменьшается при длительном хранении мясных консервов в 2—3 раза, некоторых овощных консервов в 5—6 раз, а молочных продуктов — в 10 раз.

Декоративная отделка оловянного покрытия — получение кристаллического узора на его поверхности — за-

ключается в том, что на подготовленную обычным способом поверхность металлической основы электролитически наносится слой Sn толщиной 2—3 мкм из какого-либо электролита, дающего плотные мелкокристаллические осадки. Оловяненная деталь подвергается термической обработке в печах муфельного или шахтного типа при 250—300 °C до оплавления покрытия. Затем поверхность покрытия активируется в 5 %-ном растворе H_2SO_4 в течение 2—3 с, и деталь переносится в ванну с сернокислым электролитом оловянирования, содержащим в качестве ПАВ 1,0—1,5 г/л цианистый фенол для проявления кристаллического узора. В этой ванне деталь подвергается катодной обработке при температуре 20 °C и плотности тока на катоде 0,2—0,4 A/dm^2 в течение 10—20 мин. После появления на поверхности узора деталь тщательно промывают в проточной воде и погружают в раствор следующего состава (г/л):

$\text{Na}_2\text{Cr}_2\text{O}_7$ 125—150
 $\text{CuSO}_4 \cdot 5\text{H}_2\text{O}$ 8—15
 Режим обработки: $i = 35 \pm 40^\circ\text{C}$; $i_a = 0,1 \pm 0,2 \text{ A/dm}^2$; $t = 1,5 \pm 2$ мин. До появления равномерного бледно-розового осадка меди и при $i_a = 0,005 \pm 0,01 \text{ A/dm}^2$ в последующее время до получения пленки требуемого цвета.

УДАЛЕНИЕ ОЛОВЯННЫХ ПОКРЫТИЙ

Один из эффективных щелочных растворов, получивших наиболее широкое применение для снятия Sn со стали, имеет следующий состав (г/л):
 NaOH 120
 Нитроароматическое соединение 30
 Режим обработки: $t = 80^\circ\text{C}$.

Из нитроароматических соединений рекомендуют нитробензойную кислоту и ее соли, в присутствии которых растворение Sn в щелочи значительно ускоряется.

Кислый раствор для удаления олова с меди и латуни имеет следующий состав (г/л):

$\text{FeCl}_3 \cdot 6\text{H}_2\text{O}$ 75—100
 $\text{CuSO}_4 \cdot 5\text{H}_2\text{O}$ 135—160
 Ледяная уксусная кислота 175
 Режим обработки: $i = 20 \pm 35^\circ\text{C}$.

Окислителями в этом растворе служат ионы Fe^{3+} , Cu^{2+} . Так как при рас-

творении олова эти ионы восстанавливаются до ионов низшей валентности, то для их окисления в раствор периодически добавляют H_2O_2 или персульфат калия.

Для электрохимического снятия олова на аноде с поверхности стали, меди и латуни применяется щелочная раствор следующего состава (г/л):

NaOH 120
 Режим обработки: $i = 20 \pm 80^\circ\text{C}$; напряжение 6 В.

Олово хорошо растворяется в щелочном растворе, содержащем 0,5 н. NaNO_3 , при создании гальванической пары с угольным электродом, более положительным относительно олова. Этот способ рекомендуют также для приготовления щелочного электролита без применения диафрагмы.

ОБЩИЕ СВЕДЕНИЯ О ПРОЦЕССЕ СВИНЦЕВАНИЯ

Свинец — голубовато-белый тяжелый металл, очень мягкий.

Это химически стойкий металл; разбавленная HCl и H_2SO_4 почти не действуют на Pb вследствие малой растворимости соответствующих свинцовых солей. Легко растворяется Pb в HNO_3 . Органические кислоты, особенно уксусная, также растворяют Pb в присутствии кислорода воздуха. Свинец растворяется также и в щелочах, образуя плumbиты. Основные физико-химические свойства свинца следующие: плотность 11,34 g/cm^3 ; температура плавления 327 °C; микротвердость 4—7; атомная масса свинца 207,19; электрохимический эквивалент 3,865 г/(A·ч).

Стандартный потенциал свинца $-0,126$ В; следовательно, в электрохимической паре с Fe он является катодом и поэтому не может служить надежным защитным покрытием. Когда пористость практически отсутствует, химическая устойчивость конструкционных металлов может быть достигнута лишь при осаждении свинцового покрытия значительной толщины. Необходимость получения толстых слоев свинцового покрытия вызывается также низкой твердостью и слабой механической прочностью свинца. Свинцеванию подвергаются детали из черных и цветных металлов с целью за-

СЛОВЯНИРОВАНИЕ И СВИНЦЕВАНИЕ

8. Состав электролитов (г/л) для свинцевания и режимы осаждения

Компонент электролита и режим	№ электролита						
	1	2	3	4	5	6	7
Pb(BF ₄) ₂ в пересчете на металлы	120	240	—	—	—	—	—
HBF ₄	30	60	—	—	—	—	—
H ₃ BO ₃	13,3	26,6	5—6	—	—	—	—
Столлярный к. с.	0,2	0,2	0,5—1	0,5—1	—	—	—
PbSiF ₆	—	—	80—130	—	—	—	—
H ₂ SiF ₆ (свободная)	—	—	20—30	—	—	—	—
Селитровая соль парафенолсульфоновой кислоты	—	—	—	140—200	—	—	—
Фенолсульфоновая кислота	—	—	—	20—40	—	—	—
NaOH	—	—	—	—	180—200	00	140—180
Плюмбат патрия (в пересчете на металлический свинец)	—	—	—	—	25—45	—	—
Полистиленолигамины	—	—	—	—	0,5—1	—	—
Уксусноводородный свинец	—	—	—	—	—	75	—
Pb в пересчете на металл	—	—	—	—	—	—	80—100
Селитровая соль	—	—	—	—	—	50	—
Глинерин	—	—	—	—	—	6	50—60
Канифоль	—	—	—	—	—	—	0,3—1,0
Sn в виде станината	—	—	—	—	—	—	—
Pt	1,0	1,0	—	—	—	—	—
I _к , А/дм ²	0,5—5	0,5—7	1,5	0,5—1	0,5—8	До 1,5	0,5—2,0
t, °C	18—40	18—40	15—25	18—60	25—40	60—70	20—60

щиты оборудования от воздействия кислот и газов, а также для защиты от действия рентгеновских лучей.

Освинцовыванное железо характеризуется хорошей деформируемостью, допускает глубокую штамповку без отслаивания покрытия. При этом свинец играет роль смазки и этим облегчает штамповку.

В гальванотехнике свинцовые покрытия применяют для защиты подвесных приспособлений от растворения при таких анодных процессах, как электрополирование в растворах H₂SO₄, H₂Cr₂O₇ и H₃PO₄. Весьма эффективно использование свинцевания для покрытия тонких проволок и различных конструкций, служащих дополнительными анодами при хромировании пресс-форм, волочильных фильтров и т. д.

Толщина свинцовых покрытий колеблется в пределах 50—2000 мкм в зависимости от назначения покрытия.

Для свинцевания в основном используют кислые электролиты. Наиболее широко применяют борфтористоводород-

ные, фенолсульфоновые и кремнефтористоводородные электролиты. В этих электролитах свинец находится в форме Pb²⁺. Известны плюмбатные электролиты, где свинец находится в форме аниона PbO₂²⁻; однако практического применения эти электролиты не получили.

Наиболее употребительные составы электролитов и режимы свинцевания приведены в табл. 8.

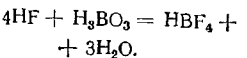
ЭЛЕКТРОЛИТЫ СВИНЦЕВАНИЯ

Кислые электролиты. К числу кислых электролитов свинцевания относятся борфтористоводородные, кремнефтористоводородные, бензосульфоновые и уксуснокислые. Выделение металла на катоде из этих растворов в отсутствие ПАВ протекает при незначительной катодной поляризации; при этом образуются крупнокристаллические осадки. Плотные компактные осадки свинца получают из растворов, содержащих 0,3—1,0 г/л кляя, жела-

Электролиты свинцевания

тины и других органических веществ, оказывающих небольшое ингибитирующее действие на катодный процесс.

Для приготовления борфтористоводородного свинца необходимо на 80 г/л 100 %-ной HF кислоты взять 62 г/л H₃BO₃. При использовании технической плавиковой кислотой, концентрация которой обычно не бывает выше 40 %, следует количество HF соответственно увеличить до 200 г/л. При взаимодействии слабых HF и H₃BO₃ получается сильная HBF₄ по реакции



Фторборатные электролиты должны содержать в некотором избытке свободной HBF₄ и H₃BO₃. Избыток свободной HBF₄ препятствует гидролизу свинцовых солей, увеличивает электропроводимость электролита и концентрационную поляризацию, что позволяет повышать плотность тока и благоприятно оказывается на структуре осадка.

Кроме того, для большей устойчивости HBF₄ в электролите вводят определенный избыток H₃BO₃ по сравнению с тем, который требуется при взаимодействии с фтористоводородной кислотой для образования HBF₄.

Получение Pb(BF₄)₂ осуществляют следующим образом. В приготовленную при смешении H₃BO₃ и HF борфтористоводородную кислоту вводят Pb в виде основной углекислой соли, которая в свежесажденном состоянии и легко растворяется.

Растворение идет по реакции

$$\text{2PbCO}_3 \cdot \text{Pb}(\text{OH})_2 + 6\text{HBF}_4 \rightleftharpoons 3\text{Pb}(\text{BF}_4)_2 + 2\text{CO}_2 + 4\text{H}_2\text{O}$$

Вместо основной углекислой соли можно применять PbO (спинцововый глет). Однако целесообразно для быстроты растворения глет перевести в азотнокислую соль действием HNO₃ и затем содовым раствором осадить из нее PbCO₃ · Pb(OH)₂. Растворение свинцовых соединений в HBF₄ осуществляется непосредственно в рабочей ванне, где производится и приготовление HBF₄.

После приготовления основных компонентов ванну доливают водой до рабочего уровня и в электролит вво-

дят столярный клей, который предварительно замачивают водой для набухания.

Борфтористоводородные электролиты характеризуются сравнительно низкой рассеивающей способностью и склонны к дендритообразованию на участках, где наблюдается повышенная плотность тока. Во избежание этого явления на деталях, имеющих острые кромки, углы, рекомендуется применять пониженную плотность тока. При больших толщинах покрытия (более 100 мкм) для повышения его прочности сцепления с основой необходимо поверхность покрываемых деталей предварительно подвергать упрочняющей обработке.

Борфтористоводородные электролиты отличаются высокой стабильностью, в них получаются мелкокристаллические, хорошо скрепленные с основой осадки непосредственно на стали.

Режим электроиза, в частности, плотность тока, выбирают в зависимости от необходимой толщины покрытия. Для получения тонких слоев покрытий (~25 мкм) рекомендуется применять более разбавленный электролит.

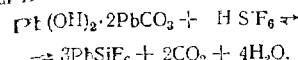
Для наименения толстых слоев покрытий (в барабанах и на подвесках) выбирают концентрированный электролит и поддерживают более высокую плотность тока и температуру в пределах 25—40 °C; если необходимо, электролит охлаждают. Плотность тока в электролите № 1 (см. табл. 8) для тонких слоев поддерживается в пределах 0,5—0,6 A/dm²; в электролите № 2 для толстых слоев — 0,5—7 A/dm². Выход металла по току как на аноде, так и на катоде близок к 100 %. Несмотря на повышенную кислотность электролитов, выход металла по току в рабочем интервале плотностей тока составляет 100 %, что объясняется высоким перенапряжением водорода на свинце и сравнительно малой катодной поляризацией при выделении свинца.

Соотношение анодной и катодной поверхностей составляет от 0,8 : 1 до 1 : 1, I_к = 1—3 A/dm². Аноды изготавливаются из чистого свинца.

Кремнефтористоводородный электролит. Кремнефтористоводородный электролит свинцевания по своим эксплуатационным качествам не имеет

особых преимуществ перед борфтористо-водородным, но он более дешевый (электролит № 3 в табл. 8). Основной компонент электролита — H_2SiF_6 . Она получается при взаимодействии кварцевого песка и разбавленной HCl .

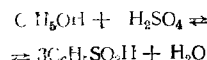
В приготовленную H_2SiF_6 загружают глет или свежесаженный $PbCO_3$, который растворяется по реакции:



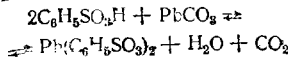
Получение $PbSiF_6$ производится обычно в рабочей ванне.

После добавления свободной H_2SiF_6 и H_2BO_3 ванну доливают водой до рабочего уровня, затем в нее вводят стальной яркий клей.

Фенолсульфоновый электролит. Основным компонентом этого электролита является фенолсульфоновый свинец. Фенолсульфоновую кислоту получают в результате сульфирования фенола по реакции



Фенолсульфоновая кислота, реагируя с соединениями свинца, образует соответствующую соль



Особенность приготовления фенолсульфоновой кислоты является соблюдение условий сульфирования, выражаются в следующем: в чугунный или эмалированный сульфатор загружают фенол. Затем при непрерывном перемешивании температуру поднимают до $100-110^\circ\text{C}$ и смесь выдерживают в течение 24 ч.

Преимуществом фенолсульфонового электролита является возможность получения из него более светлых осадков свинца, которые имеют значительно лучшую адгезию покрытия к основному металлу.

В фенолсульфоновом электролите верхний предел допустимой плотности тока несколько ниже, чем в борфтористом водородном.

Щелочные электролиты. Щелочные электролиты отличаются своей простотой, доступностью исходных про-

дуктов и менее трудоемким процессом приготовления.

В этих растворах свинец находится в виде комплексной соли — пломбита $Na_2Pb(OH)_4$ и $K_2Pb(OH)_4$, которые диссоциируют с образованием комплексного аниона $Pb(OH)_4^{2-}$.

Щелочной электролит можно приготовить двумя способами: химическим растворением свежего ажденной $Pb(OH)_2$ в растворе KOH или $NaOH$ и анодным растворением метallocеского Pb в щелочном растворе с низкой концентрацией.

Растворы соли $Na_2Pb(OH)_4$ [или $K_2Pb(OH)_4$] в щелочном растворе весьма огражены, и при охлаждении раствора пломбита выпадает в осадок. Поэтому анодное растворение необходимо проводить при подогреве электролита до 60°C .

При этом из чистых растворов, не содержащих специальных добавок, на катоде образуются, как правило, дендриты свинца, быстро прорастающие в глубь электролита. Подогрев уменьшает возможность дендритообразования при толщине покрытия до 15 мкм. Введение в электролит добавок Sn^{4+} ($0,3-1,0$ г/л) и Hg^{2+} ($1-2$ г/л) еще более задерживает рост дендритов. С гнетовой солью препятствует пассивации анодов, в результате чего получается более стабильный состав электролита в процессе работы.

Наиболеещий эффект достигается введение глицерина в количестве до 50 г/л, что способствует повышеению растворимости свинца вследствие перехода его в глицериды.

Поэтому представляется возможность осаждения покрытия толщиной до 1200 мкм при плотности тока $0,5$ А/дм² без перемешивания. Перемешивание позволяет применять плотность тока $2-3$ А/дм² и получать осадки толщиной до 400-500 мкм.

В качестве ингибиторов при этом в щелочном электролите присутствуют карбонаты. Если концентрация карбонатов превышает 0,5 н., то в отсутствие глицерина и сегнетовой соли заметно тормозится растворение свинцовых азов вследствие их пассивации.

В электрошахтах с добавкой глицерина или сегнетовой соли концентрация компонентов может достигать 1,5-2,0 н. Для удаления карбонатов рас-

9. Неполадки при свинцовании

Неполадка	Причина неполадок
Крупнокристаллический осадок по всей поверхности	Недостаток кислоты; высокая температура; понижение содержания свободной кислоты
Образование шлама и фористого свинца	Недостаточное количество борной кислоты при составлении электролита
Плакое скрепление покрытия с основой	Наводороживание деталей в процессе травления и обезжиривания. Недостаточная очистка поверхности металла. Результат плохой рассеивающей способности электролита
Неравномерность осадка на отдельных участках поверхности детали. Порошкообразные детали; излишнее газовыделение на катоде во время работы	Высокая катодная плотность тока. Избыток свободной кислоты

Наиболее простой электрохимический способ заключается в анодном растворении свинца в 10 %-ном растворе щелочи при температуре $60-70^\circ\text{C}$ и анодной плотности тока $1-3$ А/дм². В этот раствор рекомендуется добавлять глицерин или сегнетовую соль, назначение которых указано выше при рассмотрении катодного осаждения свинца.

Основные неполадки, наблюдаемые при свинцовании, приведены в табл. 9.

ЭЛЕКТРООСАЖДЕНИЕ СПЛАВОВ Sn-Pb

Для получения свинцово-оловянных покрытий разработаны фторобратные, сульфатные, фенолсульфоновые и пирофосфатные электролиты. Производственное применение пока нашли борфтористо-водородные и фенолсульфоновые электролиты.

Самыми распространенными электролитами для электросаждения сплавов с различным содержанием Sn являются борфтористо-водородные с добавкой кислоты, желатины и пентона. Для электросаждения сплавов с содержанием олова 30-60 % рекомен-

довано добавлять Sn^{4+} 21 об. доли, H_2O_2 30 и л. доли, %

Скорость растворения сплава в этом растворе составляет 200-300 мкм/ч.

дуется электролит следующего состава (г/л):
 Pb (в пересчете на металл) 10—50
 Sn (в пересчете на металл) 40—50
 HBF_4 40—75
 H_3BO_3 25—35
 клей 3—5
 Режим осаждения: $t = 18 + \frac{4}{25}^{\circ}\text{C}$; $i_{\text{K}} = 0,8 + 1,0 \text{ A/dm}^2$; $i_{\text{a}} = 1,0 \text{ A/dm}^2$.

Наличие в электролитах H_3BO_3 препятствует гидролизу солей $\text{Pb}(\text{BF}_4)_2$ и $\text{Sn}(\text{BF}_4)_2$, который вызывает потери ионов металлов, загрязняет электролит взвешенными частицами и способствует уносу из электролита органических добавок. Состав осаждаемых покрытий находится в тесной зависимости от количества Sn, Pb и количества клея в электролите (табл. 10). Приведенные данные получены при катодной плотности тока 3,0 A/dm^2 и перемешивании электролита. Температура раствора 20°C . Соотношение $S_n : S_{\text{K}} = 2 : 1$. Толщина покрытий составляла 8—10 мкм. Повышение плотности тока увеличивает содержание Sn в катодном осадке. При постоянном отношении концентраций ионов свинца и олова в случае увеличения суммарной концентрации обоих металлов в электролите содержание Sn в осадке снижается.

В последнее время более распространеными являются электролиты с добавкой пептона. Эти электролиты разработаны в основном для электроосаждения покрытия ПОС-60. В производстве применяется электролит следующего состава (г/л):

10. Зависимость содержания компонентов в сплаве от состава электролитов

Содержание в покрытии, %	Состав электролита, г/л						
	Sn	Pb	Sn	Pb	HBF_4 свободн.	H_3BO_3	Клей
5	95	5	90	40	25	0,5	
7	93	7	90	40	25	0,5	
10	90	10	90	40	25	0,5	
15	85	15	80	40	25	1,0	
25	75	25	65	40	25	1,5	
40	60	40	44	40	25	3,0	
50	50	50	35	40	25	4,0	
60	40	60	25	40	25	5,0	

Более ранние рецептуры содержат резорцин, и электролит имеет следующий состав (г/л):

$\text{Sn}(\text{BF}_4)_2$	20—150
$\text{Pb}(\text{BF}_4)_2$	10—110
H_3BO_3	4—30
HBF_4	95—460
пептон	3,5—4,0
резорцин или гидрохинон	1,0

Глава 12.

ПОКРЫТИЯ БЛАГОРОДНЫМИ МЕТАЛЛАМИ

ОБЩИЕ СВЕДЕНИЯ О ПРОЦЕССЕ СЕРЕБРЕНИЯ

Серебро — мягкий и сравнительно легко истирающийся металл снежно-белого цвета. Из всех металлов он обладает наилучшей тепло- и электропроводимостью, полируемостью и отражательной способностью.

Осаждение серебра осуществляется исключительно из комплексных электролитов. Наиболее распространены цианистые, осаждение из которых сопровождается значительной катодной поляризацией. Электроосаждение из других неядовитых электролитов интенсифицирует процесс, однако качество покрытий получается ниже, чем из цианистых электролитов.

ЭЛЕКТРОЛИТЫ СЕРЕБРЕНИЯ

Цианистые электролиты серебрения. Основными компонентами этих электролитов являются комплексная соль $\text{KAg}(\text{CN})_2$ и свободный KCN . В растворе комплексная соль серебра диссоциирована главным образом на комплексные анионы $\text{Ag}(\text{CN})_2^-$ и $\text{Ag}(\text{CN})^-$. Образование этих прочных комплексных анионов резко сдвигает равновесный потенциал серебра в область отрицательных значений.

Так как диссоциация комплексных цианистых лигандов по уравнению $\text{Ag}(\text{CN})_2^- \rightleftharpoons \text{Ag}^+ + 2\text{CN}$ незначительна и выражается константой нестойкости $K_{\text{н}} = 8 \cdot 10^{-22}$, концентрация пресных катионов в растворе исчезающе мала. Вследствие этого эле трохимическое выделение серебра приходит в результате непосредственного разряда адсорбированных поверхностью катода комплексных анионов $\text{Ag}(\text{CN})^-$. При повышенных и отрицательных токах происходит также разряд ионов $\text{Ag}(\text{CN})_2^-$.

На рис. 11 изображены осаждения серебра из цианистых электролитов различных составов. В зоне потенци-

алов, положительнее $-0,45 \text{ В}$ (зоны I), разряд ионов серебра происходит с затруднением, но равномерно по поверхности катода с получением гладких полублестящих осадков мелкосернистой структуры. При более отрицательных потенциалах (зоны II) связь анионов CN^- с поверхностью серебра из-за изменения электростатических сил уменьшается, и становится возможной адсорбция случайных примесей, присутствующих в растворе. Вследствие этого осадок растет неравномерно. При потенциалах, отрицательных $-0,7 \text{ В}$ (зоны III), качество осадка резко ухудшается из-за появления рыхлых никосорбовых наростов. Покрытия пригодны к практическому применению после обработки в тумане. А после достижения предельного тока диффузии разра жающихся ионов выделяются только губчатые осадки.

Катодный выход по току в электролитах без ионов NO_3^- с та же яст $96—99\%$, в присутствии их понижается до $40—90\%$ вследствие восстановления NO_3^- до NH_3 и гидроксамина.

Повышение температуры и перемешивание в электролите снижает катодную поляризацию. В связи с этим допустимая плотность тока и, следовательно, скорость проеса могут быть соответственно увеличены.

Нестабильность тока зависит в зависимости от состава электролита и режима электролиза. Чем выше концентрация серебра и карбонатов в электролите и чем выше концентрация свободных цианидов, чем выше температура и интенсивнее перемешивание, тем большей может быть выход ка однородной плотности тока.

Электролиты № 1, 2 (табл. 1) применяют для предварительного осаждения серебра с целью увеличения прочности и спечения с основным металлом.

Для приготовления электролита № 1—3 отдельно растворяют в обесцвеченной воде расчетные количества

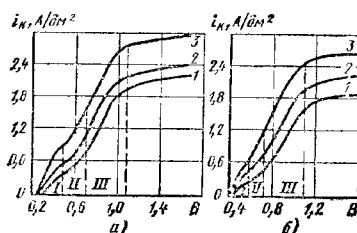


Рис. 1. Поляризационные кривые осаждения серебра из цианистых электролитов состава (г/л):
а — 29Ag, 32NaCN_{общ.}, 21K₂CO₃; б — 29Ag, 50NaCN_{общ.} и 21K₂CO₃ при температуре (°С): 1 — 25; 2 — 32; 3 — 40

AgNO₃ (в затемненном помещении) и цианистого калция. Затем при перемешивании в последний вводят раствор AgNO₃. В большинстве случаев K₂CO₃ в электролите не вводят.

При приготовлении электролита № 4 (для блестящего серебрения) производят химическую очистку раствора KCN. Для этого в него добавляют 1—2 мл/л 30 %-ной H₂O₂ и через 12 ч вводят 1—2 г/л актинного угля. Не

1. Составы электролитов серебрения (г/л) и режимы осаждения

Компоненты электролита и режим	# электролита					
	1	2	3	4	5	6
AgNO ₃ (в пересчете на металлы)	1—3	0,5—1,5	20—30	35—40	—	25—30
KCN (свободный)	70—90	70—90	20—40	140—160	—	—
KAg(CN) ₂ (в пересчете на серебро)	—	—	—	—	40—50	—
KCNS	—	—	—	—	—	—
K ₂ CO ₃	20—30	—	20—30	—	200—250	120—150
Селен металлический	—	—	—	—	20—40	25—30
Диспергатор НФБ (в пересчете на сухое вещество)	—	—	—	0,03—0,05	—	—
Этамон ДС	—	—	—	0,68—0,125	—	—
K ₄ Fe(CN) ₆ ·3H ₂ O (свободный)	—	—	—	6,4	—	—
pH	18—30	18—30	18—30	18—30	9—10	18—30
i _A , A/dm ²	~2,0	8—12	0,3—1,5	1—1,5	1—2	0,3—0,5
S _A : S _и	1:1—2:1	1:1—2:1	1:1—2:1	1:1—2:1	1:1—2:1	1:1—2:1
СИ, мкм/мин	0,15—0,75	0,5—0,75	0,5—1,0	0,5—1,0	0,15—0,25	—
Продолжительность обработки	20—40 с	—	—	—	—	—
1—3 мин	—	—	—	—	—	—

позднее чем через 2 ч раствор фильтруют и при перемешивании вводят в него раствор AgNO₃, при отобленный, как указано ранее.

Селен растворяют отдельно в растворе, содержащем 160—260 г KCN в расчете на 79 г, и прибавляют к электролиту.

Диспергатор НФ сперва уваривают, а затем сухой остаток просушивают в течение 30 мин при температуре, не превышающей 90 °С. Навеску высущенного диспергатора НФ размельчают, растворяют в горячей воде и вводят в электролит.

Этамон ДС добавляют в виде 50 %-ного водного раствора.

В качестве анодов в электролитах основного серебрения применяют чистое серебро (99,95—99,98 %). Для предотвращения загрязнения электролита шламом их помещают в чехлы из бельтина или хлориновой ткани. При длительных перерывах в работе аноды из ванны извлекают, очищают от шлама и хранят в сухом состоянии. Для предварительного серебрения используют аноды из Ni или графитовые, помещенные в керамическую диафрагму.

Серебрение без внешнего тока

Нецианистые электролиты серебрения. Из нецианистых (без свободного цианида) электролитов серебрения наибольшее промышленное распространение получили дицианоаргентатнороданистый и железистосиннеродистороданистый электролиты (соответственно № 5 и 6 в табл. 1). Они стабильны в работе и обеспечивают получение матовых покрытий с мелкокристаллической структурой при обработке деталей как на подвесках, так и насылью. Наличие в их составе свободного родида вместо цианида позволяет снизить их вредность, а в дицианоаргентатнороданистом электролите значительно повысить рабочую плотность тока (с перемешиванием электролита — до 2 А/дм²).

Применение реверсирования тока с соотношением периодов (с) $\tau_k : \tau_a = 10 : 1$ улучшает качество покрытия, а присутствие в нем анионов NO₃ улучшает качество электролита.

Получение качественных осадков обеспечивают и йодистые электролиты. Они не требуют частой корректировки и предварительного серебрения, являются безвредными, простыми по составу.

Для приготовления дицианоаргентатнороданистого электролита расчетное количество дицианоаргентата (в виде готовой соли) растворяют в обессыленной воде. Затем добавляют расчетное количество KCNS, растворенное в воде. Полученный раствор фильтруют, добавляют воду до заданного объема и раствором углекислого кальция доводят pH до 9—10.

Для приготовления железистосиннеродистороданистого электролита к раствору, содержащему AgNO₃, приливают раствор K₄Fe(CN)₆·3H₂O (количества компонентов берут в соответствии с расчетом). После образования белого осадка железистосиннеродистого серебра добавляют раствор K₂CO₃ и нагревают до кипения. При появлении коричневой окраски в раствор медленно при перемешивании добавляют 30 %-ную H₂O₂ из расчета 50—60 мл/л и кипятят в течение 1,0—1,5 ч. В процессе кипения комплекс [Fe(CN)₆]⁴⁻ разрушается с образованием комплекса серебра Ag(CN)₂ и Fe(OH)₃. Осадок последнего отфильтровывают на беззольном фильтре с красной полосой, промывают несколько раз горячей во-

дой и проверяют на отсутствие серебра. Затем в фильтрат добавляют раствор KCNS, доводят объем до требуемого и приступают к эксплуатации полученного электролита.

Унос электролита деталями восполняется корректированием его концентрированным раствором.

СЕРЕБРЕНИЕ БЕЗ ВНЕШНЕГО ТОКА

Для получения покрытий контактным способом на деталях из меди и ее сплавов рекомендуется применять составы растворов, приведенные в табл. 2.

Раствор № 1 применяют для получения очень тонких (меньше 0,1 мкм) покрытий преимущественно на мелких деталях. Раствор № 2 позволяет получить осадки толщиной до 15—20 мкм со скоростью 5 мкм/ч. Обработку производят при контактировании покрываемых деталей с Al или Mg и соотношении поверхностей 6 : 1. При этом контактируемый металл помещают в раствор в чехле из бязи или капровой ткани; контакт с ним осуществляют вне раствора, а с деталью — в растворе. Плотность загрузки деталей 3 дм²/л. Раствор используют до накопления 220—230 г/л K₄Fe(CN)₆. После этого из него регенерируют серебро.

Растворы серебрения обладают весьма малозначительной стабильностью. Поэтому готовят обычно два раствора: один (раствор А) содержит комплексную соль серебра, второй (раствор Б) —

2. Составы растворов (г/л) и режимы осаждения

Компоненты растворов и режим	# раствора	
	1	2
AgNO ₃ (в пересчете на металлы)	2—6	10—15
KCN (свободный)	5—25	—
K ₄ Fe(CN) ₆ ·3H ₂ O (свободный)	—	25—30
K ₂ CO ₃	—	10—20
HCl (10 %-ный раствор)	—	pH 6,5—7,5
pH	15—30	50—60
t, °С	0,3—0,5	—
t, мин	—	—

ПОКРЫТИЯ БЛАГОРОДНЫМИ МЕТАЛЛАМИ

восстановитель (табл. 3). Смешивают их в установленных пропорциях непосредственно перед нанесением покрытия.

На процесс восстановления серебра отрицательное влияние оказывают различные примеси (хлориды, сернистые соединения, соли свинца, железа, висмута и др.), поэтому для приготовления растворов серебрения используют чистые реагенты и обессоленную воду.

Для химического серебрения чаще других применяют растворы, представленные в табл. 3.

Наибольшее промышленное распространение получили раствор № 1. Его применяют главным образом в производстве зеркал, а также для нанесения покрововых покрытий различного назначения на диэлектрики. Раствор позволяет получить покрытия при однократном нанесении толщиной 0,08—0,15 мкм (поливом или погружением). Остальные растворы применяют в гальванопластике для нанесения покрытий погружением (растворы № 2 и 3) и пневмокрасыливанием (раствор № 4).

Для приготовления комплексной соли серебра (растворы № 1А и 2А) азотникислое серебро растворяют в

0,5 л воды и постепенно добавляют к нему аммиак до растворения образующегося осадка и затем 100—200 мл раствора с редуктурным содержанием NaOH. Если при этом образуется бурый осадок Ag_2O , то его растворяют, прибавляя аммиак. Раствор доводят до объема 1 л и тщательно перемешивают.

Приготовление восстановителя, содержащего инвертный сахар, производят следующим образом. В 700—800 мл горячей воды растворяют сахар-рафинад, добавляют 10 мл 10 %-ного раствора H_2SO_4 и кипятят в течение 10—20 мин. Полученный раствор доводят до объема 1 л и вводят в него 2—3 мл 5 %-ного спиртового раствора йода и снова кипятят до полного обесцвечивания раствора.

Растворы № 2Б, 3А и 3Б готовят путем растворения компонентов в небольшом объеме воды и доведения его до 1 л.

ПОКРЫТИЯ СПЛАВАМИ НА ОСНОВЕ СЕРЕБРА

Из сплавов серебра, получаемых электрохимическим осаждением, наибольшее практическое применение по-

3. Составы растворов химического серебрения (г/л)

Компоненты раствора	№ раствора						
	1		2		3		4
	α	β	A	B	A	B	α
AgNO_3	—	—	—	—	—	—	—
NH_4OH (25 %-ный)	—	—	—	—	—	—	—
	—	—	—	—	—	—	—
NaOII	—	—	—	—	—	—	—
H_2CO (37 %-ный)	—	—	—	—	—	—	—
Сахар инвертный	—	—	—	—	—	—	—
$\text{C}_6\text{H}_{12}\text{O}_6 \cdot \text{H}_2\text{O}$	—	—	—	—	—	—	—
J (5 %-ный спиртовой раствор)	—	—	—	—	—	—	—
$\text{KNaC}_4\text{H}_4\text{O}_6 \cdot 4\text{H}_2\text{O}$	—	—	—	—	—	—	—
$\text{C}_6\text{H}_5(\text{OH})_3$	—	—	—	—	—	—	—
$\text{H}_3\text{C}_6\text{O}_5 \cdot \text{H}_2\text{O}$	—	—	—	—	—	—	—
Соотношение объемов растворов А и В	100 (при серебрении стекла поливом); 20 (при серебрении погружением)	1	1	1	1	1	1
		1					

Покрытия сплавами на основе серебра

4. Составы цианистых и железистосинеродистороданистых электролитов (г/л) и режимы осаждения

Компоненты электролитов и режим	№ электролита					
	1	2	3	4	5	6
AgNO_3 или $\text{Ag}(\text{CN})_2$ (в пересчете на металл)	35—42	35—42	20—40	30—40	30—35 ~15	6—/ 13—14
PdCl_2 (в пересчете на металл)	—	—	—	—	—	—
KCl (свободный)	50—70	—	—	135—160	50—75	—
$\text{KNaC}_4\text{H}_4\text{O}_6 \cdot 4\text{H}_2\text{O}$	50—60	50—60	20—30	—	20—60	—
K_2CO_3	20—30	20—30	—	—	—	—
$\text{K}(\text{SbO})\text{C}_4\text{H}_4\text{O}_6 \cdot 0,5\text{H}_2\text{O}$	4,0—5,5 5—10	4,0—5,5 —	5—8	1,5—3,0	—	—
KOH	—	50—100	50—70	—	—	—
$\text{K}_4\text{Fe}(\text{CN})_6 \cdot 3\text{H}_2\text{O}$ (свободный)	—	—	—	—	—	130—180
KCNS	—	120—150	90—110	—	—	—
Se	—	—	—	0,001— 0,005	—	—
Диспергатор НФ (в пересчете на сухое вещество)	—	—	—	0,08— 0,125	—	—
$\text{K}_4\text{P}_2\text{O}_7 \cdot 3\text{H}_2\text{O}$	—	—	—	—	—	20—70
pH	—	—	—	8,0—8,5 18—25	—	—
$t, ^\circ\text{C}$	15—30	15—30	18—25	15—30	18—20	18—25
$i_{\text{вн}}, \text{A}/\text{дм}^2$	0,5—1,5	0,8—1,5	0,15—0,30	0,5—1,0	~1,0	0,3—0,5
СП, мкм/мин	0,7—1,0	0,7—1,0	0,10—0,3	0,25—0,50	~0,85	0,45—0,70

лучили сплавы $\text{Ag}-\text{Sb}$ и $\text{Ag}-\text{Pd}$. По сравнению с покрытиями серебра они имеют улучшенные механические и антикоррозионные свойства, но несколько худшие электрические характеристики.

Указанные сплавы широко применяют для покрытия контактов с целью увеличения срока службы и стабильности работы их, а сплав $\text{Ag}-\text{Sb}$ и для защитно-декоративной отделки изделий ювелирной промышленности.

Осаждение сплавов $\text{Ag}-\text{Sb}$, $\text{Ag}-\text{Pd}$ наиболее часто производят из цианистых и железистосинеродистороданистых электролитов. Составы их и режимы приведены в табл. 4.

Из электролита № 1 осаждают матовые покрытия на подвесках и насыпью. Электролит № 2 позволяет получать матовые покрытия на подвесках, а электролит № 3 — насыпью. Электролит № 4 предназначен для получения блестящих покрытий на подвесках.

Осаждение покрытий на подвесках следует производить при движении катодных штанг. Предельно допустимая концентрация K_2CO_3 в указанных

электролитах 100 г/л. Аноды — серебряные (чистота 99,95—99,98 %), соотношение $S_A : S_K = 2 : 1$. Содержание серебра в сплавах 97,5—99,2 %. При увеличении плотности тока и концентрации $\text{K}(\text{SbO})\text{C}_4\text{H}_4\text{O}_6 \cdot 0,5\text{H}_2\text{O}$ количество сурьмы в покрытии возрастает.

Для приготовления электролитов № 1—3 готовят вначале растворы комплексных солей серебра, как приготовлении соответствующих электролитов серебрения. Затем в отдельной емкости при нагревании последовательно растворяют рассчитанные количества сегнетовой соли, гидроокиси калия (для электролита № 1) и сурьмянилокислого калия и приливают к раствору комплексной соли серебра. Полученный электролит доводят водой до нужного объема, тщательно перемешивают и подвергают химическому анализу.

Приготовление электролита № 4 производят аналогично электролиту блестящего серебрения. Сурьмянилокислый калий растворяют в отдельных порциях электролита и вводят его в рабочий электролит.

При эксплуатации электролитов концентрацию Sb в них поддерживают

периодическим добавлением концентрированного раствора сурьмянико-никелевого калия и сегнетовой соли (рекомендуют 30 %-ный раствор первого и 20—30 %-ный раствор второго смешивать в отношении 1 : 10). Если необходимо ввести только сурьму, то соль ее растворяют в отдельных порциях электролита. Аналогично вводят и роданистый калий, но порцию электролита после его растворения рекомендуют прокипятить в течение 1—2 ч.

При прохождении 1 А·ч через каждый литр электролита расходуется примерно 0,015—0,025 г/л Sb и 0,3 г/л сегнетовой соли.

Для получения сплава серебро—палладий применяют электролиты № 5 и 6. Первый из них позволяет получать сплавы с 2—5 % палладия, второй — с ~10 %. С увеличением суммарной концентрации металлов в электролите содержание Pd в сплаве уменьшается. Увеличение концентрации палладия в электролите приводит к незначительному увеличению его массовой доли в сплаве. При увеличении концентрации цианистого или роданистого калия в электролите и плотности тока содержание Pd в осадке растет. Пере-мещивание раствора заметно уменьшает концентрацию Pb в осадке.

Приготовление цианистого электролита № 5 производят путем смешивания концентрированных растворов комплексной соли серебра (70—80 г/л в пересчете на металл) и $Pd(CN)_2$ (70—75 г/л $PdCl_2$) на 1 л раствора цианистого калия с концентрацией 170—180 г/л.

Во избежание разогревания раствора до температуры более 30—35 °C и выпадения PdO растворение $PdCl_2$ производят небольшими порциями при охлаждении и перемешивании раствора. Затем соответственно рецептуре добавляют растворы KCN и K_2CO_3 .

Электролит № 6 готовят аналогично. При этом соли серебра и палладия отдельно растворяют в растворах KCNS. В полученную смесь их вводят растворы роданистого и пирофосфорнокислого калия до рецептурного содержания.

Анодами в обоих случаях служит серебро.

ТЕХНОЛОГИЧЕСКИЕ ОСОБЕННОСТИ ПРОЦЕССА СЕРЕБРЕНИЯ

Покрытия серебром или сплавами на основе серебра наливают на детали из меди и медных сплавов (различные марки латуни, нейзильбер, мельхиор, томпак), коррозионно-стойких сталей, сплавов на никелевой основе и предварительно омедненных сталей.

Схема технологического процесса получения покрытий представлена на рис. 2.

Медный подслой применяют для деталей из стали, бронз различных марок и деталей из медных сплавов, имеющих паяные швы. Толщина подслоя 3—9 мкм.

Активацию поверхности перед серебрением в любых электролитах обычно осуществляют по ГОСТ 9.047—75 в растворе H_2SO_4 или HCl. Перед серебрением в цианистых электролитах применяют раствор KCN. В случае повышенных требований к прочности сцепления используют электрохимическую активацию при аподной плотности тока 3—5 A/dm^2 в 2—3 %-ном растворе KCN.

Для повышения прочности сцепления серебряного покрытия с основным металлом из коррозионно-стойких сталей и никелевых сплавов их обрабатывают в электролите следующего состава (г/л):

$NiCl_2 \cdot 6H_2O$ 200—240
 HCl ($\rho = 1,19 \text{ g/cm}^3$) 180—220 мл/л
 Режим осаждения: $t = 3 \pm 5 \text{ мин}$; $i_K = 4 \pm 5 \text{ A/dm}^2$; $t = 18 \pm 35^\circ C$.

5. Составы электролитов для пассивирования серебряных покрытий и режимы осаждения

Компоненты электролита и режим	№ электролита	
	1	2
Ингибитор И-1-Е	50—60	—
K_2CrO_4	—	30—50
KOH	—	30—50
$t, ^\circ C$	15—30	15—30
$i_K, A/dm^2$	—	1—3
$t, \text{ мин}$	5—10	5—10
Аноды	—	Свинец

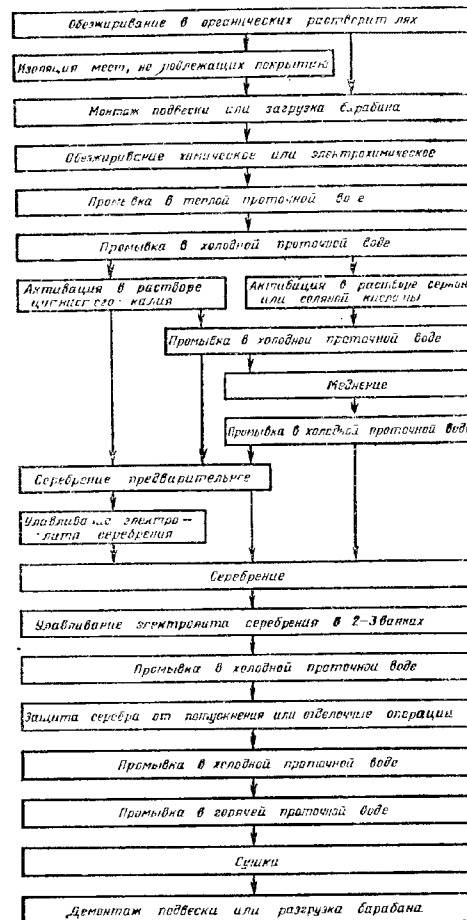


Рис. 2. Схема технологического процесса нанесения серебра и сплавов ча его основе

Пассивирование покрытий производят в электролитах, указанных в табл. 5.

Раствор № 1 используют для сохранения внешнего вида и паяемости покрытий, а электролит № 2 — для сохранения паяемости их кислотными флюсами. В электролите № 2 допускается обработка без внешнего источ-

ника постоянного тока (с применением алюминиевой гальванопары). При этом соотношение поверхностей алюминия и деталей от 2 : 1 до 5 : 1, продолжительность пассивирования — до 30 мин. Обработка рекомендуется для деталей, подлежащих длительному складскому хранению (до двух лет).

Окрашивание серебряных покрытий производят в электролите следующего состава (г/л):

$\text{Na}_2\text{SO}_4 \cdot 9\text{H}_2\text{O}$	2—30
Na_2SO_4	1—20
H_2SO_4 (— 1,84 г/см ³)	2—5 м/л
CH_3COCH_3	2—5 м/л
Режим окрашивания: при ботке ведут наNode; напряжение от катода 8—12 В; $i_a = 0,1 \pm 0,5 \text{ A дм}^2$; $t = 18 \pm 25^\circ\text{C}$; $t = 2 \pm 5 \text{ мин}$	

Катоды из коррозионно-стойкой стали марки 12Х18Н9Т. Процесс считается законченным, когда вся поверхность приобретает равномерный черный или темно-серый цвет. Полученная пленка не обладает электропроводимостью.

Применяют также химическое окрашивание в растворе, содержащем 20—30 г/л серной печени, при температуре 70—80 °C в течение 3—5 мин.

Для защиты Ag от потускнения в течение 2—3 лет на его поверхность наносят 3 %-ный раствор сплава КПЭЦ в смеси ацетона, ксилона и толуола (1 : 1 : 1). Получаемая при этом пленка лака имеет толщину 0,3—0,5 мкм. Она нестойка к механическим воздействиям и не препятствует пайке спиртовоканальным флюсом, но значительно изменяет переходное сопротивление, вплоть до отсутствия электрического контакта.

Неметаллический сплав КПЭЦ имеет следующий состав (мас. доля, %):

канифоль	25
синтетический церезин	20
эпоксидная смола ЭД-6	25
полистирол	30

Для его приготовления нагревают до 80 °C эпоксидную смолу, вводят в нее мелко раздробленную канифоль и при перемешивании нагревают массу до 120 °C. Затем добавляют церезин, нагревают до 180 °C и вводят мелко раздробленный полистирол. После нагрева массы при постоянном перемешивании до 280 °C ее выдерживают при этой температуре 10—15 мин, охлаждают до 220—250 °C и разливают в формы.

Некачественные серебряные покрытия удаляют электролитом в растворе, температура которого в электролите с содержанием серебра 15—35 °C и $i_a = 0,3 \pm 0,5 \text{ A дм}^2$. В качестве катодов используют угольные, графитовые или стальные (марки 12Х18Н9Т) пластины.

Последние допускается применять как аноды в ваннах серебрения.

Покрытия Ag вместе с подслоем Cu удаляются в концентрированной HNO_3 ($\rho = 1,41 \text{ g/cm}^3$), а также в смеси концентрированных H_2SO_4 и HNO_3 с соотношением объемов 19 : 1 при 60—80 °C.

Извлечение из серебра из цианистого или железистосиннеродисторданового электролита рекомендуется производить электрохимическим осаждением с нерасторвимыми анодами до концентрации 1,5—2,0 г/л. По мере уменьшения содержания серебра плотность тока снижается до 0,03—0,02 А дм². Извлечение остатков его из электролитов и промывных вод ванн улавливания производят методом внутреннего электролиза. В качестве электродов используют алюминий марки А-7 и пластины из коррозионно-стойкой стали. При коротком замыкании электродов серебро осаждается на пластинах из коррозионно-стойкой стали. Одновременно происходит контактное выделение его на Al.

Для извлечения серебра можно применять и метод осаждения HCl с последующим отделением AgCl , а также путем обработки электролита цинковым или алюминиевым порошком с последующим растворением избытка порошка соответственно HNO_3 или NaOH .

Наиболее целесообразен метод регенерации цианистых электролитов и промывных вод, основанный на экстрагировании серебра 0,5 м раствором четвертичных аммониевых оснований в тетрахлорэтилене с небольшими добавками (10 г/л) децилового спирта. В качестве четвертичного аммониевого основания можно использовать триалкилбензиламмоний, триалкиламмонийсульфат и др.

Рекэкстракцию серебра из нерастворимого экстрагента осуществляют раствором KCN (200 г) и KOH (10 г). Конечным продуктом является центрированный раствор $\text{Ag}(\text{CN})_2$, который для повторного использования в производстве.

ОБЩИЕ СВЕДЕНИЯ О ПРОЦЕССЕ ЗОЛОЧЕНИЯ

По своим декоративным свойствам золото превосходит все металлы. Оно отличается оно и высокой химической

стойкостью не окисляясь на воздухе, в кислороде, сероводороде и других газах при нагревании до 800—900 °C, не реагирует с неметаллами (кроме галогенов при нагревании в присутствии влаги), щелочами, отдельно взятыми кислотами, за исключением горячей H_2SeO_4 . Растворяется золото в смесях кислот с сильно выраженным окислительными свойствами (царской водке, серной и азотной, серной и марганцовкой), в растворах цианидов при доступе кислорода или других окислителей, в хлорной и бромной воде и во ртути, с которой образует амальгаму.

Наиболее распространены цианистые электролиты для золочения. Находят также применения железистосиннеродистые и некоторые другие электролиты.

ЭЛЕКТРОЛИТЫ ЗОЛОЧЕНИЯ

Цианистые электролиты. В цианистых электролитах золочения основным компонентом является анион $\text{Au}(\text{CN})^-$.

Вследствие ничтожно малой константы нестабильности его ($K_{\text{H}} = 5 \cdot 10^{-39}$) равновесный потенциал золота в цианистом растворе смешен в сторону отрицательных значений намного больше, чем у серебра, что исключает возможность контактного вытеснения золота медью и другими металлами.

Осаждение Au из цианистых щелочных электролитов протекает при большой катодной поляризации (рис. 3), обусловливающей высокую рассеивающую способность их и мелкокристаллическую структуру катодных осадков.

Выделение золота на катоде происходит в результате непосредственного восстановления цианоауратного комплекса.

Из-за отрицательного потенциала золота в цианистых растворах осаждение покрытия сопровождается выделением водорода. Даже при малых плотностях тока выход по току всегда меньше 100 % (обычно он составляет 60—90 %). С увеличением плотности тока выход по току резко падает (рис. 4). Перемешивание электролита или повышение концентрации золота в нем позволяет значительно повысить выход по

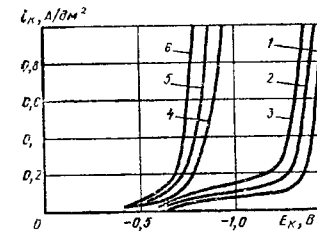


Рис. 3. Поляризационные кривые при электрохимическом осаждении золота из цианистых щелочных (1—2) и кислых (4—6) электролитов при pH 4,2 и температуре (°C): 1, 4 — 20; 2, 5 — 0; 3, 6 — 60

току. Однако увеличение сдерживания золота в электролите сп. соб. вует повышенюю потерю драгоценного металла, поэтому максимальная концентрация его даже в электролите, работающих при интенсифицированных режимах электролиза ($i_A > 1,5 \text{ A дм}^2$), не превышает 15 г/л. Вход по току увеличивается также при повышении температуры электролита.

Анодный процесс в щелочных электролитах с золотыми анодами в большей степени зависит от концентрации свободного цианида. Так, при содержании 1—3 % свободного KCN аноды растворяются с выходом по току 100 %, а при концентрации его менее 1 % и плотности тока $> 0,2 \text{ A дм}^2$ выход по току равен ~2 %. При содержании более 3 % KCN выход по току падает в связи с пассивированием анодов.

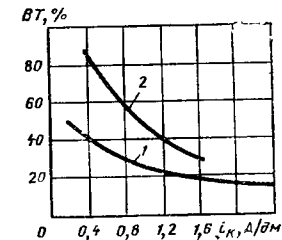


Рис. 4. Зависимость выхода по току от плотности тока в электролите, содержащем (г/л) 0,05 Au, 15 $\text{KCN}_{\text{своб}}$, 15 $\text{Na}_3\text{PbO}_4 \cdot 12\text{H}_2\text{O}$, при температуре 70 °C: 1 — без перемешивания; 2 — с перемешиванием

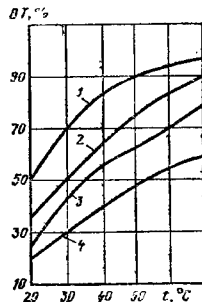


Рис. 5. Влияние температуры на выход золота по току в лимоннокислом электролите с содержанием 10–12 г/л Au при pH 4, 2 и плотности тока, А/дм²: 1 — 0,15; 2 — 0,3; 3 — 0,5; 4 — 1,0

Существенное влияние на процесс электролиза оказывает и природа катиона цианида. Использование калийных солей обосновано тем, что комплекс $\text{KAu}(\text{CN})_2$ по сравнению с натриевым обладает в 5 раз большей растворимостью, и вследствие этого пассивирование золотых анодов наступает при более высоких плотностях тока.

Цианистые кислые электролиты позволяют проводить золочение при значительно больших плотностях тока (до 1,5 А/дм²), чем в щелочных. Но с увеличением плотности тока выход металла по току уменьшается и тем в большей степени, чем ниже температура и pH электролита (рис. 5 и 6).

Поляризуемость катода в кислых электролитах меньше (см. рис. 3), чем в щелочных, поэтому и рассеива-

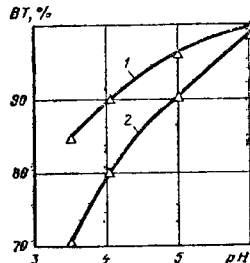


Рис. 6. Влияние pH на выход золота по току в лимоннокислом электролите при плотности тока, А/дм²: 1 — 0,15; 2 — 0,7

ющая способность их тоже меньше примерно в 2–2,5 раза. К недостаткам их относят также низкий выход по току (40–50 %), повышенные внутренние напряжения получаемых осадков и необходимость наличия вентиляции, так как в процессе эксплуатации электролита может образовываться цианистая кислота и окисление лимонной кислоты на аноде. Составы цианистых электролитов и режимы золочения представлены в табл. 6.

Электролиты № 1 и 2 наиболее часто употребляемые в практике. Они обеспечивают получение мелкокристаллических осадков и пригодны для покрытия сложнопрофилированных деталей. Золочение из них производят с растворимыми (золото 999,9-й пробы) и нерастворимыми анодами (сталь марки 12Х18Н9Т, планированный титан).

Электролиты № 3 и 4 представляют собой цианистые кислые (лимоннокислые) электролиты. Первый из них применяют при обработке деталей преимущественно на подвесках, второй — при золочении насыпью. Они дают светлые, а при повышенной температуре — полублестящие осадки. Обработку в электролите № 3 производят при движении катодной штанги или перемешивании раствора. В случае золочения движущейся проволоки электролиз ведут при температуре 60–80° С и плотности тока 5–6 А/дм². В электролитах допускается заменять 50 % лимонной кислоты эквивалентным количеством трехзамещенного лимоннокислого калия.

Электролит № 5 применяют для предварительного золочения перед нанесением сплавов золота на медь и ее сплавы, медные и никелевые покрытия.

В качестве анодов в электролитах № 3–5 рекомендуется применять платину или планированный титан, но применяют также сталь 12Х18Н9Т. Для уменьшения количества железа, выделяющегося в электролит, стальные аноды в нерабочее время вынимают из ванн и хранят в дистиллированной воде. Соотношение $S_{\text{Fe}} : S_{\text{Au}} = 2 : 1$ (не менее).

Железистосинеродистые и этилендиаминовые электролиты. Кроме цианистых разработаны также железистосинеродистые, сульфитноэтилендиаминовые (на основе комплекса

Золочение без внешнего тока

$\text{Na}_2\text{Au}(\text{SO}_4)_3$, Na_2SO_4 и этилендиамина или трилон-Б) и другие электролиты. Все они по качеству получаемых осадков и другим показателям уступают цианистым электролитам. Практическое применение из них получает лишь железистосинеродистый электролит № 6 (см. табл. 6).

Приготовление цианистых щелочных электролитов осуществляют путем последовательного растворения KCN и цианисанта калия в обессоленной воде. Электролит фильтруют в рабочую ванну, доливают водой до нужного объема и перемешивают. При отсутствии $\text{KAl}(\text{CN})_2$ приготовляют растворением металлического золота.

Для приготовления лимоннокислых электролитов растворяют лимонную кислоту (и лимоннокислый калий) в воде, добавляют pH 20 %-ным раствором KOH до 3,5–4,2. После этого вводят раствор цианисанта калия, доводят объем электролита до требуемого, перемешивают, замеряют pH и корректируют его 15 %-ным раствором H_3PO_4 или лимонной кислотой.

Для приготовления железистосинеродистого электролита все компоненты его растворяют отдельно в небольших объемах воды. Хлорное золото рекомендуют вейтрайзовать раствором K_2CO_3 до прекращения выделения пузырьков углекислого газа. Затем рас-

творы жесть и стеклочернистого и углеродистого глаия сливают вместе, нагревают до кипения и вводят горячий раствор хлорного золота. Полученный раствор кипятят 4–5 ч, фильтруют, входят в него KCNS и перемешивают, после чего он пригоден к эксплуатации.

При работе с нерастворимыми анодами количество металла, выделяемое на покрываемых деталях, и уносимое ими при выгрузке из ванн, компенсируют путем периодического или постоянного добавления концентрированного раствора золота. Кроме того, периодически производят корректирование всех компонентов электролита по данным химического анализа.

Для частичного удаления карбонатов цианистые щелочные электролиты охлаждают до –5° С и деконтируют. Удаление карбонатов производят также осаждением их $\text{Ca}(\text{NO}_3)_2$, $\text{Ba}(\text{CN})_2$ и кислым $\text{Ca}_2(\text{PO}_4)_2$. Для облегчения фильтрации осаждение проводят медленно в горячем растворе с таким расчетом, чтобы осадок состоял из крупных легко фильтруемых кристаллов.

ЗОЛОЧЕНИЕ БЕЗ ВНЕШНЕГО ТОКА

В табл. 7 приведены наиболее часто применяемые составы растворов и режимы контактного и химического золочения.

6. Составы цианистых и железистосинеродистых электролитов (к/л) золочения в режимах осаждения

Компоненты электролита и режим	# электролита					
	1	2	3	4	5	6
$\text{KAu}(\text{CN})_2$ (в пересчете на золото)	4–10	4–10	8–12	4–6	1–2	—
$\text{AuCl}_3 \cdot \text{HCl} \cdot 4\text{H}_2\text{O}$ (в пересчете на металлы)	—	—	—	—	—	~4
KCN (свободный)	10–20	10–20	—	—	—	—
$\text{H}_3\text{C}_6\text{H}_5\text{O}_7 \cdot \text{H}_2\text{O}$	—	—	50–140	50–140	10–15	—
Трилон-Б	—	—	—	—	30–40	—
$\text{NH}_3\text{CH}_2\text{COOH}$	—	—	—	—	—	~200
$\text{K}_2\text{Fe}(\text{CN})_6 \cdot 3\text{H}_2\text{O}$	—	—	—	—	—	~65
K_2CO_3	—	—	—	—	—	~100
KCNS	—	—	—	—	—	—
pH	11–12	11–12	3,5–5,0	3,5–5,0	6,5–7,0	11–12
$t, ^\circ\text{C}$	18–30	45–55	18–50	18–50	18–22	32–62
$I, \text{А/дм}^2$	0,1–0,3	0,2–0,5	0,3–1,5	0,2–0,5	0,3–0,6	0,2–0,3
СП, мкм/мин	0,03–0,1	0,09–0,13	0,13–0,25	0,06–0,09	Продол- житель- ность 30 с	—

ПОКРЫТИЯ БЛАГОРОДНЫМИ МЕТАЛЛАМИ

7. Составы растворов (г/л) контактного и химического золочения и режимы осаждения

Компоненты раствора и режим	№ раствора		
	1	2	3
KAu(CN) ₂ (в пересчете на золото)	0,9—1,1	0,5—1,0	2—3
Na ₂ HPO ₄ ·12H ₂ O	75—85	9,5—10,5	
KCN (свободный)	0,15—0,25	5—7	
NaOH		0,9—1,1	
Na ₂ CO ₃		2,5—3,5	
NaH ₂ PO ₄ ·H ₂ O			8—10
NH ₄ Cl			70—75
Na ₃ C ₆ H ₅ O ₂ ·5,5H ₂ O			46—50
pH	7,4—8,0		~7,5
t, °C	92—95	2—3	80—85
t, мин	3—5		—

Растворы № 1 и 2 в табл. 7 применяют для осаждения покрытий толщиной около 0,1 мкм на основе из никеля (раствор № 1), меди и медных сплавов (раствор № 2). Покрытия получаются плотными, глянцевыми и обладают хорошим сцеплением с поверхностью деталей. Корректирование кислотности раствора № 1 производят раствором HCl.

Из раствора № 3 наносят покрытие химическим способом на медь и ее сплавы. Оно имеет меньшую пористость и соответственно более высокую защитную способность, чем у электролитически осажденных покрытий той же толщины. Нормальное протекание процесса происходит при плотности загрузки, не превышающей 1—2 дм²/л. Скорость осаждения покрытия составляет ~1 мкм/ч. Корректирование pH производят раствором NH₄Cl.

Для восстановления истертых участков покрытия применяют контактно-механическое золочение. Оно заключается в натирании поверхности детали волосинами щетками увлажненной смесью поваренной соли и порошка металлического золота в соотношении 4 : 1.

ПОКРЫТИЯ СПЛАВАМИ НА ОСНОВЕ ЗОЛОТА

Введение в состав золотых осадков Co, Ni, Cu, Ag, Sb, Fe, In и других металлов дает возможность получать сплавы с заранее заданными свойствами. Как правило, такие сплавы харак-

теризуются мелкокристаллической структурой, отсутствием пор при толщине выше 3 мкм, повышенным блеском, твердостью и износостойкостью.

Некоторые свойства основных сплавов на основе золота представлены в табл. 8.

Для осаждения сплавов наиболее часто используют электролиты, приведенные в табл. 9.

Электролит № 1 предназначен для получения малонапряженных защитно-декоративных покрытий из сплава Au с Co, обладающего твердостью и износостойкостью в 1,5—3 раза больше-

8. Свойства основных сплавов на основе золота

Легирующий металл	Содержание легирующего металла в покрытии, % с долей, %	Цвет покрытия	Микротвердость	№ электролита							
				1	2	3	4	5	6	7	8
Co	0,3—0,5	Желто-оранжевый	170—180								
Ni	0,1—0,25 3—5	Светло-желтый Серо-желтый	140—150 10—240								
S	1,0 2,0	Желтый	220—250								
Ag	10—25	*	140—160 200—210 150—170								
Cu	1	Желто-зеленый	210—220								
In	15 3—4	Желто-розовый То же Светло-желтый	250—300 210—240								

9. Составы электролитов (г/л) и режимы осаждения сплавов на основе золота

Компоненты электролита и режим	№ электролита								
	1	2	3	4	5	6	7	8	9
KH ₂ C ₆ H ₅ O ₂	50—70	30—40	50—140	—	—	—	—	—	—
H ₅ C ₆ H ₅ O ₇ ·H ₂ O	—	—	—	15—20	—	—	—	—	—
Трилон Б	1	—	40—60	—	—	—	—	—	—
Капля трополифосфат K ₃ P ₂ O ₁₀	—	—	—	50—55	—	—	—	—	—
CoSO ₄ ·7H ₂ O	—	4,5—9	45—70	—	—	—	—	—	—
N ₂ SO ₄ ·7H ₂ O	—	—	—	—	—	—	—	—	—
Ni(NH ₄) ₂ (SO ₄) ₂ ·6H ₂ O	—	—	—	—	—	—	—	—	—
KAu(CN) ₂ (в пересчете на золото)	—	8—16	(4—7 при обработке насыщенно)	4,5—5,5	8—10 (4—7 при обработке насыщенно)	8—10 (4—7 при обработке насыщенно)	8—10 (4—7 при обработке насыщенно)	3—4	—
Пиперазин гексагидраг	—	—	—	—	—	—	—	—	—
Sb ₂ O ₃	—	—	—	—	—	—	—	—	—
KCN (свободный)	—	—	—	—	—	—	—	—	—
K ₂ CO ₃	—	—	—	—	—	—	—	—	—
KAu(CN) ₃ (в пересчете на серебро)	—	—	—	—	—	—	—	—	—
K ₃ Cu(CN) ₃	—	—	—	—	—	—	—	—	—
pH	4,5—5,5	4,8—5,5	4,5—4,6	4,5—4,7	11—12	11—12	6,8—7,2	9—12	
t, °C	20—30	0—30	40—44	38—42	1,8—22	1,8—22	78—82	26—30	
I _A , A/Δm ²	0,5—0,7	0,5—0,7	0,6—0,8	0,7—0,8	0,6—0,8	0,6—0,8	0,4—0,6	0,1—0,25	0,25—0,30
СИ, мкм/мин	0,14—0,2	0,1—0,13	0,1—0,13	0,1—0,13	~0,50	~0,50	0,25—0,35	0,09—0,14	~0,17
Содержание золота в покрытии, %	99,3—99,7	99,3—99,7	95,0—97,5	95,0—97,5	72,5—77,5	87,5—92,5	90—95	80—90	98—99

шими, чем у чисто золотых покрытий.

Лимоннокислые электролиты № 2—4 позволяют получать блестящие, с высокой износостойкостью сплавы золота с никелем.

В связи с применением растворимых анодов электролиты корректируют периодическим или непрерывным добавлением 10—15 %-ного раствора $\text{KAg}(\text{CN})$.

Электролиты № 5—7 применяют для осаждения сплавов золота с содержанием серебра соответственно (мас. доли, %) 2,5—27,5; 7,5—12,5 и 5—10. Износостойкость таких покрытий составляет соответственно 450, 400 и 300 " по сравнению с покрытиями золотом, а удельное электрическое сопротивление 8,9; 8,0 и 5,0 $\text{мкОм}\cdot\text{см}$. Электролит № 5 применяют в процессе двухслойного золочения корпусов часов, а электролиты № 6 и 7 — для покрытия слаботочных kontaktов.

Наибольшее влияние на состав осадков, получаемых из электролитов № 5—7, оказывает соотношение золота и серебра. Введение в электролит соли никеля или тиосульфата увеличивает блеск осадков.

Золотосеребряные сплавы наносят только на подслой серебра, золота или сплавов золота.

Приготовление электролитов № 5—7 осуществляются из растворов комплексных солей золота и серебра.

Из электролита № 8 осаждаются золотомедные сплавы значительной толщиной (20 мкм и более), обладающие наибольшей твердостью среди всех двойных сплавов на основе золота. К тому же цвет получаемых покрытий при массовой доле золота в сплаве, равной 85 %, близок к цвету металлургического золота 583-й пробы. В связи с этим электролит очень широко применялся при защитно-декоративной отделке корпусов часов и ювелирных изделий. В настоящее время он в значительной мере вытеснен более стабильными и удобными в эксплуатации электролитами, обеспечивающими получение высокодекоративных сплавов Au—Co и Au—Ni.

Содержание Au в покрытии увеличивается при повышении температуры и концентрации золота в электролите, введении перемешивания. Повышение

плотности тока повышает содержание меди в сплаве.

Электролит готовят из растворов комплексных цианистых солей Au и Cu. Уменьшение концентрации золота и Cu во время эксплуатации электролита компенсируют введением корректировочного раствора. Значение pH регулируют 15 %-ным раствором H_3PO_4 .

В электроаноде № 9 происходит осаждение сплава Au—Sb, применяемого главным образом для покрытия электрических скользящих контактов и транзисторов.

ТЕХНОЛОГИЧЕСКИЕ ОСОБЕННОСТИ ПРОЦЕССА ЗОЛОЧЕНИЯ

Золотые покрытия наносят непосредственно на Cu и медные сплавы, ковар, Ag, медные серебряные и никелевые покрытия. Наиболее часто золочение производят по подслою серебра.

Схема технологического процесса нанесения покрытий золотом и его сплавами в основном аналогична схеме серебрения (см. рис. 2) и часто включает ее в себя.

При длительной (3—6 мес.) эксплуатации лимоннокислых электролитов в них накапливаются катионы калия до 20—25 г/л, а также железо и продукты разложения компонентов (в основном лимонной кислоты). В результате этого электролиты густеют, снижается выход металла по току, увеличивается pH, ухудшается качество осадков. Для устранения этого явления рекомендуется удалять избыток катионов с помощью применения катионитовых мембран методом электродиализа. В противном случае электролиты заменяют свежими, а из отработанных регенерируют золото.

Некачественные осадки удаляют анодным растворением золота в растворе, содержащем 50 г/л цианистого калия, при температуре 15—35 °C и плотности тока 1—1,5 A/dm^2 , в серной кислоте ($\rho = 1,82 \pm 1,84 \text{ г}/\text{cm}^3$) при $i_a = 3 \div 7 \text{ A}/\text{dm}^2$ или в растворе HCl (50 г/л) при $i_a = 0,1 \div 1 \text{ A}/\text{dm}^2$. В качестве катодов применяют в первом растворе стальные пластины, а во втором — листовой свинец. Наличие воды в серной кислоте недопустимо, так как

разбавленная H_2SO_4 растворяет основной металл. Растворение золота происходит при напряжении 4—5 В. Признаком полного удаления его является повышение напряжения на ванне до 11—12 В.

Наиболее прогрессивным методом регенерации отработанных растворов золочения и промывочных вод ванн улавливания является метод экстракции золота органическими растворами.

В качестве экстрагента используют раствор следующего состава (мл/л):

триалкиламин ($\rho = 1,62 \text{ г}/\text{cm}^3$)	94
декиловый спирт	20
перхлорэтилен, л

Реэкстракцию производят 3 %-ным раствором KOH. Перед регенерацией золотодержащие растворы тщательно фильтруют, в после регенерации проверяют на полноту извлечения золота качественной реакцией.

ОБЩИЕ СВЕДЕНИЯ О ПРОЦЕССЕ РОДИРОВАНИЯ

Родий химически стоек во всех кислотах, щелочах, царской водке. На него не действуют при нормальной температуре галогены, сероводород и другие сернистые соединения. Только в высокораздробленном состоянии — черный может быть растворен в царской водке и горячем концентрированным растворе H_2SO_4 , в расплавах кислого сернокислого калия, Ba_2O , хлористого натрия в присутствии газообразного хлора.

По коэффициенту отражения света родий уступает Ag, но этот коэффициент постоянен во времени и не изменяется даже при нагревании до 500 °C.

Родиевые покрытия отличаются большой твердостью, хорошо сопротивляются механическому изнашиванию и стабильно сохраняют электрические параметры (довольно высокую электропроводимость, сравнительно низкое переходное сопротивление). Они беспористы при толщинах 0,6—2,0 мкм.

Существенным недостатком их являются большие внутренние напряжения, приводящие в толстых покрытиях к появлению микропов и микротрещин.

Для родирования применяют главным образом сернокислые электролиты, которые стабильны в работе, легко регенерируются и обеспечивают полу-

ченные покрытий до 50 мкм. Фосфорнокислые электролиты, обладающие меньшей агрессивностью, позволяют получать покрытия с большим коэффициентом отражения, однако толщиной, не превышающей 1 мкм.

ЭЛЕКТРОЛИТЫ РОДИРОВАНИЯ

Получаемые осадки родия могут быть блестящими только при насыщении их тонким слоем на полированную блестящую основу. По мере увеличения толщины блеск их постепенно уменьшается. На матовой основе получаются только матовые осадки. С повышением плотности тока и концентрации родия в электролите матовость покрытий увеличивается.

Повышение температуры и перемешивание электролитов способствуют получению блестящих осадков в область более высоких плотностей тока. Аналогичное влияние оказывает и повышенное содержание H_2SO_4 в электролите.

Родиевые осадки, полученные из электролитов, содержащих селеновую кислоту, включают в свой состав до 10 % селена, что приводит к повышению переходного сопротивления и снижению износостойкости их.

Осаждение родия из всех электролитов сопровождается значительной катодной поляризацией. С уменьшением концентрации Rh в электролите она увеличивается (рис. 7). Изменение содержания серной кислоты оказывает и ее меньшее влияние, а перемешивание электролита — более заметное.

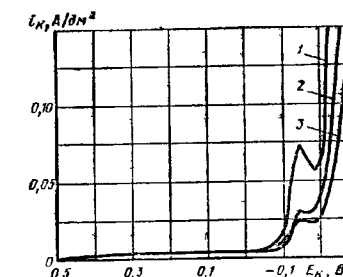


Рис. 7. Катодные поляризационные кривые, полученные при температуре 20 °C в электролите, содержащем 0,66 н. H_2SO_4 и Rh:

1 — 0,26 н.; 2 — 0,131 н.; 3 — 0,067 н.

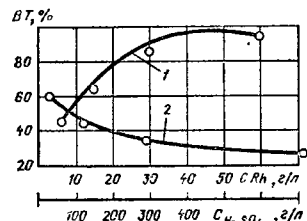


Рис. 8. Влияние концентрации Rh (1) и H_2SO_4 (2) на выход металла по току

Выход металла по току в наибольшей мере зависит от содержания родия в электролите. Влияние серной кислоты оказывается значительно меньше (рис. 8).

Повышение температуры электролита и его перемешивание приводят к возрастанию выхода родия по току, а повышение плотности тока — к снижению его (рис. 9).

Электролиты родирования очень чувствительны к примесям посторонних металлов и анионов. Особенно неблагоприятное влияние на качество осадков оказывают анионы хлора, цианиды и органические соединения.

Для практического использования рекомендуются следующие составы электролитов и режимы родирования (табл. 10).

Электролит № 1 применяют для осаждения покрытий толщиной ≤ 3 мкм, электролиты № 2, 3 — для получения осадков > 3 мкм. Во избежание появления пятнистого осаждения покрытий из указанных электролитов рекомендуется производить при движении катодной штанги.

Приготовление электролита № 1 при-

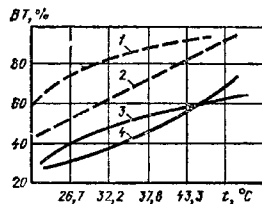


Рис. 9. Влияние температуры и перемешивания (1, 2) на выход Rh по току в электролите, содержащем (г/л) 50 $Rh(H_2O_6)_2(SO_4)_3$ (в пересчете на металл), 52,8 мг/л H_2SO_4 , 4,5 $(NH_4)_2SCN$, при плотности тока (А/дм²): 1—0,6; 2, 3—1,25; 4—2,5

наличии готовой сернокислой соли родия сводится к растворению ее в обессоленной воде и добавлению необходимого количества H_2SO_4 . Для устойчивости родиевого комплекса в растворе при перемешивании добавляют 10 мл/л 30 %-ной H_2O_2 и кипятят 10—15 мин.

Для приготовления электролита из $RhCl_3$, его растворяют в горячей (70—80 °C) обессоленной воде, подкисленной H_2SO_4 , и добавляют к нему небольшими порциями при перемешивании горячий 40 %-ный раствор KOH из расчета 5,7 г KOH на 1 г $RhCl_3 \times 4H_2O$. Проверяют полноту осаждения родаия путем добавления к пробе раствора 2—3 капель фенолфталеина. Появление розового окрашивания свидетельствует о полном его осаждении в виде $Rh(OH)_3$. Осадку дают отстояться, многократно (10—12 раз) промывают горячей водой (70—80 °C) методом дегазации до отсутствия ионов хлора (проверяют качественной реакцией с азотнокислым серебром). Затем $Rh(OH)_3$ растворяют в расчетном коли-

10. Составы электролитов (г/л) родирования и режимы осаждения

Компоненты электролита и режим	# электролита		
	1	2	3
[$Rh(H_2O_6)_2(SO_4)_3$ (в пересчете на металл)]	4—8 48—52 —	20—35 120—160 2—4	20—35 120—160 2—4
t , °C I_R , А/дм ² СП, мкм/мин	15—30 0,4—0,8 0,05—0,1	15—30 0,3—0,5 0,04—0,07	40—60 1—2 0,2—0,4

Технологические особенности процесса родирования

11. Зависимость скорости разложения перекиси водорода от плотности тока

Плотность тока, А/дм ²	Скорость растворения Rh, г/(см ² · ч)	Скорость разложения H_2O_2 , г/(см ² · ч)	Концентрация H_2O_2 в электролите, г/л
20	0,002—0,005	~0,002	0,8—1,5
40	0,006—0,007	0,003—0,004	1,5—2,0
60	0,008—0,009	0,005—0,100	2,0—2,5

Из электролитов, приготовленных электрохимическим растворением родаия, получают малонапряженные покрытия толщиной до 20 мкм и более.

ТЕХНОЛОГИЧЕСКИЕ ОСОБЕННОСТИ ПРОЦЕССА РОДИРОВАНИЯ

Электролиты родирования эксплуатируются с нерастворимыми анодами, в качестве которых используют Rh, Pt, платинированный титан, спектрально чистый графит ($S_a : S_k = 1 : 5$).

В процессе эксплуатации электролитов вследствие большой агрессивности их часто наблюдается подтравливание основного металла (особенно при повышенной температуре), в результате которого в электролите накапливаются посторонние ионы металлов (Zn, Cu, Fe, Sn, Ag), отрицательно влияющие на качество покрытий. Вредное действие оказывают и следы органических примесей, вносимые поверхностями деталей (растровители, нестабильные полировальные пасты и т. п.) или подвесными приспособлениями, защищенных пластмассами, лаками.

Для удаления органических примесей в электролит вводят активный уголь марки БАУ или КАД, тщательно перемешивают, отставают не менее 12 ч и фильтруют. В отфильтрованный электролит вводят 1—2 г/л 30 %-ной H_2O_2 и кипятят до полного ее разложения.

Если электролит загрязнен ионами хлора, то для удаления их осаждают в виде гидрата окиси 40 %-ного раствора KOH. Выпавший осадок тщательно отмывают и используют для приготовления свежего электролита.

Для удаления примесей посторонних металлов в электролит с концентрацией родаия 3—5 г/л при pH 2 (корректируют сухой гидроокисью калия) приливают 2 %-ный свежеприготовленный раствор динатрийкарбамата патрия из расчета 25 мл раствора на 250 мл электролита. Раствор перемешивают добывают 10—15 мл CCl_4 , взаимодействуют в течение 3—5 мин и переносят со стекла в дополнительную во втулку. Затем его отстаивают и экстракт карбамата неблагородных металлов отделяют от родиевого электролита. Операцию повторяют несколько раз до полной очистки.

ки. После этого электролит корректируют H_2SO_4 .

Экстракт карбаматов неблагородных металлов, содержащий 2—5 % общего количества родия, взвалтывают с 2—3 %-ным раствором H_2SO_4 . При этом остатки родия переходят в водный раствор практически полностью при повторении операции 4—5 раз.

С никелированной латуни родий снимают путем анондного растворения в H_2SO_4 ($\rho = 1,62 \text{ г/см}^3$) при 30—40 °C и напряжении 6—7 В. Обработка может продолжаться до 1 ч. Отделенный Rh, который плавает в электролите в виде металлических блесков, отфильтровывают, промывают и используют для приготовления электролитов.

ОБЩИЕ СВЕДЕНИЯ О ПРОЦЕССЕ ПАЛЛАДИРОВАНИЯ

Палладиевые покрытия, полученные способом катодного восстановления, характеризуются высокой твердостью, уступающей лишь твердости хромовых и родиневых покрытий, и износостойкостью, превышающей износостойкость родиневых и в десятки раз серебряных покрытий. Палладий стоек к воздействию влажной атмосферы и многих агрессивных сред, не тускнеет на воздухе при температуре до 300 °C, обладает высокими каталитической активностью и способностью к насыщению водородом (до 900 объемов на 1 объем металла), хорошо растворим в царской водке, а при нагревании — в HNO_3 и слабо — в концентрированной H_2SO_4 , сильно корродирует в HCl и H_3PO_4 , взаимодействует с влажными Cl_2 и Br_2 , может быть переведен в раствор электрохимическим растворением в HCl . Из металлов платиновой группы он менее дефицитен, и стоимость его ниже, чем других металлов.

Палладиевые покрытия получили довольно широкое применение для защиты от коррозии, повышения износостойкости и сохранения электрических характеристик преимущественно труящихся контактных деталей в электротехнике, радиотехнике, в производстве средств связи.

Осаждение палладия осуществляют электрохимическим способом из различных электролитов, в которых получаемый металл находится в виде ком-

плексных соединений. Разработаны также процессы электроосаждения сплавов Pd—Ni и Pd—Co и химическое палладирование никеля, основанное на восстановлении металла гидразином. Но практическое значение их весьма ограничено.

Палладиевые покрытия наносят на детали из Cu, Ag, их сплавов, а также на серебряные и никелевые покрытия.

Основные затруднения при нанесении палладиевых покрытий связаны с высокими внутренними напряжениями в осадках, приводящими к появлениею трещин.

ЭЛЕКТРОЛИТЫ ПАЛЛАДИРОВАНИЯ

Наибольшее промышленное применение для получения палладиевых покрытий получили аминохлористые, фосфорникислые и сульфаминовые электролиты.

Аминохлористые электролиты. По сравнению с другими они обеспечивают получение наиболее эластичных покрытий толщиной до 15 мкм (до 5 мкм — полублестящих, свыше 5 мкм — матовых).

Внешний вид палладиевых покрытий и допустимые плотности тока в значительной мере зависят от содержания основных компонентов (рис. 10).

Внутренние напряжения осадков из этих электролитов возрастают с увеличением плотности тока, концентрации Pd в растворе и продолжительности электролиза и находятся в пределах 200—400 МПа, что меньше, чем у осадков, получаемых из фосфорникислых электролитов.

Выход Pd по току в аминохлористых электролитах уменьшается с увеличением плотности тока и тем больше, чем меньше концентрация Pd в электролите (рис. 11). В концентрированных по палладию электролитах он приближается к 100 %.

Рассеивающая способность аминохлористых электролитов значительно ниже, чем фосфорникислых, но превышает рассеивающую способность электролитов никелирования.

Влияние содержания основных компонентов электролитов на катодную поляризацию представлена на рис. 12.

В процессе электролиза на аноде происходят выделения Cl_2 и O_2 , что вызывает непрерывное понижение pH раствора, и в результате этого может образоваться нерастворимый диаминогидрохлорид палладия, покрывающий анод пассивной желтой пленкой. Добавление аммиака переводит его в хорошо растворимый тетрааминохлорид палладия.

Чтобы стабилизировать работу электролита, иногда электролиз проводят с разделением катодного и анодного пространства керамической диафрагмой, а в качестве аноната применяют раствор следующего состава (г/л):

$(NH_4)_2CO_3$	10
$(NH_4)_2SO_4$	20
NH_4OH (25 %-ный)	45 мл/л

Фосфорникислые электролиты. Они обладают большой стабильностью и меньшей чувствительностью к примесям, чем аминохлористые. Но они малоизвестны, применены для нанесения тонких (до 2 мкм) покрытий, требуют нагрева.

Выход палладия по току в фосфорникислых электролитах с малой концентрацией палладия резко уменьшается при увеличении плотности тока и неизначительно изменяется в концентрированных электролитах (5—10 г/л Pd).

Сульфаминовые электролиты. Они позволяют получать плотные полублестящие осадки палладия толщиной до 50 мкм и более, не содержащие трещин и прочно скрепленные с основой. Они менее чувствительны к примесям, чем аминохлористые.

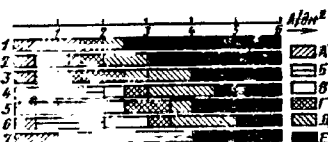


Рис. 10. Зависимость внешнего вида осадка палладия толщиной 5 мкм от плотности тока и состава аминохлористых электролитов (г/л):

- 1 — 7,5Pd, 10NH₄Cl;
- 2 — 8Pd, 8NH₄Cl;
- 3 — 10Pd, 10NH₄Cl;
- 4 — 20Pd, 20NH₄Cl;
- 5 — 30Pd, 30NH₄Cl;
- 6 — 30Pd, 20NH₄Cl;
- 7 — 60Pd, 20NH₄Cl;
- 8 — слегка осажденные;
- 9 — блестящие;
- 10 — полублестящие;
- 11 — матовые шероховатые;
- 12 — темно-серые с наростами;
- 13 — темные.

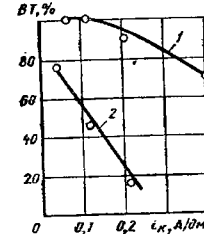


Рис. 11. Зависимость выхода палладия по току в аминохлористом электролите от плотности тока при концентрации палладия (г/л):

1 — 10; 2 — 20

Катодный выход металла по току в сульфаминовом электролите составляет ~50 % и незначительно возрастает с повышением концентрации палладия в электролите. С увеличением содержания азотистокислого натрия от 10 до 200 г/л катодный выход по току уменьшается с 54 до 34 %. Содержание сульфаминовокислого аммония почти не влияет на выход палладия по току.

При увеличении катодной плотности тока выход по току снижается, и об разуется пятнистая.

Составы электролитов и параметры палладирования приведены в табл. 12.

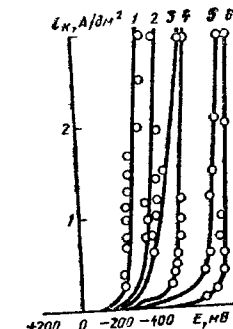


Рис. 12. Влияние содержания компонентов электролита и плотности тока на катодную поляризацию в аминохлористом электролите, содержащем 10Pd (г/л):

- 1 — 10Pd, 10NH₄Cl;
- 2 — 40Pd, 40NH₄Cl;
- 3 — 10Pd, 40NH₄Cl;
- 4 — 40Pd, 10NH₄Cl;
- 5 — 10Pd, 10NH₄Cl.

12. Составы электролитов палладирования (г/л) и режимы осаждения

Компоненты электролита и режим	№ электролита			
	1	2	3	4
PdCl ₂ (в пересчете на металл)	20—30	4—6	3—10	10—14
NH ₄ Cl	15—30	15—18	—	40—50
Na ₂ HPO ₄ ·12H ₂ O	—	—	100—130	—
(NH ₄) ₂ HPO ₄	—	—	15—25	—
Кислота бензойная C ₆ H ₅ COOH	—	—	2,5—3,0	—
NaNO ₃	—	—	—	50—80
NH ₄ NH ₂ SO ₃	—	—	—	80—100
Ангидрид малениновый C ₆ H ₈ O ₃	0,12—0,18	—	—	—
Хинолин C ₉ H ₇ N	0,08—0,15	—	—	—
pH	8,5—9,5	8,2—9,5	6,0—7,0	8,0—9,0
t, °C	15—30	18—25	50—60	28—32
I _{st} , А/дм ²	0,5—1,5	0,2—0,3	0,1—0,2	1,0—1,5
СП, мкм/мин	0,13—0,40	0,05—0,07	0,02—0,03	0,2—0,3

Электролит № 1 применяют для на-
несения палладиевых покрытий на де-
тали простой и средней конфигурации
при обработке их на подвесках и на-
сыпью; электролит № 2 — для полу-
чения покрытий толщиной более 5 мкм
на деталях, обрабатываемых на под-
весках. В электролите № 3 наносят
блестящие покрытия толщиной 2 мкм
на детали сложной конфигурации при
обработке их на подвесках. Электро-
лит № 4 используют для получения
покрытий толщиной 5—20 мкм при
палладировании на подвесках.

Электролиз во всех электролитах ведут с применением нерастворимых анодов из пластицированного Ti, графита или Pd. Соотношение анодной и катодной поверхностей от 2 : 1 до 3 : 1. Анодная плотность тока в электролите № 1, 2 составляет 0,05—15 А/дм². В электролите № 1 допускается увеличивать содержание NH_4Cl до 60 г/л и исключать из его состава малеиновый ангидрид и хинолин.

Для приготовления аминохлористых электролитов № 1, 2 PdCl_2 постепенно при нагревании растворяются в 25 %-ном аммиаке до исчезновения образующегося осадка оранжевого цвета и получения прозрачного желтого раствора тетрааммиохлорида палладия (для растворения 1 г PdCl_2 требуется ~ 6 мл NH_4OH). Полученный раствор фильтруют, добавляют необходимое количество воды и NH_4Cl , после чего доводят раствором NH_4OH рН до требуемого значения и вводят (и электролит

№ 1) малеиновый ангидрид, растворенный в небольшом количестве электролита, и хинолин.

Для приготовления фосфорнокислого электролита № 3 готовят раствор тетрааминогхлорида палладия, как указано выше. Раствор фильтруют и добавляют к нему концентрированную HCl из расчета 5 мл на 1 г Pd . Раствор перемешивают до полного выпадения палладия в осадок в виде диаминохлорида оранжевого цвета. После проверки на полноту осаждения палладия осадок отфильтровывают, 4—5 раз промывают 2%-%ным раствором HCl и 1—2 раза холодной водой. Затем расчетные количества $\text{Na}_2\text{HPO}_4 \cdot 12\text{H}_2\text{O}$ и $(\text{NH}_4)_2\text{HPO}_4$ растворяют в половинном объеме воды, кипятят 15—20 мин, фильтруют и в полученный раствор вводят небольшими дозами при перемешивании диаминохлорид палладия. После полного растворения последнего добавляют бензойную кислоту, предварительно растворенную в небольшом количестве электролита, и доводят объем до заданного.

Приготовление сульфаминового электролита палладирования осуществляют следующим образом. Расчетные количества NH_4Cl и NaNO_2 растворяют в воде (в 1/2 объема электролита). К ним добавляют отдельно приготовленный раствор тетрааминохлорида палладия и раствором аммиака доводят значение pH до 8—9. К полученному раствору добавляют расчетное количество сульфаминовой кислоты, пред-

варительно растворенной в минимальном объеме воды, доводят объем электролита до требуемого и корректируют pH. Электролит выдерживают при температуре 30–32 °С в течение 6 ч и прорабатывают на инвертных электродах при катодной плотности тока 1–2 А/дм² в течение 2–4 ч.

ТЕХНОЛОГИЧЕСКИЕ ОСОБЕННОСТИ ПРОЦЕССА ПАЛЛАДИРОВАНИЯ

Загрузку деталей в ванну палладирования часто производят под током, в 2-3 раза превышающим расчетный. Спустя 0,5-1 мин его понижают до нужного значения.

При накоплении в электролите примесей регенерацию Pd производят методом восстановления его гидразиногидратом. Для этого к нагретому до 40 °C электролиту осторожно при перемешивании приливают гидразиногидрат (из расчета 30–40 мл на 1 л раствора) до полного восстановления палладия.

Осадку дают отстояться, проверяют полноту осаждения палладия и тщательно отмывают его гидразиногидратом горячей обессоленной водой. Полученный металлический Рд высушивают в сушильном шкафу, переносят в фарфоровую чашку, прокаливают при температуре 1000°C в течение 1—2 ч и используют для приготовления электролита путем растворения его в царской водке или в концентрированной HCl с добавлением $16\text{--}20\text{ мл } \text{H}_2\text{O}_2$.

Для улучшения сцепления Pd с основой производят термообработку покрытий на воздухе при температуре 200—230 °С в течение 2 ч.

Дефектные палладиевые покрытия на деталях из стали, меди, латуни или серебра удаляют анодным растворением их в растворе состава (г/л):

NaCl 50
 NaNO₃ 20
 HCl ($\rho = 1,19 \text{ г/дм}^3$) До
 Р еж и м р а б о т ы: $t = 50 \div 55^\circ\text{C}$,
 $i_a = 0,4 \div 0,6 \text{ А/дм}^2$.

Глава 13.

ПОКРЫТИЯ In, Bi, Sb, As, Mn, Re, Se И СПЛАВАМИ W И Mo

ОСАЖДЕНИЕ In И СПЛАВОВ НА ЕГО ОСНОВЕ

Индий. Этот металл обладает ценностными физико-механическими свойствами, что обусловило разнообразное его применение во многих областях науки и техники. Электролитические покрытия индия благодаря хорошей пластичности легко поддаются различным способам обработки.

В настоящее время индий наиболее широко применяется в производстве полупроводников и в авиационной промышленности.

Индий — мягкий пластичный металл с плотностью 7,31 г/см³, температурой плавления 156 °C. Он растворим в серной, соляной, азотной кислотах. Металлический индий поставляется по ГОСТ 10297—75*.

Наряду с индивидуальными покрытиями применяются покрытия сплавами, содержащими индий, которые обладают рядом ценных свойств.

Составы сульфатных электролитов для осаждения индия даны в табл. 1.

1. Составы электролитов для осаждения индия (г/л) и режимы осаждения

Компоненты электролита и режим	# электролита		
	1	2	3
In ₂ (SO ₄) ₃	50	50—70	20
Na ₂ SO ₄	10	10—15	10
Al ₂ (SO ₄) ₃	12	—	—
Желатина	0,0075		
<i>t_K</i> , А/дм ²	3	1—2	1—2
<i>t_K</i> , °C	18—20	18—20	18—20
pH	2—2,7	2—2,7	2—2,7
Аноды	Индий Свинец	Индий Графит	Индий Коррозионно-стойкая сталь

Из электролита № 1 индий осаждается с выходом по току 60—80 %. Сернокислый алюминий поддерживает pH электролита. Сульфат натрия повышает электропроводимость электролита и рассеивающую способность. Добавка желатины улучшает качество покрытий, но снижает выход металла по току. Для электролита № 2 выход по току составляет 60—80 %. В электролите № 3 вводится H₂SO₄ до pH 2—2,7.

Борфтористоводородные электролиты имеют следующий состав (г/л):

In(BF ₄) ₃	20—230
H ₂ BO ₃	20—30
Na ₂ BF ₄	40—50
столярный клей	1—2
Режим осаждения: <i>i_K</i> = 0,5 + 2 А/дм ² ; <i>t</i> = 18—20 °C; pH 1—2; аноды — металлический индий; можно комбинировать растворимые и нерастворимые аноды; необходимо строго поддерживать pH электролита.	

Отличительная особенность борфтористоводородных электролитов — высокая чувствительность к примесям. Рекомендуется в процессе эксплуатации подвергать электролиты очистке с помощью активированного угля.

Сульфаматные электролиты применяют часто для получения индивидуальных покрытий. Состав таких электролитов следующий (г/л):

In(SO ₃ NH ₂) ₃	105
NaSO ₃ NH ₂	150
H ₂ SO ₃ NH ₂	26
NaCl	45
C ₆ H ₅ O ₃	8
триэтаноламин	2,3
Режим осаждения: <i>i_K</i> = 10 А/дм ² ; <i>t</i> = 18—20 °C; pH 2,5.	

Электролит обладает высокой рассеивающей способностью, стабилен в работе, нетоксичен. Резко снижается выход металла по току в процессе работы. Электролит следует обрабатывать активированным углем.

Осаждение In и сплавов на его основе

235

Хлоридные электролиты имают следующий состав (г/л):

InCl ₃	83
NaCl	8
(H ₂ N) ₂ CS	0,4—0,6
желатина	1—2,0
Режим осаждения: <i>i_B</i> = 1 А/дм ² ; <i>t</i> = 18—20 °C.	

Можно применять более концентрированный электролит следующего состава (г/л):

InCl ₃	230
NH ₄ Cl	160
столярный клей	4
Режим осаждения: <i>i_B</i> = 16 А/дм ² ; <i>t</i> = 18—20 °C; pH 2—2,7.	

Цианистые электролиты также применяют для электросаждения индия. Их составы приведены в табл. 2.

Аммиачнотартратный электролит имеет следующий состав (г/л):

In ₂ (SO ₄) ₃ (в пересчете на металлы)	20
цианистый натрий	250
(NH ₄) ₂ SO ₄	80
NaOH (2 %-ный раствор)	9,0—10,5
до 20 °C; pH 1—2; аноды — металлический индий; можно комбинировать растворимые и нерастворимые аноды; необходимо строго поддерживать pH электролита.	

Их рассеивающая способность выше, чем у сернокислых электролитов. Покрытия имеют хорошее скрепление с медью и сталью.

Полиэтиленполиамидовый электролит имеет состав (г/л):

In ₂ (SO ₄) ₃ (в пересчете на металлы)	10—25
полиэтиленполиамид	80—120

2. Составы цианистых электролитов (г/л) и режимы осаждения

Компоненты электролита и режим	# электролита					
	1	2	3	4	5	6
In	16	33	38	33	33	30
KCN	133	60	90	160	160	160
KOH	33	30	20	30	30	30
Клей	16	20	20	15	30	20
pH	12	13,1	10,0	10,9	10,9	10,9
<i>i_K</i> , А/дм ²	1,5—3,0	1,5—3,0	1,5—3,0	1,5—3,0	1,5—3,0	1,5—3,0
<i>t_K</i> , °C	18—20	18—20	18—20	18—20	18—20	18—20
BT, %	45	36	94	94	87	74
Аноды	Сталь	Сталь	Сталь	Сталь	Сталь	Сталь

(NH₄)₂SO₄ Режим осаждения: *i_K* = 0,5 + 5 А/дм²; *t* = 18—20 °C; pH 1—1,5; ваноды — латиновые; BT = 40 ± 5 %.

Фирофосфатный электролит имеет следующий состав (г/л):

InCl ₃ (в пересчете на металлы)	20—30
K ₂ PO ₄	100—100
ванильная кислота	20—50
NH ₄ Cl	50—50
Режим осаждения: <i>i_K</i> = 0,5 + 1,0 А/дм ² ; <i>t</i> = 20—30 °C; pH 11—11,5; ваноды — металлический индий.	

Трилонатный электролит имеет следующий состав (г/л):

In ₂ (SO ₄) ₃ (в пересчете на металлы)	15—20
трилон B	80—100
(NH ₄) ₂ SO ₄	80—100
Режим осаждения: <i>i_K</i> = 0,5 + 1,0 А/дм ² ; <i>t</i> = 20—20 °C; pH 8—10; ваноды — латиновые; BT = 40 ± 5 %.	

Покрытия получают светлыми с хорошим скреплением с медью и сталью.

Сплавы на основе индия. Широкое применение получили феррититические сплавы индия с цементным рядом металлов — свинцом, хромом, цинком, никелем, серебром, сурьмой, висмутом, галлием, таллием и медью.

Сплав In—Ag получается из электролита следующего состава (г/л):

Ag, металлическое	5—10
In, металлический	20
KCN	50
глюкоза	40
Режим осаждения: <i>i_B</i> = 0,2 + 4,0 А/дм ² ; <i>t</i> = 18—20 °C	

Перемешивание электролита резко повышает содержание в сплаве серебра. Сплав содержит до 10 % индия.

3. Составы сульфаматных электролитов (г/л) и режимы осаждения

Компоненты раствора и режим	Сплавы			
	In-Zn (до 76 % Zn)	In-Cd (30—50 % Cd)	In-Tl (12,5— 22,4 % Te)	In-Ni (40—60 % Ni)
HSO ₃ N f ₂	50	50	50	50
In металлический	10	20	15	0,8—7
ZnSO ₄ (в пересчете на металл)	10	—	—	—
CdO (в пересчете на металл)	—	1—2	—	—
Tl ₂ (SO ₄) ₃	—	—	0,75—1,5	—
NiSO ₄	—	—	—	100
Столярный клей или желатина	—	2—3	—	—
<i>t_{K'}</i> , А дм ²	1—2	0,5—2	5	1—10
<i>t</i> , °C	40—50	30—40	50—80	30—60

Осаждение индия с серебром на 40 % повышает твердость серебряных покрытий.

Сплавы In с Zn, Cd, Tl и Ni получают из электролитов, составы которых приведены в табл. 3.

Сплав In-Zn (2—5 % In) получают из электролита следующего состава (г/л):

In ₂ (SO ₄) ₃ (в пересчете на металл)	0,5—2
ZnSO ₄ (в пересчете на металл)	20—30
(NH ₄) ₂ SO ₄	25—35
Na ₂ SO ₄	50—70
ванилокислый натрий	20—80
NH ₄ OH (25 %-ный)	0,25 л
Режим осаждения: <i>t_{K'}</i> = 0,5 ± 1,0 А/дм ² ; pH 9,0—10,5; <i>t</i> = 18—25 °C; BT = 80 ± 90 %.	

Сплав In-Ni, содержащий 18—35 % никеля, получают из электролита следующего состава (г/л):

In ₂ (SO ₄) ₃ (в пересчете на металл)	4
NiSO ₄	40
ванилокислый натрий	60
Na ₂ SO ₄	50
(NH ₄) ₂ SO ₄	20
NaCl	40
NH ₄ OH (25 %-ный)	0,2 л
Режим осаждения: <i>t_{K'}</i> = 0,05 ± 0,2 А/дм ² ; <i>t</i> = 18—25 °C.	

Сплав In-Pb, содержащий 5—50 % индия, получают из электролита следующего состава (г/л):

ванилокислый натрий	25—300
InCl ₃	13,5
PbCl ₂	8—33
N Cl	8—100
пентон	7—10
желатина	2—3
Режим осаждения: <i>t_{K'}</i> = 0,1 А/дм ² ; <i>t</i> = 70 °C; pH 10,1—10,3.	

Увеличение содержания в сплаве индия может быть достигнуто повышением

см концентрации свинца в растворе, увеличением плотности тока и снижением температуры раствора.

Для устранения пассивации анодов в электролите вводится большое количество хлористого натрия.

Сплав In-Cd, содержащий 4—75 % кадмия, получают из электролита следующего состава (г/л):

In ₂ (SO ₄) ₃ (в пересчете на металл)	5—45
CdSO ₄	8—75
полиэтиленполиамин	140—180
(NH ₄) ₂ SO ₄	100—300
Режим осаждения: <i>t_{K'}</i> = 0,5 ± 1,0 А/дм ² ; pH 9,3—9,7	

Сплав In-Sn, содержащий 3—16 % олова, получают из электролита следующего состава (г/л):

In(BF ₄) ₃ (в пересчете на металл)	43—45
SnCl ₄ (в пересчете на металл)	4,5
HBF ₄	10—15
H ₃ BO ₃	10—15
NH ₄ F	5,5—6,0
NH ₄ BF ₄	20
Режим осаждения: <i>t_{K'}</i> = 0,25 ± 0,5 А/дм ² ; pH 1,0—1,1; <i>t</i> = 18—25 °C.	

ОСАЖДЕНИЕ BI, Sb, As, Mn, Re, Se

Висмут — блестящий, розоватобелый хрупкий металл. Плотность 9,84 г/см³, температура плавления 271,5 °C. На воздухе при комнатной температуре не окисляется.

На висмут не действует HCl и разбавленная H₂SO₄. Висмут растворяется в HNO₃ и в горячей концентрированной H₂SO₄.

Осаждение Bi, Sb, As, Mn, Re, Se

4. Составы электролитов (г/л) и режимы осаждения марганца

Компоненты электролита и режим	№ электролита	
	1	2
MnSO ₄	100	200
(NH ₄) ₂ SO ₄	75	150
NH ₄ CNS	60	0,1
(NH ₄) ₂ SeO ₄	—	—
pH	4—5,5	2,5
<i>t</i> , °C	25	25
<i>i_{K'}</i> , А/дм ²	До 28	4—5
BT, %	—	84—86

Для осаждения висмута рекомендуются электролиты следующего состава (г/л):

Bi(NO ₃) ₃	16—20
лимоннокислый аммоний	20—25
трилон Б	150—170
клей столлярный	2,5—3
Режим осаждения: <i>t_{K'}</i> = 0,5 ± 1,0 А/дм ² ; <i>t</i> = 18—25 °C; pH 9—9,5; BT = 25 %; аноды — уголь.	

Кроме электролита, приведенного выше, применяется для осаждения висмута и электролит на основе ЭДТА следующего состава (г/л):

BiCl ₃ · H ₂ O	48
K ₄ P ₂ O ₇ · 10H ₂ O	200
этилендиаминтетрауксусная кислота (ЭДТА)	150
декстрина	10
Режим осаждения: <i>t_{K'}</i> = 1,5 А/дм ² ; <i>t</i> = 25—30 °C; pH 10.	

Электролит имеет некоторые особенности приготовления. Необходимо растворить K₄P₂O₇ и ЭДТА в воде при 70 °C, затем добавить BiCl₃ · H₂O, выдержать раствор при 70 °C в течение 1 ч, после этого довести pH раствора до 10 и затем добавить раствор декстрина.

Сурьма — серебристо-белый хрупкий металл с плотностью 6,68 г/см³. Он применяется для нанесения покрытий на сталь, железо, никель.

Коррозионная стойкость Sb близка к коррозионной стойкости Ni.

Сурьма не пассивируется в неорганических кислотах, в органических кислотах устойчива.

Для осаждения сурьмы применяют очень агрессивный электролит следующего состава (мл/л):

SbCl ₃	400 г/л
H ₂ SO ₄	150
NH ₄ F	500
H ₃ BO ₃	350
Режим осаждения: <i>t_{K'}</i> = 1 ± 2 А/дм ² ; <i>t</i> = 25—30 °C.	

Мышьяк — применяют для осаждения покрытий из электролита следующего состава (г/л):

As ₂ O ₃	120
NaOH	120
NaCl	3,8
Режим осаждения: <i>t_{K'}</i> = 0,5 ± 0,5 А/дм ² ; <i>t</i> = 20—25 °C.	

Марганец и сплавы на его основе также применяются для нанесения покрытий на металлы.

Для получения покрытий рением применяют электролит следующего состава (г/л):

K ₂ CrO ₄	1—2
H ₂ SO ₄	1—2,5

Режим осаждения: *t_{K'}* = 6 ± 8 А/дм²; аноды — золото, платина, хромоникелевая сталь.

5. Составы электролитов (г/л) и режимы осаждения сплава W-Co

Компоненты электролита и режим	№ электролита		
	1	2	3
Na ₂ WO ₄	70	85	22
CoSO ₄	60	9,3	19
Лимонная кислота	66	—	—
NaOH	30–40	11	—
NH ₄ OH (25 %-ный раствор) (NH ₄ Cl·SO ₄)	До pH 7 132	30–40 250–300	мл/л
t, °C	70	75	50–60
I _к , A/dm ²	2–5	1–20	8–12
pH	7	11	11
BT, %	25	45–50	35

Для осаждения сплава рений—никель с содержанием Re в сплаве от 78 до 90 % применяют электролит следующего состава (г/л):

Na ₂ SO ₄	56
K ₂ ReO ₄	10
лимонная кислота	66
NH ₄ OH (25 %-ный раствор) до pH 8	8
Режим осаждения: t = 70 °C; I _к = 5 A/dm ² ; золото — платина, алюминиевая сталь.	

Селен применяется для получения покрытий; причем селен при электроосаждении получается аморфным. Эти покрытия получают из электролита следующего состава (г/л):

Sc ₂ O ₃ (IV)	350
даурнансульфат натрия	3
Режим осаждения: t = 20–40 °C; I _к = 0,1–0,4 A/dm ² .	

ОСАЖДЕНИЕ СПЛАВОВ W И Mo

Особый интерес представляет процесс электроосаждения сплавов W и Mo, так как в чистом виде эти металлы не осаждаются из водных растворов. В табл. 5 представлены составы и режимы осаждения сплава W-Co из некоторых электролитов.

Для осаждения сплава W-Fe применяют электролит следующего состава (г/л):

Na ₂ WO ₄	60
FeSO ₄ ·(NH ₄) ₂ SO ₄ ·6H ₂ O	14
Fe ₂ (SO ₄) ₃ ·(NH ₄) ₂ SO ₄ ·6H ₂ O	18
лимонная кислота	6,6
NH ₄ OH (25 %-ный раствор)	До pH 8
Режим осаждения: t = 70 °C; I _к = 5 A/dm ² .	

Для получения покрытий сплавом Mo-Ni применяют несколько различных электролитов, приведенных в табл. 6.

Для осаждения сплава Mo-Co применяют электролит следующего состава (г/л):

Na ₂ MoO ₄	4
CoSO ₄	60
лимонная кислота	68
NH ₄ OH (25 %-ный раствор)	До pH 4–6
Режим осаждения: t = 25 °C + 70 °C; I _к = 10–22,5 A/dm ² .	

Для осаждения сплава Mo-Fe используют электролит следующего состава (г/л):

Na ₂ MoO ₄	4
FeSO ₄	60
лимонная кислота	66
Режим осаждения: t = 22 °C; pH 6,0; I _к = 10–22 A/dm ² ; BT = 40 %	

Сплав Co-W-Mo с 66 % Co, 21 % Mo и 13 % W получают из электролита следующего состава (г/л):

CoSO ₄	65
Na ₂ WO ₄	53
Na ₂ MoO ₄	14
лимонная кислота	60
Режим осаждения: pH 4,0; t = 25 °C; I _к = 5 A/dm ² ; BT = 73 %	

6. Составы электролитов (г/л) и режимы осаждения сплавов Mo-Ni

Компоненты электролита и режим	№ электролита	
	1	2
Na ₂ MoO ₄	25	4
NiSO ₄	18	60
Лимонная кислота	200	66
Калий, натрий виноградный NH ₄ OH (25 %-ный раствор)	—	—
pH	10–10,5	8–9
t, °C	25–40	25–70
I _к , A/dm ²	7–10	10–22
BT, %	35	46–50

СПИСОК ЛИТЕРАТУРЫ

- Богорад Л. Я. Хромирование. Л.: Машиностроение, Ленингр. отд-ние, 1984, 96 с.
- Буркат Г. К. Серебрение, золочение, палладирование и родирование. Л.: Машиностроение, Ленингр. отд-ние, 1984, 86 с.
- Вячеславов П. М. Электролитическое осаждение сплавов. Л.: Машиностроение, Ленингр. отд-ние, 1977, 143 с.
- Гальванотехника благородных и редких металлов/П. М. Вячеславов, С. Я. Грилихес, Г. К. Буркат, Е. Г. Круглова. Л.: Машиностроение, Ленингр. отд-ние, 1970, 248 с.
- Герасименко А. А., Михайлов В. И. Определение параметров электрохимических процессов осаждения покрытий. М.: Металлургия, 1980 110 с.
- Грилихес С. Я. Обезжиривание, травление и полирование металлов. Л.: Машиностроение, 1983 102 с.
- Грилихес С. Я. Электрохимическое полирование. Л.: Машиностроение, 1976, 208 с.
- Добош Д. Электрохимические константы. Справочник для электрохимиков. М.: Мир, 1980, 365 с.
- Емелин М. И., Герасименко А. А. Защита машин от коррозии в условиях эксплуатации. М.: Машиностроение, 1980 224 с.
- Жук Н. П. Курс теории коррозии и защиты металлов. М.: Металлургия, 1976, 472 с.
- Ильин В. А. Ципкование, хромирование, оловянирование и свинцовование. Л.: Машиностроение, Ленингр. отд-ние, 1983 87 с.
- Инженерная гальванотехника в приборостроении/Под ред. А. М. Гинберга. М.: Машиностроение, 1977, 512 с.
- Каданер Л. И. Электроосаждение благородных редкисиных металлов. Кий: Техника, 1968, 192 с.
- Каданер Л. И. Справочник по гальванистике. Кий: Техника, 1966 252 с.
- Комплексные электролиты в гальванотехнике Б. А. Пурин, В. А. Цера, Э. А. Озоля, И. А. Витиня. Рига: Лиесма, 1978, 267 с.
- Круzenштерн А. Гальванические драгоценные металлы. М.: Металлургия, 1974, 134 с.
- Кудрявцев И. Т. Электролитические покрытия металлов. М.: Химия, 1979, 352 с.
- Лайнер В. И. Защитные покрытия металлов. М.: Металлургия, 1974, 559 с.
- Лобанов С. А. Практические советы гальванику. Л.: Машиностроение, Ленингр. отд-ние, 1983, 248 с.
- Макарова Н. А., Лебедева М. А., Набокова В. Н. Металлопокрытия в автомобилестроении. М.: Машиностроение, 1977, 293 с.
- Мелков М. П., Швецов А. Н., Мелкова И. М. Восстановление автомобильных деталей твердым железом. М.: Транспорт, 1982, 198 с.
- Михайлов А. А. Обработка деталей с гальваническими покрытиями. М.: Машиностроение, 1981, 144 с.
- Молчанов В. Ф. Восстановление и упрочнение деталей автомобилей хромированием. М.: Транспорт, 1981, 176 с.
- Петров Ю. Н., Косов В. П., Стратулат М. П. Ремонт автомобилей тракторных деталей гальваническими покрытиями. Кий: Молдавискэ, 1976, 152 с.
- Петров Ю. Н., Косов В. П., Стратулат М. П. Ремонт автомобилей тракторных деталей гальваническими покрытиями. Кий: Молдавискэ, 1976, 152 с.
- Пурин Б. А. Электроосаждение металлов из пирофосфатных электролитов. Рига: Зинатне, 1975 172 с.
- Роенфельд И. Л., Жигалова К. А. Ускоренные методы коррозионных испытаний металлов. М.: Металлургия, 1966 347 с.
- Рябой А. Я., Брондз Л. Д. Повышение ресурса авиационных деталей.

- лен из высокопрочных сталей. М.: Машиностроение, 1977. 103 с.
28. Садаков Г. А., Семенчук О. В., Филимонов Ю. В. Технология гальванопластики. Справочное пособие. М.: Машиностроение, 1979. 160 с.
29. Справочник по элекрохимии/Под ред. А. М. Сухотина. Л.: Химия. Ленингр. отд-ние, 1981. 486 с.
30. Справочное руководство по гальванотехнике. Пер. с нем. Под ред. В. И. Лайнера. М.: Металлургия, 1972, ч. 1, 488 с.
31. Сухотин А. М., Зотиков В. С. Химическое сопротивление материалов. М.: Химия, 1975. 408 с.
32. Томашов Н. Д., Чернова Г. П. Коррозия и коррозионностойкие сплавы. М.: Металлургия, 1973. 232 с.
33. Химический энциклопедический словарь. М.: Советская энциклопедия, 1983. 792 с.
34. Хотянович С. И. Электроосаждение металлов платиновой группы. Вильнюс: Мокслас, 1976. 148 с.
35. Шлугер М. А. Ускорение и усовершенствование хромирования деталей машин. М.: Машгиз, 1963. 202 с.
36. Шлугер М. А., Ажогин Ф. Ф., Ефимов Е. А. Коррозия и азита металлов. М.: Металлургия, 1981. 215 с.
37. Ямпольский А. М. Гальванические покрытия. Л.: Машиностроение. Ленингр. отд-ние, 1978. 248 с.
38. Ямпольский А. М., Ильин В. А. Краткий справочник гальванотехника. Л.: Машиностроение. Ленингр. отд-ние, 1981. 269 с.
39. Ямпольский А. М. Электролитическое осаждение благородных и редких металлов. Л.: Машиностроение. Ленингр. отд-ние, 1977. 96 с.